

บทที่ 5

ผลการวิจัยและการอภิปรายผล

ในบทนี้เป็นผลการวิจัย และการอภิปรายผล โดยภายหลังจากการเตรียมตัวอย่าง ซึ่งแบ่งรายละเอียดออกเป็นสองส่วน ในส่วนแรกศึกษาการสังเคราะห์วัสดุนาโน ZnO จากผลของการเตรียมในวิธีต่าง ๆ จากนั้นเปรียบเทียบถึงข้อดี และข้อด้อยในแต่ละวิธีของการเตรียมวัสดุนาโน ZnO รวมถึงเลือก และให้เหตุผลวิธีที่นำมาใช้ในการเตรียมนาโน โดยการเจือสารมลพินเข้าไปในโครงสร้างหลักของ ZnO ส่วนที่สองสังเคราะห์วัสดุนาโน $Zn_{1-x}A_xO$ เมื่อ A คือ Mg, Co และ Mn ใช้วิธีการเตรียมด้วยการสลายตัวทางความร้อนโดยตรง ซึ่งวัสดุดังกล่าวได้ถูกนำมาศึกษาด้วยเทคนิคต่าง ๆ เพื่อศึกษาองค์ประกอบการเกิดเฟลโครงสร้าง และลักษณะสัณฐานวัสดุ นอกจากนั้นยังได้ศึกษาสมบัติเฉพาะของวัสดุตัวอย่าง ได้แก่ สมบัติทางแสงและสมบัติทางแม่เหล็ก โดยมีรายละเอียดของผลการวิจัย และอภิปรายผลดังต่อไปนี้

5.1 การสังเคราะห์วัสดุนาโน ZnO โดยการเตรียมในวิธีต่าง ๆ

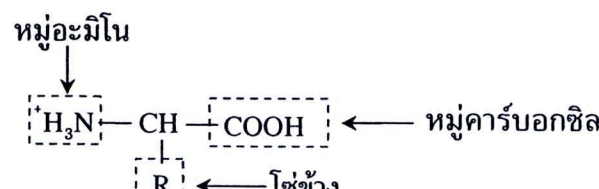
5.1.1 ผลการสังเคราะห์วัสดุนาโน ZnO เมื่อใช้สารละลายไข่ขาวเป็นตัวทำละลาย

การสังเคราะห์วัสดุนาโน ZnO ด้วยวิธีโซล-เจล ซึ่งอาศัยกระบวนการทางพอลิเมอร์เมื่อใช้สารละลายไข่ขาวเป็นตัวทำละลาย วัสดุที่อยู่ในรูปแบบสารตั้งต้น พบร่วมมีลักษณะอ่อนนุ่ม และง่ายในการบดละเอียด เนื่องจากลักษณะไข่ขาวมีสมบัติเสมือนพอลิเมอร์ที่มีสายโซ่ยาวดังนั้นในขณะที่ให้ความร้อนแก่สารละลายเพื่อให้เกิดเป็นเจลนั้น สารละลายไข่ขาวมีหน้าที่สร้างพันธะระหว่างไอออนของโลหะจับกันเป็นโครงข่าย ทำใหอนุภาคที่เตรียมได้มีความเสถียร และลดการตกตะกอน ดังนั้นมีสารละลายเกิดเป็นเจลแห้ง เมื่อนำมาดึงได้ผงที่ละเอียด และมีขนาดเล็ก ในเงื่อนไขนี้ใช้อุณหภูมิแคลใจน์ที่ 400, 500 และ 600 °C เป็นเวลา 2 ชั่วโมง ในอากาศ

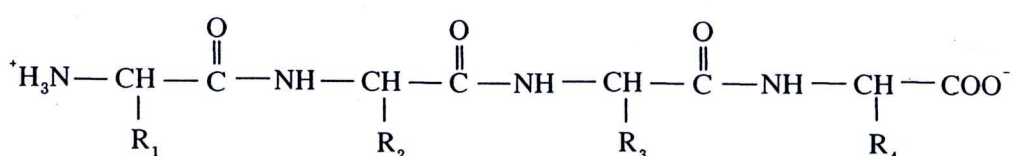
5.1.1.1 การศึกษากลไกการเกิดโครงสร้าง ZnO

การสังเคราะห์วัสดุนาโน ZnO เมื่อใช้สารละลายไข่ขาวเป็นตัวทำละลาย มีขั้นตอนทางเคมีที่ทำให้เกิดโครงสร้างในระดับนาโนมีหลักการคือ เมื่อสารตั้งต้นของ $Zn(NO_3)_2 \cdot 6H_2O$ ละลายในสารละลายไข่ขาวที่มีส่วนประกอบหลักคือ น้ำ และไข่ขาว พบว่าในขั้นตอนแรกเกิดการแตกตัวของอนุภาคโลหะในสารตั้งต้นเป็น Zn^{2+} จากนั้นส่วนของไข่ขาวมีบทบาทสำคัญในการสร้างโครงข่ายที่มีประจุลบไปจับกับประจุบวกของซิงค์ ซึ่งจากการศึกษารายงานวิจัยของ Huntington et al. (2001) พบว่าไข่ขาวเป็นโปรตีนชนิดหนึ่งที่มีองค์ประกอบของโปรตีนหลายชนิด เช่น คอนนัลbumin (conalbumin) โอลัลbumin (ovalbumin) อะวิดิน (avidin) และไลโซไซม์ (lysozyme) แต่โปรตีนที่มีมากที่สุดคือ โอลัลbumin (ovalbumin)

มีถึง 85% ของส่วนประกอบในไข่ขาว จากหน่วยย่อยของโปรตีนที่มีผลในการเกิดโครงสร้าง nano คือกรดอะมิโน ซึ่งมีโครงสร้างดังแสดงในภาพที่ 5.1(ก) โดยประกอบด้วยหมู่อะมิโน หมู่คาร์บอชิล (-COOH) ที่ต่อ กับ หมู่ CH โดยมีตำแหน่งของ R หรือใช้ช้า เป็นตัวกำหนดลักษณะของ กรดอะมิโนแต่ละชนิด กรณีใช้ช้าที่มีสมบัติเป็นกรด ได้แก่ กรดกลูตามิก และกรดแอสปาราติก หรือในกรณีใช้ช้าไม่มีช้า ได้แก่ ไกลซีน อะลานีน ลิวิชีน ไอโซลิวิชีน และฟีลาอะลานีน เป็นต้น แสดงดังภาพที่ 5.2 จากนั้นเมื่อนำกรดอะมิโนมาต่อกันเป็นโซล่าายยา (polypeptide) และดังภาพที่ 5.1(ข) ซึ่งทำให้ที่ปลายของโซล่าายยา มีหมู่ H_3N^+ และ COO^- ที่มีไอออนหักสองด้าน โดยไอออนอิสระที่เกิดขึ้นนี้ กรดอะมิโนมีการเข้าไปจับ Zn^{2+} ที่แสดงไอออนบาง ซึ่งแตกตัวในขั้นตอนแรกเมื่อเป็นอะตอมกลางในลักษณะแบบล้อมรอบไม่ให้ไอออนที่ยึดอยู่ไปทำปฏิกิริยากับสารตัวอื่น ในกรณีนี้ H_3N^+ จะหันด้าน N^+ ที่แสดงไอออนลบเข้าไปจับ Zn^{2+} โดยเรียกปฏิกิริยาที่เกิดขึ้นว่า “คีเลตชั่น” (chelation) ซึ่งมีหมู่ H_3N^+ และ COO^- ทำหน้าที่เป็น ลิแกน¹ (ligand) สามารถเขียนสมการแสดงปฏิกิริยาจากกระบวนการข้างต้นได้ดังแสดงในสมการที่ 5.1

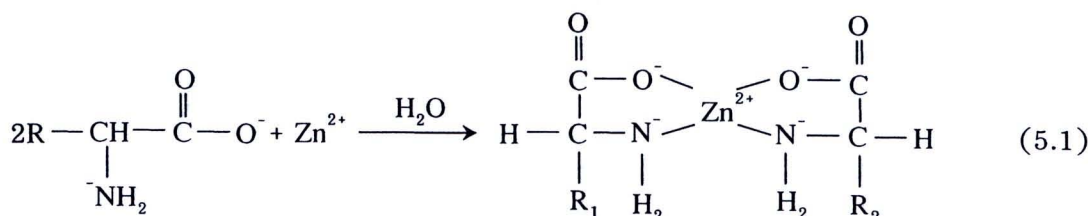


(ก)



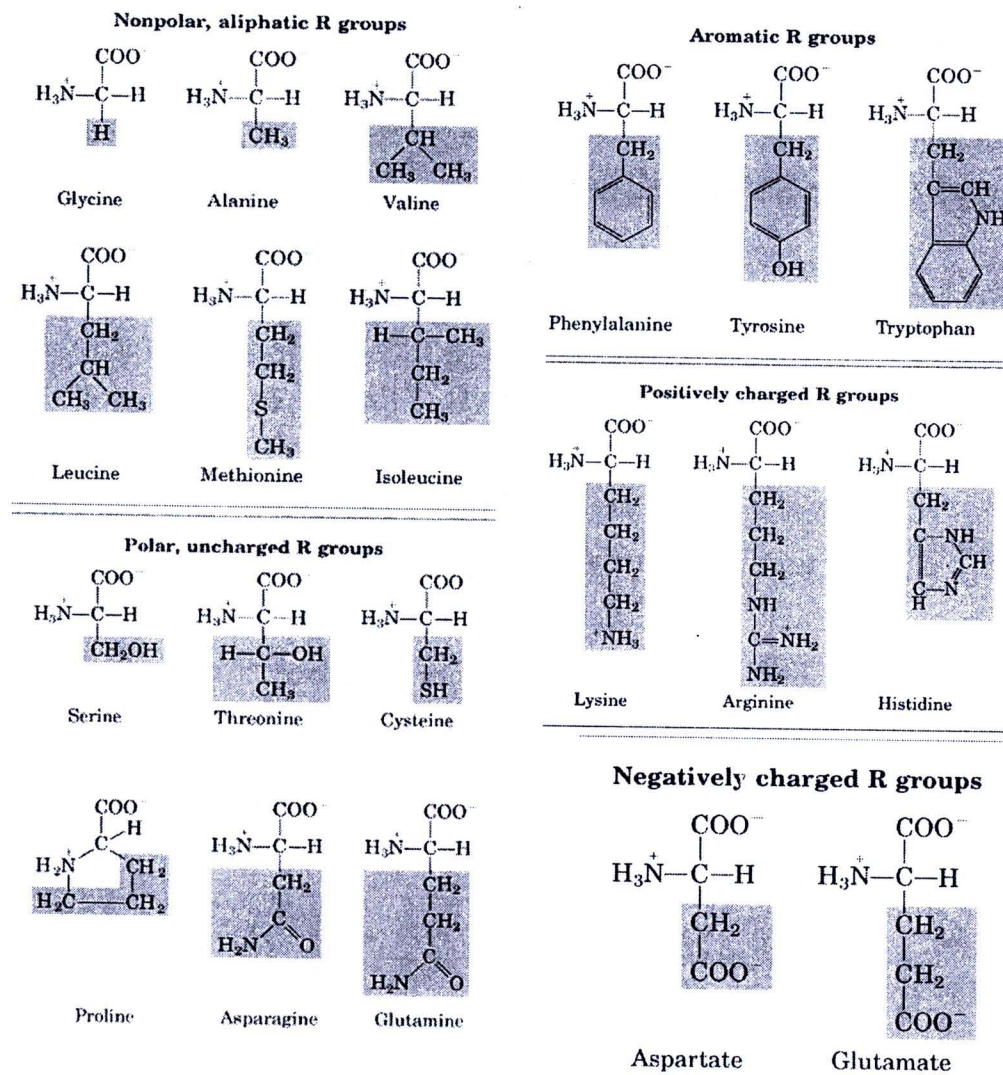
(ข)

ภาพที่ 5.1 (ก) โครงสร้างของกรดอะมิโน (ข) แสดงการต่อกันของกรดอะมิโนด้วย พันธะเปเปไทด์เป็นสายโซล่าายยา (polypeptide)



¹ลิแกน (ligand) หมายถึง อิオน อะตอม หรือโมเลกุลที่เกะติดกับอะตอมกลาง โดยการสร้างพันธะโคออร์ดิเนตโโคเวเลนท์ ลิแกนด์ส่วนมากมีค่าอิเล็กโตรเนกาติวิตี้สูง

เมื่อ Zn^{2+} ถูกหมุนอะมิโนล้อมรอบจับกันเป็นโครงข่าย ในระหว่างกระบวนการนี้สารตันตันมีลักษณะเป็นเจลเหนียว จากนั้นนำเจลที่ได้ผ่านการอบให้แห้ง และนำไปปิดให้ละเอียด สุดท้ายนำไปเผาแคลเซนที่อุณหภูมิสูง ขั้นตอนนี้สุดจะทำปฏิกิริยา กับก้าชออกซิเจนในอากาศ ซึ่งส่งผลให้โครงสร้างของกรดอะมิโนถูกทำลายด้วยความร้อน เป็นผลให้เกิดการสร้างโครงสร้างผลึกของวัสดุนานาชนิดที่มีลักษณะผงสีขาวปราศจากภูมิคุ้มกัน



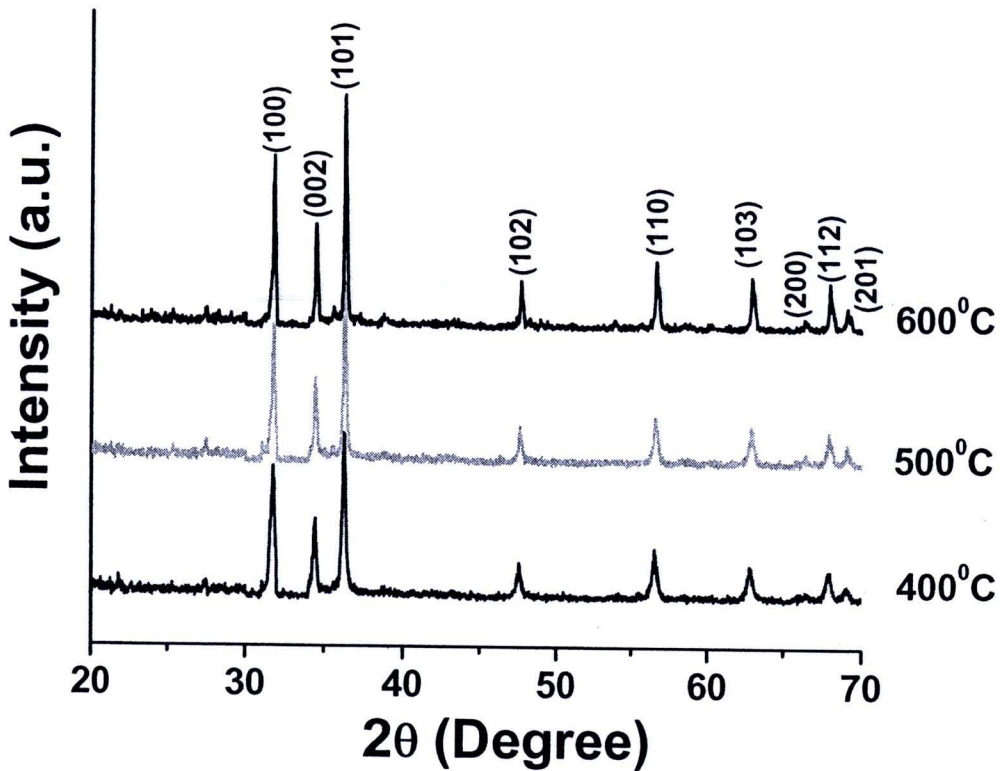
ภาพที่ 5.2 โครงสร้างกรดอะมิโนประเภทต่างๆ

(<http://learners.in.th/file/dawood/view/143692>, 23 พ.ย. 2553)

5.1.1.2 การศึกษาพฤติกรรมการเกิดเฟสโครงสร้างโดยเทคนิค XRD

การศึกษาเฟส และโครงสร้างของวัสดุนาโน ZnO เมื่อใช้สารละลายน้ำเป็นตัวทำละลาย ซึ่งผ่านการแคลไชน์ที่อุณหภูมิในช่วง 400-600 °C เป็นเวลา 2 ชั่วโมง ในอากาศ โดยเทคนิค XRD ผลการศึกษาแสดงในรูปแบบของกราฟแสดงความสัมพันธ์ระหว่างความเข้มของรูปแบบการเลี้ยวเบน (intensity) กับมุมการเลี้ยวเบนของรังสีเอกซ์ ซึ่งใช้มุม 2θ เริ่มต้น และสิ้นสุดที่ 20-70 องศา ตามลำดับ แสดงดังภาพที่ 5.3 พบว่า รูปแบบการเลี้ยวเบนของรังสีเอกซ์ของวัสดุนาโน ในทุกเงื่อนไขการเผาแคลไชน์สอดคล้องกับข้อมูลมาตรฐานที่มีโครงสร้างเป็นเอกะโกโนอลแบบเวอร์ตของ ZnO (JCPDS เลขไฟล์ที่ 36-1451) และไม่พบการเกิดเฟสปลอมปนของสารประกอบอื่น ๆ จากการศึกษารักษาผลของการเผา พบว่าความเข้มของยอดกราฟการเลี้ยวเบนสูงขึ้น และความกว้างของกราฟมีลักษณะแคบลง เมื่อเพิ่มอุณหภูมิในการแคลไชน์ และถึงความเป็นผลลัพธ์มากขึ้นเมื่อแคลไชน์ที่อุณหภูมิสูงขึ้น

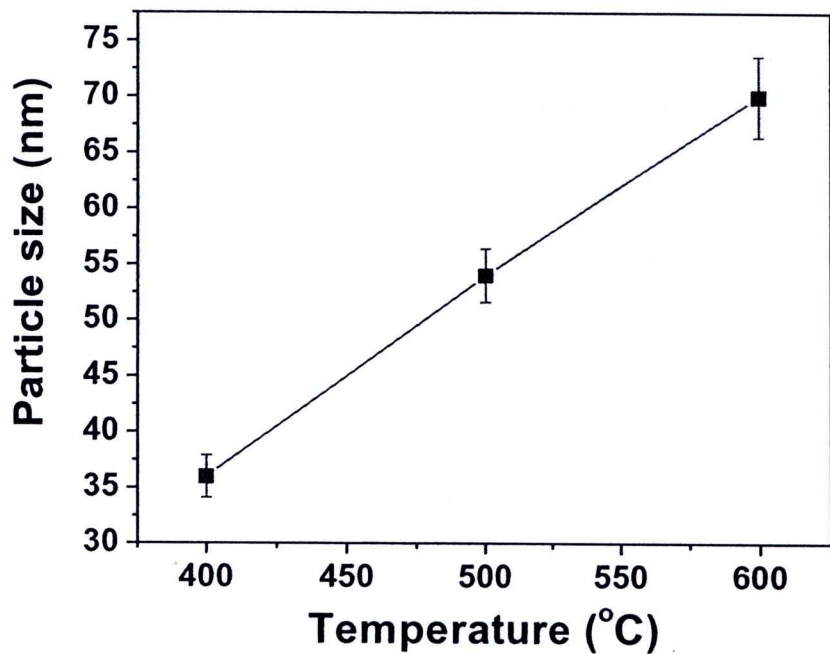
จากรูปแบบการเลี้ยวเบนรังสีเอกซ์สามารถคำนวณขนาดอนุภาคของวัสดุได้ โดยวิธี X-ray line broadening โดยเลือกคำนวณจากการเลี้ยวเบนที่ระนาบ (100), (002), (101) และ (110) ดังแสดงในตารางที่ 5.1 พร้อมค่าคงที่แลตทิชและกราฟแสดงความสัมพันธ์ระหว่างขนาดอนุภาคที่คำนวนได้กับอุณหภูมิที่ใช้แคลไชน์แสดงในภาพที่ 5.4 ซึ่งจากกราฟนี้พบว่าขนาดของอนุภาคเพิ่มมากขึ้นเมื่อแคลไชน์ที่อุณหภูมิสูงขึ้น โดยมีขนาดในช่วง 36 ± 1.9 - 70 ± 3.2 nm กราฟความสัมพันธ์ระหว่างค่าคงที่แลตทิช กับอุณหภูมิแคลไชน์แสดงดังภาพที่ 5.5 ซึ่งจากข้อมูลที่ได้มีค่าใกล้เคียงกับค่าคงที่ของแลตทิชมาตรฐานของ ZnO ($a = 0.32488$ nm และ $c = 0.52066$ nm) (JCPDS เลขไฟล์ที่ 36-1451)



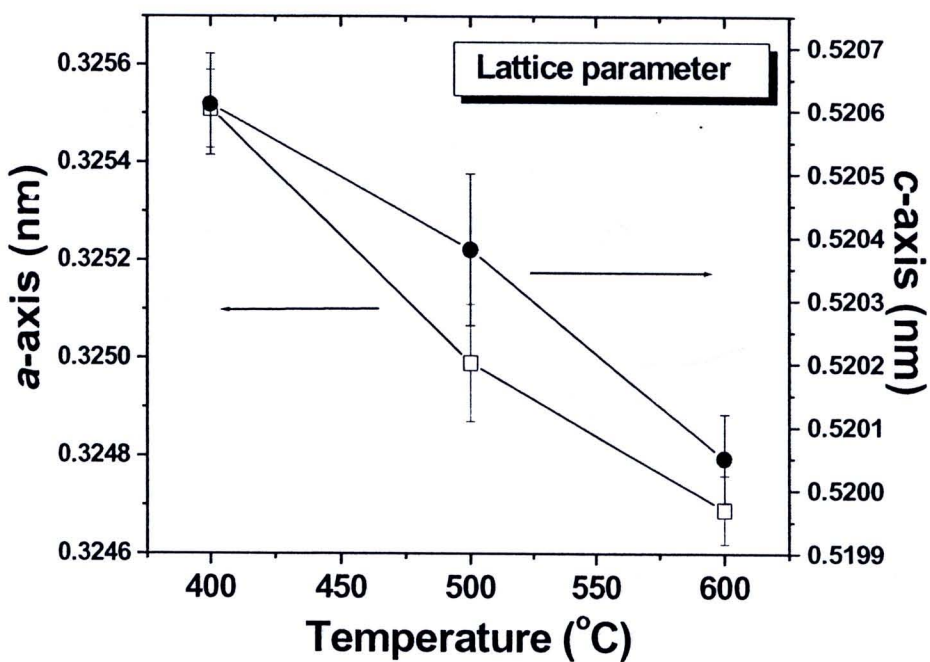
ภาพที่ 5.3 รูปแบบการเลี้ยวเบนรังสีเอกซ์ของวัสดุนาโน ZnO โดยเทคนิค XRD แคลไซน์ที่ อุณหภูมิ 400, 500 และ 600 °C เป็นเวลา 2 ชั่วโมง

ตารางที่ 5.1 ขนาดอนุภาค และค่าคงที่แลตทิชของวัสดุนาโน ZnO เมื่อแคลไซน์อุณหภูมิที่ 400, 500 และ 600 °C เป็นเวลา 2 ชั่วโมง ในอากาศ คำนวณโดยวิธี X-ray line broadening

อุณหภูมิแคลไซน์ (°C)	ขนาดอนุภาค (nm)	ค่าคงที่แลตทิช (nm)	
		a	c
400	36 ± 1.9	0.32551 ± 0.0008	0.52061 ± 0.0008
500	54 ± 2.4	0.32499 ± 0.0012	0.52038 ± 0.0008
600	70 ± 3.2	0.32469 ± 0.0007	0.52005 ± 0.0007



ภาพที่ 5.4 ความสัมพันธ์ระหว่างขนาดอนุภาค กับอุณหภูมิแคลใจน์ของวัสดุนาโน ZnO ที่อุณหภูมิ 400, 500 และ 600 °C เป็นเวลา 2 ชั่วโมง



ภาพที่ 5.5 ความสัมพันธ์ระหว่างค่าคงที่แลตทิช กับอุณหภูมิแคลใจน์ของวัสดุนาโน ZnO ที่อุณหภูมิ 400, 500 และ 600 °C เป็นเวลา 2 ชั่วโมง

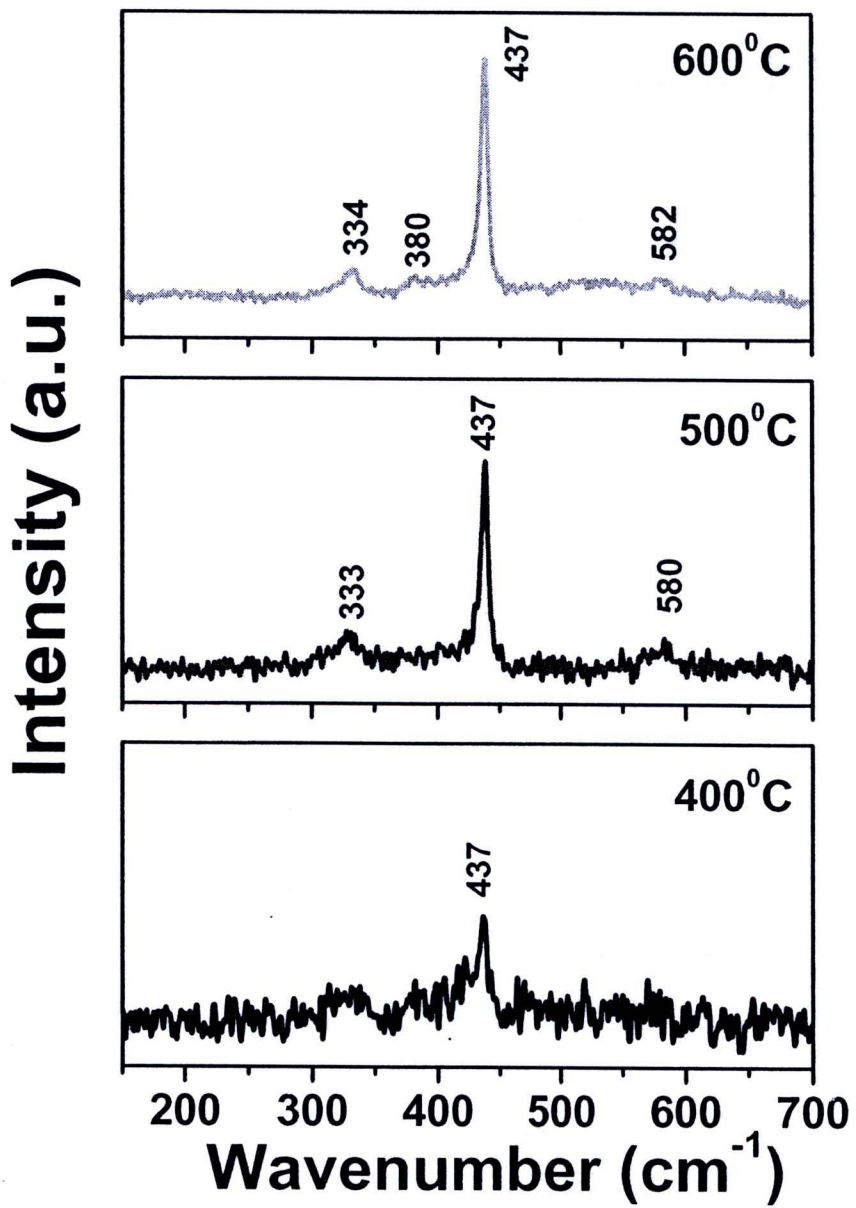
5.1.1.3 การศึกษาองค์ประกอบเฟสของวัสดุนาโน ZnO โดยเทคนิค Raman

การศึกษาองค์ประกอบเฟสของวัสดุนาโน ZnO เมื่อใช้สารละลายน้ำเป็นตัวทำละลาย ผ่านการแคลไชน์ที่อุณหภูมิ ในช่วง 400-600 °C เป็นเวลา 2 ชั่วโมง ใน

อากาศ โดยเทคนิคการกระเจิงรำนา (Raman scattering) แสดงดังภาพที่ 5.6 จากโครงสร้างแบบเวอร์ตไซท์ของวัสดุ ZnO พบว่ามี space group คือ C_{6v}^4 ($P6_3mc$) (Damen et al., 1966) ซึ่งสามารถเขียนรูปแบบโหมดของแสง (optical mode) ได้ความสัมพันธ์จัดอยู่ในรูป $\Gamma_{opt} = 1A_1 + 2B_1 + 1E_1 + 2E_2$ (Arguello et al., 1969) เมื่อโหมดการสัม A₁ and E₁ คือ polar และ split โหมดของโฟนอน (phonon) ที่ตอบสนองต่อแสงแบบตามยาว (transverse optical : TO) และแบบตามยาว (longitudinal optical : LO) ตามลำดับ โดยทั้ง 2 ค่านี้มีการสั่นของโมเลกุลแบบ Raman-active² และ Infrared-active³ ตามลำดับ ส่วนโหมดการสัม E₂ และ B₁ คือ nonpolar โหมดของโฟนอน ที่มีการสั่นของโมเลกุลแบบ Raman-active และ Raman-inactive ตามลำดับ จากภาพที่ 5.6 สเปกตรัมรำนาที่ได้ในทุกเงื่อนไขการแคลไชน์ พบว่าเกิดพีคที่มีความเข้มของยอดกราฟสูงสุดที่ตำแหน่ง 437 cm^{-1} โดยสังเกตพบว่าความเข้มของยอดกราฟมีค่าสูงขึ้นเมื่อเพิ่มอุณหภูมิในการแคลไชน์ เมื่อพิจารณาสเปกตรัมรำนาที่พิจารณาเฉพาะในแต่ละอุณหภูมิ พบว่าเมื่อ $400 \text{ }^{\circ}\text{C}$ เกิดพีคที่ตำแหน่งเดียวคือ $\sim 437 \text{ cm}^{-1}$ ซึ่งต่างจากเมื่อ $500 \text{ }^{\circ}\text{C}$ และ $600 \text{ }^{\circ}\text{C}$ พบว่าเกิดพีคที่ตำแหน่ง $\sim 333 \text{ cm}^{-1}$ และ 580 cm^{-1} นอกจากนั้นยังพบว่ามีการเกิดพีคที่ตำแหน่ง $\sim 380 \text{ cm}^{-1}$ ที่เมื่อ $600 \text{ }^{\circ}\text{C}$ จากการเปรียบเทียบสเปกตรัมรำนาในฐานข้อมูลของวัสดุตัวอย่าง ZnO (Calleja et al., 1977) พบว่า การเกิดพีคที่ตำแหน่ง 437 cm^{-1} เป็นการยืนยันโหมดการสัม E₂ ของวัสดุ ZnO ที่มีเฟสโครงสร้างแบบเวอร์ตไซท์ จากนั้นตำแหน่งพีคที่ $\sim 333 \text{ cm}^{-1}$ เป็นการระบุการกระเจิงรำนาในลำดับที่สอง (second order) โดยโฟนอนที่บริเวณขอบโซน (zone-boundary phonons) ขณะที่การเกิดพีคที่ตำแหน่ง $\sim 380 \text{ cm}^{-1}$ เมื่อ $600 \text{ }^{\circ}\text{C}$ เป็นการระบุโหมดการสัม A₁ แบบ TO สุดท้ายการเกิดพีคที่ตำแหน่ง $\sim 580 \text{ cm}^{-1}$ เป็นการระบุโหมดการสัม E₁ แบบ LO ซึ่งการเกิดโหมดการสัมนี้ยังยืนยันการเกิดตำหนิ (defect) ในโครงสร้างของวัสดุตัวอย่าง เช่น ช่องว่างของออกซิเจน (oxygen vacancy) และการแทรกที่ของซิงค์ (Zn interstitial) (Rajalakshmi et al., 2000) โดยเมื่อเปรียบเทียบความเข้มของยอดกราฟในโหมดการสัมที่ยืนยันการเกิดโครงสร้าง ZnO แบบเวอร์ตไซท์ พบว่ายอดกราฟที่ตำแหน่ง E₂ มีค่าสูงกว่าโหมดการสัมที่ระบุการเกิดตำหนิ E₁ (LO) ในทุกเมื่อของการแคลไชน์ จึงเป็นการยืนยันในวัสดุนาโน ZnO ที่เตรียมได้มีความบริสุทธิ์ดี่อนข้างสูง (Wang et al., 2009)

²Raman-active เกิดจากการเปลี่ยนแปลง polarizability ของโมเลกุลภายในโครงสร้าง

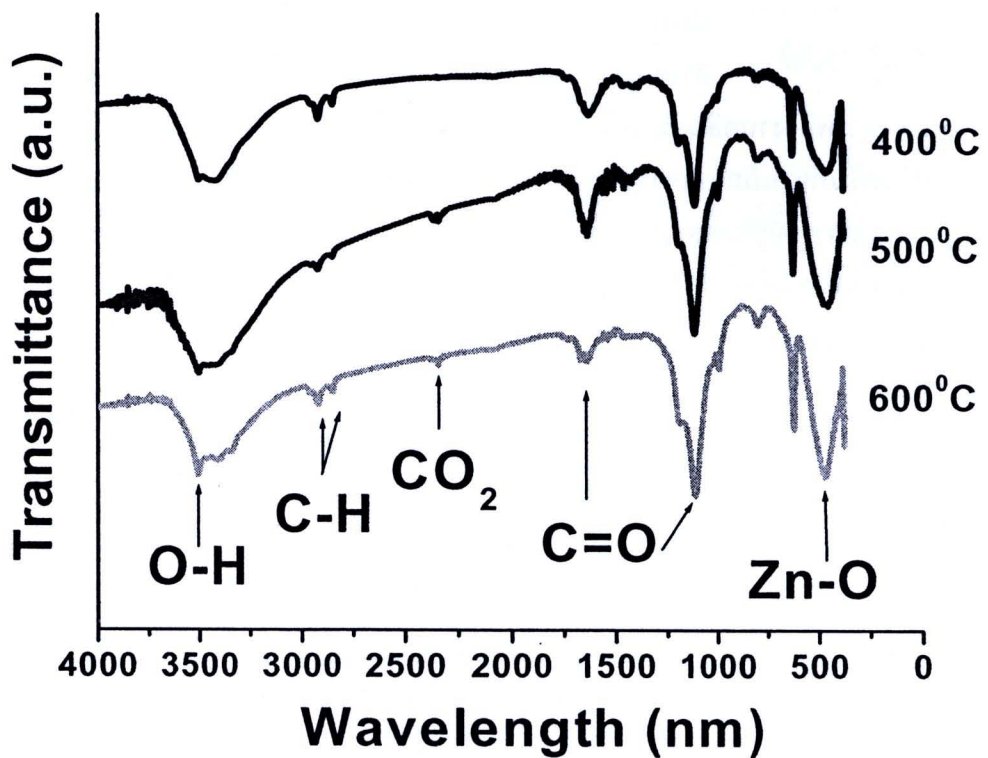
³Infrared-active เกิดจากการเปลี่ยนแปลง dipole moment ของโมเลกุลภายในโครงสร้าง



ภาพที่ 5.6 สเปกตรัมจากเทคนิค Raman ของส่วนหัวใน ZnO แคลไชน์ที่อุณหภูมิ 400, 500 และ 600°C เป็นเวลา 2 ชั่วโมง

5.1.1.4 การศึกษาหมู่ฟังก์ชันที่เป็นองค์ประกอบในวัสดุนาโน ZnO โดยเทคนิค FT-IR

สำหรับการศึกษาโดยเทคนิค FT-IR เป็นการวัดค่าการส่งผ่าน (transmittance) พลังงานคลื่นแม่เหล็กไฟฟ้า ในช่วงเลขค่าคลื่นตั้งแต่ $400-4000\text{ cm}^{-1}$ โดยในแต่ละแบบสเปกตรัมที่พบเกิดจากการสั่นของโมเลกุลที่มีการสร้างพันธะกันหรือหมู่ฟังก์ชัน ซึ่งในแต่ละหมู่ฟังก์ชันมีการดูดกลืนพลังงานที่เลขค่าคลื่นต่าง ๆ กัน เป็นลักษณะเฉพาะตัว โดยเรียกตำแหน่งของเลขค่าคลื่นที่เกิดการสั่นนี้ว่าเป็นตำแหน่งของสเปกตรัมการดูดกลืนรังสีอินฟราเรด ผลการศึกษาหาหมู่ฟังก์ชันที่มีอยู่ในวัสดุนาโน ZnO ที่แคลไชน์ที่อุณหภูมิในช่วง $400-600\text{ }^{\circ}\text{C}$ เป็นเวลา 2 ชั่วโมง โดยเทคนิค FT-IR แสดงดังภาพที่ 5.7 พบว่าในทุกเงื่อนไขการแคลไชน์ วัสดุนาโน ZnO มีลักษณะเด่นสเปกตรัมการดูดกลืนที่คล้ายคลึงกัน โดยสเปกตรัมการส่งผ่านที่เกิดขึ้นในแต่ละตำแหน่งของเลขค่าคลื่นได้ 7 นั้น สามารถบุตต์ต่างๆ ที่ $5.2\text{ }^{\circ}\text{C}$ และ $10.4\text{ }^{\circ}\text{C}$ แสดงให้เห็นว่าวัสดุที่เตรียมได้มีการรวมตัวกันเกิดเป็นโครงสร้างของ ZnO อย่างชัดเจน เนื่องจากในทุกเงื่อนไขการแคลไชน์ ปรากฏเด่นสเปกตรัมการส่งผ่านพลังงานในตำแหน่งเลขค่าคลื่นที่ระบุว่าเป็นการสั่นของพันธะ Zn-O ในโครงสร้างของวัสดุนาโน ZnO ที่ตำแหน่งเลขค่าคลื่น $\sim 452\text{ cm}^{-1}$ นอกจากนี้ในทุกเงื่อนไขยังพบสเปกตรัมที่แสดงถึงการมีอยู่ของหมู่ฟังก์ชัน O-H ที่เลขค่าคลื่น 3500 cm^{-1} หมู่ฟังก์ชัน C-H ที่เลขค่าคลื่น 2920 cm^{-1} หมู่ฟังก์ชัน CO₂ ที่เลขค่าคลื่น 2450 cm^{-1} หมู่ฟังก์ชัน asymmetric C=O stretching modes ที่เลขค่าคลื่น $\sim 1630\text{ cm}^{-1}$ และ หมู่ฟังก์ชัน symmetric C=O stretching modes ซึ่งจากการทดลองที่เกิดขึ้นสอดคล้องกับผลงานวิจัยของ Maensiri et al. (2007) ดังนั้นผลการทดลองจากเทคนิค XRD, Raman และ FT-IR เป็นการยืนยันว่าสามารถสังเคราะห์วัสดุนาโน ZnO ที่มีโครงสร้างเป็นเอกซ์กิซ์โนอลแบบเวิร์ตไซต์



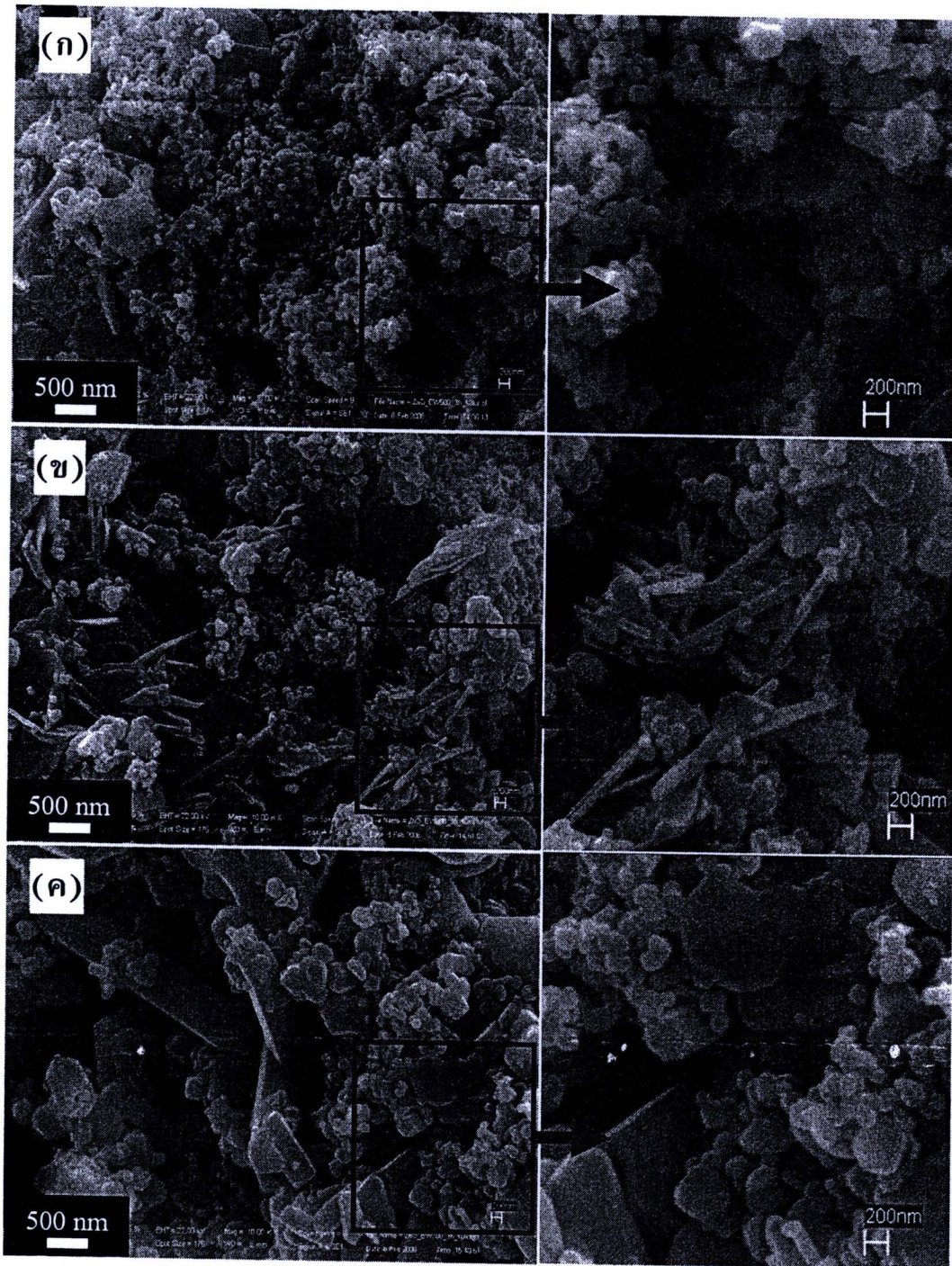
ภาพที่ 5.7 スペクトรัม FT-IR ของสตุนนาโน ZnO แคลไชน์ที่อุณหภูมิ 400, 500 และ 600 °C เป็นเวลา 2 ชั่วโมง

ตารางที่ 5.2 ข้อมูลอ้างอิงตำแหน่งเลขค่า (wave number) ที่มีการดูดกลืนแสง
อินฟราเรดของหมู่ฟังก์ชันต่างๆ จากกลุ่มวิจัยอื่นๆ

Wave number (cm^{-1})	Band assignments	Reference
3400	O-H	Maensiri et al., (2007)
2900	C-H	
1380, 1600	C=O	
2450	CO_2	
490	Zn-O	
1580, 1430	C-O	Silva et al., (2002)
3000-3600	O-H	
450	Zn-O	
1400, 1588	C=O	Li et al., (2004)
3426	O-H	
1386, 1630	C=O	
472	Zn-O	
3398	O-H	Song et al., (2008)
1229	C-O	
447	Zn-O	

5.1.1.5 ผลการศึกษาสัมฐานวิทยาของวัสดุนาโน ZnO โดยเทคนิค SEM

การศึกษาสัมฐานวิทยาของวัสดุนาโน ZnO ที่ผ่านการแคลไชน์ที่อุณหภูมิในช่วง $400\text{--}600\text{ }^{\circ}\text{C}$ เป็นเวลา 2 ชั่วโมง ในอากาศ โดยเทคนิค SEM กำลังขยาย 20000 เท่า แสดงดังภาพที่ 5.8 พบว่าวัสดุตัวอย่างทุกเงื่อนไขมีการเกาะตัวกันเป็นกลุ่มก้อนของอนุภาคขนาดเล็กจำนวนมาก นอกจากนั้นวัสดุตัวอย่างยังมีลักษณะเป็นแท่งขนาดนาโน (nanorods) แสดงดังภาพที่ 5.8 (ภาพขยาย) โดยที่แคลไชน์ที่อุณหภูมิ $400\text{ }^{\circ}\text{C}$ มีขนาดเส้นผ่านศูนย์กลาง $< 100\text{ nm}$ ขณะที่แท่งขนาดนาโนมีขนาดเส้นผ่านศูนย์กลาง 300 nm และมีความยาว $\sim 500\text{--}800\text{ nm}$ ที่อุณหภูมิ $500\text{ }^{\circ}\text{C}$ กลุ่มก้อนของอนุภาคมีขนาดเส้นผ่านศูนย์กลาง $< 100\text{ nm}$ ขณะที่แท่งขนาดนาโนมีขนาดเส้นผ่านศูนย์กลาง $\sim 100\text{--}150\text{ nm}$ และมีความยาว $0.5\text{--}1\text{ }\mu\text{m}$ และที่อุณหภูมิ $600\text{ }^{\circ}\text{C}$ กลุ่มก้อนของอนุภาคมีขนาดเส้นผ่านศูนย์กลาง $> 100\text{ nm}$ ขณะที่แท่งขนาดนาโนมีขนาดเส้นผ่านศูนย์กลาง $\sim 500\text{--}1000\text{ nm}$ และมีความยาว $\sim 1\text{--}5\text{ }\mu\text{m}$ ส่วนสาเหตุที่ทำให้วัสดุมีลักษณะของอนุภาคนาโน และแท่งนาโน ปนอยู่ในสารประกอบเดียวกัน เป็นผลของการถ่ายตัวของสารประกอบของโครงสร้างคีเลตชั้น เนื่องจากในไข่ขาวมีกรดอะมิโนหลายรูปแบบ ยกตัวอย่างเช่น โอลบูมิน สรุปในตารางที่ 5.3 ซึ่งเมื่อดูจากโครงสร้างของกรดอะมิโน จากภาพที่ 5.2 ลิ่งที่บวกความแตกต่างของกรดอะมิโนคือ โซ่อ้าง (R) ดังนั้นโอกาสที่กรดอะมิโนมาจับกับไอออนของชิ้นในรูปแบบต่างๆ ก็มีโอกาสเป็นไปได้สูง เมื่อมีการเผาวัสดุตัวอย่างที่เป็นเจลที่อุณหภูมิสูงจึงส่งผลทำให้วัสดุนาโนมีการเกิดลักษณะที่ไม่มีการเติบโตในเชิงรัศมีทุกทิศทาง (แท่งนาโน) และเกิดผลลัพธ์ที่มีการเติบโตในเชิงรัศมีทุกทิศทาง (อนุภาคนาโน) หรือ อีกรูปแบบที่ยืนยันการเกิดแท่งนาโนคือ วัสดุนาโน ZnO โดยพื้นฐานมีโครงสร้างแบบເຂົ້າໂກນອລ ซึ่งง่ายในการเกิดผลลัพธ์ในแนว c-axis จึงเป็นเหตุผลที่ยืนยันว่าวัสดุตัวอย่างมีลักษณะแท่งนาโนเกิดขึ้นจากผลลัพธ์สัมฐานวิทยาของวัสดุตัวอย่างที่ได้สอดคล้องกับผลงานวิจัยของ Maensiri et al. (2006)



ภาพที่ 5.8 ภาพถ่าย SEM ของวัสดุ nano ZnO แคลไซซ์นที่อุณหภูมิ (ก) 400, (ข) 500 และ (ค) 600 °C เป็นเวลา 2 ชั่วโมง



ตารางที่ 5.3 กรดอะมิโนที่เป็นส่วนประกอบสำคัญของโปรตีนโอลบูมิน

กรดอะมิโน	โอลบูมิน*
Lysine	6.6
Histidine	4.0
Arginine	5.9
Aspartic Acid	9.4
Threonine	4.5
Serine	8.1
Glutamic Acid	16.1
Proline	3.6
Glycine	3.2
Alanine	5.8
Half Cystine	2.4
Valine	7.1
Methionine	4.9
Isoleucine	7.0
Leucine	10.1
Tyrosin	3.9
Phenylalanine	5.4
Tryptophan	1.2

ที่มา www.neovatech.com

* กรัมต่อ 100 กรัมของโปรตีน

5.1.1.6 การศึกษาสมบัติทางแสงของวัสดุนาโน ZnO โดยเทคนิค UV-vis

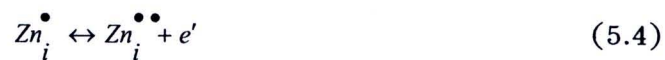
การศึกษาสมบัติการดูดกลืนแสงของนาโน ZnO ที่ผ่านการแคลไชน์ที่อุณหภูมิในช่วง 400-600 °C เป็นเวลา 2 ชั่วโมง โดยเทคนิค UV-Vis แสดงดังภาพที่ 5.9 พบว่าลักษณะสเปกตรัมของการดูดกลืนแสงมีความคล้ายคลึงกัน โดยมีการดูดกลืนแสงได้ดีในย่างแสงเห็นม่วง (Ultraviolet : UV) คือที่ความยาวคลื่นต่ำกว่า 400 nm (3.10 eV) และมียอดกราฟของการดูดกลืนที่ความยาวคลื่น ~283 nm (4.38 eV) แสดงดังภาพที่ 5.9(g) ซึ่งการดูดกลืนแสงของวัสดุนาโน ZnO เกิดจากการเปลี่ยนแปลงระดับพลังงานของอิเล็กตรอน (electronic transition) จากแถบวาเลนซ์ (valence band) ไปยังแถบการนำ (conduction band) อีกทั้งผลที่ได้มีค่าใกล้เคียงรายงานของ Maensiri et al. (2006) ที่ศึกษาสมบัติการดูดกลืนแสงของวัสดุนาโน ZnO โดยวิธี โซล-เจล พบว่าการดูดกลืนเริ่มต้นที่ความยาวคลื่นต่ำกว่า 400 nm และพบว่ามีการดูดกลืนมากที่สุดที่ความยาวคลื่น 300 nm แต่อย่างไรก็ตามผลที่ได้ต่างจากรายงานของ Li et al. (2009) ที่รายงานสมบัติของการดูดกลืนทางแสงของวัสดุนาโน ZnO โดยวิธี ultrasound irradiation route ซึ่งมีลักษณะสัณฐานเหมือนดอกไม้ (flower-like) พบว่าการดูดกลืนแสงมากที่สุดที่ความยาวคลื่น 371 nm

จากการคำนวณค่าซ่องว่างແบนพลังงานพบว่าเป็นแบบตรง (direct energy) ซึ่งผลจากการคำนวณค่าซ่องว่างແบนพลังงานของวัสดุตัวอย่าง โดยใช้สมการ $\alpha h\nu = E_D (h\nu - E_g)^{1/2}$ เมื่อ α คือ สัมประสิทธิ์การดูดกลืนแสง, $h\nu$ คือ พลังงานโฟตอน, E_g คือ ซ่องว่างແบนพลังงาน, E_D คือ ค่าคงที่ ($= 1$) พบร่วมค่า E_g ของวัสดุที่แคลไชน์ที่อุณหภูมิ 400, 500 และ 600 °C มีค่าเท่ากับ 2.97, 2.90 และ 3.00 eV ตามลำดับ แสดงดังภาพที่ 5.9(ข) E_g ที่คำนวณได้พบว่ามีค่าต่ำกว่าค่า E_g ของวัสดุ ZnO จากรายงานของ Zu et al. (1997) E_g มีค่าประมาณ 3.37 eV และในรายงานงานของ Ashkarrana et al. (2009) E_g มีค่าประมาณ 3.4 eV เป็นต้น ซึ่งเหตุผลที่ทำให้ค่าແบนพลังงานที่ได้จากการทดลองมีค่าที่ต่ำกว่าค่าແบนพลังงานมาตรฐานของวัสดุ ZnO คือ ~3.37 eV (Pearson et al., 2003) เนื่องจากเป็นผลของ ตำแหน่ง (defect) ภายในโครงสร้างของตัวอย่าง เช่น ซ่องว่างของออกซิเจน และการแทรกที่ของชิงค์ ซึ่งยืนสามารถยืนด้วยเทคนิค Raman อภิปรายผลในหัวข้อที่ 5.1.1.3 เมื่อนำผลของตำแหน่งทั้ง 2 มาเขียนเป็นสมการในรูปสัญลักษณ์ของ ครอเกอร์-วิงค์ (Kroger-Vink Notation) สามารถแสดงดังสมการที่ 5.2-5.6

สมการที่ 5.2-5.3 แสดงการเกิดตำแหน่งเนื่องจากการแทรกที่ของชิงค์ จากปฏิกริยาพบว่าโครงสร้างวัสดุเกิดความไม่สมบูรณ์แบบเฟรนเคล (frenkel imperfection) จากสมการที่ 5.2 โดยที่ Zn_i^X แทนอะตอมของชิงค์ที่แทรกอยู่และ V_{Zn}^X แทนซ่องว่างของชิงค์ที่เกิดจากการเปลี่ยนตำแหน่ง



เมื่อพิจารณาอย่างต่ำของชิ้นค์ที่แทรกสามารถเกิดปฏิกิริยาไอออกไซเดชัน (Ionization reaction) ส่งผลให้เกิดตัวพาประจุ (charge carrier) แสดงดังสมการที่ 5.3 และ 5.4

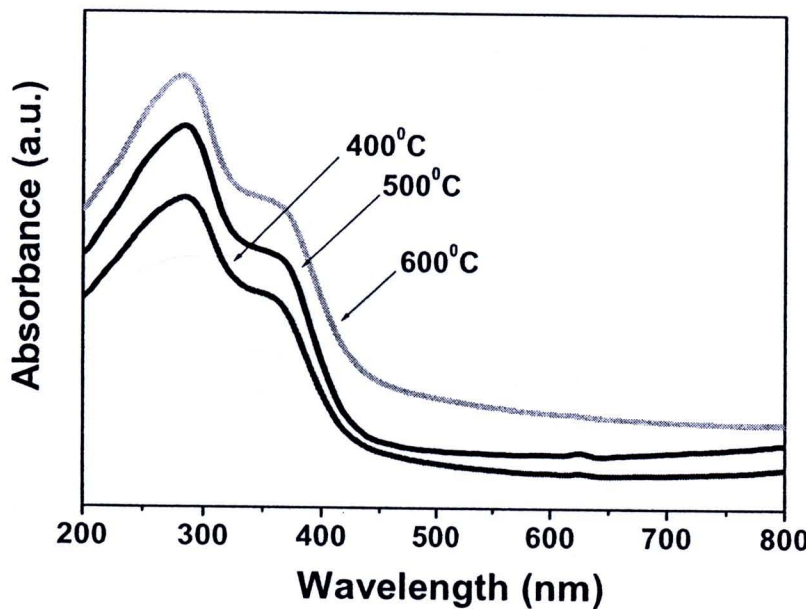


สมการที่ 5.5 และ 5.6 แสดงการเกิดตำแหน่งว่างของออกซิเจน เมื่อพิจารณาช่องว่างของออกซิเจน สามารถเกิดปฏิกิริยาไอออกไซเดชัน และส่งผลให้เกิดตัวพาประจุ

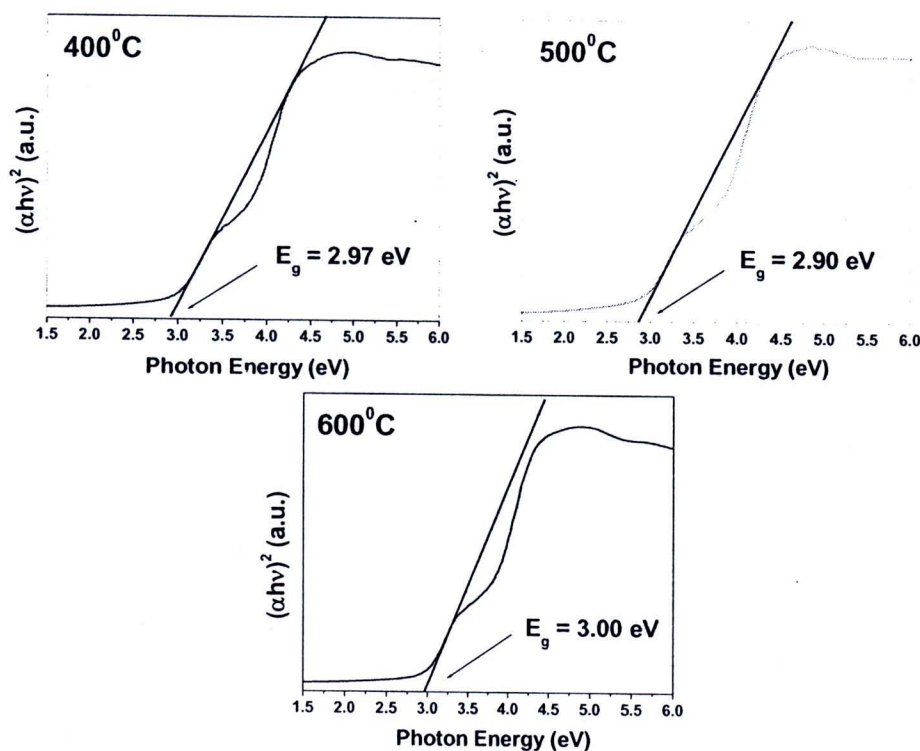


จากการเกิดตัวพาประจุที่เกิดขึ้นในโครงสร้างส่งผลทำให้เกิดระดับพลังงานของชั้นโดเนอร์ (donor level) และดังภาพที่ 5.10 จึงเป็นสาเหตุหลักของการเลื่อนระดับพลังงานในการดูดกลืน แสงในระดับพลังงานที่สั้นลง ส่งผลทำให้ค่าແຄบพลังงานจากงานวิจัยมีค่าที่ต่ำลง (Mende et al., 2007) จากการศึกษาสมบัติการดูดกลืนแสงของวัสดุนาโน ZnO พบร่วงปัจจัยที่ทำให้การดูดกลืนแสง และค่าช่องว่างແຄบพลังงานมีค่าที่แตกต่างกันมาจากการลักษณะสัณฐาน ขนาดของอนุภาค และตำแหน่งภายในโครงสร้าง (Chen et al., 2006)

(ก)



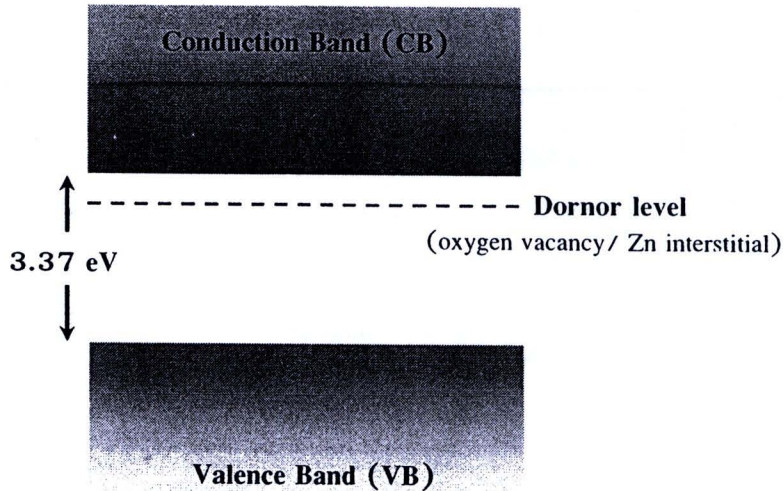
(ข)



ภาพที่ 5.9 สมบัติการดูดกลืนแสงของวัสดุนาโน ZnO โดยเทคนิค UV-vis

(ก) สเปกตรัมการดูดกลืนแสง

(ข) ช่องว่างແຄบพลังงาน



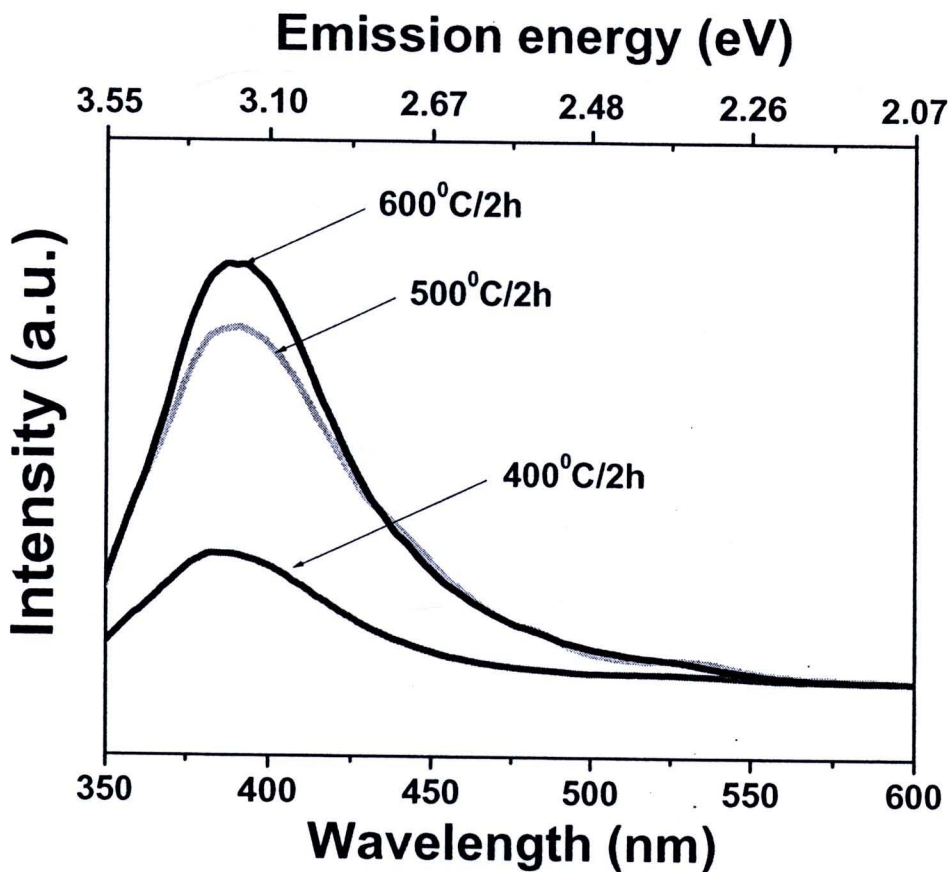
ภาพที่ 5.10 แบบช่องว่างพลังงานของวัสดุนาโน ZnO ที่แสดงระดับพลังงานของชั้นโดเนอร์ (donor level) เมื่อมีตัวหนินิโครงสร้าง

5.1.7 การศึกษาสมบัติทางแสงของวัสดุนาโน ZnO โดยเทคนิค PL

ผลการศึกษาสมบัติการเปล่งแสงของวัสดุนาโน ZnO ที่ผ่านการแคลใจน์ที่อุณหภูมิในช่วง 400–600 °C เป็นเวลา 2 ชั่วโมง โดยเทคนิค Photoluminescence (PL) ที่อุณหภูมิห้อง โดยทำการกระตุ้นสารตัวอย่างด้วยเลเซอร์ซีนอน (Xenon laser) ความยาวคลื่นที่เกิดการดูดกลืนเรียกว่า absorption หรือ excitation wavelength (λ_{ex}) เท่ากับ 325 nm และวัดรังสีที่เปล่งออกมากที่ความยาวคลื่นซึ่งเรียกว่า emission wavelength (λ_{em}) แสดงดังภาพที่ 5.11 จากสเปกตรัมที่ได้พบว่าในทุกเงื่อนไขการแคลใจน์เกิดพีคที่มีความเข้มของยอดกราฟสูงสุดที่ความยาวคลื่นของรังสีที่เปล่งออกในช่วงเหนือม่วง คือ ~390 nm (3.18 eV) และสังเกตพบว่าความเข้มของยอดกราฟมีค่าสูงขึ้นเมื่อเพิ่มอุณหภูมิในการแคลใจน์ การเปล่งรังสีออกในช่วงเหนือม่วงนี้ เป็นผลมาจากการ เอกซิตอน⁴ รีคอมบินেชัน (exciton recombination) ส่งผลให้เกิดการเปล่งแสงใกล้ขอบแคนบาร์เดจ (near-band edge emission) ของวัสดุ ZnO (Lyu et al., 2002; Bergman et al., 2004) แต่อย่างไรก็ตามยังเกิดพีคที่มีความเข้มของยอดกราฟต่ำที่ความยาวคลื่นของรังสีที่เปล่งออก ในช่วงแคนบาร์เดจ (green band) คือ ~535 nm (2.32 eV) ซึ่งเป็นผลจากการไอօนในเซชันของช่องว่างออกซิเจน (V_o^{\bullet}) ภายในโครงสร้างวัสดุนาโน ZnO เขียนดังสมการที่ 5.5 และ 5.6 (Monticone et al., 1998; Vanheusden et al., 1996) ในขณะที่ความเข้มของยอดกราฟสูงสุดของรังสีที่เปล่งออกในช่วงเหนือม่วง บ่งบอกถึงวัสดุนาโน ZnO ที่เตรียมได้มีความบริสุทธิ์ค่อนข้างสูง

⁴เอกซิตอน (exciton) คือ ปรากฏการณ์ เมื่อได้รับการกระตุ้นจากภายนอกอย่างมีประสาทิภาพเพียงพอ ทำให้อิเล็กตรอนกระโดดจากชั้นนอกสุดที่มีอิเล็กตรอนอยู่ หรือ เวเลนซ์ แบนด์ไปสู่ชั้นวางเปล่าที่เรียกว่า คอนดัคชัน แบนด์ ทำให้เกิดหลุมบวก (positively charged hole) ในเวเลนซ์ แบนด์ และมีจำนวนอิเล็กตรอนเพิ่มขึ้นใน คอนดัคชัน แบนด์

(Maensiri et al. 2006) จากผลการศึกษาสมบัติทางแสงด้วยเทคนิค UV-vis และ PL สรุปได้ว่า นาโน ZnO ที่เตรียมได้นั้นมีโครงสร้างเอกซ์กอนอลแบบเวิร์ตไซต์ นอกจากนี้ยังยืนยันการเกิดต่านินภัยในโครงสร้างของวัสดุจริง



ภาพที่ 5.11 สเปกตรัมจากเทคนิค Photoluminescence ของวัสดุ nano ZnO แคลใจน์ที่ อุณหภูมิ 400, 500 และ 600 °C เป็นเวลา 2 ชั่วโมง

5.1.2 ผลการสังเคราะห์วัสดุนาโน ZnO โดยใช้สารละลายว่านหางจระเข้เป็นตัวทำละลาย ด้วยวิธีโซล-เจล ซึ่งอาศัยกระบวนการทางพอลิเมอร์โดยใช้สารละลายว่านหางจระเข้เป็นตัวทำละลาย จากการสังเคราะห์

วัสดุที่อยู่ในรูปแบบสารตั้งต้น พบร่วมกับลักษณะอ่อนนุ่มและง่ายในการบดละเอียด เนื่องจากสารละลายไข่ขาวมีสมบัติเหมือนพอลิเมอร์ที่มีสายโซ่ยาว ดังนั้นในขณะที่ให้ความร้อนแก่สารละลายเพื่อให้เกิดเป็นเจลนั้น ว่านหางจระเข้มีหน้าที่สร้างพันธะระหว่างประจุของโลหะจับกันเป็นโครงข่าย ส่งผลให้ออนุภาคของวัสดุมีความเสถียร และลดการแตกตกร่อน ดังนั้นมีสารละลายเกิดเป็นเจลแห้ง เมื่อนำมาบดจึงได้ผงที่ละเอียด และมีขนาดเล็ก ในเงื่อนไขนี้ใช้อุณหภูมิแคลไชน์ 400, 500 และ 600 °C เป็นเวลา 2 ชั่วโมง ในอากาศ

5.1.2.1 การศึกษากลไกการเกิดโครงสร้าง ZnO

การสังเคราะห์วัสดุนาโน ZnO ด้วยสารละลายว่านหางจระเข้โดยขั้นตอนทางเคมีที่ทำให้เกิดโครงสร้างในระดับนาโนมีหลักการคือ เมื่อสารตั้งต้นของ $Zn(NO_3)_2 \cdot 6H_2O$ ละลายในสารละลายว่านหางจระเข้ที่มีส่วนประกอบหลักคือ น้ำ และว่านหางจระเข้พบว่าในขั้นตอนแรกเกิดการแตกตัวของออนุภาคโลหะในสารตั้งต้นเป็น Zn^{2+} จากนั้นว่านหางจระเข้จะมีบทบาทสำคัญในการสร้างโครงข่ายที่มีประจุลบไปจับกับประจุบวกของชิ้นส่วนจาก การศึกษาในรายงานวิจัยของ Hamman et al. (2008) ได้ศึกษาองค์ประกอบทางเคมีของว่านหางจระเข้ พบร่วมกับสารต่างๆ เช่น เอ็นไซม์ (Enzymes) คาร์โบไฮเดรต (Carbohydrate) แซคคาไรด์ (Saccharides) สารประกอบอนินทรีย์ (Inorganic compounds) วิตามิน (Vitamins) และกรดอะมิโน (Amino acids) ซึ่งรายละเอียดส่วนประกอบของว่านหางจระเข้สรุปดังตารางที่ 5.4 จากการอภิปรายผลในหัวข้อที่ 5.1.1.1 ได้อธิบายในส่วนของกรดอะมิโนที่มีผลในการทำปฏิกิริยาในการจับ Zn^{2+} ที่เกิดการแตกตัวในขั้นตอนแรกเมื่อเป็นอะtomกลางในลักษณะแบบล้อมรอบ แสดงดังภาพที่ 5.1 ซึ่งในวิธีการเตรียมวัสดุนาโน ZnO โดยใช้สารละลายว่านหางจระเข้ที่ใช้กลไกในการทำให้เกิดโครงสร้างในลักษณะนี้ เช่นกัน แต่ลักษณะที่ต่างกันคือชนิดของกรดอะมิโนในโครงสร้างของไข่ขาว และว่านหางจระเข้ จากปัจจัยนี้เองจึงส่งผลถึงลักษณะสัณฐานวิทยา ซึ่งจะอธิบายในหัวข้อถัดไป

ตารางที่ 5.4 ตารางสรุปสารประกอบในวันทางจระเข้

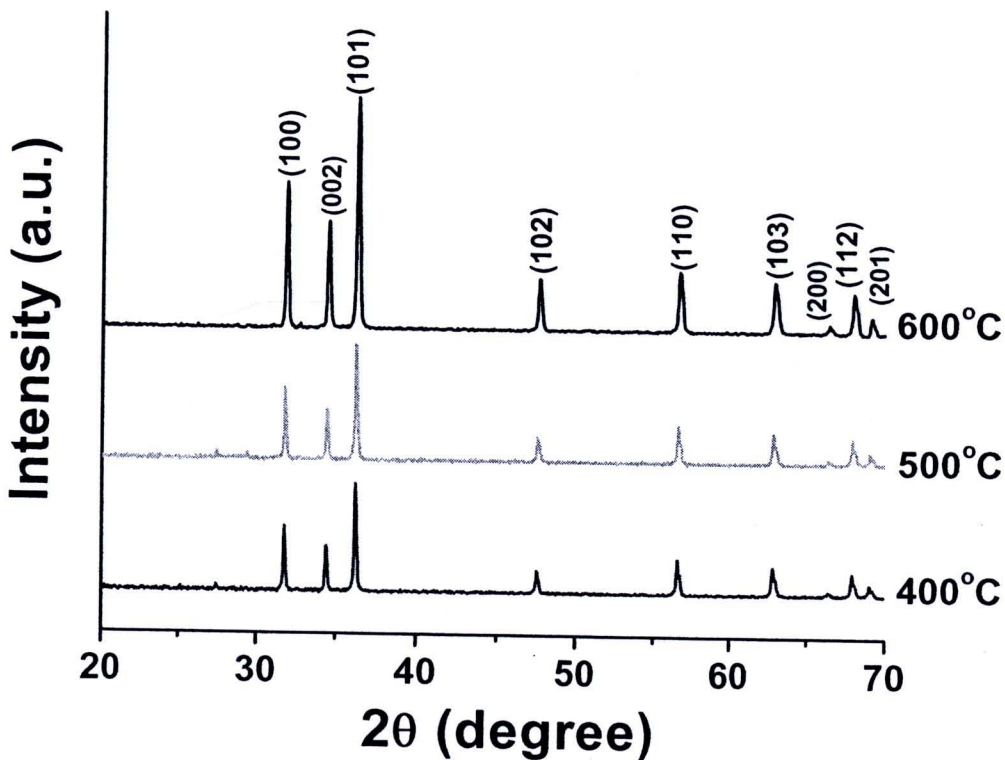
องค์ประกอบทางเคมีใน วันทางจระเข้	สารประกอบ
Anthraquinones/anthrones	Aloe-emodin, aloetic-acid, anthranol, isobarbaloin, emodin
Carbohydrates	Pure mannan, acetylated mannan, acetylated glucomannan, glucogalactomannan, galactan, galactogalacturan, arabinogalactangalacto, glucoarabinomannan, pectic substance, xylan, cellulose
Enzymes	Alkaline phosphatase, amylase, carboxypeptidase, catalase, cyclooxygenase, lipase, oxidase, phosphoenolpyruvate carboxylase, superoxide dismutase
Inorganic compounds	Calcium, chlorine, chromium, copper, iron, magnesium, manganese, potassium, phosphorous, sodium, zinc
Non-essential and essential amino acids	Alanine, arginine, aspartic acid, glutamic acid, glycine, histidine, hydroxyproline, isoleucine, leucine, lysine, methionine, phenylalanine, proline, threonine, tyrosine, valine
Proteins	Lectins, lectin-like substance
Saccharides	Mannose, glucose, L-rhamnose, aldopentose
Vitamins	B1, B2, B6, C, β -carotene, choline, folic acid, α -tocopherol

(ตัดแปลงจาก Hamman et al., 2008)

5.1.2.2 การศึกษาพฤติกรรมการเกิดเฟสโครงสร้างโดยเทคนิค XRD

การศึกษาเฟสและโครงสร้างของวัสดุนาโน ZnO เมื่อใช้สารละลายน้ำหนาจะเข้าเป็นตัวทำละลาย ผ่านการแคลไชน์ที่อุณหภูมิในช่วง 400-600 °C เป็นเวลา 2 ชั่วโมง ในอากาศ โดยเทคนิค XRD ได้แสดงผลในภาพที่ 5.12 ผลการทดลองพบว่ารูปแบบการเลี้ยวเบนรังสีเอกซ์ของวัสดุนาโน ในทุกเงื่อนไขการเผาแคลไชน์สอดคล้องกับข้อมูลมาตรฐานมาตรฐานของโครงสร้างเอกซ์gonอลแบบเวิร์ตไซต์ของวัสดุ ZnO (JCPDS เลขไฟล์ที่ 36-1451) และไม่พบการเกิดเฟสปลอมปนของสารประกอบอื่น ๆ จากการศึกษารักษาณะของยอดกราฟ พบว่าความเข้มของยอดกราฟการเลี้ยวเบนสูงขึ้น และความกว้างของกราฟมีลักษณะแคบลง เมื่อเพิ่มอุณหภูมิในการแคลไชน์ พบว่าวัสดุมีความเป็นผลึกเพิ่มมากขึ้น จากผลข้างต้นที่ได้มีลักษณะคล้ายกับการศึกษาเฟส และโครงสร้างของวัสดุนาโน ZnO ที่เตรียมโดยใช้สารละลายน้ำที่เข้าเป็นตัวทำละลาย แสดงดังหัวข้อที่ 5.1.1.2

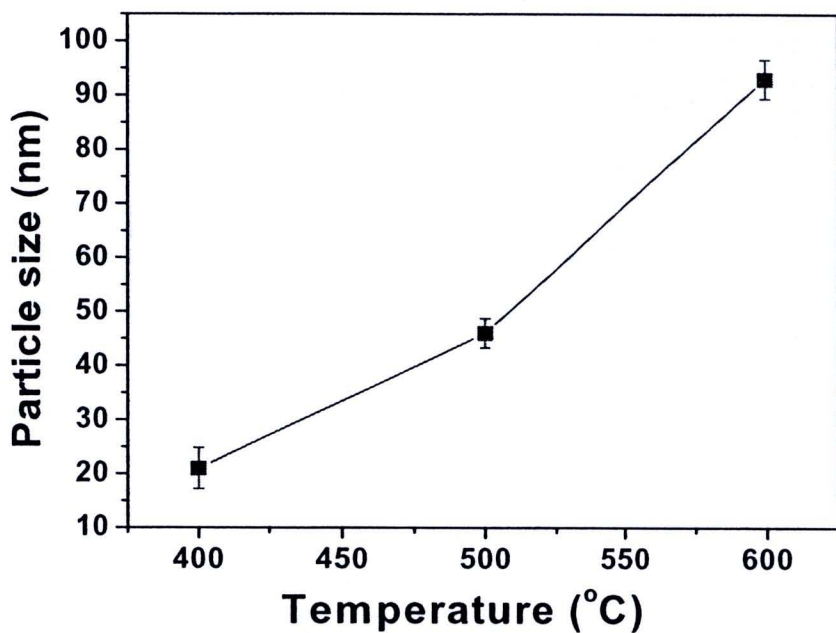
จากรูปแบบการเลี้ยวเบนรังสีเอกซ์สามารถคำนวณขนาดอนุภาคของวัสดุผงได้ โดยวิธี X-ray line broadening โดยเลือกคำนวณจากการเลี้ยวเบนจากระนาบ (100), (002), (101) และ (110) แสดงดังตารางที่ 5.5 และเขียนกราฟแสดงความสัมพันธ์ดังภาพที่ 5.13 ซึ่งจากการนี้พบว่าขนาดของอนุภาคเพิ่มมากขึ้นเมื่อแคลไชน์ที่อุณหภูมิสูงขึ้น ซึ่งมีขนาดในช่วง 21 ± 3.8 - 93.0 ± 3.6 nm สำหรับผลการคำนวณหาค่าคงที่แลตทิช และดังตารางที่ 5.5 และเขียนกราฟแสดงความสัมพันธ์ดังภาพที่ 5.14 จากข้อมูลที่ได้พบว่ามีค่าใกล้เคียงกันกับค่าคงที่แลตทิชของ ZnO ($a = 0.32488$ nm และ $c = 0.52066$ nm) (JCPDS เลขไฟล์ที่ 36-1451)



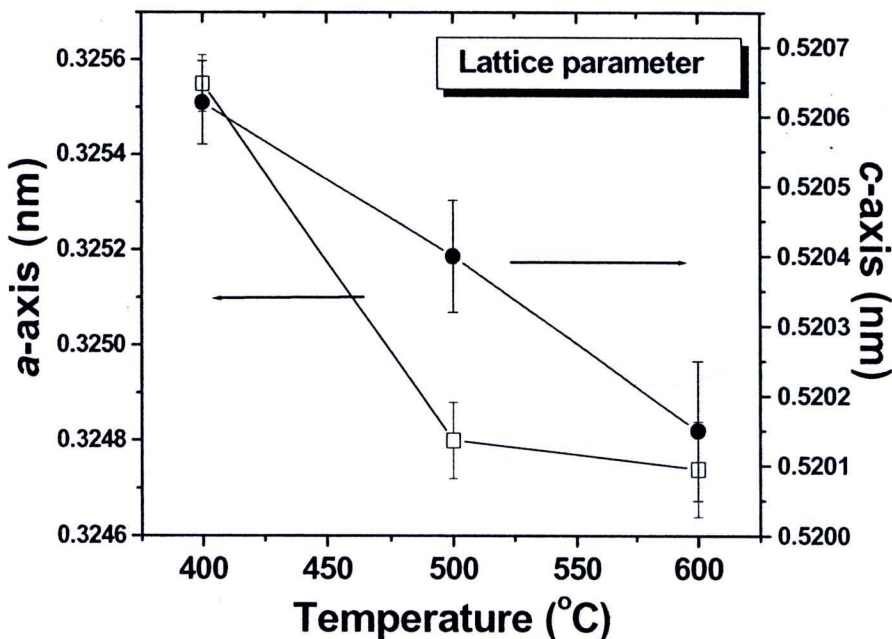
ภาพที่ 5.12 รูปแบบการเลี้ยวเบนรังสีเอกซ์ จากเทคนิค XRD ของวัสดุ nano ZnO แคลไซน์ที่ อุณหภูมิ 400 , 500 และ 600 $^\circ\text{C}$ เป็นเวลา 2 ชั่วโมง

ตารางที่ 5.5 ขนาดอนุภาค และค่าคงที่แลตทิชของวัสดุ nano ZnO เมื่อแคลไซน์ที่อุณหภูมิ 400 , 500 และ 600 $^\circ\text{C}$ เป็นเวลา 2 ชั่วโมง ในอากาศ คำนวณโดยวิธี X-ray line broadening

อุณหภูมิแคลไซน์ ($^\circ\text{C}$)	ขนาดอนุภาค (nm)	ค่าคงที่แลตทิช (nm)	
		a	c
400	21 ± 3.8	0.32555 ± 0.0006	0.52062 ± 0.0006
500	46 ± 2.7	0.32480 ± 0.0008	0.52040 ± 0.0008
600	93 ± 3.6	0.32474 ± 0.0010	0.52015 ± 0.0010



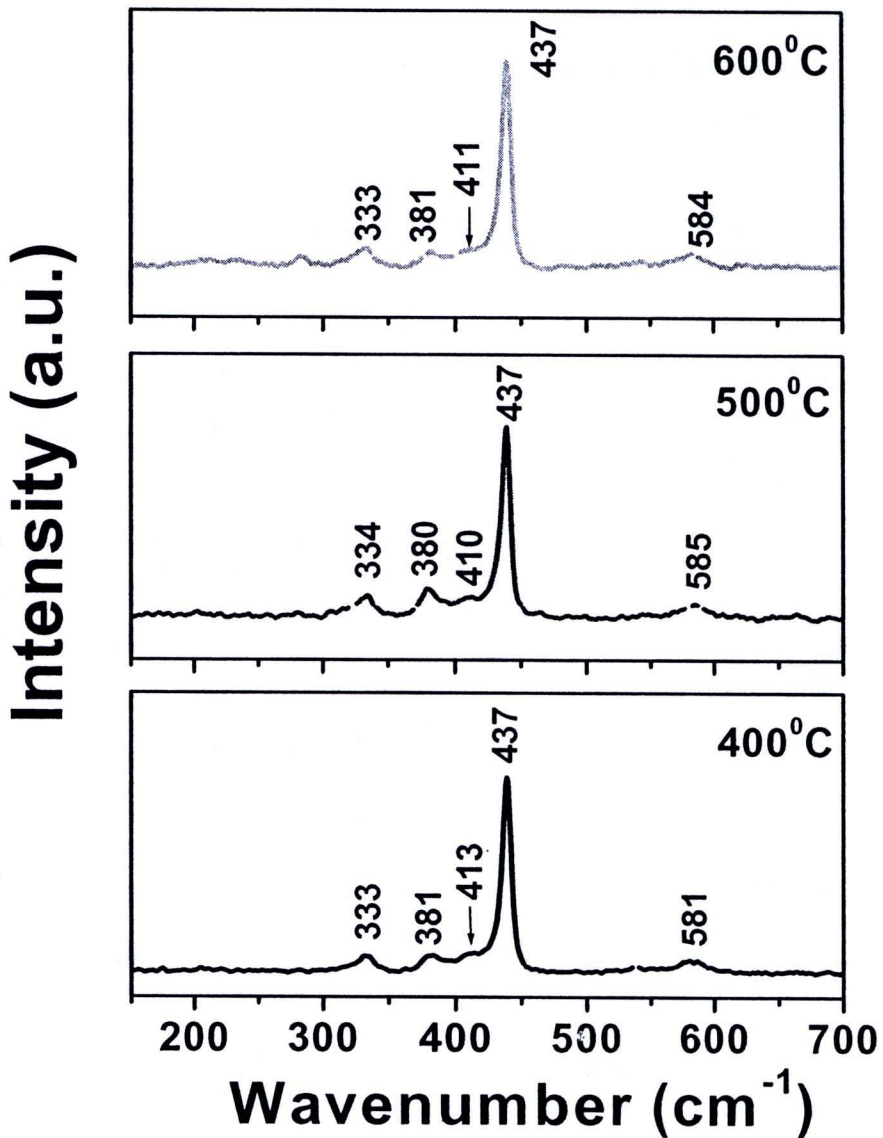
ภาพที่ 5.13 ความสัมพันธ์ระหว่างขนาดอนุภาค กับอุณหภูมิแคลใจน์ของวัสดุนาโน ZnO ที่อุณหภูมิ 400, 500 และ 600 °C เป็นเวลา 2 ชั่วโมง



ภาพที่ 5.14 ความสัมพันธ์ระหว่างค่าคงที่แลตทิช กับอุณหภูมิแคลใจน์ของวัสดุนาโน ZnO ที่อุณหภูมิ 400, 500 และ 600 °C เป็นเวลา 2 ชั่วโมง

5.1.2.3 การศึกษาองค์ประกอบเฟสของวัสดุนาโน ZnO โดยเทคนิค Raman

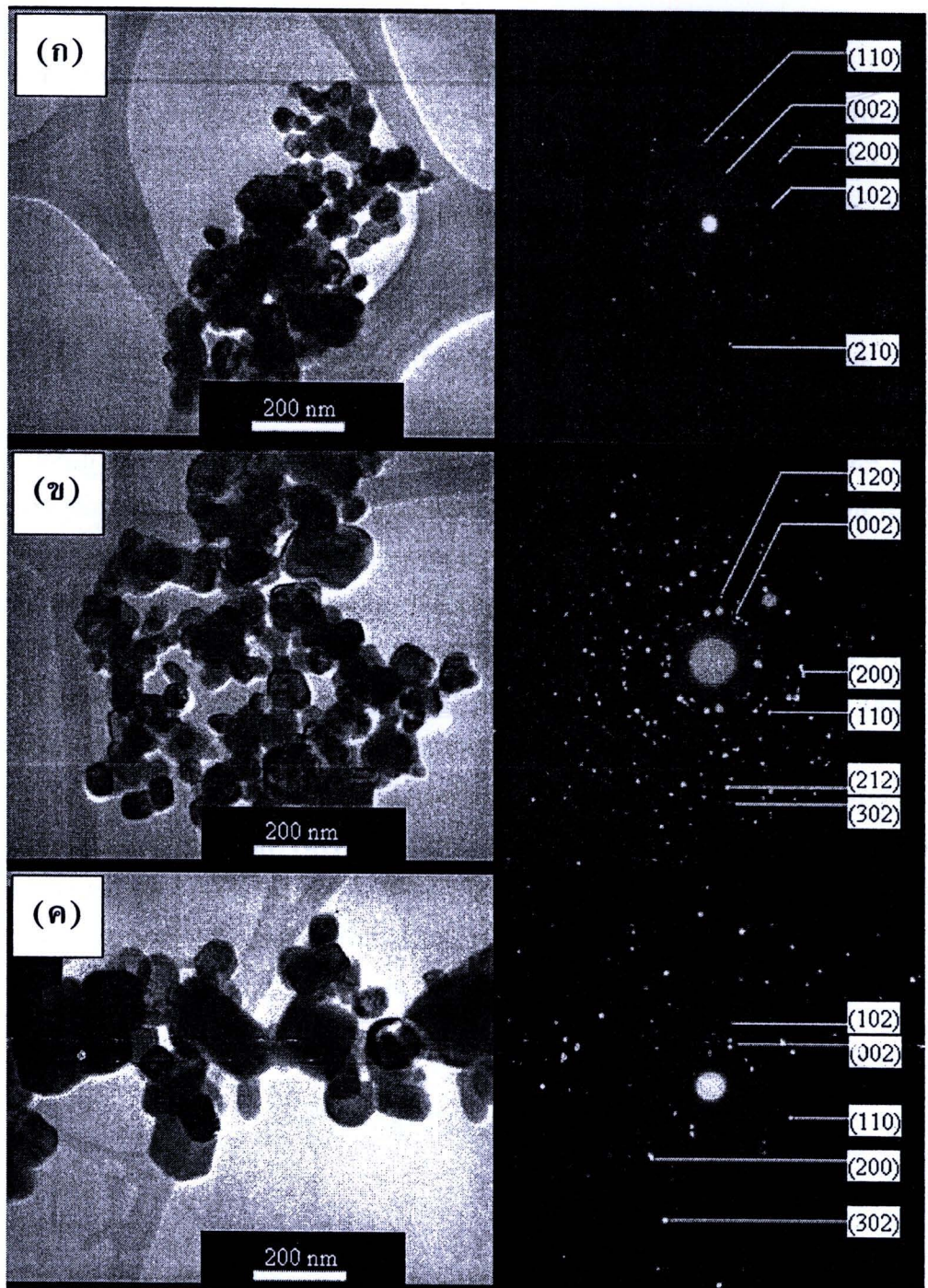
การศึกษาองค์ประกอบเฟสของวัสดุนาโน ZnO เมื่อใช้สารละลายน้ำหางจะระเข้าทำละลาย แคลไซน์ที่อุณหภูมิในช่วง 400-600 °C เป็นเวลา 2 ชั่วโมง ในอาคาร โดยเทคนิคการกระเจิงรำعانได้ผล แสดงดังภาพที่ 5.15 จากภาพสเปกตรัมรามานที่ได้ในทุกเงื่อนไข การแคลไซน์พบว่าเกิดพีคที่มีความเข้มของยอดกราฟสูงสุดที่ตัวแทน 437 cm^{-1} นอกจากนั้นยังเกิดพีคที่มีความเข้มของยอดกราฟต่ำที่ตัวแทน $\sim 333, 381, 411$ และ 581 cm^{-1} ซึ่งสังเกตพบว่าความเข้มของยอดกราฟมีค่าสูงขึ้นเมื่อเพิ่มอุณหภูมิในการแคลไซน์ จากผลข้างต้นที่ได้มีลักษณะสอดคล้องกับรายงานของ Umar et al. (2007) ที่ได้รายงานสเปกตรัมรามานของฟิล์มบาง ZnO ที่ปลูกบนแผ่นรองรับซิลิกอน เตรียมโดยวิธี thermal evaporation จากการศึกษาสเปกตรัมรามานพบว่าเกิดพีคที่ตัวแทน $332, 380, 436, 411$ และ 581 cm^{-1} โดยพีคที่มีความเข้มของยอดกราฟสูงสุดอยู่ที่ตัวแทน 436 cm^{-1} จากการเปรียบเทียบสเปกตรัมรามานกับข้อมูลของวัสดุตัวอย่าง ZnO (Calleja et al., 1977) พบว่าการเกิดพีคที่ตัวแทน 437 cm^{-1} เป็นการยืนยันให้กับการสัน E_2 ของวัสดุ ZnO ที่มีเฟสโครงสร้างแบบเวอร์ตไซต์ นอกจากนั้นตัวแทนพีคที่ $\sim 333 \text{ cm}^{-1}$ เป็นการระบุการกระเจิงรำعانในลำดับที่สอง โดยfononที่บริเวณขอบazonในขณะที่การเกิดพีคที่ตัวแทน $\sim 381 \text{ cm}^{-1}$ เป็นการระบุให้กับการสัน A_1 แบบ TO สุดท้ายการเกิดพีคที่ตัวแทน ~ 411 และ $\sim 580 \text{ cm}^{-1}$ เป็นการระบุให้กับการสัน E_1 แบบ TO และ LO ตามลำดับ ซึ่งถ้าเปรียบเทียบผลข้างต้นที่ได้กับการศึกษาองค์ประกอบเฟสของวัสดุนาโน ZnO โดยใช้สารละลายน้ำหางเป็นตัวทำละลาย ในหัวข้อที่ 5.1.1.3 พบว่าเงื่อนไขการเตรียมโดยใช้สารละลายน้ำหางจะระเข้าเป็นตัวทำละลายพบรากการเกิดพีคที่ตัวแทน $\sim 411 \text{ cm}^{-1}$ ซึ่งอาจเกิดจากตัวหนินิโครงสร้าง โดยรูปแบบของให้กับการสัน LO เป็นการยืนยันการเกิดตัวหนินิโครงสร้างของวัสดุ ZnO เช่น ช่องว่างของออกซิเจนและ การแทรกที่ของชิงค์ (Rajalakshmi et al., 2000) โดยเมื่อเปรียบเทียบความเข้มของยอดกราฟในให้กับการสันที่ยืนยันการเกิดโครงสร้าง ZnO แบบเวอร์ตไซต์ พบว่าให้กับการสัน E_2 มีค่าสูงกว่าให้กับการสันที่ระบุการเกิดตัวหนินิ $E_1(LO)$ ในทุกเงื่อนไขในการแคลไซน์ จึงเป็นการยืนยันวัสดุนาโน ZnO ที่เตรียมได้มีความบริสุทธิ์ค่อนข้างสูง (Wang et al., 2009)



ภาพที่ 5.15 สเปกตรัมจากเทคนิค Raman ของวัสดุนาโน ZnO แคลเซน์ที่อุณหภูมิ 400, 500 และ 600 °C เป็นเวลา 2 ชั่วโมง

5.1.2.4 ผลการศึกษาโครงสร้างของวัสดุ nano ZnO โดยเทคนิค TEM

การถ่ายภาพวัสดุ nano ZnO ด้วยกล้องจุลทรรศน์อิเล็กตรอนแบบส่องผ่านที่ความดันศักย์ 200 KV และกำลังขยาย 200000 เท่าแสดงดังภาพที่ 5.16 การศึกษาด้วยเทคนิค TEM นี้ มีจุดประสงค์คือ ต้องการหาโครงสร้างเฟสที่เกิดขึ้นในวัสดุ nano ZnO ที่เตรียมได้ โดยการพิจารณาจากรูปแบบการเลี้ยวเบนของอิเล็กตรอน เพื่อใช้ในการยืนยันผลที่ได้จากเทคนิค XRD และRaman รวมทั้งเพื่อศึกษาลักษณะสัมฐาน และขนาดของอนุภาค จากการถ่ายที่ได้และรูปแบบการเลี้ยวเบนของอิเล็กตรอนที่ต่างๆกัน (selected-area electron diffraction) พบร่วมกัน พบว่าลักษณะของวัสดุ nano ZnO ที่เตรียมได้ทั้งหมดมีลักษณะที่คล้ายคลึงกันคือลักษณะของอนุภาคที่เป็นเม็ดเล็กๆ เกาะกันอยู่ในช่องว่างระหว่างเม็ดเล็กๆ ขนาดอนุภาค ~30-100 nm ขณะที่เงื่อนไขอุณหภูมิ 400 °C มีขนาด ~50-200 nm และที่เงื่อนไขอุณหภูมิ 600 °C มีขนาด ~100-200 nm จากผลที่ได้พบว่าเมื่อแคลไชน์ที่อุณหภูมิสูงขึ้นขนาดของอนุภาคจะเพิ่มขึ้นตาม จากนั้นเมื่อศึกษารูปแบบการเลี้ยวเบนของอิเล็กตรอนพบว่ามีลักษณะการกระจายตัวเป็นจุดเกิดขึ้น ซึ่งจากการพิจารณาดูแล้วว่าเมื่อแคลไชน์ที่อุณหภูมิสูงขึ้นความเข้ม และการกระจายตัวของจุดจะเพิ่มสูงขึ้นตาม ซึ่งยืนยันถึงความเป็นผลิตภัณฑ์ nano ZnO ที่เพิ่มขึ้นตาม (Maensiri et al., 2006) จากรูปแบบการเลี้ยวเบนนี้ยังสามารถใช้ศึกษาโครงสร้างของผลิตภัณฑ์โดยการคำนวณระยะห่างระหว่างระนาบหรือค่า d จากรัศมีของแต่ละวง แล้วนำไปเปรียบเทียบกับฐานข้อมูลอ้างอิง พบว่าวัสดุ nano ZnO ที่เตรียมได้มีโครงสร้างผลึกเป็นเอกซ์ไกโนอลแบบเวอร์ตไซต์ (JCPDS เลขไฟล์ที่ 36-1451) และไม่พบเฟสโครงสร้างของสารประกอบอื่นเกิดขึ้นแต่อย่างใด จากผลที่ได้ช่วยยืนยันข้อมูลที่วิเคราะห์เฟสโครงสร้างด้วยเทคนิค XRD และRaman ว่า สามารถสังเคราะห์วัสดุ nano ZnO ที่มีโครงสร้างเป็นเอกซ์ไกโนอลแบบเวอร์ตไซต์

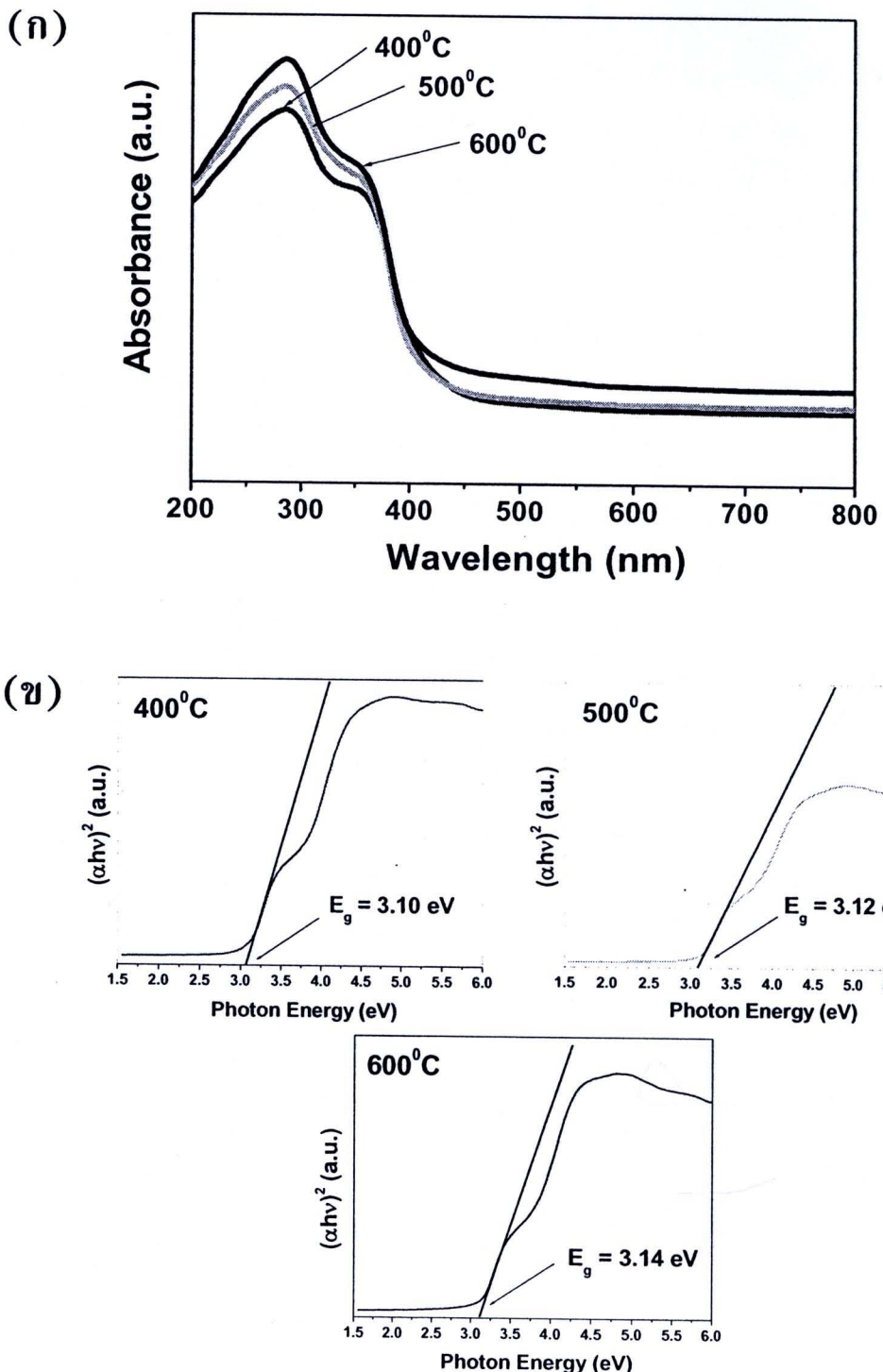


ภาพที่ 5.16 ภาพถ่าย TEM ของวัสดุ nano ZnO แคลไซน์ที่อุณหภูมิ (ก) 400, (ข) 500 และ (ค) 600 °C เป็นเวลา 2 ชั่วโมง

5.1.2.5 การศึกษาสมบัติทางแสงของวัสดุ nano ZnO โดยเทคนิค UV-vis

การศึกษาสมบัติการดูดกลืนแสงของวัสดุ nano ZnO ที่ผ่านการแคลเซนท์อุณหภูมิในช่วง 400-600 °C เป็นเวลา 2 ชั่วโมง โดยเทคนิค UV-Vis แสดงดังภาพที่ 5.17 จากการพิจารณาพบว่าลักษณะสเปกตรัมการดูดกลืนแสงมีความคล้ายคลึงกัน นั่นคือสามารถดูดกลืนแสงได้ดีในย่านแสงเห็นม่วง คือที่ความยาวคลื่นต่ำกว่า 400 nm (3.10 eV) และมียอดกราฟของการดูดกลืนสูงสุดที่ความยาวคลื่น ~288 nm (4.31 eV) แสดงดังภาพที่ 5.17(g) ผลที่ได้นี้สอดคล้องกับการศึกษาสมบัติทางแสงโดยเทคนิค UV-vis ของวัสดุ nano ZnO โดยใช้สารละลายไข่ขาวเป็นตัวทำละลาย

จากการคำนวณหาค่าซึ่งว่างແบนพลังงานเป็นแบบตรง ซึ่งผลจาก การคำนวณหาค่าซึ่งว่างແบนพลังงานของวัสดุตัวอย่าง โดยใช้สมการที่ 4.5 จากการคำนวณพบว่าค่า E_g ของวัสดุที่แคลเซนท์อุณหภูมิ 400, 500 และ 600 °C มีค่าเท่ากับ 3.10, 3.12 และ 3.14 eV ตามลำดับ แสดงดังภาพที่ 5.17(x) จากค่า E_g ที่คำนวณได้พบว่ามีค่าที่ต่ำกว่าค่าແบนพลังงานมาตรฐานของวัสดุ ZnO คือ ~3.37 eV (Pearson et al., 2003; Zu et al., 1997) ซึ่งสาเหตุเนื่องจากเป็นผลของ ต้านทานภายในโครงสร้างของวัสดุตัวอย่าง คือซึ่งว่างของออกซิเจน และการแทรกที่ของซิงค์ ที่สามารถยึนยันด้วยเทคนิค Raman ในหัวข้อที่ 5.1.2.2 และสามารถเขียนเป็นสมการในรูปสัญลักษณ์ของ ครอเกอร์-วิงค์ ที่อธิบายการเกิดต้านทานในโครงสร้างวัสดุมีผลต่อการดูดกลืนแสงที่ແบนพลังงานต่ำลง แสดงดังสมการที่ 5.2-5.6 จากนั้นเมื่อนำผลของต้านทานมาอธิบายในรูปแบบระดับพลังงานของชั้นโดเนอร์เมื่อมีต้านทานในโครงสร้างแสดงดังภาพที่ 5.10 จึงเป็นการอธิบายสาเหตุของการเลื่อนระดับพลังงานในการดูดกลืนแสงในระดับพลังงานที่สั้นลง (Mende et al., 2007) จากการศึกษาสมบัติการดูดกลืนแสงของวัสดุ nano ZnO พบว่าปัจจัยที่ทำให้การดูดกลืนแสง และค่าซึ่งว่างແบนพลังงานมีค่าที่แตกต่างกันเนื่องมาจากลักษณะสัณฐานขนาดของอนุภาค และต้านทานภายในโครงสร้าง (Chen et al., 2006)



ภาพที่ 5.17 สมบัติการดูดกลืนแสงของวัสดุนาโน ZnO โดยเทคนิค UV-vis

(ก) สเปกตรัมการดูดกลืนแสง

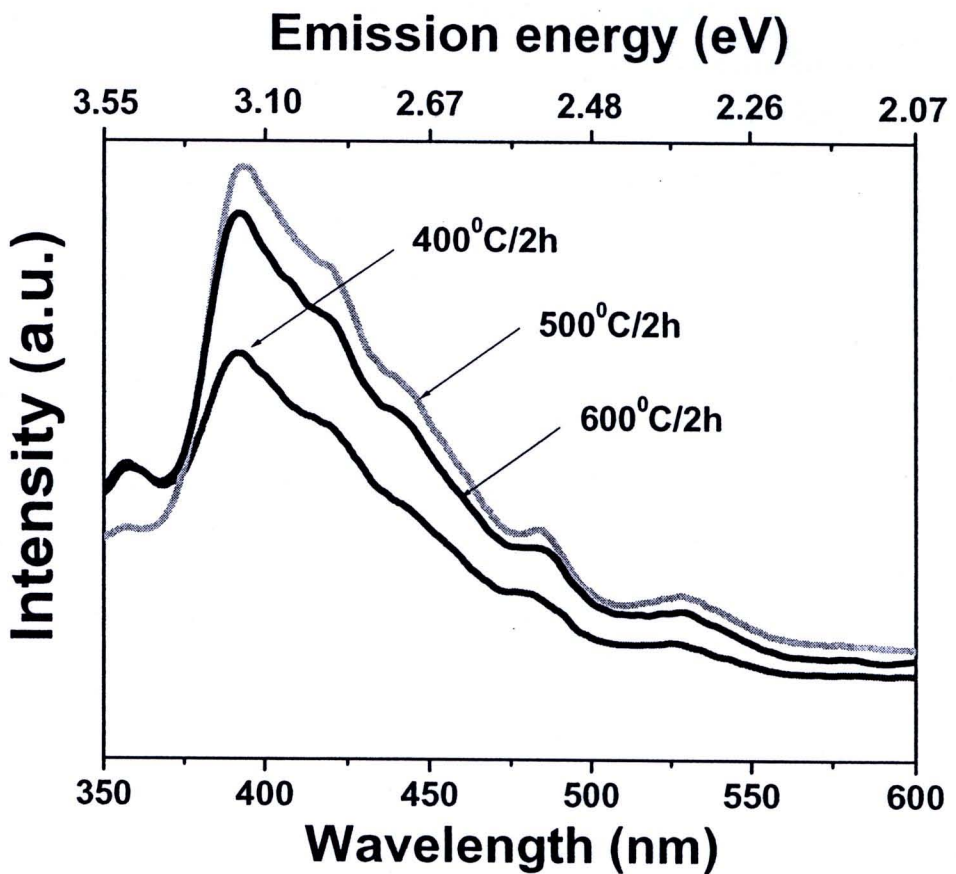
(ข) ช่องว่างແຄນพลังงาน

5.1.2.6 การศึกษาสมบัติทางแสงของนาโน ZnO โดยเทคนิค PL

ผลการศึกษาสมบัติการเปล่งแสงของวัสดุนาโน ZnO ที่ผ่านการแคลไซน์ที่อุณหภูมิในช่วง 400-600 °C เป็นเวลา 2 ชั่วโมง โดยเทคนิค Photoluminescence (PL) ที่อุณหภูมิห้อง แสดงดังภาพที่ 5.18 จากสเปกตรัมที่ได้พบว่าในทุกเงื่อนไขการแคลไซน์ เกิดพีคที่มีความเข้มของยอดกราฟสูงสุดที่ความยาวคลื่นของรังสีที่เปล่งออกในช่วงแสงหนึ่อม่วง คือ ~392 nm (3.17 eV) นอกจากนี้ยังพบการเกิดพีคที่ความยาวคลื่นของรังสีที่เปล่งออก พบว่ามี 3 ตำแหน่งด้วยกันคือ ในช่วงแถบหนึ่อม่วงอ่อน มีค่า ~420 nm (2.96 eV) ในช่วงแถบสีฟ้า-เขียว มีค่า ~484 nm (2.57 eV) และในช่วงแถบสีเขียว มีค่า ~530 nm (2.34 eV) โดยสาเหตุของช่วงรังสีเปล่งออกมาเกิดขึ้นเนื่องจาก ในช่วงหนึ่อม่วงนั้นเป็นผลมาจากการเอกซิตรอน รีคอมบินेशัน ส่งผลให้เกิดการเปล่งแสงใกล้ขอบแถบการนำของวัสดุ ZnO (Lyu et al., 2002; Bergman et al., 2004) แถบสีฟ้า-เขียวอ่อน เป็นผลมาจากการเกิดต่าหนินบริเวณพื้นผิวของวัสดุ ZnO อย่างเช่น ช่องว่างของออกซิเจน (V_o^X) (Liu et al., 2007) และอะตอมของซิงค์ที่แทรก (Zn_i^X) (Borseth et al., 2006) สุดท้ายแถบแสงสีเขียว ซึ่งเป็นผลมาจากการไอออในเชื้อนของช่องว่างของออกซิเจน (V_o^\bullet) ภายในโครงสร้างวัสดุ สามารถเขียนแสดงดังสมการที่ 5.5 และ 5.6 (Monticone et al., 1998; Li et al., 2000; Vanheusden et al., 1996) ในขณะที่ความเข้มของยอดกราฟสูงสุดของรังสีที่เปล่งออกในช่วงหนึ่อม่วงบ่งบอกว่าวัสดุนาโน ZnO ที่เตรียมได้มีความบริสุทธิ์ดีอนข้างสูง (Maensiri et al. 2006)

จากการศึกษาสมบัติทางแสงด้วยเทคนิค UV-vis และ PL สรุปได้ว่าวัสดุนาโน ZnO ที่เตรียมได้นั้นมีโครงสร้างเอกซิตรอนอลแบบเวิร์ตไซต์ นอกจากนี้ยังยืนยันการเกิดต่าหนินภายในการสร้างภายในวัสดุสารจริง





ภาพที่ 5.18 สเปกตรัมจากเทคนิค Photoluminescence ของวัสดุ nano ZnO แคลไซน์ที่ อุณหภูมิ 400 , 500 และ 600 $^{\circ}\text{C}$ เป็น เวลา 2 ชั่วโมง

5.1.3 ผลการสังเคราะห์สุดทนาโน ZnO โดยใช้สารละลายในตะไคร้สกัดเป็นตัวทำละลาย งานวิจัยนี้ได้ศึกษาการสังเคราะห์สุดทนาโน ZnO ด้วยวิธีโซล-เจล ซึ่งอาศัย

กระบวนการทางพอลิเมอร์โดยใช้ละลายในตะไคร้สกัดเป็นตัวทำละลาย จากการสังเคราะห์สุดทนาโน ZnO ได้รูปแบบสารตั้งต้นหรือพรีเคอร์เซอร์ ซึ่งมีลักษณะอ่อนนุ่มและง่ายในการบดละเอียด เนื่องจากสารละลายในตะไคร้สกัด มีสมบัติเหมือนพอลิเมอร์ที่มีสายโซ่ยาว ดังเช่นในกรณีที่ใช้สารละลายไข่ขาว และว่านหางจระเข้ ดังนั้นในขณะที่ให้ความร้อนแก่สารละลายเพื่อให้เกิดเป็นเจลนั้น สารละลายในตะไคร้สกัดมีหน้าที่สร้างพันธะระหว่างประจุของโลหะจับกันเป็นโครงข่าย ส่งผลให้ออนุภาคที่เตรียมด้วยความเสถียร และลดการตกตะกอน ดังนั้นมีอุบดเจลแห้งที่ได้จึงได้ผงที่ละเอียด และมีขนาดเล็ก ในเงื่อนไขนี้ใช้อุณหภูมิแคลใจนที่ 400, 500 และ 600 °C เป็นเวลา 2 ชั่วโมง ในอากาศ

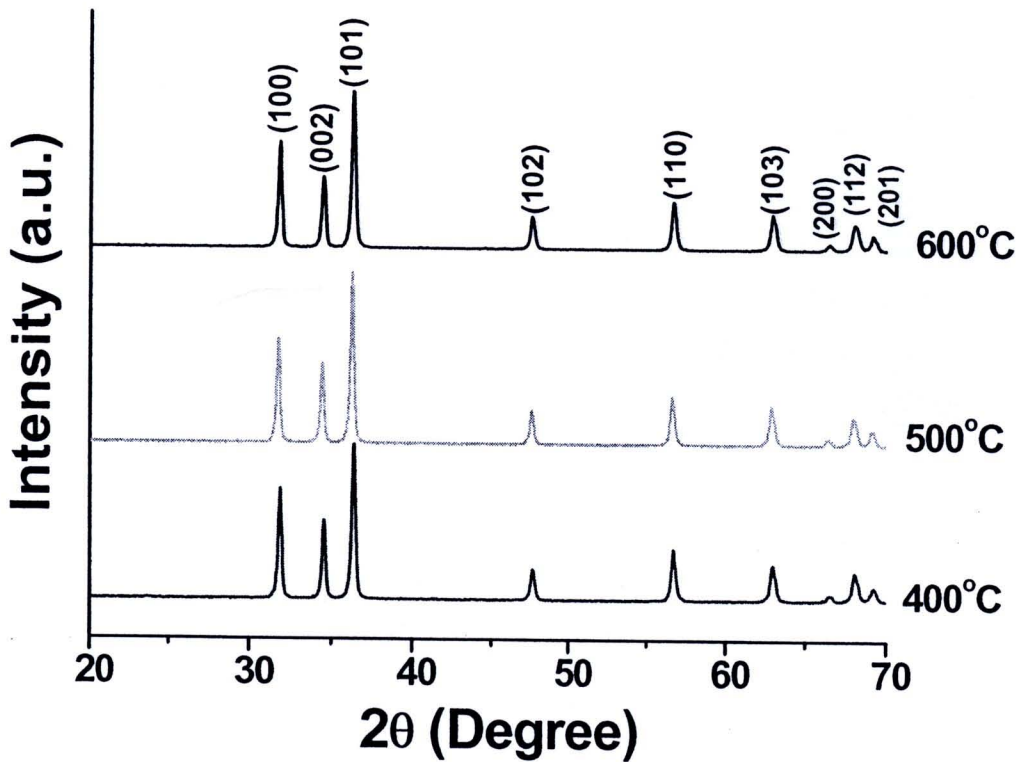
5.1.3.1 การศึกษากลไกการเกิดโครงสร้าง ZnO

การสังเคราะห์สุดทนาโน ZnO เมื่อใช้ละลายในตะไคร้สกัดเป็นตัวทำละลาย มีขั้นตอนทางเคมีที่ทำให้เกิดโครงสร้างในระดับนาโนมีดังนี้คือ เมื่อสารตั้งต้นของ $Zn(NO_3)_2 \cdot 6H_2O$ ละลายในสารละลายในตะไคร้สกัดที่มีส่วนประกอบหลักคือ น้ำ และในตะไคร้พบว่าในขั้นตอนแรกเกิดการแตกตัวของอนุภาคโลหะของสารตั้งต้นเกิดเป็น Zn^{2+} จากนั้นส่วนของไข่ขาวมีบทบาทสำคัญในการสร้างโครงข่ายที่มีไออกอนลับไปจับกันไว้ออนบางของชิงค์ แต่เนื่องจากส่วนประกอบของสารละลายในตะไคร้สกัดส่วนมากจะมีสารเคมีพอก citral, citronella และ geraneol ที่เป็นน้ำมันหอมระ夷 และยังมีส่วนประกอบของสารเคมีชนิดอื่น ๆอย่างเช่น Iso-orientin, Methylheptenol, Furfural, Luteolin, Phenolic substance, Cymbopogonol, Cymbopogone, vitamin A, beta-carotene, Citral B, Waxes, Nerol, Myrcene, l-Menthol; Linalool, Geraniol, Dipentene, d-Citronellic acid และ Cymbopol (Masuda et al., 2008) จากข้อมูลข้างต้นพบว่าไม่ปรากฏองค์ประกอบของกรดอะมิโนที่เป็นส่วนประกอบในสารละลายในตะไคร้สกัดปรากฏอยู่ ดังนั้นอาจเป็นไปได้ว่ามีสารเคมีบางตัวที่ทำหน้าที่ทำหน้าที่คล้ายกรดอะมิโนในการจับ Zn^{2+} ที่เกิดการแตกตัวในระหว่างการทำปฏิกิริยา ส่วนเหตุผลในรายละเอียดยังไม่สามารถระบุได้แน่ชัดว่าสารเคมีชนิดใดที่เป็นองค์ประกอบหลักในการสร้างโครงข่ายทำให้เกิดเฟสของโครงสร้างนาโน ZnO

5.1.3.2 การศึกษาพฤติกรรมการเกิดเฟสโครงสร้างโดยเทคนิค XRD

การศึกษาเฟสและโครงสร้างของวัสดุนาโน ZnO เมื่อใช้ละลายน้ำในตะไคร้สักดีเป็นตัวทำละลาย ที่ผ่านการแคลไซน์ที่อุณหภูมิในช่วง $400\text{--}600\text{ }^{\circ}\text{C}$ เป็นเวลา 2 ชั่วโมง ในอากาศ โดยเทคนิค XRD ได้ผลแสดงดังภาพที่ 5.19 ซึ่งพบว่า รูปแบบการเลี้ยวเบนของรังสีเอกซ์ของวัสดุ ในทุกเงื่อนไขการเผาแคลไซน์สอดคล้องกับข้อมูลมาตรฐานของโครงสร้างเอกซ์ไกโนอลแบบเวอร์ตไซต์ของวัสดุ ZnO (JCPDS เลขไฟล์ที่ 36-1451) และไม่พบการเกิดเฟสปลอมปนของสารประกอบอื่น ๆ จากการศึกษาลักษณะของยอดกราฟ พบว่าความเข้มของยอดกราฟการเลี้ยวเบนสูงขึ้น และความกว้างของกราฟมีลักษณะแคบลง เมื่อเพิ่มอุณหภูมิของการแคลไซน์ ซึ่งแสดงถึงความเป็นผลึกเพิ่มมากขึ้นเมื่อแคลไซน์ที่อุณหภูมิสูงขึ้น ผลที่ได้นี้มีลักษณะคล้ายการศึกษาเฟสและโครงสร้างของนาโน ZnO ที่เตรียมโดยใช้สารละลายน้ำ เช่น ว่านหางจระเข้ เป็นตัวทำละลาย

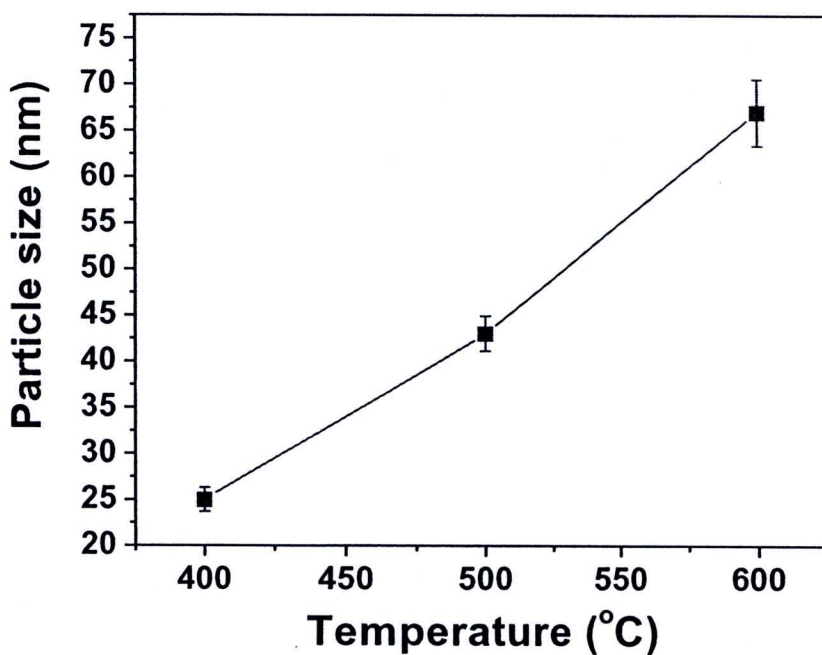
จากรูปแบบการเลี้ยวเบนรังสีเอกซ์สามารถคำนวณขนาดอนุภาคของวัสดุผงได้ โดยวิธี X-ray line broadening โดยเลือกคำนวณจากการเลี้ยวเบนที่ระนาบ (100), (002), (101) และ (110) ดังแสดงในตารางที่ 5.6 พร้อมค่าคงที่แลตทิชและกราฟแสดงความสัมพันธ์ระหว่างขนาดอนุภาคที่คำนวนได้กับอุณหภูมิที่ใช้แคลไซน์แสดงในภาพที่ 5.20 ซึ่งจากกราฟนี้พบว่าขนาดของอนุภาคเพิ่มมากขึ้นเมื่อแคลไซน์ที่อุณหภูมิสูงขึ้น โดยมีขนาดในช่วง 25 ± 1.6 – $67 \pm 2.2\text{ nm}$ กราฟความสัมพันธ์ระหว่างค่าคงที่แลตทิช กับอุณหภูมิแคลไซน์แสดงดังภาพที่ 5.6 ซึ่งจากข้อมูลที่ได้มีค่าใกล้เคียงกับค่าคงที่ของแลตทิชมาตรฐานของ ZnO ($a = 0.32488\text{ nm}$ และ $c = 0.52066\text{ nm}$) (JCPDS เลขไฟล์ที่ 36-1451)



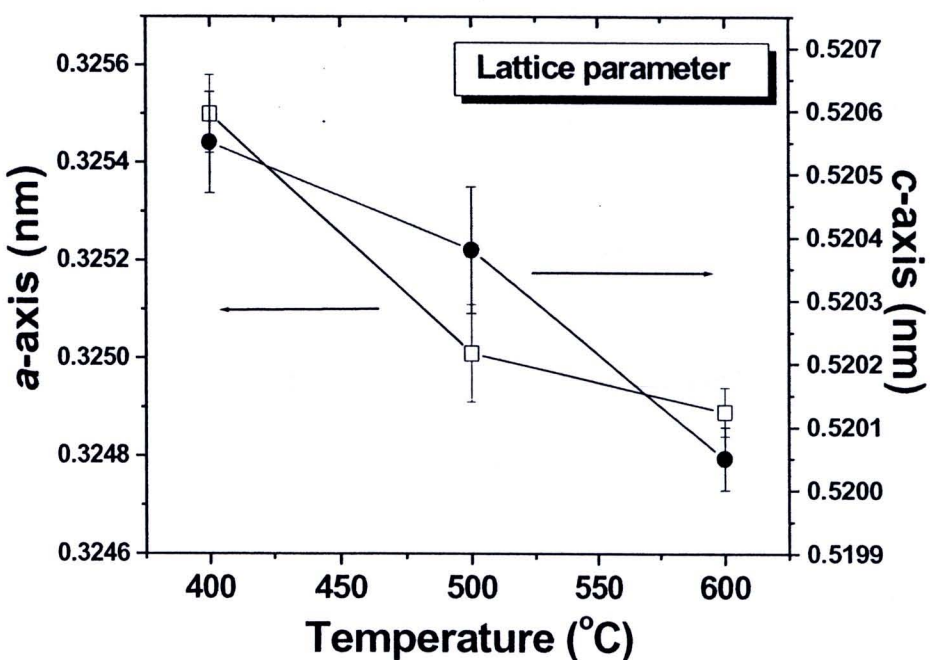
ภาพที่ 5.19 รูปแบบการเลี้ยวเบนรังสีเอกซ์ จากเทคนิค XRD ของสัตุนาโน ZnO
แคลไชน์ที่อุณหภูมิ 400, 500 และ 600 °C เป็นเวลา 2 ชั่วโมง

ตารางที่ 5.6 ขนาดอนุภาค และค่าคงที่แลตทิชของสัตุนาโน ZnO เมื่อแคลไชน์อุณหภูมิที่ 400, 500 และ 600 °C เป็นเวลา 2 ชั่วโมง ในอากาศ คำนวณโดยวิธี X-ray line broadening

อุณหภูมิแคลไชน์ (°C)	ขนาดอนุภาค (nm)	ค่าคงที่แลตทิช (nm)	
		a	c
400	25 ± 1.6	0.32550 ± 0.0008	0.52055 ± 0.0008
500	43 ± 1.9	0.32501 ± 0.0010	0.52038 ± 0.0010
600	67 ± 2.2	0.32489 ± 0.0005	0.52005 ± 0.0005



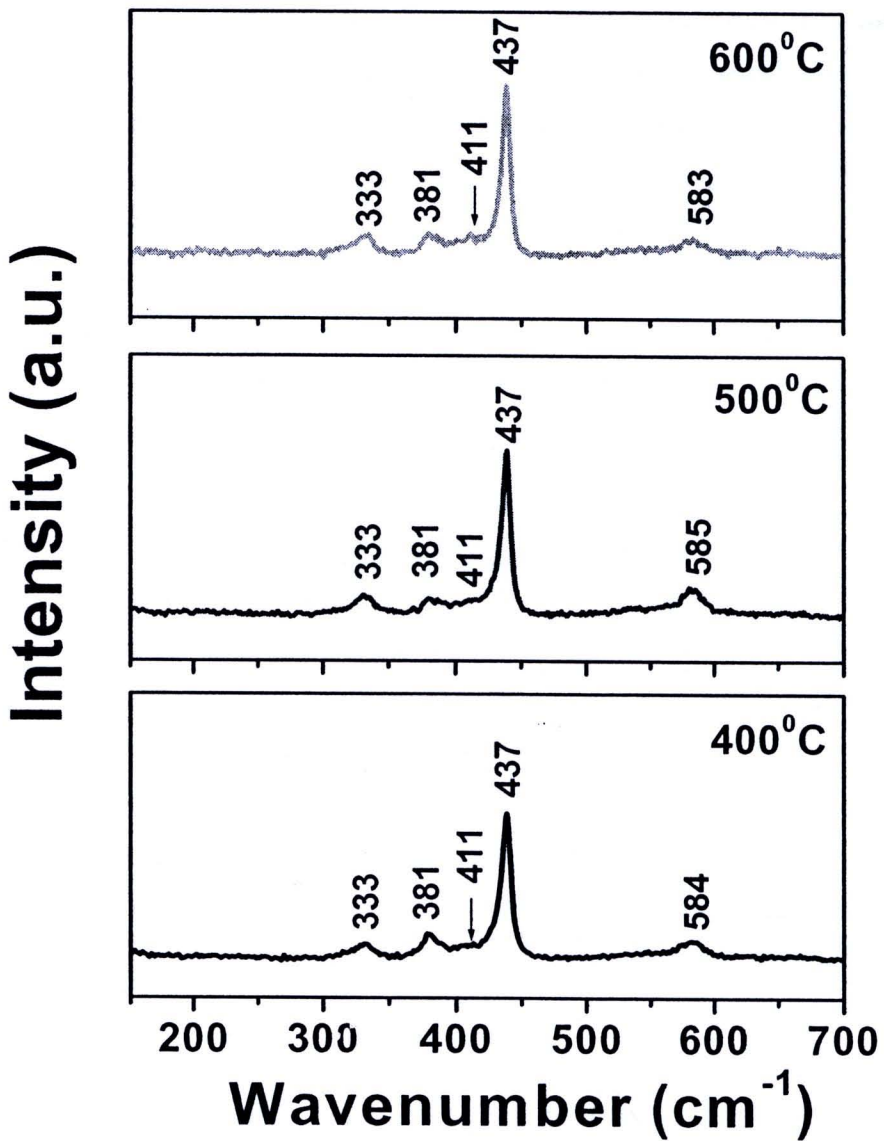
ภาพที่ 5.20 ความสัมพันธ์ระหว่างขนาดอนุภาค กับอุณหภูมิแคลไชน์ของวัสดุนาโน ZnO ที่อุณหภูมิ 400, 500 และ 600 °C เป็นเวลา 2 ชั่วโมง



ภาพที่ 5.21 ความสัมพันธ์ระหว่างค่าคงที่แลตทิช กับอุณหภูมิแคลไชน์ของวัสดุนาโน ZnO ที่อุณหภูมิ 400, 500 และ 600 °C เป็นเวลา 2 ชั่วโมง

5.1.3.3 การศึกษาองค์ประกอบเฟสของวัสดุนาโน ZnO โดยเทคนิค Raman

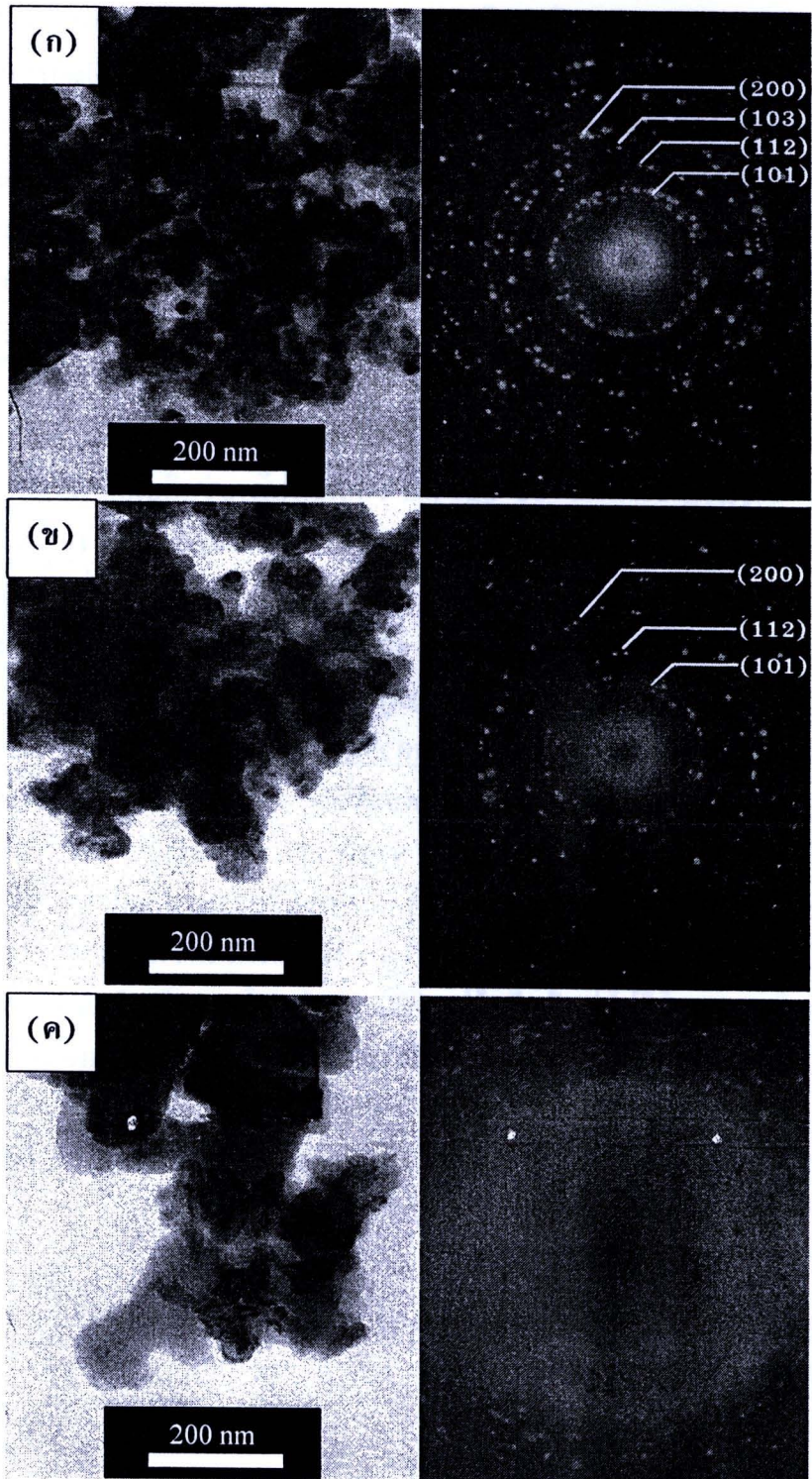
การศึกษาองค์ประกอบเฟสของวัสดุนาโน ZnO เมื่อใช้สารละลายน้ำตัวกรักัดเป็นตัวทำละลาย ผ่านการแคลเซนท์ที่อุณหภูมิในช่วง 400-600 °C เป็นเวลา 2 ชั่วโมง ในอากาศ โดยเทคนิคการกระเจิงรำนา แสดงดังภาพที่ 5.22 จากสเปกตรัมรำนาที่ได้พบว่าในทุกเงื่อนไขการแคลเซนท์ พบร้าเกิดพีคที่มีความเข้มของยอดกราฟสูงสุดที่ตำแหน่ง 437 cm^{-1} นอกจากนั้นยังพบการเกิดพีคที่มีความเข้มของยอดกราฟมีค่าสูงขึ้นเมื่อเพิ่มอุณหภูมิในการแคลเซนท์ จากผลข้างต้นมีลักษณะคล้ายการศึกษาองค์ประกอบเฟสโดยเทคนิค Raman ของวัสดุนาโน ZnO เมื่อใช้ว่านทางจะระเข้ แสดงดังภาพที่ 5.2.3 และสอดคล้องกับรายงานของ Umar et al. (2007) ที่ได้รายงานสเปกตรัมรำนาของฟิล์มบาง ZnO ที่ปั๊กบนแผ่นรองรับซิลิกอน เตรียมโดยวิธี thermal evaporation เมื่อศึกษาสเปกตรัมรำนาพบว่าเกิดรูปแบบพีคที่ตำแหน่ง $332, 380, 436, 411$ และ 581 cm^{-1} โดยตำแหน่งพีคที่มีความเข้มของยอดกราฟสูงสุดที่ตำแหน่ง 436 cm^{-1} จากการเปรียบเทียบสเปกตรัมรำนาในข้อมูลของวัสดุตัวอย่าง ZnO (Calleja et al., 1977) พบร้าพีคที่ตำแหน่ง 437 cm^{-1} เป็นการยืนยันใหม่ของการสัน E_2 ของวัสดุ ZnO ที่มีเฟสโครงสร้างแบบเวิร์ตไซต์ และตำแหน่งพีคที่ $\sim 333\text{ cm}^{-1}$ เป็นการระบุการกระเจิงรำนาในลำดับที่สอง โดยไฟฟอนที่บริเวณขอบโซน ในขณะที่การเกิดพีคที่ตำแหน่ง $\sim 381\text{ cm}^{-1}$ เป็นการระบุใหม่ของการสัน A_1 แบบ TO สุดท้ายการเกิดพีคที่ตำแหน่ง ~ 411 และ $\sim 581\text{ cm}^{-1}$ เป็นการระบุใหม่ของการสัน E_1 แบบ TO และ LO ตามลำดับ ซึ่งถ้าเปรียบเทียบผลข้างต้นที่ได้กับการศึกษาองค์ประกอบเฟสของวัสดุนาโน ZnO เมื่อใช้สารละลายน้ำเป็นตัวทำละลาย พบร้าเมื่อเทียบสเปกตรัมรำนาที่เป็นตัวทำละลายพบร้าการเกิดพีคที่ตำแหน่ง $\sim 411\text{ cm}^{-1}$ เมื่อจากปริมาณต้านนิภัยในโครงสร้าง โดยใหม่ของการสันแบบ LO เป็นการยืนยันการเกิดต้านนิภัยในโครงสร้างของวัสดุ ZnO เช่น ช่องว่างของออกซิเจน และการแทรกที่ของซิงค์ (Rajalakshmi et al., 2000) เมื่อเปรียบเทียบความเข้มของยอดกราฟในใหม่ของการสันที่ยืนยันการเกิดโครงสร้าง ZnO แบบเวิร์ตไซต์พบว่าใหม่ของการสัน E_2 มีค่าสูงกว่าใหม่ของการสันที่ระบุการเกิดต้านนิภัย $E_1(LO)$ ในทุกเงื่อนไขในการแคลเซนท์ จึงเป็นการยืนยันในวัสดุนาโน ZnO ที่เตรียมได้มีความบริสุทธิ์ค่อนข้างสูง (Wang et al., 2009)



ภาพที่ 5.22 สเปกตรัมจากเทคนิค Raman ของสัตุนาโน ZnO แคลไซน์ที่อุณหภูมิ 400, 500 และ 600 °C เป็นเวลา 2 ชั่วโมง

5.1.3.4 ผลการศึกษาลักษณะของวัสดุนาโน ZnO โดยเทคนิค TEM

ภาพถ่ายวัสดุนาโน ZnO ด้วยกล้องจุลทรรศน์อิเล็กตรอนแบบส่องผ่านที่ความต่างศักย์ 200 KV และกำลังขยาย 200000 เท่าแสดงดังภาพที่ 5.23 การศึกษาด้วยเทคนิค TEM นี้ มีจุดประสงค์คือ ต้องการหาโครงสร้างเฟสที่เกิดขึ้นในวัสดุนาโน ZnO ที่เตรียมได้ โดยการพิจารณาจากรูปแบบการเลี้ยวเบนของอิเล็กตรอน เพื่อใช้ในการยืนยันผลที่ได้จากเทคนิค XRD และ Raman รวมทั้งเพื่อศึกษาลักษณะสัณฐาน และขนาดของอนุภาค จากภาพถ่ายที่ได้ และรูปแบบการเลี้ยวเบนอิเล็กตรอน พบร้าลักษณะของวัสดุนาโน ZnO ที่เตรียมได้ทั้งหมด มีความคล้ายคลึงกันคือลักษณะอนุภาคเกาะกลุ่มกัน โดยที่เงื่อนไขอุณหภูมิ 400°C มีขนาดอนุภาค $\sim 30\text{-}70 \text{ nm}$ ขณะที่เงื่อนไขอุณหภูมิ 500°C มีขนาดประมาณ $\sim 50\text{-}100 \text{ nm}$ และที่เงื่อนไขอุณหภูมิ 600°C มีขนาดประมาณ $\sim 50\text{-}200 \text{ nm}$ จากผลที่ได้พบว่าเมื่อมีการแคลไชน์ที่อุณหภูมิสูงขึ้นขนาดของอนุภาคจะมีขนาดเพิ่มขึ้นตาม สอดคล้องกับลักษณะของนาโน ZnO เมื่อใช้สารละลายว่านาทางจะระเข้ ด้วยเทคนิค TEM แสดงดังภาพที่ 5.16 จากนั้นเมื่อศึกษารูปแบบการเลี้ยวเบนของอิเล็กตรอนพบว่าที่เงื่อนไขอุณหภูมิ 400 และ 500°C มีลักษณะการกระจายตัวเป็นจุดเกิดขึ้น ซึ่งจากการจะพบว่าเมื่อแคลไชน์ที่อุณหภูมิสูงขึ้นความเข้ม และการกระจายตัวของจุดที่เกิดจากการเลี้ยวเบนจะเพิ่มสูงขึ้นซึ่งยืนยันถึงความเป็นผลึกของวัสดุตัวอย่างที่เพิ่มขึ้นตาม (Maensiri et al., 2006) จากรูปแบบการเลี้ยวเบนนี้ยังสามารถใช้ศึกษาโครงสร้างของผลึกโดยการคำนวณค่าระยะห่างระหว่างรากฐานหรือค่า d จากรัศมีของแต่ละวง แล้วนำไปเปรียบเทียบกับฐานข้อมูลอ้างอิงพบว่านาโน ZnO ที่เตรียมได้มีโครงสร้างผลึกเป็นเอกซ์โගอนอลแบบเวอร์ตไซท์ ของวัสดุ ZnO (JCPDS เลขไฟล์ที่ 36-1451) และไม่พบเฟสโครงสร้างของสารประกอบอื่นเกิดขึ้นแต่อย่างใด จากผลที่ได้ช่วยยืนยันข้อมูลที่วิเคราะห์เฟสโครงสร้างด้วยเทคนิค XRD และ Raman ว่าสามารถสังเคราะห์นาโน ZnO ที่มีโครงสร้างเป็นเอกซ์โගอนอลแบบเวอร์ตไซท์ได้จริงอย่างไรก็ตามที่เงื่อนไข อุณหภูมิ 600 พบร้าเกิดปัญหุในการล้างฟิล์มจึงทำให้ได้รูปแบบการเลี้ยวเบนของอิเล็กตรอนไม่ชัดเจน ทำให้ไม่สามารถวิเคราะห์ผลเพื่อหาระนาบที่สอดคล้องกับข้อมูลมาตรฐานได้



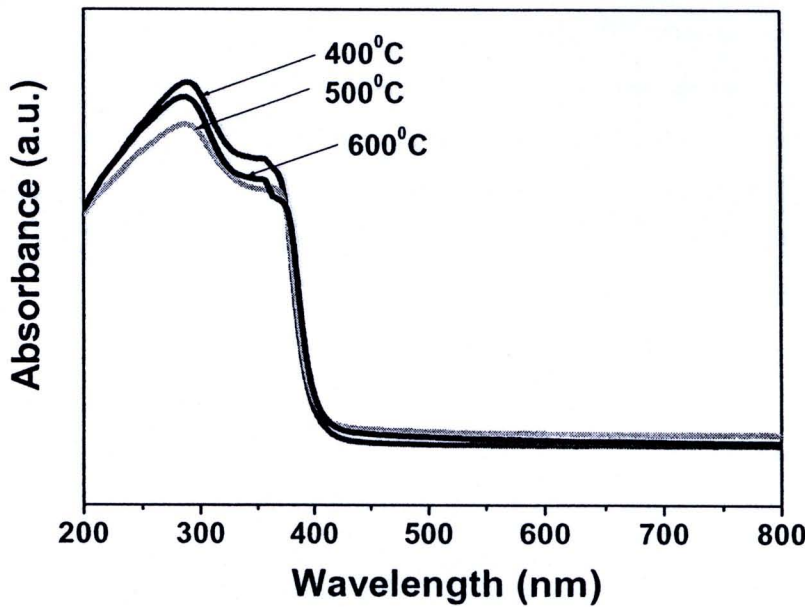
ภาพที่ 5.23 ภาพถ่าย TEM ของวัสดุ nano ZnO แคลไชน์ที่อุณหภูมิ (ก) 400, (ข) 500 และ (ค) 600°C เป็นเวลา 2 ชั่วโมง

5.1.3.5 การศึกษาสมบัติทางแสงของวัสดุนาโน ZnO โดยเทคนิค UV-vis

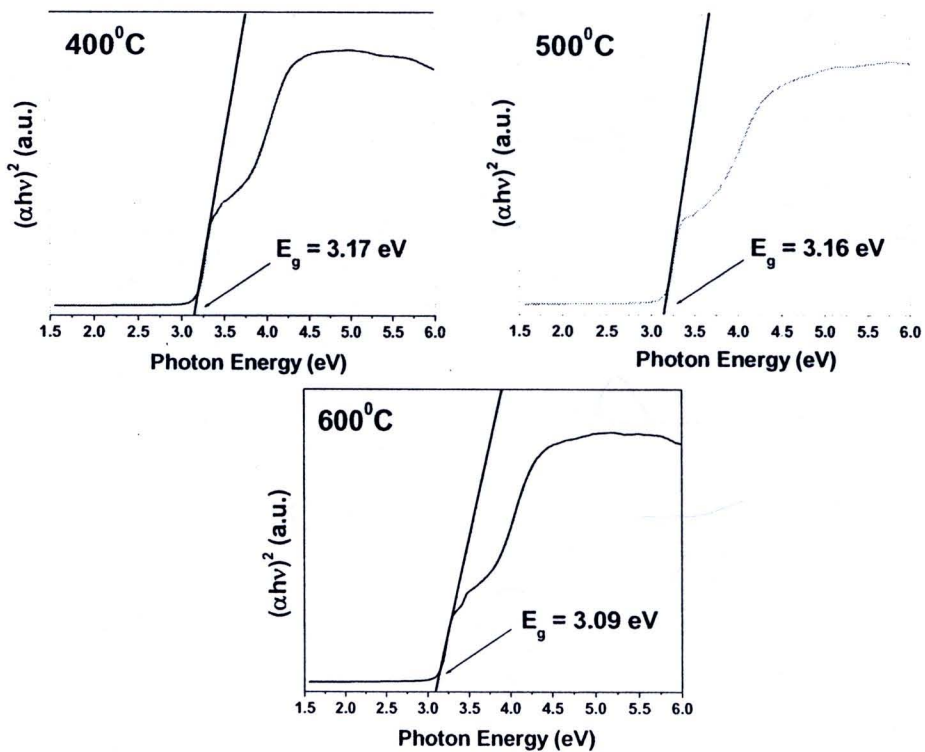
การศึกษาสมบัติการดูดกลืนแสงของนาโน ZnO ที่ผ่านการแคลเซนท์ที่อุณหภูมิ ในช่วง $400\text{--}600\text{ }^{\circ}\text{C}$ เป็นเวลา 2 ชั่วโมง โดยเทคนิค UV-Vis แสดงดังภาพที่ 5.24 การพิจารณาพบว่าลักษณะสเปกตรัมของการดูดกลืนแสงมีความคล้ายคลึงกัน โดยวัสดุสามารถดูดกลืนแสงได้ดีในย่านเนื้อม่วง คือที่ความยาวคลื่นต่างกว่า 400 nm (3.10 eV) และมียอดกราฟของการดูดกลืนที่ความยาวคลื่นประมาณ 288 nm (4.31 eV) ดังแสดงในภาพที่ 5.17(ก) จากผลที่ได้สอดคล้องกับการศึกษาสมบัติทางแสงของวัสดุนาโน ZnO โดยเทคนิค UV-vis โดยใช้สารละลายไข่ขาว และว่านหางจรเข้ เป็นตัวทำละลาย อภิปรายผลในหัวข้อที่ 5.1.1.6 และ 5.1.2.5 ตามลำดับ

จากการคำนวณค่าซ่องว่างแบบพลังงานพบว่าเป็นแบบตรง ซึ่งผลจาก การคำนวณหาค่าซ่องว่างแบบพลังงานของวัสดุตัวอย่าง โดยใช้สมการที่ 4.5 จากการคำนวณพบว่าค่า E_g มีค่าเท่ากับ 3.17 , 3.16 และ 3.09 eV สำหรับตัวอย่างที่แคลเซนท์ที่อุณหภูมิ 400 , 500 และ $600\text{ }^{\circ}\text{C}$ ตามลำดับ แสดงดังภาพที่ 5.24(ข) จากค่า E_g ที่คำนวณได้พบว่ามีค่าต่ำกว่าค่าแบบพลังงานมาตรฐานของวัสดุ ZnO คือ $\sim 3.37\text{ eV}$ (Pearson et al., 2003; Zu et al., 1997) สาเหตุเนื่องจากเป็นผลของ ตำแหน่งภายในโครงสร้างของวัสดุตัวอย่าง คือซ่องว่างของออกซิเจน และการแทรกที่ของซิงค์ ที่ยืนยันด้วยเทคนิค Raman ในหัวข้อที่ 5.3.3 ซึ่งสามารถเขียนเป็นสมการในรูปสัญลักษณ์ของ ครอเกอร์-วิงค์ ที่อธิบายการเกิดตำแหน่งในโครงสร้างวัสดุมีผลต่อการดูดกลืนแสงที่แบบพลังงานต่ำลง แสดงดังสมการที่ 5.2-5.6 จากนั้นเมื่อนำผลของตำแหน่ง อธิบายในรูปแบบระดับพลังงานของชั้นโดเนอร์เมื่อมีตำแหน่งในโครงสร้างแสดงดังภาพที่ 5.10 จึงเป็นการอธิบายสาเหตุของการเลื่อนระดับพลังงานในการดูดกลืนแสงในระดับพลังงานที่ลึกลง (Mende et al., 2007) จากการศึกษาสมบัติการดูดกลืนแสงของวัสดุนาโน ZnO พบร้าปัจจัยที่ทำให้การดูดกลืนแสง และค่าซ่องว่างแบบพลังงานมีค่าที่แตกต่างกันเนื่องมาจากลักษณะสัณฐานขนาดของอนุภาค และตำแหน่งภายในโครงสร้าง (Chen et al., 2006)

(ก)



(ข)



ภาพที่ 5.24 สมบัติการดูดกลืนแสงจากเทคนิค UV-vis ของวัสดุนาโน ZnO

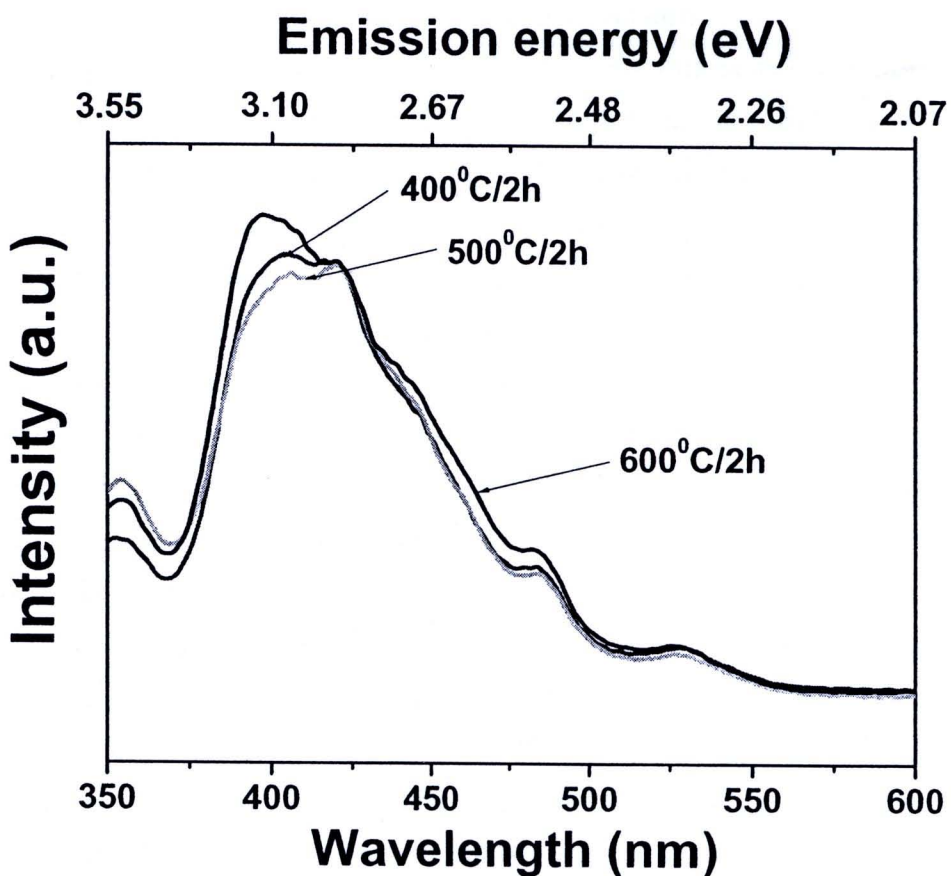
(ก) สเปกตรัมการดูดกลืนแสง

(ข) ช่องว่างແບນພลังงาน

5.1.3.6 การศึกษาสมบัติทางแสงของวัสดุนาโน ZnO โดยเทคนิค PL

ผลการศึกษาสมบัติการเปล่งแสงของวัสดุนาโน ZnO ที่ผ่านการแคลไชน์ที่อุณหภูมิในช่วง 400-600 °C เป็นเวลา 2 ชั่วโมง โดยเทคนิค Photoluminescence (PL) แสดงดังภาพที่ 5.25 โดยสเปกตรัมการเกิดพีคที่มีความเข้มของยอดกราฟสูงสุดพบในทุกเงื่อนไขการแคลไชน์ โดยที่เงื่อนไข 400 และ 500 °C เกิดพีคที่มีความเข้มของยอดกราฟ คือ ~398 nm (3.12 eV) ส่วนที่เงื่อนไข 600 °C เกิดพีคที่มีความเข้มของยอดกราฟ ~404 nm (3.07 eV) ซึ่งจากตำแหน่งพีคพบว่ามีการเลื่อนไปทางแสงสีฟ้า (blue shift) ในเงื่อนไขการแคลไชน์ที่อุณหภูมิสูงขึ้น จากผลที่เกิดขึ้นไม่สามารถใช้ทฤษฎี quantum confined effect มาอธิบายผลของการเลื่อนตำแหน่งพีคไปทางแสงสีฟ้าได้ เนื่องจากขนาดของวัสดุนาโนที่สั้นเคราะห์ได้มีขนาดใหญ่กว่ารัศมีบอร์ (~1.8 nm) ของวัสดุ ZnO (Hur et al., 2005) แต่อย่างไรก็ตามจากรายงานของ Gopel et al. 1980 อธิบายผลของของการเลื่อนตำแหน่งพีคไปทางแสงสีฟ้า เมื่อขนาดของอนุภาคมีขนาดใหญ่กว่ารัศมีบอร์ เนื่องจากเป็นผลของต่านิบริเวณพื้นผิวของโครงสร้างวัสดุนาโน นอกจากนั้นในทุกเงื่อนไขการ แคลไชน์ยังพบการเกิดพีคที่ความยาวคลื่นของรังสีที่เปล่งออกพบว่ามี 4 ตำแหน่งด้วยกันคือ ช่วงแถบเหนือกว่า 600 nm มีค่า ~420 nm (2.96 eV) ในช่วงแถบสีฟ้าอ่อน มีค่า ~443 nm (2.80 eV) ในช่วงแถบสีฟ้า-เขียว อ่อน มีค่า ~484 nm (2.57 eV) และในช่วงแถบสีเขียว มีค่า ~530 nm (2.34 eV) โดยสาเหตุของช่วงรังสีเปล่งออกมาเกิดขึ้นเนื่องจากช่วงเหนือกว่า 600 nm เป็นผลมาจากการแยกชิตตอน รีคอมบินेशัน ส่งผลให้เกิดการเปล่งแสงใกล้ขอบแถบการนำของวัสดุ ZnO (Lyu et al., 2002; Bergman et al., 2004) ในช่วงแถบสีฟ้าอ่อน และแถบสีฟ้า-เขียวอ่อน เป็นผลมาจากการเกิดตำแหน่งบริเวณพื้นผิวของวัสดุ ZnO อย่างเช่น ช่องว่างของออกซิเจน (V_o^X) (Liu et al., 2007) และอะตอมของซิงค์ที่แทรก (Zn_i^X) (Borseth et al., 2006) สุดท้ายแถบแสงสีเขียว คือ ~535 nm (2.32 eV) เป็นผลจากการไอออกในเชื้อนของช่องว่างของออกซิเจน (V_o^\bullet) ภายในโครงสร้างนาโน ZnO สามารถเขียนแสดงดังสมการที่ 5.5 และ 5.6 (Monticone et al., 1998; Li et al., 2000; Vanheusden et al., 1996) ในขณะที่ความเข้มของยอดกราฟสูงสุดของรังสีที่เปล่งออกในช่วงเหนือกว่า 600 nm ของวัสดุนาโน ZnO ที่เตรียมได้มีความบริสุทธิ์ค่อนข้างสูง (Maensiri et al. 2006) จากผลการศึกษาสมบัติทางแสงด้วยเทคนิค UV-vis และ PL สรุปได้ว่าวัสดุนาโน ZnO ที่เตรียมได้นั้นมีโครงสร้างเอกะซะโกลอลแบบเวอร์ตไซต์ นอกจากนี้ยังยืนยันการเกิดตำแหน่งภายในโครงสร้างภายในวัสดุสาร





ภาพที่ 5.25 สเปกตรัมจากเทคนิค Photoluminescence ของวัสดุนาโน ZnO แคลไซน์ที่ อุณหภูมิ 400, 500 และ 600 °C เป็นเวลา 2 ชั่วโมง

5.1.2 ผลการสังเคราะห์วัสดุนาโน ZnO โดยวิธีการทำปฏิกิริยาทางเคมีด้วยคลื่นอัลตราโซนิก

งานวิจัยนี้ได้ศึกษาการสังเคราะห์วัสดุนาโน ZnO โดยวิธีการทำปฏิกิริยาทางเคมีด้วยคลื่นอัลตราโซนิก ซึ่งใช้สารตั้งต้นโซเดียมคลอไรต์ และโพแทสเซียมไฮดรอกไซด์ ที่เป็นเบส เป็นสารตั้งต้นช่วยในการทำปฏิกิริยาการตกตะกอน ส่วนสารตั้งต้นเกลือโลหะของชิงค์คือ ชิงค์ในเกรต, ชิงค์คลอไรต์, ชิงค์ชัลเฟต และชิงค์อะซิเทրต เครื่องกำเนิดคลื่นอัลตราโซนิกที่ใช้ในการทำปฏิกิริยามีความถี่ 40 kHz และกำลัง 240 W ส่วนเงื่อนไขในการเตรียมวัสดุตัวอย่างสรุปดังตารางที่ 5.7

ตารางที่ 5.7 เงื่อนไขในการเตรียมวัสดุนาโน ZnO โดยวิธีการทำปฏิกิริยาทางเคมีด้วยคลื่นอัลตราโซนิก ที่ผ่านกระบวนการสั่นด้วยคลื่นอัลตราโซนิกเป็นเวลา 1 ชั่วโมง

วัสดุตัวอย่าง	สารตั้งต้นของชิงค์	การทำปฏิกิริยาการตกตะกอน
ZnO_NT_NaOH	ชิงค์ในเกรต ($\text{Zn}(\text{NO}_3)_2 \cdot 6\text{H}_2\text{O}$)	โซเดียมไฮดรอกไซด์ (NaOH)
ZnO_AT_NaOH	ชิงค์อะซิเทรต ($\text{Zn}(\text{CH}_3\text{COO})_2$)	
ZnO_CR_NaOH	ชิงค์คลอไรต์ (ZnCl_2)	
ZnO_SF_NaOH	ชิงค์ชัลเฟต ($\text{ZnSO}_4 \cdot 6\text{H}_2\text{O}$)	
ZnO_NT_KOH	ชิงค์ในเกรต ($\text{Zn}(\text{NO}_3)_2 \cdot 6\text{H}_2\text{O}$)	โพแทสเซียมไฮดรอกไซด์ (KOH)
ZnO_AT_KOH	ชิงค์อะซิเทรต ($\text{Zn}(\text{CH}_3\text{COO})_2$)	
ZnO_CR_KOH	ชิงค์คลอไรต์ (ZnCl_2)	
ZnO_SF_KOH	ชิงค์ชัลเฟต ($\text{ZnSO}_4 \cdot 6\text{H}_2\text{O}$)	

5.1.2.1 การศึกษาปฏิกิริยา และกลไกการเกิดโครงสร้าง ZnO

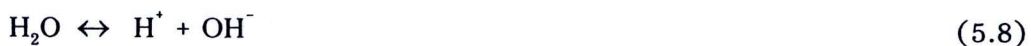
หัวข้อนี้อธิบายถึงปฏิกิริยา และกลไกการเกิดโครงสร้าง ZnO โดยวิธีการทำปฏิกิริยาทางเคมีด้วยคลื่นอัลตราโซนิก ซึ่งใช้สารตั้งต้นโซเดียมคลอไรต์ และโพแทสเซียมไฮดรอกไซด์ เป็นตัวทำปฏิกิริยาการตกตะกอน และสารตั้งต้นของเกลือโลหะของชิงค์คือ ชิงค์ในเกรต, ชิงค์คลอไรต์, ชิงค์ชัลเฟต และชิงค์อะซิเทรต

5.2.2.1.1 เงื่อนไขการใช้สารละลายน้ำ NaOH

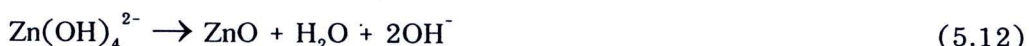
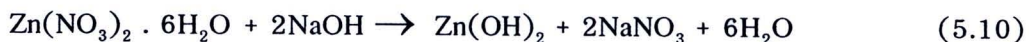
1) กรณีใช้สารตั้งต้น $\text{Zn}(\text{NO}_3)_2 \cdot \text{H}_2\text{O}$

การเกิดปฏิกิริยาทางเคมีของวัสดุตัวอย่าง ZnO โดยการใช้สารละลายน้ำโซเดียมไฮดรอกไซด์ กรณีใช้สารตั้งต้นชิงค์ในเกรตพบว่า สารตั้งต้นถูก

ทำให้แตกตัว และมีประจุเกิดขึ้นด้วยคลื่นอัลตราโซนิกที่เคลื่อนที่ผ่านตัวกลางดังปฏิกิริยาตามสมการที่ 5.7-5.9 ตามลำดับ



ขั้นตอนต่อไปประจุอิสระหั้งบวก และลบ จะทำปฏิกิริยาได้สารตั้งต้นของ ชิงค์ไฮดรอกไซด์ ($\text{Zn}(\text{OH})_2$), โซเดียมไนเตรต (NaNO_3) และน้ำ (H_2O) แสดงดังสมการที่ 5.10 จากนั้น ชิงค์ไฮดรอกไซด์ ทำปฏิกิริยากับน้ำ ผลที่ได้คือเตトラไฮโดรโซซิงค์เคต ($\text{Zn}(\text{OH})_4^{2-}$) และไอออนบวกของไฮโดรเจน (H^{+}) แสดงดังสมการที่ 5.11 ส่วน NaNO_3 ในขั้นตอนนี้จะมีสถานะเป็นของเหลวที่สารน้ำละลายอยู่ในน้ำ (aqueous) ไม่ทำปฏิกิริยากับไอออนอิสระใด ๆ ซึ่งมีสมบัติเป็นเกลือ และมีค่า pH ประมาณ 7 โดยการทำจัดสารตั้งต้นชนิดนี้ถูกล้างออกไปด้วยเอทานอล และน้ำ DI สุดท้าย $\text{Zn}(\text{OH})_4^{2-}$ ทำปฏิกิริยา และแตกตัวได้ ZnO เป็นตะกอนสีขาว, น้ำ และไอออนลบของหมูไฮดรอกซิล (OH^{-}) แสดงดังสมการที่ 5.12



2) กรณีใช้สารตั้งต้น $\text{Zn}(\text{CH}_3\text{COO})_2$

การเกิดปฏิกิริยาทางเคมีของวัสดุตัวอย่าง ZnO กับสารละลายเบสของโซเดียมไฮดรอกไซด์ กรณีใช้สารตั้งต้นชิงค์อะซิเทրทพบว่า สารตั้งต้นถูกทำให้แตกตัว และมีไอออนเกิดขึ้นด้วยคลื่นอัลตราโซนิกที่เคลื่อนที่ผ่านตัวกลางดังปฏิกิริยาตามสมการที่ 5.13 ส่วนในกรณีการแตกตัวเป็นไอออนอิสระของน้ำ และโซเดียมไฮดรอกไซด์ แสดงปฏิกิริยาตามสมการที่ 5.8 และ 5.9



จากนั้นประจุอิสระหั้งบวก และลบ จะทำปฏิกิริยากันได้สารตั้งต้นของชิงค์ไฮดรอกไซด์, โซเดียมอะซิเทรต (CH_3COONa) และน้ำ แสดงในสมการที่ 5.14 จากนั้น ชิงค์ไฮดรอกไซด์ ทำปฏิกิริยากับน้ำ จะได้ $\text{Zn}(\text{OH})_4^{2-}$ และ H^{+} ในขั้นตอนนี้การเกิดปฏิกิริยาจะเป็นไปตามสมการที่ 5.11 ส่วน CH_3COONa ซึ่งมีสมบัติเป็นเกลือ มีค่า pH ประมาณ 7 และไม่ทำปฏิกิริยากับไอออน

อิสระได้ฯ โดยสารประกอบชนิดนี้มีสมบัติใกล้เคียงกับ NaNO_3 สารตั้งต้นชนิดนี้ถูกกำจัดออกไปเมื่อล้างด้วยเอทานอล และน้ำ DI สุดท้าย $\text{Zn}(\text{OH})_4^{2-}$ ทำปฏิกิริยาการแตกตัวได้ ZnO ได้เป็นตะกอนสีขาว, น้ำ และไอออนลบหมูไฮดรอกซิลแสดงดังสมการที่ 5.12

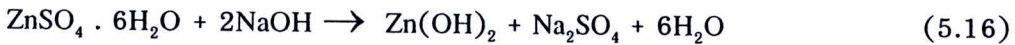


3) กรณีใช้สารตั้งต้น $\text{ZnSO}_4 \cdot 6\text{H}_2\text{O}$

การเกิดปฏิกิริยาทางเคมีของวัสดุตัวอย่าง ZnO โดยการใช้สารละลายเบสของโซเดียมไฮดรอกไซด์ กรณีใช้สารตั้งต้นชิ้นซัลเฟตพบว่า สารตั้งต้นถูกทำให้แตกตัวเป็นไอออนอิสระด้วยคลื่นอัตราโซนิกที่เคลื่อนที่ผ่านตัวกลาง ดังปฏิกิริยาตามสมการที่ 5.15 ส่วนในกรณีการแตกตัวเป็นไอออนอิศรของน้ำ และโซเดียมไฮดรอกไซด์ แสดงปฏิกิริยาตามสมการที่ 5.8 และ 5.9



ไอออนอิศรทั้งบวก และลบ ทำปฏิกิริยากันได้สารตั้งต้นของ ชิ้นโซเดียมไฮดรอกไซด์, โซเดียมซัลเฟต แอนไฮดรส (Na₂SO₄) และน้ำ ตามสมการที่ 5.16 จากนั้นชิ้นโซเดียมไฮดรอกไซด์จะทำปฏิกิริยากับน้ำ ซึ่งผลที่ได้คือ $\text{Zn}(\text{OH})_4^{2-}$ และ H^+ ในขั้นตอนนี้การเกิดปฏิกิริยาจะเหมือนดังสมการที่ 5.11 ส่วนโซเดียมซัลเฟตแอนไฮดรส มีสมบัติเป็นเกลือ และมีค่า pH ประมาณ 6-8 ที่ละลายอยู่ในน้ำจะไม่ทำปฏิกิริยากับไอออนอิสระได้ฯ ซึ่งการกำจัดสารตั้งต้นชนิดนี้จะถูกล้างออกด้วยเอทานอล และน้ำ DI สุดท้าย $\text{Zn}(\text{OH})_4^{2-}$ ทำปฏิกิริยาการแตกตัวได้ ZnO เป็นตะกอนสีขาว, น้ำ และไอออนลบหมูไฮดรอกซิลแสดงดังสมการที่ 5.12

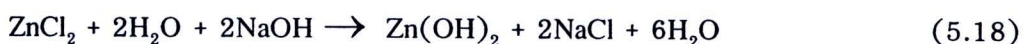


4) กรณีใช้สารตั้งต้นชิ้นซัลโคลอไรด์ (ZnCl_2)

การเกิดปฏิกิริยาทางเคมีของวัสดุตัวอย่าง ZnO โดยการใช้สารละลายเบสของโซเดียมไฮดรอกไซด์ กรณีใช้สารตั้งต้นชิ้นซัลโคลอไรด์พบว่า สารตั้งต้นถูกทำให้เกิดการแตกตัวเป็นไอออนอิสระด้วยคลื่นอัตราโซนิกที่เคลื่อนที่ผ่านตัวกลาง ดังปฏิกิริยาตามสมการที่ 5.17 ส่วนในกรณีการแตกตัวเป็นไอออนอิศรของน้ำ และโซเดียมไฮดรอกไซด์ แสดงปฏิกิริยาตามสมการที่ 5.8 และ 5.9



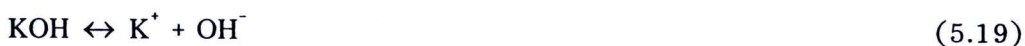
ขันตอนต่อไปไอออนอิสระทั้งบวก และลบ ทำปฏิกิริยา กันได้สารตั้งต้นของชิงค์ไฮดรอกไซด์, โซเดียมคลอไรด์ (NaCl) และน้ำ แสดงดังสมการที่ 5.18 จากนั้นชิงค์ไฮดรอกไซด์ จะทำปฏิกิริยา กับน้ำ ซึ่งผลที่ได้คือ $\text{Zn}(\text{OH})_4^{2-}$ และ H^+ ในขันตอนนี้การเกิดปฏิกิริยาจะเหมือนดังสมการที่ 5.6 ส่วนโซเดียมคลอไรด์ มีสมบัติเป็นเกลือ และมีค่า pH ประมาณ 7 ที่ละลายอยู่ในน้ำจะไม่ทำปฏิกิริยา กับไอออนอิสระใด ๆ ซึ่งการกำจัดสารตั้งต้นชนิดนี้จะถูกล้างออกด้วยเอทานอล และน้ำ DI สุดท้าย $\text{Zn}(\text{OH})_4^{2-}$ ทำปฏิกิริยาการแตกตัวได้ ZnO เป็นตะกอนสีขาว, น้ำ และประจุลบหมู่ ไฮดรอกซิลแสดงดังสมการที่ 5.12



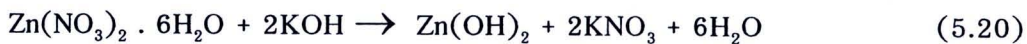
5.2.2.1.2 เงื่อนไขในการใช้สารละลายเบส KOH

1) กรณีใช้สารตั้งต้น $\text{Zn}(\text{NO}_3)_2$, H_2O

การเกิดปฏิกิริยาทางเคมีของวัสดุตัวอย่าง ZnO โดย การใช้สารละลายเบสโพแทสเซียมไฮดรอกไซด์ ในกรณีใช้สารตั้งต้นชิงค์ในเทรทพบว่า สารตั้งต้น ถูกทำให้เกิดการแตกตัวเป็นไอออนอิสระด้วยคลื่นอัตราโซนิกที่เคลื่อนที่ผ่านตัวกลางดังปฏิกิริยา เมื่อไอน์ สมการที่ 5.8 และ 5.9 ในข้างต้น ส่วนการแตกตัวเป็นไอออนอิสระของโพแทสเซียม ไฮดรอกไซด์แสดงปฏิกิริยาตามสมการ 5.19



จากนั้นไอออนอิสระทั้งบวก และลบ ทำปฏิกิริยา กันได้สารตั้งต้นของชิงค์ไฮดรอกไซด์, โพแทสเซียมไนเตรจ (KNO_3) และน้ำ แสดงดังสมการที่ 5.20 จากนั้น ชิงค์ไฮดรอกไซด์ ทำปฏิกิริยา กับน้ำ ผลที่ได้คือ $\text{Zn}(\text{OH})_4^{2-}$ และ H^+ ในขันตอนนี้การเกิดปฏิกิริยาจะเหมือนดังสมการ ที่ 5.6 ส่วนโพแทสเซียมไนเตรจ มีสมบัติเป็นเกลือ และมีค่า pH ประมาณ 7 ที่ละลายอยู่ในน้ำจะ ไม่ทำปฏิกิริยา กับไอออนอิสระใด ๆ ซึ่งการกำจัดสารตั้งต้นชนิดนี้จะถูกล้างออกด้วยเอทานอล และ น้ำ DI สุดท้าย $\text{Zn}(\text{OH})_4^{2-}$ ทำปฏิกิริยาการแตกตัวได้ ZnO เป็นตะกอนสีขาว, น้ำ และไอออนลบ หมู่ ไฮดรอกซิลแสดงดังสมการที่ 5.12



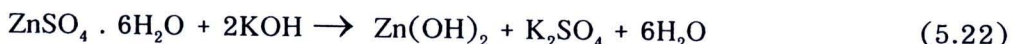
2) กรณีใช้สารตั้งต้น $Zn(CH_3COO)_2$

การเกิดปฏิกิริยาทางเคมีของวัสดุตัวอย่าง ZnO โดยการใช้สารละลายนเบสของโพแทสเซียมไฮดรอกไซด์ ในกรณีใช้สารตั้งต้นซิงค์อะซิเตตพบว่าสารตั้งตันถูกทำให้เกิดการแตกตัวเป็นไอออนอิสระด้วยคลื่นอัตราโซนิกที่เคลื่อนที่ผ่านตัวกลางดังปฏิกิริยาเหมือนในสมการที่ 5.8, 5.13 และ 5.19 ตามลำดับ ขั้นตอนต่อไปไอออนอิสระทั้งบวกและลบ จะทำปฏิกิริยากันได้สารตั้งต้นของซิงค์ไฮดรอกไซด์, โพเทสเซียมอะซิเตต (CH_3COOK) และน้ำ แสดงดังสมการที่ 5.21 จากนั้น ซิงค์ไฮดรอกไซด์ ทำปฏิกิริยากับน้ำ ซึ่งผลที่ได้คือ $Zn(OH)_4^{2-}$ และ H^+ ในขั้นตอนนี้การเกิดปฏิกิริยาเหมือนดังสมการที่ 5.11 ส่วนโพแทสเซียมอะซิเตต มีสมบัติเป็นเกลือ และมีค่า pH ประมาณ 7.5 ที่จะถูกล้างออกด้วยเอทานอล และน้ำ DI สุดท้าย $Zn(OH)_4^{2-}$ ทำปฏิกิริยาการแตกตัวได้ ZnO เป็นตะกอนสีขาว, น้ำ และไอออนลบหมู่ไฮดรอกซิลแสดงดังสมการที่ 5.12



3) กรณีใช้สารตั้งต้น $ZnSO_4 \cdot 6H_2O$

การเกิดปฏิกิริยาทางเคมีของวัสดุตัวอย่าง ZnO โดยการใช้สารละลายนเบสของโพแทสเซียมไฮดรอกไซด์ ในกรณีใช้สารตั้งต้นซิงค์ชัลเฟตพบว่า สารตั้งตันถูกทำให้เกิดการแตกตัวเป็นไอออนอิสระด้วยคลื่นอัตราโซนิกที่เคลื่อนที่ผ่านตัวกลางดังปฏิกิริยาเหมือนสมการที่ 5.8, 5.15 และ 5.14 ตามลำดับ จากนั้น ไอออนอิสระทั้งบวกและลบ ทำปฏิกิริยากันได้สารตั้งต้นของซิงค์ไฮดรอกไซด์, โพแทสเซียมชัลเฟต (K_2SO_4) และน้ำ แสดงดังสมการที่ 5.22 จากนั้น ซิงค์ไฮดรอกไซด์ ทำปฏิกิริยากับน้ำ ซึ่งผลที่ได้คือ $Zn(OH)_4^{2-}$ และ H^+ ขั้นตอนนี้การเกิดปฏิกิริยาจะเหมือนดังสมการที่ 5.6 ส่วนโพแทสเซียมชัลเฟต มีสมบัติเป็นเกลือ และมีค่า pH ประมาณ 7 ที่จะถูกล้างออกด้วยเอทานอล และน้ำ DI สุดท้าย $Zn(OH)_4^{2-}$ ทำปฏิกิริยาการแตกตัวได้ ZnO เป็นตะกอนสีขาว, น้ำ และไอออนลบหมู่ไฮดรอกซิลแสดงดังสมการที่ 5.12



4) กรณีใช้สารตั้งต้น $ZnCl_2$

การเกิดปฏิกิริยาทางเคมีของวัสดุตัวอย่าง ZnO โดยการใช้สารละลายนเบสของโพแทสเซียมไฮดรอกไซด์ กรณีใช้สารตั้งต้นซิงค์คลอไรด์พบว่าสารตั้งตันถูกทำให้เกิดการแตกตัวเป็นไอออนอิสระ ด้วยคลื่นอัตราโซนิกที่เคลื่อนที่ผ่านตัวกลางดังปฏิกิริยา

เหมือนสมการที่ 5.8, 5.17 และ 5.14 ตามลำดับปฏิกิริยาในขั้นตอนต่อไปไอออนอิสระหั้งบวกและลบ จะทำปฏิกิริยากันได้สารตั้งต้นของซิงค์ไฮดรอกไซด์, โพแทสเซียมคลอไรด์ (KCl) และน้ำแสดงดังสมการที่ 5.23 จากนั้น ซิงค์ไฮดรอกไซด์ทำปฏิกิริยากับน้ำ ซึ่งผลที่ได้คือ $Zn(OH)_4^{2-}$ และ H^+ ในขั้นตอนนี้การเกิดปฏิกิริยาจะเหมือนดังสมการที่ 5.6 ส่วนโพแทสเซียมคลอไรด์ มีสมบัติเป็นเกลือ และมีค่า pH ประมาณ 7 ที่ละลายอยู่ในน้ำจะไม่ทำปฏิกิริยากับไอออนอิสระได้ฯ ซึ่งการกำจัดสารตั้งต้นชนิดนี้จะถูกล้างออกด้วยเอทานอล และน้ำ DI สุดท้าย $Zn(OH)_4^{2-}$ ทำปฏิกิริยาการแตกตัวได้ ZnO เป็นตะกอนสีขาว, น้ำ และไอออนลบหมูไฮดรอกซิลแสดงดังสมการที่ 5.12



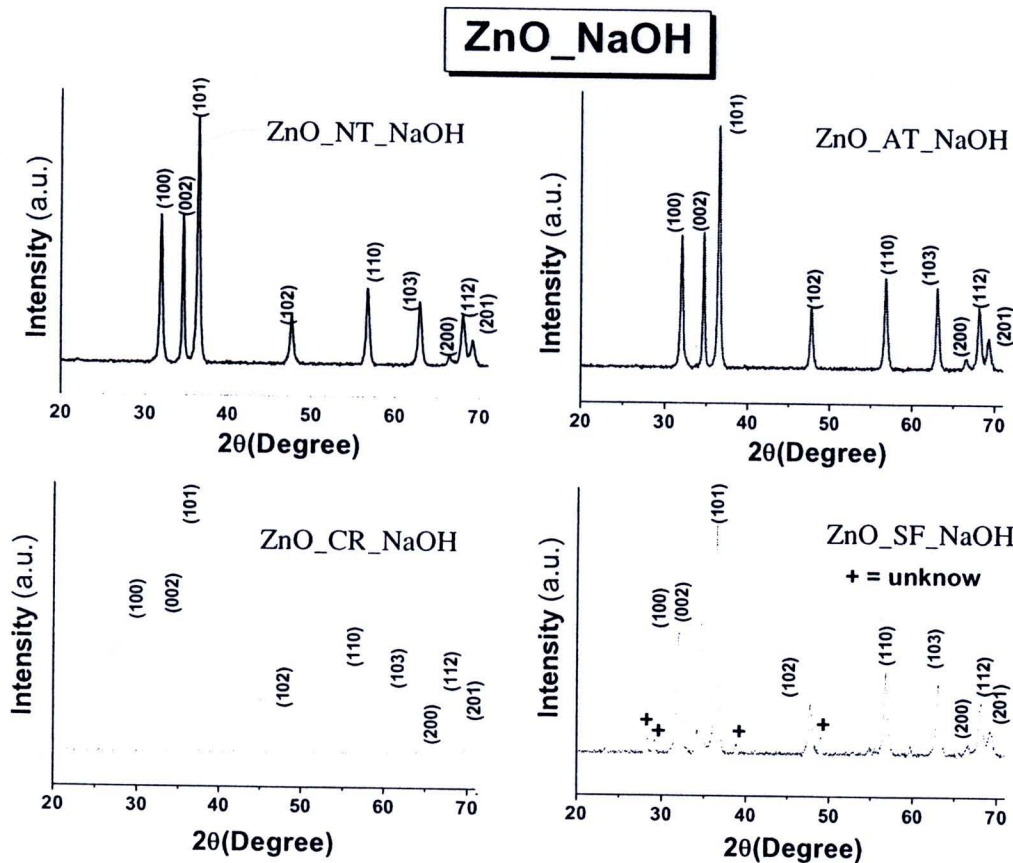
5.1.2.2 การศึกษาพฤติกรรมการเกิดเฟสโครงสร้างโดยเทคนิค XRD

5.1.2.2.1 กรณีใช้สารละลายเบสของ NaOH เมื่อใช้สารตั้งต้นของซิงค์ต่างกัน

การศึกษาเฟส และโครงสร้างของวัสดุนาโน ZnO โดยวิธีการทำปฏิกิริยาทางเคมีด้วยคลีนอัลตราโซนิก กรณีใช้สารละลายเบสของ NaOH เมื่อใช้สารตั้งต้นของซิงค์ต่างกัน โดยเทคนิค XRD ได้ผลแสดงดังภาพที่ 5.26 จากผลการทดลองพบว่า รูปแบบการเลี้ยวเบนของรังสีเอกซ์ของวัสดุนาโน ที่ใช้สารตั้งต้นของซิงค์แตกต่างกันสอดคล้องกับข้อมูลมาตรฐานของโครงสร้างเป็นเอกะโภนอลแบบเวิร์ตไซต์ของวัสดุ ZnO (JCPDS เลขไฟล์ที่ 36-1451) แต่อย่างไรก็ตามในเงื่อนไข ZnO_SF_NaOH พบรูปแบบปนมเปนของสารประกอบอื่น ๆ จากการนำตำแหน่งของยอดกราฟของเฟสปломปนมไปเทียบกับฐานข้อมูล JCPDS พบรูปแบบปนมเปนของสารประกอบที่อ้างอิง ดังนั้นจึงไม่สามารถระบุได้ว่าเฟสปломปนมที่ปรากฏนั้นคือเฟสของสารประกอบชนิดใด แต่ในข้อสันนิษฐานเฟสปломปนมที่เกิดขึ้นน่าจะเป็นสารประกอบของซิงค์ไฮดรอกไซด์ ($Zn(OH)_2$) และโซเดียมซัลเฟตแอนไฮดรัส (Na_2SO_4) ที่ตกลงในระหว่างการทำปฏิกิริยา แต่เป็นที่น่าสังเกตหลังจากที่นำสารตัวอย่างไปทำการอบให้แห้งที่อุณหภูมิ $80^\circ C$ เป็นเวลา 48 ชั่วโมง พบรูปแบบปนมเปนที่ใช้สารตั้งต้นของซิงค์ซัลเฟต วัสดุตัวอย่างที่ได้มีลักษณะเนียนย和平 มีความชื้น ซึ่งใช้เวลาอบนานกว่าวัสดุตัวอย่างในเงื่อนไขอื่น ๆ จากลิ่งที่เกิดขึ้นอาจเป็นผลของเฟสปломปนมที่ตกลงในวัสดุตัวอย่าง

จากรูปแบบการเลี้ยวเบนรังสีเอกซ์สามารถคำนวณขนาดอนุภาคของวัสดุผงได้ โดยวิธี X-ray line broadening โดยเลือกคำนวณจากการเลี้ยวเบนที่ระนาบ (100), (002), (101) และ (110) แสดงดังตารางที่ 5.8 และเขียนกราฟความสัมพันธ์แสดงดังภาพที่ 5.27 ซึ่งจากการนี้พบว่าอนุภาคมีขนาดที่ใกล้เคียงกัน โดยมีขนาดในช่วง $25 \pm 1.6-67 \pm 2.2 \text{ nm}$ กราฟความสัมพันธ์ระหว่างค่าคงที่แลตทิช กับสารตั้งต้นของซิงค์

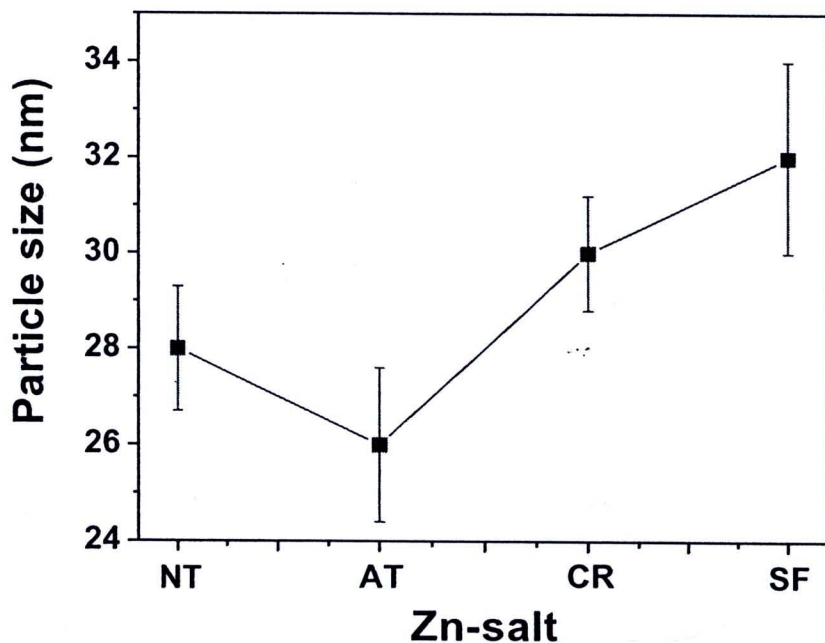
ต่างกัน แสดงดังภาพที่ 5.28 ซึ่งจากข้อมูลที่ได้มีค่าใกล้เคียงกับค่าคงที่ของผลิติชนาตรูปของ ZnO ($a = 0.32488$ nm และ $c = 0.52066$ nm) (JCPDS เลขไฟล์ที่ 36-1451)



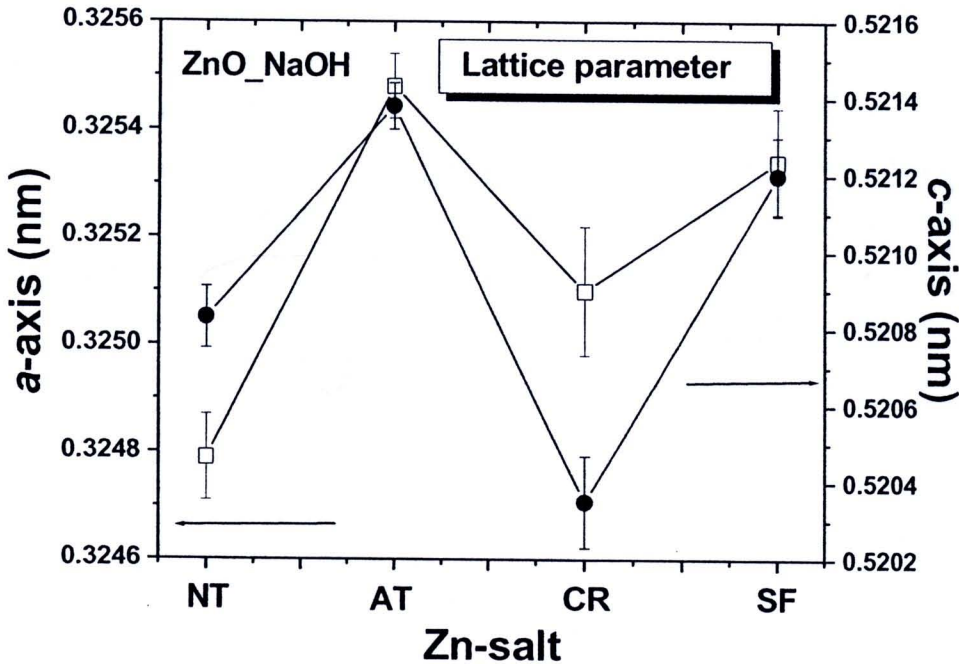
ภาพที่ 5.26 รูปแบบการเลี้ยวเบนรังสีเอกซ์ จากเทคนิค XRD ของสุดนาโน ZnO เมื่อใช้สารละลายเบสของ NaOH โดยที่ใช้สารตั้งต้นของซิงค์ต่างกัน

ตารางที่ 5.8 ขนาดอนุภาค และค่าคงที่แลตทิชของวัสดุนาโน ZnO เมื่อใช้สารละลายเบสของ NaOH โดยที่ใช้สารตั้งต้นเกลือของซิงค์ต่างกัน คำนวณโดยวิธี X-ray line broadening

สารตั้งต้นของซิงค์	ขนาดอนุภาค (nm)	ค่าคงที่แลตทิช (nm)	
		a	c
ZnO_NT_NaOH	28 ± 1.3	0.32479 ± 0.0008	0.52083 ± 0.0008
ZnO_AT_NaOH	26 ± 1.6	0.32548 ± 0.0004	0.52138 ± 0.0004
ZnO_CR_NaOH	30 ± 1.2	0.32510 ± 0.0012	0.52035 ± 0.0012
ZnO_SF_NaOH	32 ± 2.0	0.32534 ± 0.0010	0.52120 ± 0.0010



ภาพที่ 5.27 ความสัมพันธ์ระหว่างขนาดอนุภาคกับสารตั้งต้นของซิงค์ต่างกันของวัสดุนาโน ZnO เมื่อใช้สารละลายเบสของ NaOH



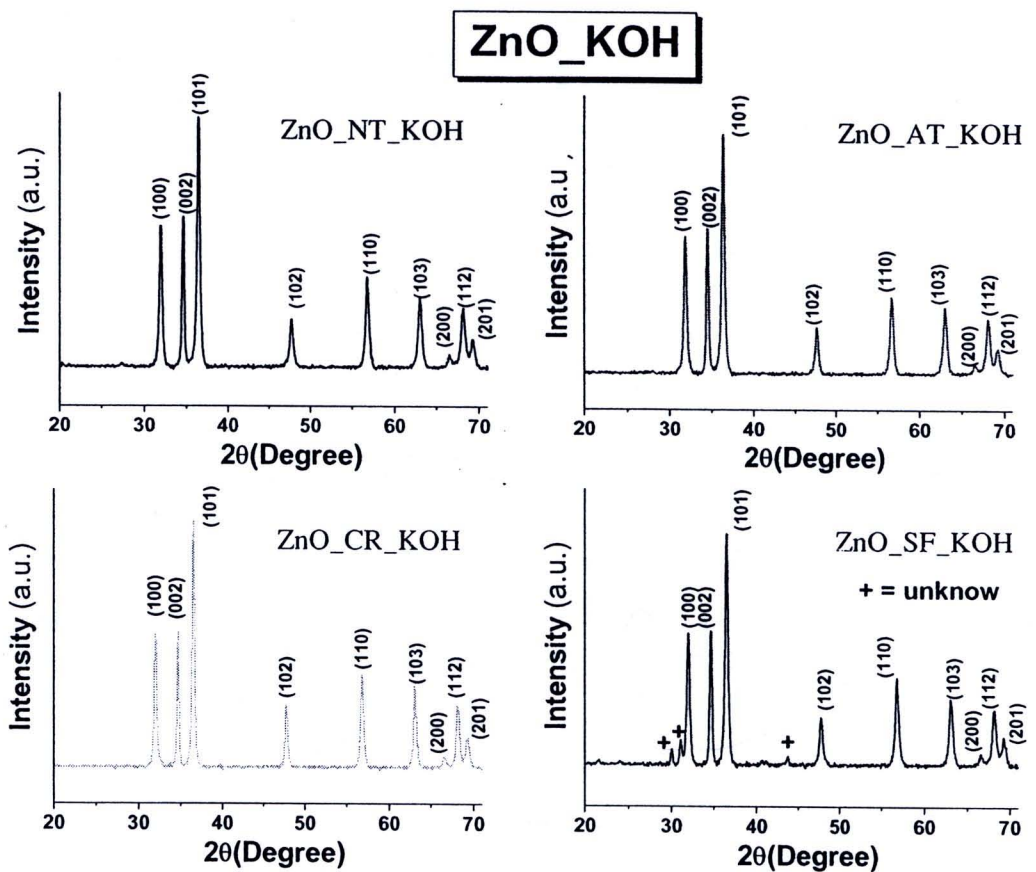
ภาพที่ 5.28 ความสัมพันธ์ระหว่างค่าคงที่แลตทิซกับสารตั้งต้นของชิงค์ต่างกันของวัสดุนาโน ZnO เมื่อใช้สารละลายนีเตรต NaOH

5.1.2.2.2 กรณีใช้สารละลายนีเตรต KOH เมื่อที่ใช้สารตั้งต้นของชิงค์ต่างกัน

การศึกษาเพส และโครงสร้างของวัสดุนาโน ZnO โดยวิธีการทำปฏิกิริยาทางเคมีด้วยคลื่นอัลตราโซนิก กรณีใช้สารละลายนีเตรต KOH โดยที่ใช้สารตั้งต้นของชิงค์ต่างกัน โดยเทคนิค XRD ได้แสดงดังภาพที่ 5.29 จากผลการทดลองพบว่ารูปแบบการเลี้ยวเบนรังสีเอกซ์ของวัสดุนาโน ที่ใช้สารตั้งต้นของชิงค์แตกต่างกันสอดคล้องกับข้อมูลมาตรฐาน (JCPDS เลขไฟล์ที่ 36-1451) แต่อย่างไรก็ตามสำหรับเงื่อนไข $\text{ZnO}_{\text{SF}}\text{-KOH}$ พ.es ปลอมปนของสารประกอบอื่น ๆ จากการนำทำแท่งของยอดกราฟของเฟสปลอมปนไปเทียบกับฐานข้อมูล JCPDS พบร่วมกับไม่พบฐานข้อมูลของสารประกอบที่อ้างอิง ดังนั้นจึงไม่สามารถระบุได้ว่าเฟสปลอมปนที่ปรากฏนั้นคือเฟสของสารประกอบชนิดใด ซึ่งเหมือนในเงื่อนไข $\text{ZnO}_{\text{SF}}\text{-NaOH}$ จึงสันนิษฐานว่าเฟสปลอมปนที่เกิดขึ้นน่าจะเป็นสารประกอบของชิงค์ไฮดรอกไซด์ ($\text{Zn}(\text{OH})_2$) และโพแทสเซียมชัลเฟต (K_2SO_4) ที่ตกค้างในระหว่างการทำปฏิกิริยา แต่เป็นที่น่าสังเกตหลังจากที่นำสารตัวอย่างไปทำการอบให้แห้งที่อุณหภูมิ 80°C เป็นเวลา 48 ชั่วโมง พบร่วมกับสารตั้งต้นของชิงค์ชัลเฟต วัสดุตัวอย่างที่ได้มีลักษณะเหนียวและมีความชื้น ซึ่งใช้เวลาอบนานกว่าวัสดุตัวอย่างในเงื่อนไขอื่น ๆ จากสิ่งที่เกิดขึ้นอาจเป็น

ผลของเฟสปลอมปนที่ตอกด้านในวัสดุตัวอย่างเหมือนกรณีเงื่อนไขที่ใช้สารละลายน้ำ NaOH ในหัวข้อที่ 5.1.2.2.1

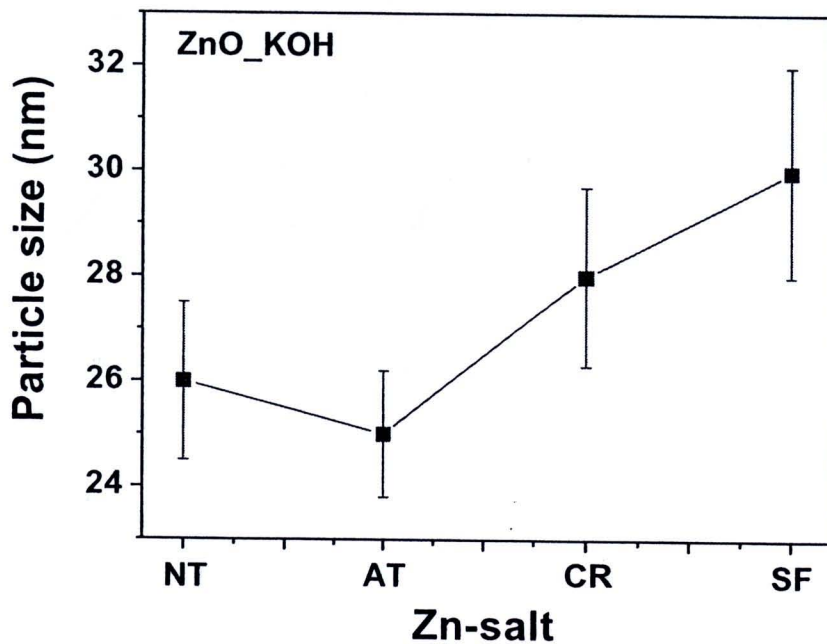
จากรูปแบบการเลี้ยวเบนรังสีเอกซ์สามารถคำนวณขนาดอนุภาคของวัสดุผงได้ โดยวิธี X-ray line broadening โดยเลือกคำนวณจากการเลี้ยวเบนที่ระนาบ (100), (002), (101) และ (110) แสดงดังตารางที่ 5.9 และเขียนกราฟความสัมพันธ์แสดงดังภาพที่ 5.27 ซึ่งจากการฟันนีพบว่าอนุภาคมีขนาดที่ใกล้เคียงกัน โดยมีขนาดในช่วง $25 \pm 1.6-67 \pm 2.2$ nm กราฟความสัมพันธ์ระหว่างค่าคงที่แล็ททิช กับสารตั้งต้นของชิ้นค์ต่างกัน แสดงดังภาพที่ 5.31 ซึ่งจากข้อมูลที่ได้มีค่าใกล้เคียงกับค่าคงที่ของแล็ททิชมาตรฐานของ ZnO ($a = 0.32488$ nm และ $c = 0.52066$ nm) (JCPDS เลขไฟล์ที่ 36-1451)



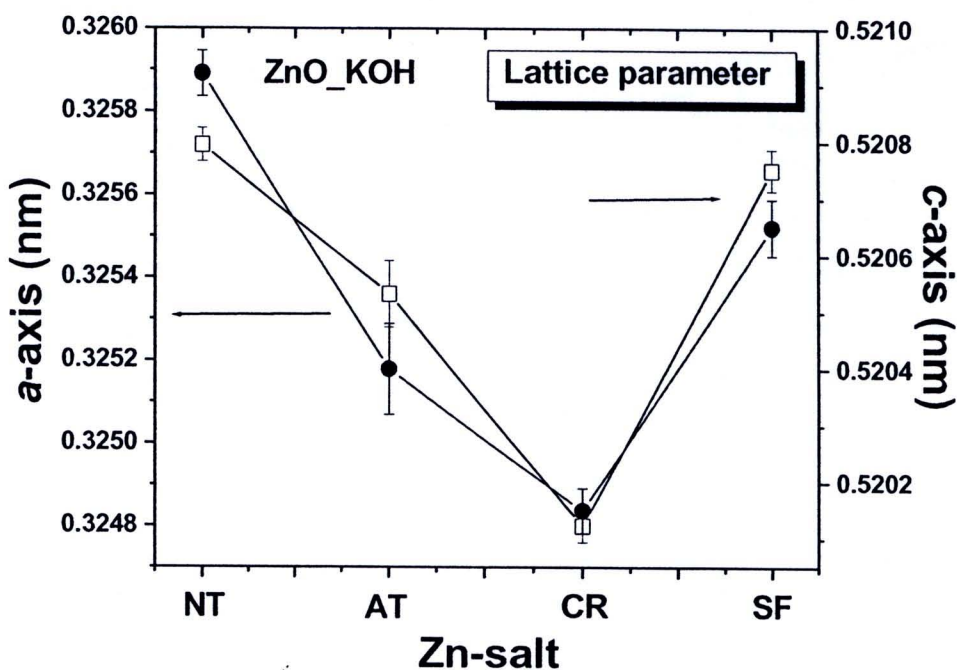
ภาพที่ 5.29 รูปแบบการเลี้ยวเบนรังสีเอกซ์ จากเทคนิค XRD ของวัสดุ nano ZnO เมื่อใช้สารละลายน้ำสี KOH โดยใช้สารตั้งต้นของชิ้นค์ต่างกัน

ตารางที่ 5.9 ขนาดอนุภาค และค่าคงที่แลตทิชของวัสดุนาโน ZnO เมื่อใช้สารละลายเบสของ KOH โดยใช้สารตั้งต้นของชิงค์ต่างกัน คำนวณโดยวิธี X-ray line broadening

สารตั้งต้นของชิงค์	ขนาดอนุภาค (nm)	ค่าคงที่แลตทิช (nm)	
		a	c
ZnO_NT_KOH	26 ± 1.5	0.32591 ± 0.0004	0.52092 ± 0.0004
ZnO_AT_KOH	25 ± 1.1	0.32536 ± 0.0008	0.52040 ± 0.0008
ZnO_CR_KOH	28 ± 2.2	0.32480 ± 0.0004	0.52015 ± 0.0004
ZnO_SF_KOH	29 ± 1.8	0.32566 ± 0.0005	0.52065 ± 0.0005



ภาพที่ 5.30 ความสัมพันธ์ระหว่างขนาดอนุภาคกับสารตั้งต้นของชิงค์ต่างกันของวัสดุนาโน ZnO เมื่อใช้สารละลายเบสของ KOH โดยใช้สารตั้งต้นของชิงค์ต่างกัน

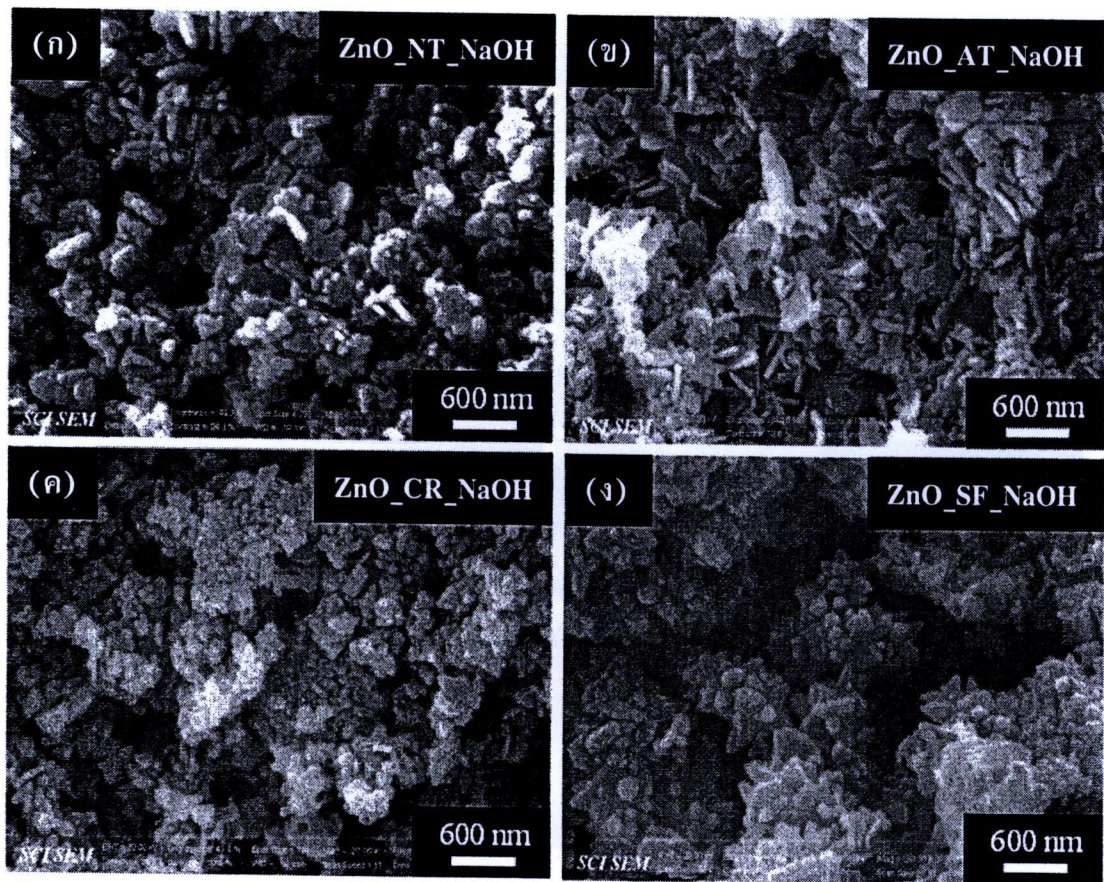


ภาพที่ 5.31 ความสัมพันธ์ระหว่างค่าคงที่แลตทิซกับสารตั้งต้นของชิงค์ต่างกันของวัสดุนาโน ZnO เมื่อใช้สารละลายนาโน KOH โดยใช้สารตั้งต้นของชิงค์ต่างกัน

5.1.2.3 ผลการศึกษาสัณฐานวิทยาของวัสดุนาโน ZnO โดยเทคนิค SEM

5.1.2.3.1 กรณีใช้สารละลายนาโน NaOH เมื่อใช้สารตั้งต้นของชิงค์ต่างกัน

การศึกษาสัณฐานวิทยาของวัสดุนาโน ZnO กรณีใช้สารละลายนาโน NaOH ที่ใช้สารตั้งต้นของชิงค์ต่างกัน โดยเทคนิคการถ่ายภาพ SEM ด้วยกำลังขยาย 20000 เท่า แสดงดังภาพที่ 5.32 พบว่าวัสดุตัวอย่าง $\text{ZnO}_{\text{NT}}\text{-NaOH}$, $\text{ZnO}_{\text{AT}}\text{-NaOH}$ และ $\text{ZnO}_{\text{CR}}\text{-NaOH}$ มีการเกาะตัวกันเป็นกลุ่มก้อนของอนุภาคขนาดเล็กจำนวนมาก และขนาดอนุภาคไม่สม่ำเสมอ โดยลักษณะสัณฐานมีทั้งแบบเหมือนแผ่น (*sheet-like*) ปะปนกับกลุ่มก้อน ซึ่งมีขนาดของอนุภาคประมาณ 50–250 nm จากผลการทดลองที่ได้คล้ายกับรายงานของ Xiao et al. (2008) รายงานการเตรียมนาโน ZnO โดยวิธี sonochemical ด้วยการปรับเงื่อนไขของค่า pH ของ NaOH อย่างไรก็ตามสำหรับ $\text{ZnO}_{\text{SF}}\text{-KOH}$ พบว่ามีการเกาะตัวกันเป็นกลุ่มก้อน อีกทั้งวัสดุตัวอย่างยังมีลักษณะสัณฐานเหมือนดอกไม้ (*flower-like*) และมีขนาดอนุภาคประมาณ 50–150 nm จากการทดลองที่ได้คล้ายกับรายงานของ Li et al., 2009 และ Mishra et al., 2010

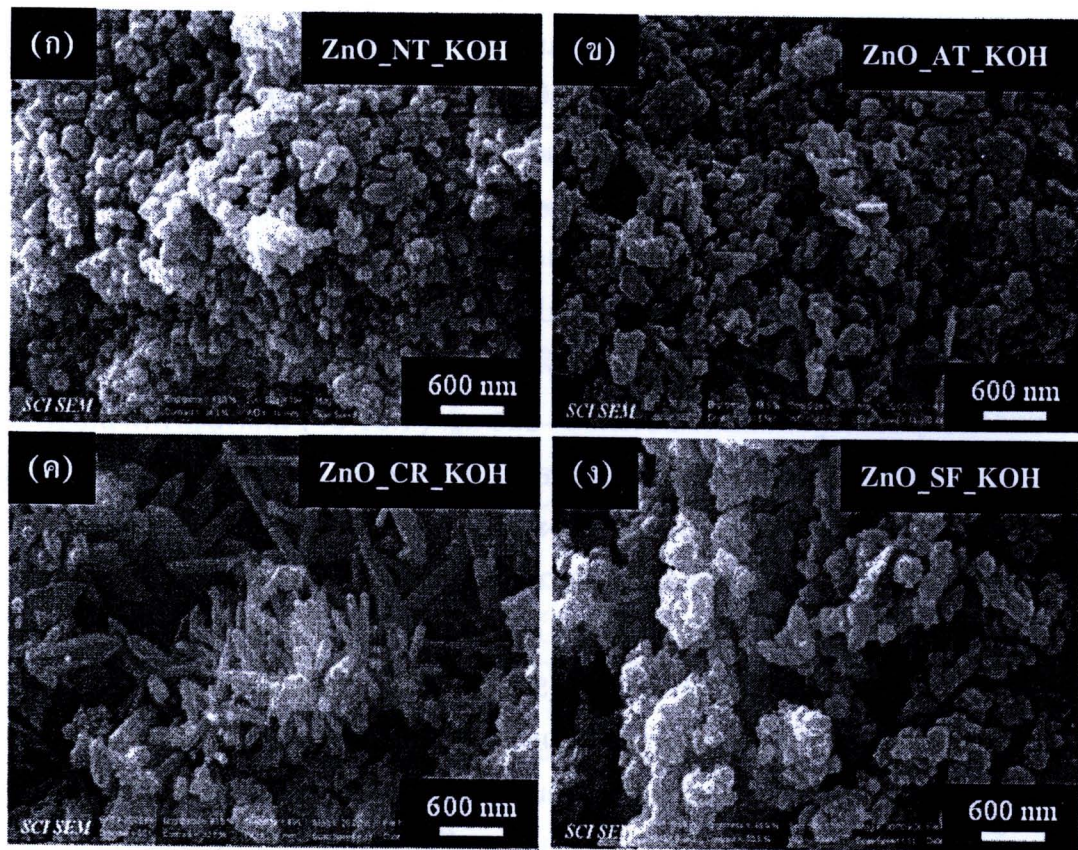


ภาพที่ 5.32 ภาพถ่าย SEM ของวัสดุนาโน ZnO เมื่อใช้สารละลายเบสของ NaOH โดยใช้สารตั้งต้นของชิงค์ต่างกัน

- (ก) ZnO_NT_ NaOH
- (ข) ZnO_AT_ NaOH
- (ค) ZnO_CR_ NaOH
- (ง) ZnO_SF_ NaOH

5.1.2.3.2 กรณีใช้สารละลายนีติกาของ KOH เมื่อใช้สารตั้งต้นของชิงค์ต่างกัน

การศึกษาลักษณะสัณฐานวิทยาของนาโน ZnO กรณีใช้สารละลายนีติกาของ KOH ที่ใช้สารตั้งต้นของชิงค์ต่างกัน โดยเทคนิคการถ่ายภาพ SEM ด้วยกำลังขยาย 20000 เท่า แสดงดังภาพที่ 5.33 พบร่วงสุดตัวอย่างเงื่อนไข ZnO_NT_KOH, ZnO_AT_KOH และ ZnO_SF_KOH มีการเกาะตัวกันเป็นกลุ่มก้อนของอนุภาคขนาดเล็กจำนวนมาก ซึ่งมีขนาดของอนุภาคประมาณ 50-200 nm โดยขนาดอนุภาคมีลักษณะสม่ำเสมอกว่าในกรณีใช้สารละลายนีติกาของ NaOH ในหัวข้อที่ 5.1.2.3.1 อย่างไรก็ตามในเงื่อนไข ZnO_CR_KOH พบร่วงมีลักษณะสัณฐานเป็นแท่งนาโน มีขนาดเส้นผ่านศูนย์กลาง ~25-100 nm และมีความยาว 0.5-1 μm ซึ่งจากการทดลองพบร่วงปัจจัยที่สำคัญต่อลักษณะสัณฐานวิทยาของวัสดุนาโนที่เตรียมด้วยวิธีการทำปฏิกิริยาทางเคมีด้วยคลื่นอัลตราโซนิก คือสารตั้งต้นของชิงค์ที่แตกต่างกัน ชนิดของสารละลายนีติกา และระดับของค่า pH ของสารละลายนีติกา



ภาพที่ 5.33 ภาพถ่าย SEM ของวัสดุ nano ZnO เมื่อใช้สารละลายนีบสของ KOH โดยใช้สารตั้งต้นของซิงค์ต่างกัน

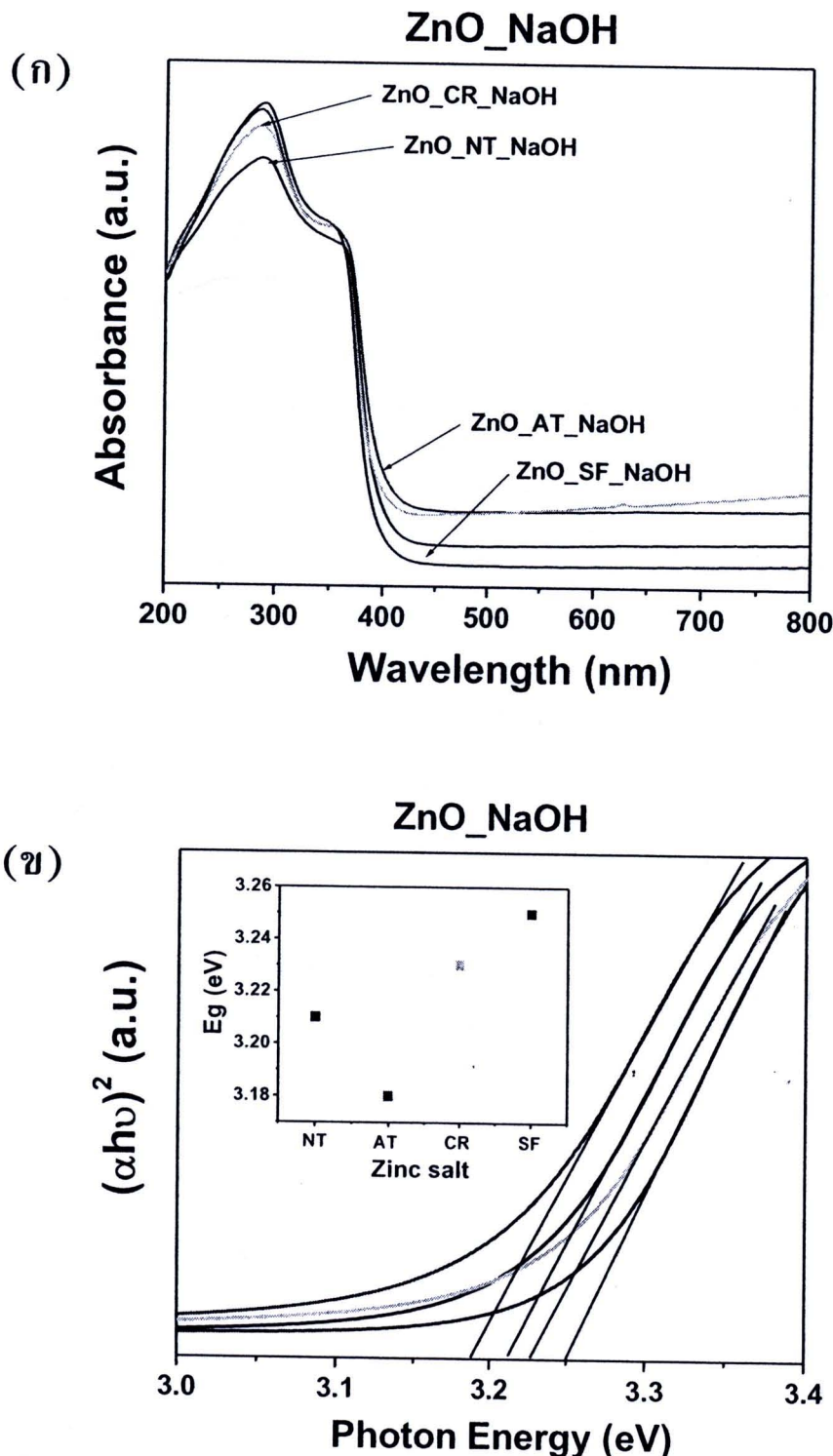
- (ก) ZnO_NT_KOH
- (ข) ZnO_AT_KOH
- (ค) ZnO_CR_KOH
- (ง) ZnO_SF_KOH



5.1.2.4 การศึกษาสมบัติทางแสงของวัสดุนาโน ZnO โดยเทคนิค UV-vis

5.1.2.4.1 กรณีใช้สารละลายนาโน NaOH เมื่อสารตั้งต้นของชิงค์ต่างกัน

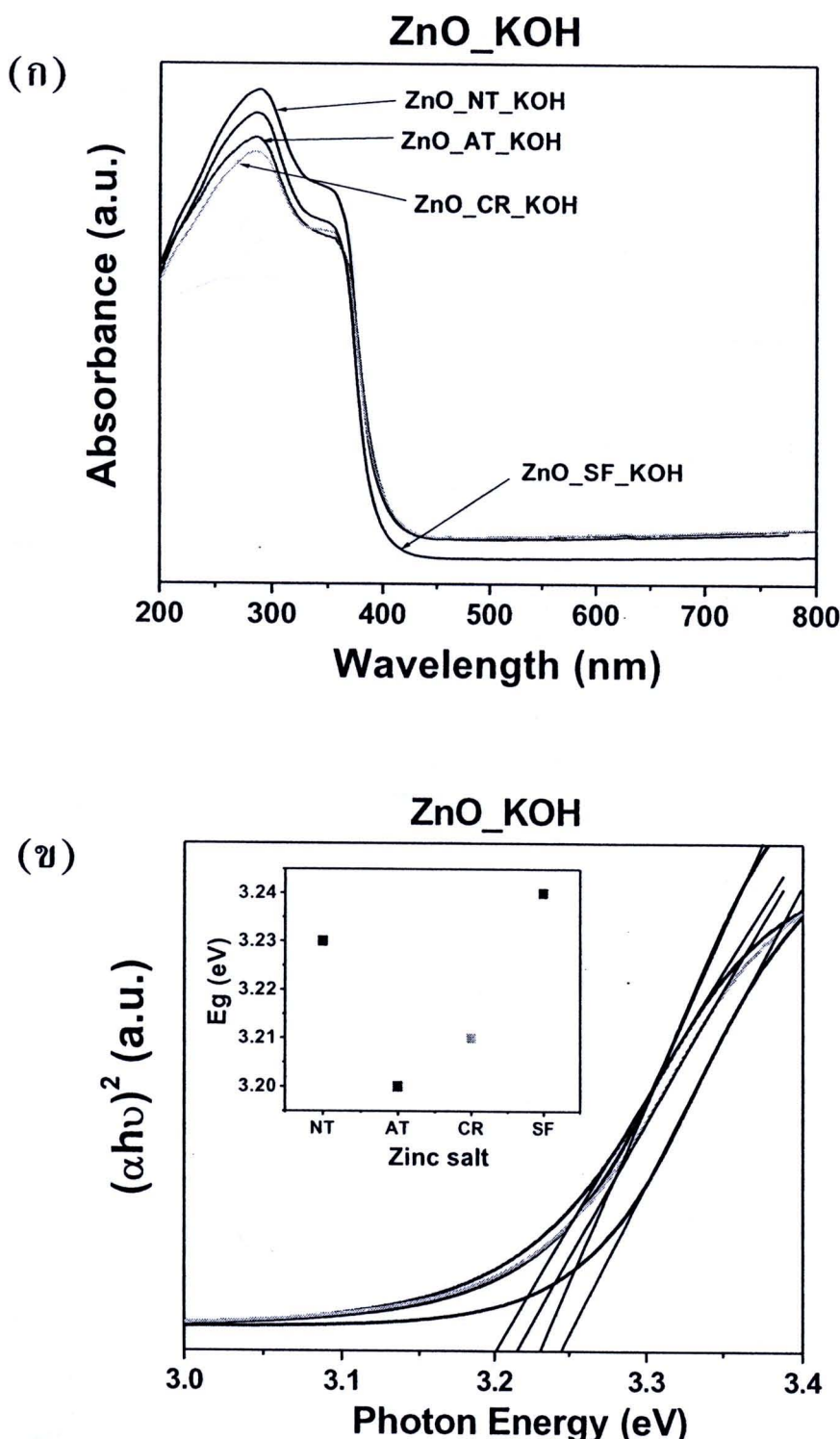
การศึกษาสมบัติการดูดกลืนแสงของวัสดุนาโน ZnO กรณีใช้สารละลายนาโน NaOH ที่ใช้สารตั้งต้นของชิงค์ต่างกัน โดยเทคนิค UV-vis แสดงดังภาพที่ 5.34 จากการพิจารณาพบว่าลักษณะスペกตรัมของการดูดกลืนแสงมีความคล้ายคลึงกัน โดยแสดงการดูดกลืนแสงได้ดีในย่านเหนือม่วง คือที่ความยาวคลื่นต่ำกว่า 400 nm (3.10 eV) และมียอดกราฟของการดูดกลืนที่ความยาวคลื่น ~288 nm (4.31 eV) แสดงดังภาพที่ 5.34(ก) จากนั้นเมื่อศึกษาสมบัติของการดูดกลืนทางแสงของพบรการดูดกลืนแสง 2 ช่วงคือที่ความยาวคลื่น 200 และ 260 nm จากการคำนวณหาค่าซึ่งอย่างว่างແບบพลังงานเป็นแบบตรง ซึ่งผลจากการคำนวณหาค่าซึ่งอย่างว่างແບบพลังงานของวัสดุตัวอย่าง โดยใช้สมการที่ 4.5 จากการคำนวณพบว่าค่า E_g มีค่าเท่ากับ 3.21, 3.18, 3.23 และ 3.25 eV ที่เงื่อนไข ZnO_NT_NaOH, ZnO_AT_NaOH, ZnO_CR_NaOH และ ZnO_SF_NaOH ตามลำดับ แสดงดังภาพที่ 5.34(ข) จากค่า E_g ที่คำนวณได้พบว่ามีค่าที่ต่ำกว่าค่าແບบพลังงานมาตรฐานของวัสดุ ZnO คือ ~3.37 eV (Pearson et al., 2003; Zu et al., 1997) สาเหตุเนื่องจากเป็นผลของดำเนินภัยในโครงสร้างของวัสดุตัวอย่าง คือซึ่งอย่างของออกซิเจน และการแทรกที่ของชิงค์ เมื่ອันดับกรณีของวัสดุนาโน เตรียมโดยใช้สารละลายน้ำ สารละลายน้ำหนทางจะเข้า และ สารละลายน้ำในตะไคร้สักด้ ซึ่งสามารถเขียนเป็นสมการในรูปสัญลักษณ์ของ ครอเกอร์-วิงค์ ที่อธิบายการเกิดดำเนินในโครงสร้างของวัสดุมีผลต่อการดูดกลืนแสงที่ແບบพลังงานต่ำลง แสดงดังสมการที่ 5.2-5.6 จากการนำผลของดำเนินมาอธิบายในรูปแบบระดับพลังงานของชั้นโดเนอร์ เมื่อมีดำเนินภัยในโครงสร้างแสดงดังภาพที่ 5.10 จึงเป็นการอธิบายสาเหตุของการเลื่อนระดับพลังงานในการดูดกลืนแสงในระดับพลังงานที่สั้นลง ซึ่งสอดคล้องกับรายงานของ Mende et al. (2007)



ภาพที่ 5.34 สมบัติการดูดกลืนแสงจากเทคนิค UV-vis ของวัสดุนาโน ZnO_NaOH
 (ก) สเปกตรัมการดูดกลืนแสง
 (ข) ช่องว่างແຄบพลังงาน

5.1.2.4.2 กรณีใช้สารละลายนีบสของ KOH เมื่อสารตั้งต้นของชิงค์ต่างกัน

การศึกษาสมบัติการดูดกลืนแสงของวัสดุนาโน ZnO กรณีใช้สารละลายนีบสของ KOH ที่ใช้สารตั้งต้นของชิงค์ต่างกัน โดยเทคนิค UV-VIS แสดงดังภาพที่ 5.35 การพิจารณาพบว่าลักษณะスペกตรัมของการดูดกลืนแสงมีความคล้ายคลึงกัน โดยแสดงการดูดกลืนแสงได้ดีในย่านเหนือม่วง คือที่ความยาวคลื่นต่ำกว่า 400 nm (3.10 eV) และมียอดกราฟของการดูดกลืนที่ความยาวคลื่น ~288 nm (4.31 eV) แสดงดังภาพที่ 5.35(ก) จากนั้นเมื่อศึกษาสมบัติของการดูดกลืนทางแสงของพบรดูดกลืนแสง 2 ช่วงคือที่ความยาวคลื่น 200 และ 260 nm จากการคำนวณหาค่าซองว่างແບพลังงานเป็นแบบตรง ผลจากการคำนวณหาค่าซองว่างແບพลังงานของวัสดุตัวอย่าง โดยใช้สมการที่ 4.5 จากการคำนวณพบว่าค่า E_g มีค่าเท่ากับ 3.23, 3.20, 3.21 และ 3.24 eV ที่เงื่อนไข ZnO_NT_KOH, ZnO_AT_KOH, ZnO_CR_KOH และ ZnO_SF_KOH ตามลำดับ แสดงดังภาพที่ 5.35(ข) จากการค่า E_g ที่คำนวณได้พบว่ามีค่าที่ต่ำกว่าค่าແບพลังงานมาตรฐานของวัสดุ ZnO คือ ~3.37 eV (Pearson et al., 2003; Zu et al., 1997) ซึ่งสาเหตุเนื่องจากเป็นผลของ ทำหนินิภัยในโครงสร้างของวัสดุตัวอย่าง คือซองว่างของออกซิเจนและการแทรกที่ของชิงค์ เมื่อมีกรณีของวัสดุนาโน เตรียมโดยใช้สารละลายนีบส สารละลายนวานทางจะระเข้ และสารละลายน้ำในตะไคร้สักดี ซึ่งสามารถเขียนเป็นสมการในรูปสัญลักษณ์ของ ครอเกอร์-วิงค์ ที่อธิบายการเกิดทำหนินิภัยในโครงสร้างของวัสดุมีผลต่อการดูดกลืนแสงที่ແບพลังงานต่ำลง แสดงดังสมการที่ 5.2–5.6 จากการนำผลของทำหนินิภัยในรูปแบบระดับพลังงานของชั้นโดเนอร์ เมื่อมีทำหนินิภัยในโครงสร้างแสดงดังภาพที่ 5.10 จึงเป็นการอธิบายสาเหตุของการเลื่อนระดับพลังงานในการดูดกลืนแสงในระดับพลังงานที่ลั่นลง ซึ่งสอดคล้องกับรายงานของ Mende et al. (2007)



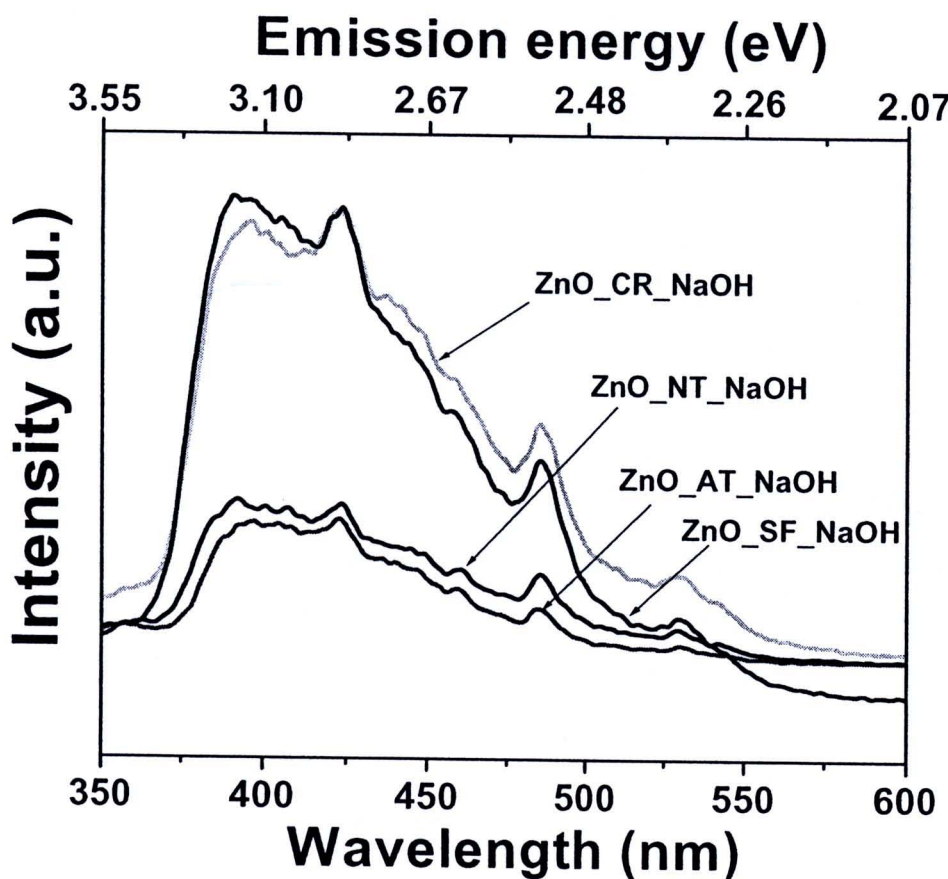
ภาพที่ 5.35 สมบัติการดูดกลืนแสงจากเทคนิค UV-vis ของวัสดุ nano ZnO_KOH
 (ก) สเปกตรัมการดูดกลืนแสง
 (ข) ช่องว่างແບບพลังงาน

5.1.2.5 การศึกษาสมบัติทางแสงของวัสดุนาโน ZnO โดยเทคนิค PL

5.1.2.5.1 กรณีใช้สารละลายเบสของ NaOH เมื่อสารตั้งต้นของชิงค์ต่างกัน

การศึกษาสมบัติการเปล่งแสงของวัสดุนาโน ZnO กรณี

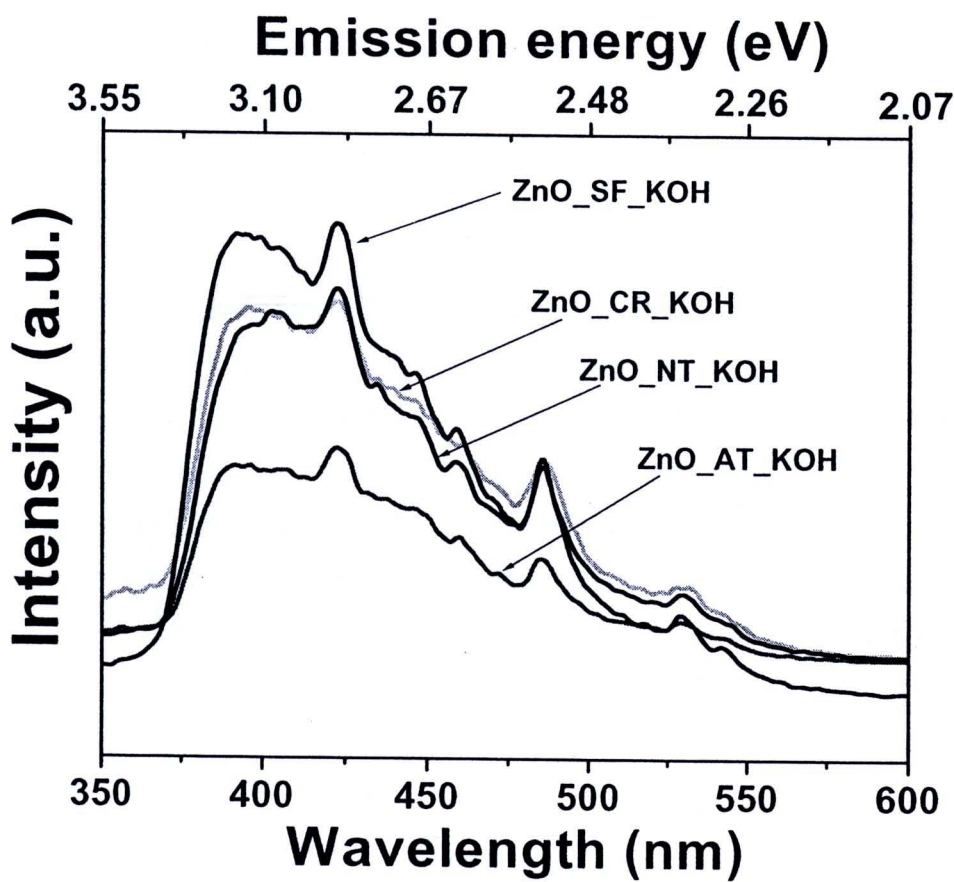
ใช้สารละลายเบสของ NaOH โดยเทคนิค Photoluminescence (PL) ที่อุณหภูมิห้อง แสดงดังภาพที่ 5.36 พบว่าความเข้มของยอดグラฟในเงื่อนไข ZnO_CR_NaOH และ ZnO_SF_NaOH มียอดグラฟที่สูงกว่ายอดグラฟในเงื่อนไข ZnO_NT_NaOH และ ZnO_AT_NaOH ในทุกตำแหน่ง โดยสเปกตรัมการเกิดพีคที่มีความเข้มของยอดกราฟสูงสุด คือ ~398 nm (3.12 eV) นอกจากนี้ในทุกเงื่อนยังพบการเกิดพีคที่ความยาวคลื่นของรังสีที่เปล่งออกพบว่ามี 3 ตำแหน่งด้วยกันคือ ในช่วงแถบเหนือม่วงอ่อน มีค่า ~422 nm (2.94 eV) ในช่วงแถบสีฟ้า-เขียว มีค่า ~484 nm (2.57 eV) และในช่วงแถบสีเขียว มีค่า ~530 nm (2.34 eV) เมื่อเทียบผลที่ได้กับการศึกษาสมบัติทางแสงโดยเทคนิค PL ของวัสดุนาโน ZnO โดยใช้สารละลายไข่ขาว, สารละลายว่านหางจระเข้และสารละลายใบตะไคร้สักด้ พบร่วมกับการเปล่งแสงในช่วงแถบเหนือม่วงอ่อนและแถบสีฟ้า-เขียว มีลักษณะยอดกราฟที่ซัดเจนมาก จากนั้นเมื่อพิจารณาส่วนของสาเหตุช่วงรังสีเปล่งออกมาเกิดขึ้นเนื่องจากช่วงเหนือม่วงนั้นเป็นผลมาจากการเอกซิตอน รีคอมบินেชัน ส่งผลให้เกิดการเปล่งแสงใกล้ขอบแถบการนำ ของวัสดุ ZnO (Lyu et al., 2002; Bergman et al., 2004) ในช่วงแถบสีฟ้า-เขียวอ่อน เป็นผลมาจากการเกิดตำแหน่งบริเวณพื้นผิวของวัสดุ ZnO อย่างเช่นช่องว่างของออกซิเจน (V_o^X) (Liu et al., 2007) และอะตอมของชิงค์ที่แทรก (Zn_i^X) (Borseth et al., 2006) สุดท้ายแถบแสงสีเขียวเป็นผลจากการไอออกในเซ็นของช่องว่างของออกซิเจน (V_o^\bullet) ภายในโครงสร้างวัสดุนาโน ZnO แสดงดังสมการที่ 5.5 และ 5.6 สอดคล้องกับรายงานของ Monticone et al. (1998) Li et al. (2000) และ Vanheusden et al. (1996) จากผลของการเกิดยอดกราฟของแถบสีฟ้า-เขียวอ่อน ที่ซัดเจน เป็นการบ่งชี้ถึงปริมาณตำแหน่งช่องว่างของออกซิเจน และอะตอมของชิงค์ที่แทรกที่เกิดขึ้นในโครงสร้างที่น่าจะมีปริมาณมากกว่าเงื่อนไขการเตรียมวัสดุนาโน ZnO โดยใช้สารละลายไข่ขาว, สารละลายว่านหางจระเข้ และสารละลายใบตะไคร้สักด้ จากที่ได้อธิบายถึงความเข้มของยอดกราฟสูงสุดของรังสีที่เปล่งออกในช่วงเหนือม่วง บ่งบอกถึงวัสดุนาโน ZnO ที่เตรียมได้มีความบริสุทธิ์ค่อนข้างสูง (Maensiri et al. 2006) แต่อย่างไรก็ตามค่อนข้างขัดแย้งกับผลการวิจัย เนื่องจากว่าเงื่อนไข ZnO_SF_NaOH มีความเข้มของยอดกราฟสูงที่สุด แต่เมื่อถูกผลกระทบศึกษาการเปลี่ยนแปลงเฟลโคงสร้างพบว่าในเงื่อนไขนี้ปรากฏเฟลโกลมปนเกิดขึ้น ซึ่งการอธิบายเหตุผลนี้คาดว่าจะเป็นผลของเฟลโกลมปน และตำแหน่งในโครงสร้างวัสดุทำให้เกิดการขยายพลังงานแสงที่มีความเข้มของยอดกราฟสูงกว่าปกติขึ้นมา



ภาพที่ 5.36 สเปกตรัมจากเทคนิค Photoluminescence ของวัสดุนาโน ZnO กรณีใช้สารละลายนาโนโซเดียมไฮด्रออกไซด์ เมื่อใช้สารตั้งต้นเชิงชิงค์ต่างกัน

5.1.2.5.2 กรณีใช้สารละลายเบสของ KOH เมื่อสารตั้งต้นของชิงค์ต่างกัน

ผลการศึกษาสมบัติการเปล่งแสงของวัสดุนาโน ZnO กรณีใช้สารละลายเบสของ KOH โดยเทคนิค Photoluminescence (PL) ที่อุณหภูมิห้องแสดงดังภาพที่ 5.37 พบว่าความเข้มของยอดกราฟในเงื่อนไข ZnO_SF_KOH มียอดกราฟที่สูงกว่าในทุกเงื่อนไข โดยสเปกตรัมการเกิดพีคที่มีความเข้มของยอดกราฟสูงสุดในทุกเงื่อนไข คือ ~398 nm (3.12 eV) นอกจากนั้นในทุกเงื่อนไขการแคลริชน์ยังพบการเกิดพีคที่ความยาวคลื่นของรังสีที่เปล่งออกพบว่ามี 3 ตำแหน่งด้วยกันคือ ช่วงແບນเหนือม่วงอ่อน มีค่า ~422 nm (2.94 eV) ในช่วงແບນสีฟ้า-เขียว มีค่า ~484 nm (2.57 eV) และในช่วงແບນสีเขียว มีค่า ~530 nm (2.34 eV) เมื่อเทียบผลที่ได้กับการศึกษาสมบัติทางแสงโดยเทคนิค PL ของวัสดุนาโน ZnO โดยใช้สารละลายไข่ขาว, สารละลายว่านหางจระเข้และสารละลายใบตะไคร้สักด้ พบว่าในเงื่อนไขข้างต้น มีการเกิดยอดกราฟในช่วงແບນเหนือม่วงอ่อน และແບນสีฟ้า-เขียว มีลักษณะ ยอดกราฟที่ชัดเจนมากเมื่อเทียบกับการศึกษาใน ZnO_NaOH แสดงในหัวขอที่ 5.1.2.5.2 จากนั้นเมื่อพิจารณาเหตุช่วงรังสีเปล่งออกมาเกิดขึ้นเนื่องจากช่วงเหนือม่วงนี้เป็นผลมาจากการ เอกซิตอน รีคอมบินেชัน ส่งผลให้เกิดการเปล่งแสงใกล้ขอบແບນการนำของวัสดุ ZnO (Lyu et al., 2002; Bergman et al., 2004) ในช่วงແບນสีฟ้า-เขียวอ่อน เป็นผลมาจากการเกิดต่าหนินบริเวณพื้นผิวของวัสดุ ZnO อย่างเช่น ช่องว่างของออกซิเจน (V_o^X) (Liu et al., 2007) และอะตอมของชิงค์ที่แทรก (Zn_i^X) (Borseth et al., 2006) สุดท้ายແບນแสงสีเขียวเป็นผลจากการไอออโนไซเดชันของช่องว่างของออกซิเจน (V_o^\bullet) ภายในโครงสร้าง nano ZnO แสดงดังสมการที่ 5.5 และ 5.6 สอดคล้องกับรายงานของ Monticone et al. (1998) Li et al. (2000) และ Vanheusden et al. (1996) จากผลของการเกิดยอดกราฟของແບນสีฟ้า-เขียวอ่อน ที่ชัดเจนเป็นการบ่งชี้ถึงปริมาณต่าหนินช่องว่างของออกซิเจน และอะตอมของชิงค์ที่แทรกที่เกิดขึ้นในโครงสร้างที่น่าจะมีปริมาณมากกว่าเงื่อนไขการเตรียมนาโน ZnO โดยใช้สารละลายไข่ขาว, สารละลายว่านหางจระเข้ และสารละลายใบตะไคร้สักด้ จากที่ได้อธิบายไว้ว่าความเข้มของยอดกราฟสูงสุดของรังสีที่เปล่งออกในช่วงเหนือม่วงบ่งบอกถึงนาโน ZnO ที่เตรียมได้มีความบริสุทธิ์ค่อนข้างสูง (Maensiri et al. 2006) แต่อย่างไรก็ตามค่อนข้างชัดแยกกับผลการวิจัย เนื่องจากว่าในเงื่อนไข ZnO_SF_KOH มีความเข้มของยอดกราฟสูงที่สุด แต่เมื่อดูผลการศึกษาการเปลี่ยนแปลงเฟสโครงสร้าง โดยเทคนิค XRD พบว่าในเงื่อนไขนี้ปรากฏเฟสปลอมปนเกิดขึ้น ซึ่งการอธิบายเหตุผลนี้คาดว่าจะเป็นผลของเฟสปลอมปน และต่าหนินในโครงสร้างวัสดุทำให้เกิดการขยายพลังงานแสงที่มีความเข้มของยอดกราฟสูงกว่าปกติขึ้นมา จากการสังเกตผลการทดลองในเงื่อนไข ZnO_SF_NaOH และ ZnO_SF_KOH โดยเทคนิค PL จะเห็นได้ว่าเฟสปลอมปนนั้นมีส่วนเกี่ยวข้องต่อผลในการขยายพลังงานแสงที่เกิดขึ้นของวัสดุตัวอย่าง



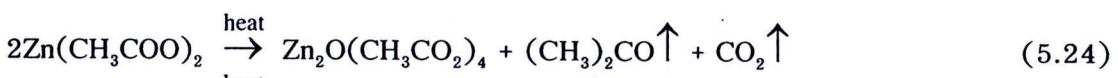
ภาพที่ 5.37 สเปกตรัมจากเทคนิค Photoluminescence ของวัสดุนาโน ZnO กรณีใช้สารละลายนีโบสของ KOH เมื่อใช้สารตั้งต้นเชิงซิงค์ต่างกัน

5.1.3 ผลการสังเคราะห์วัสดุนาโน ZnO ด้วยวิธีการสลายตัวทางความร้อนโดยตรง

งานวิจัยนี้ได้ศึกษาการสังเคราะห์วัสดุนาโน ZnO ด้วยวิธีการสลายตัวทางความร้อนโดยตรง สารตั้งต้นที่ใช้คือ ชิงค์อะซิเทրต (Zn(CH₃COO)₂) และโซเดียมไฮดรอกไซด์ในช่วง 400–700 °C ในอากาศ เป็นเวลา 4 ชั่วโมง ในระหว่างนี้วัสดุสารตั้งต้นมีการสลายตัวของสารประกอบชนิดต่างๆ ด้วยความร้อน สุดท้ายได้วัสดุนาโน ZnO ที่มีลักษณะเป็นผงสีขาว

5.1.3.1 การศึกษาปฏิกิริยา และกลไกการเกิดโครงสร้าง ZnO

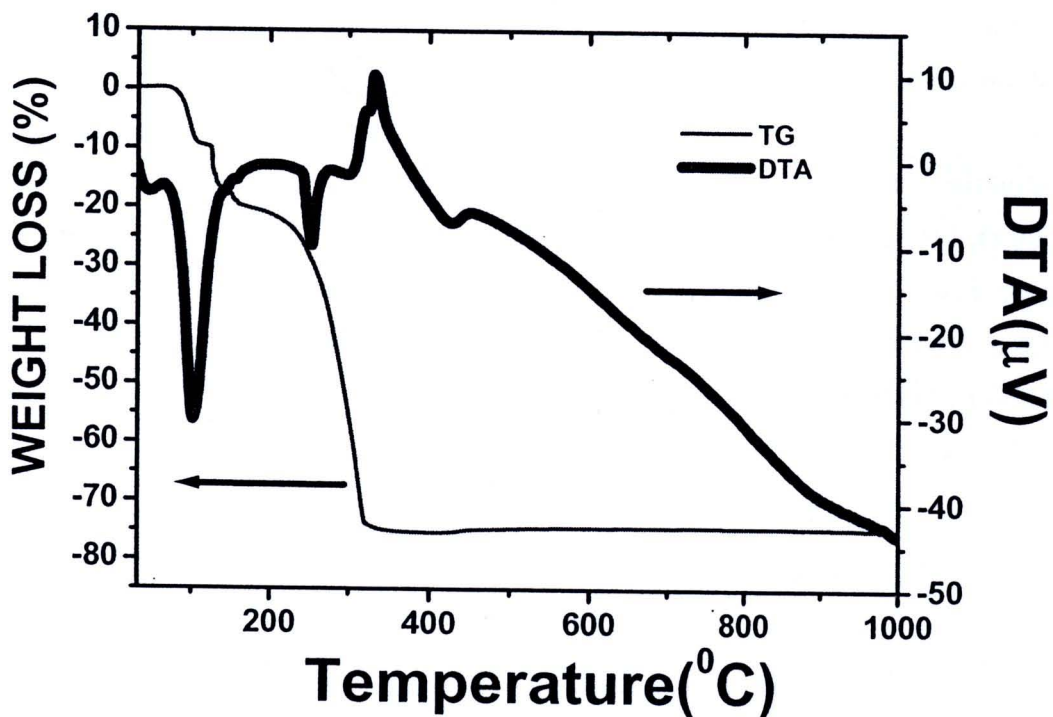
เมื่อพิจารณาการสังเคราะห์นาโน ZnO ด้วยวิธีการสลายตัวด้วยความร้อนโดยตรง เมื่อใช้สารตั้งต้นชิงค์อะซิเทรต ผลของปฏิกิริยาจะแสดงดังสมการที่ 5.24–5.27 พบว่าเมื่อให้ความร้อนแก่สารตั้งต้นจะมีการสลายตัวของ อัซิโตน (CH₃)₂CO, คาร์บอนไดออกไซด์ (CO₂), คาร์บอนมอนออกไซด์ (CO), ออกซิเจน (O₂) ซึ่งจะใช้สัญลักษณ์ ↑ แทน การสลายตัวของสารประกอบ สุดท้ายของปฏิกิริยาจะได้ ZnO ที่อยู่ในรูปผงสีขาว สามารถแสดงปฏิกิริยาดังสมการที่ 5.27



5.1.3.2 การศึกษาสมบัติการสลายตัวทางความร้อนของนาโน ZnO โดยเทคนิค TG-DTA

การประเมินอุณหภูมิแคลริฟอร์วัสดุนาโน ZnO สังเคราะห์โดยวิธีการสลายตัวทางความร้อนโดยตรงสามารถศึกษาได้ โดยใช้เทคนิค TG/DTA ผลการศึกษาแสดงในรูปแบบของกราฟความสัมพันธ์ระหว่างน้ำหนักของสารที่เปลี่ยนแปลง (เปอร์เซ็นต์ของน้ำหนักที่ลดลงเทียบกับน้ำหนักเริ่มต้น) กับ อุณหภูมิ และกราฟความสัมพันธ์ระหว่างการเปลี่ยนแปลงระดับพลังงานความร้อนภายใน กับ อุณหภูมิ แสดงดังภาพที่ 5.38 เมื่อพิจารณากราฟ TGA ที่แสดงน้ำหนักสารตั้งต้นของชิงค์อะซิเทรต ที่เปลี่ยนแปลง เมื่ออุณหภูมิเพิ่มขึ้น พบว่าในช่วง อุณหภูมิห้องถึง ~197 °C มีการสูญเสียน้ำหนักประมาณ 20 % ของน้ำหนักเริ่มต้น โดยในช่วงนี้ น้ำหนักที่สูญเสียไปเกิดจากการเผาไหม้อของ น้ำ และคาร์บอนไดออกไซด์ ส่วนในช่วงอุณหภูมิ ~197–325 °C มีการเปลี่ยนแปลงน้ำหนักมากที่สุด โดยมีการสูญเสียน้ำหนักประมาณ 55 % ของน้ำหนักเริ่มต้น น้ำหนักที่สูญเสียไปเกิดจากการเผาไหม้อของอะซิโตน สุดท้ายในช่วงอุณหภูมิ 325–1000 °C เป็นช่วงที่มีการสูญเสียน้ำหนักน้อยมาก และผลดังกล่าวในส่วนนี้สามารถบ่งชี้ได้ว่าเริ่มมีการเกิดเฟสของ ZnO เมื่อพิจารณากราฟ DTA ในช่วงอุณหภูมิ 305–419 °C ซึ่งมียอดกราฟ

สูงสุดที่อุณหภูมิ 322°C พบว่าอุณหภูมิของตัวอย่างเปลี่ยนแปลงในลักษณะคายความร้อน (กราฟ DTA มีค่าเป็นบวก) มีผลเนื่องจากการเผาไหม้ของคาร์บอนไดออกไซด์ และอะซิโตน ของสารตั้งต้นจากข้อมูลข้างต้น ในงานวิจัยนี้ได้เลือกอุณหภูมิแคลใจ์สารตั้งต้นของชิงค์อะซิเทրตโดยอาศัยข้อมูลจาก TG/DTA โดยเลือกช่วงอุณหภูมิที่ไม่มีการสูญเสียน้ำหนักและมีการสร้างผลึกเกิดขึ้น คือช่วงอุณหภูมิ $400\text{--}700^{\circ}\text{C}$

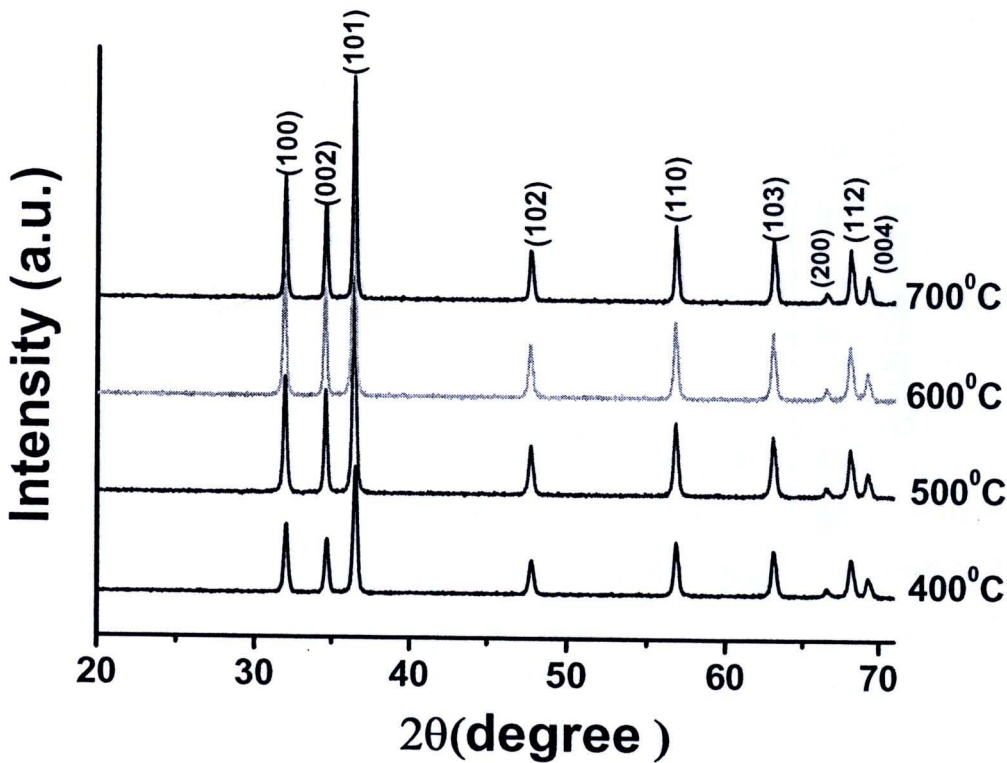


ภาพที่ 5.38 การสลายตัวทางความร้อนของสารตั้งต้นชิงค์อะซิเทอร์โดยเทคนิค TG/DTA

5.1.3.3 การศึกษาพฤติกรรมการเกิดเฟลโครงสร้างโดยเทคนิค XRD

การศึกษาเฟส และโครงสร้างของวัสดุนาโน ZnO สังเคราะห์โดยวิธีการสลายตัวทางความร้อนโดยตรง ด้วยเทคนิค XRD แสดงดังภาพที่ 5.39 ผลการทดลองพบว่ารูปแบบการเลี้ยวเบนรังสีเอกซ์ของวัสดุนาโน ทุกเงื่อนไขการเผาแคลไชน์สอดคล้องกับข้อมูลมาตรฐานของโครงสร้างเป็นเอกะโนกลับแบบเวิร์ตไซต์ของวัสดุ ZnO (JCPDS เลขไฟล์ที่ 36-1451) และไม่พบการเกิดเฟสปลอมปนของสารประกอบอื่น ๆ จากการศึกษาลักษณะของยอดกราฟ พบว่าความเข้มของยอดกราฟการเลี้ยวเบนสูงขึ้น และความกว้างของกราฟมีลักษณะแคบลง เมื่อวัสดุเพิ่มอุณหภูมิในการแคลไชน์ ซึ่งแสดงถึงความเป็นผลึกเพิ่มมากขึ้นเมื่อแคลไชน์ อุณหภูมิสูงขึ้น สอดคล้องกับรายงานของ Maensiri et al. (2006)

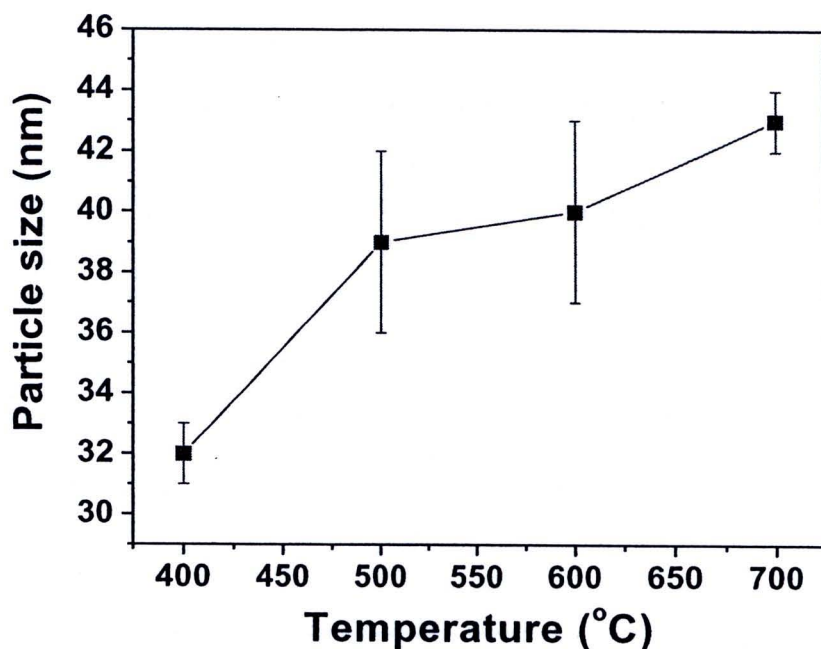
จากรูปแบบการเลี้ยวเบนรังสีเอกซ์สามารถคำนวณขนาดอนุภาคของวัสดุผงได้ โดยวิธี X-ray line broadening โดยเลือกคำนวณจากการเลี้ยวเบนที่ระนาบ (100), (002), (101) และ (110) แสดงดังตารางที่ 5.10 และเขียนกราฟความสัมพันธ์แสดงดังภาพที่ 5.27 ซึ่งจากการนี้พบว่าอนุภาคมีขนาดที่ใกล้เคียงกัน โดยมีขนาดในช่วง $32 \pm 1.0 - 43 \pm 1.0$ nm กราฟความสัมพันธ์ระหว่างค่าคงที่แลตทิช กับอุณหภูมิแคลไชน์ แสดงดังภาพที่ 5.41 ซึ่งจากข้อมูลที่ได้มีค่าใกล้เคียงกับค่าคงที่ของแลตทิชมาตรฐานของ ZnO ($a = 0.32488$ nm และ $c = 0.52066$ nm) (JCPDS เลขไฟล์ที่ 36-1451)



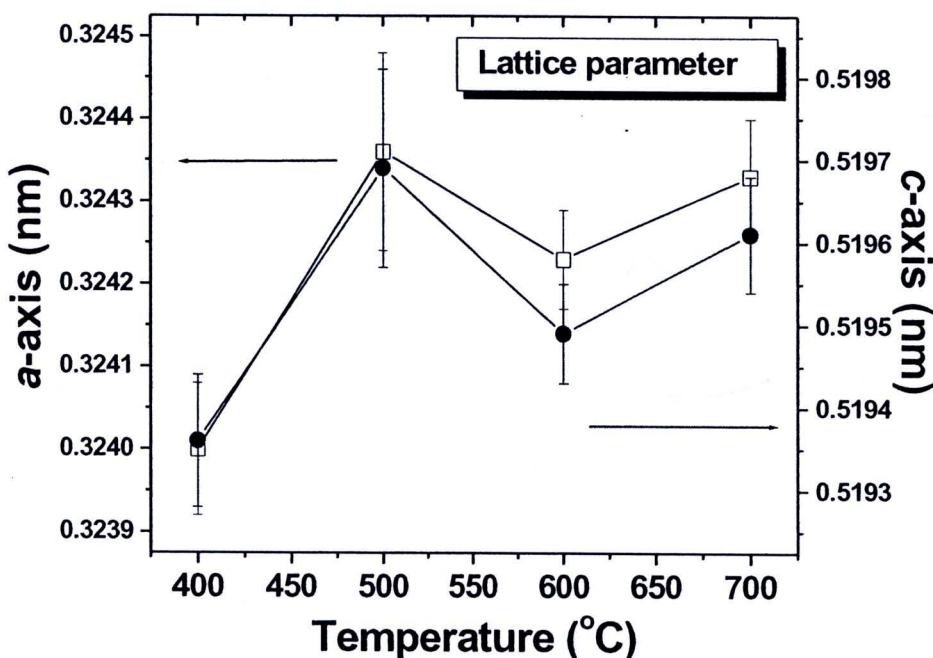
ภาพที่ 5.39 รูปแบบการเลี้ยวเบนรังสีเอกซ์ จากเทคนิค XRD ของวัสดุ nano ZnO
แคลไชน์ที่อุณหภูมิ 400, 500, 600 และ 700 °C เป็นเวลา 4 ชั่วโมง

ตารางที่ 5.10 ขนาดอนุภาค และค่าคงที่แลตทิชของวัสดุ nano ZnO เมื่อแคลไชน์อุณหภูมิที่ 400, 500, 600 และ 700 °C เป็นเวลา 2 ชั่วโมง ในอากาศ คำนวณโดยวิธี X-ray line broadening

อุณหภูมิแคลไชน์ (°C)	ขนาดอนุภาค (nm)	ค่าคงที่แลตทิช (nm)	
		a	c
400	32 ± 1.0	0.32400 ± 0.0008	0.51936 ± 0.0008
500	39 ± 3.0	0.32436 ± 0.0012	0.51969 ± 0.0008
600	40 ± 3.0	0.32423 ± 0.0006	0.51949 ± 0.0006
700	43 ± 1.0	0.32433 ± 0.0007	0.51961 ± 0.0007



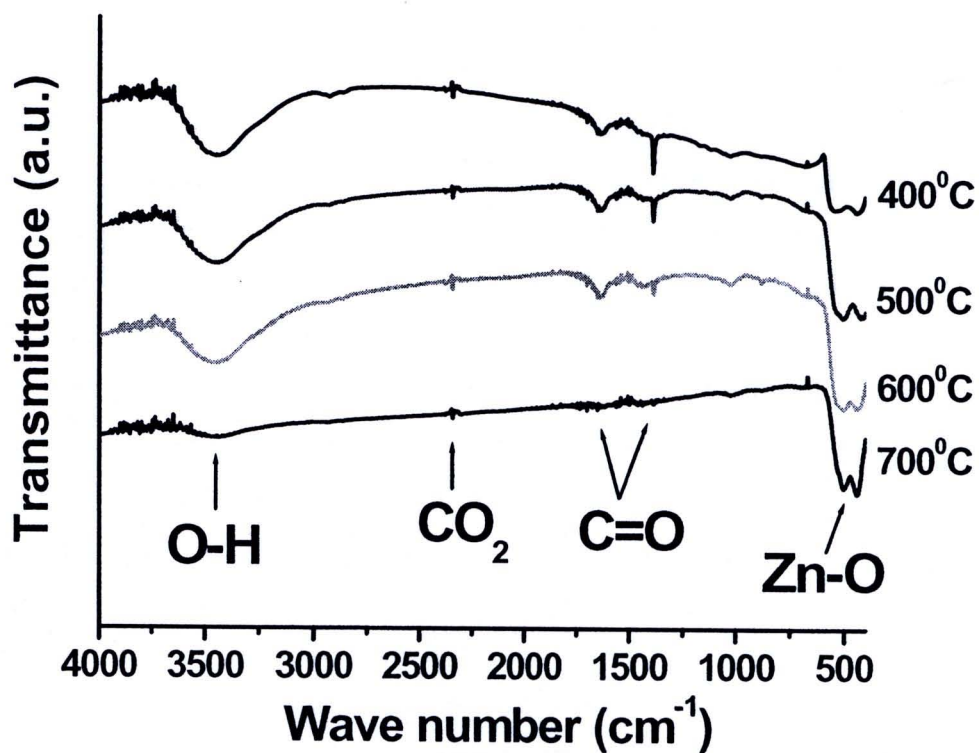
ภาพที่ 5.40 ความสัมพันธ์ระหว่างขนาดอนุภาคกับอุณหภูมิแคลใจน์ของวัสดุนาโน ZnO ที่อุณหภูมิ 400, 500, 600 และ 700 °C เป็นเวลา 4 ชั่วโมง



ภาพที่ 5.41 ความสัมพันธ์ระหว่างค่าคงที่แลตทิซกับอุณหภูมิแคลใจน์ของวัสดุนาโน ZnO ที่อุณหภูมิ 400, 500, 600 และ 700 °C เป็นเวลา 4 ชั่วโมง

5.1.3.4 การศึกษาหมู่ฟังก์ชันที่เป็นองค์ประกอบในวัสดุนาโน ZnO โดยเทคนิค FT-IR

สำหรับการศึกษาโดยเทคนิค FT-IR เป็นการวัดค่าการส่งผ่านพลังงานคลื่นแม่เหล็กไฟฟ้าในช่วงเลขคลื่นตั้งแต่ $400-4000\text{ cm}^{-1}$ และการศึกษาหาหมู่ฟังก์ชันที่มีอยู่ในวัสดุนาโน ZnO ที่แคลไชน์ที่อุณหภูมิ $500-700\text{ }^{\circ}\text{C}$ เป็นเวลา 2 ชั่วโมง ได้ผลแสดงดังภาพที่ 5.42 ผลจากการศึกษาพบว่าสำหรับทุกเงื่อนไขการแคลไชน์วัสดุนาโน ZnO มีลักษณะเส้นスペกตรัมการดูดกลืนที่คล้ายคลึงกัน โดยสเปกตรัมการส่งผ่านที่เกิดขึ้นในแต่ละตัวແ幃นงของเลขคลื่นได้ฯ นั้นสามารถเปรียบเทียบແບບสเปกตรัมที่เกิดการส่งผ่านกับตารางที่ 5.2 แสดงให้เห็นว่าวัสดุที่เตรียมได้มีการรวมตัวกันเกิดเป็นโครงสร้างของ ZnO อย่างชัดเจน เนื่องจากในทุกเงื่อนไขการแคลไชน์ พบว่าปรากฏเส้นสเปกตรัมการส่งผ่านพลังงานในตัวແ幃นงเลขคลื่นที่ระบุว่าเป็นการสั่นของพันธะ Zn-O ในโครงสร้างของวัสดุนาโน ZnO ที่ตัวແ幃นงเลขคลื่น $\sim 452\text{ cm}^{-1}$ นอกจากนี้ในทุกเงื่อนไขยังพบสเปกตรัมของหมู่ฟังก์ชัน O-H ที่เลขคลื่น 3500 cm^{-1} หมู่ฟังก์ชัน C-H ที่เลขคลื่น 2920 cm^{-1} หมู่ฟังก์ชัน CO₂ ที่เลขคลื่น 2450 cm^{-1} หมู่ฟังก์ชัน asymmetric C=O stretching modes ที่เลขคลื่น $\sim 1630\text{ cm}^{-1}$ และหมู่ฟังก์ชัน symmetric C=O stretching modes โดยผลการทดลองที่เกิดขึ้นสอดคล้องกับผลงานวิจัยของ Maensiri et al. (2007) จากนั้นเมื่อพิจารณาความเข้มของเส้นสเปกตรัมการส่งผ่านพลังงานของการสั่นของพันธะ Zn-O พบว่ามีค่าสูงขึ้น และความเข้มของเส้นสเปกตรัมในหมู่ฟังก์ชันอื่น ๆ ก็มีปริมาณที่ลดลง เมื่อเพิ่มอุณหภูมิแคลไชน์จากผลที่เกิดขึ้นจึงมีความเป็นไปได้ที่วัสดุมีเฟสโครงสร้างของ ZnO ที่บริสุทธิ์ขึ้น ดังนั้นผลการทดลองจากเทคนิค XRD และFT-IR เป็นการยืนยันว่าสามารถสังเคราะห์วัสดุนาโน ZnO ที่มีโครงสร้างเป็นเอกซ์โกรอนอลแบบเวิร์ตไซต์

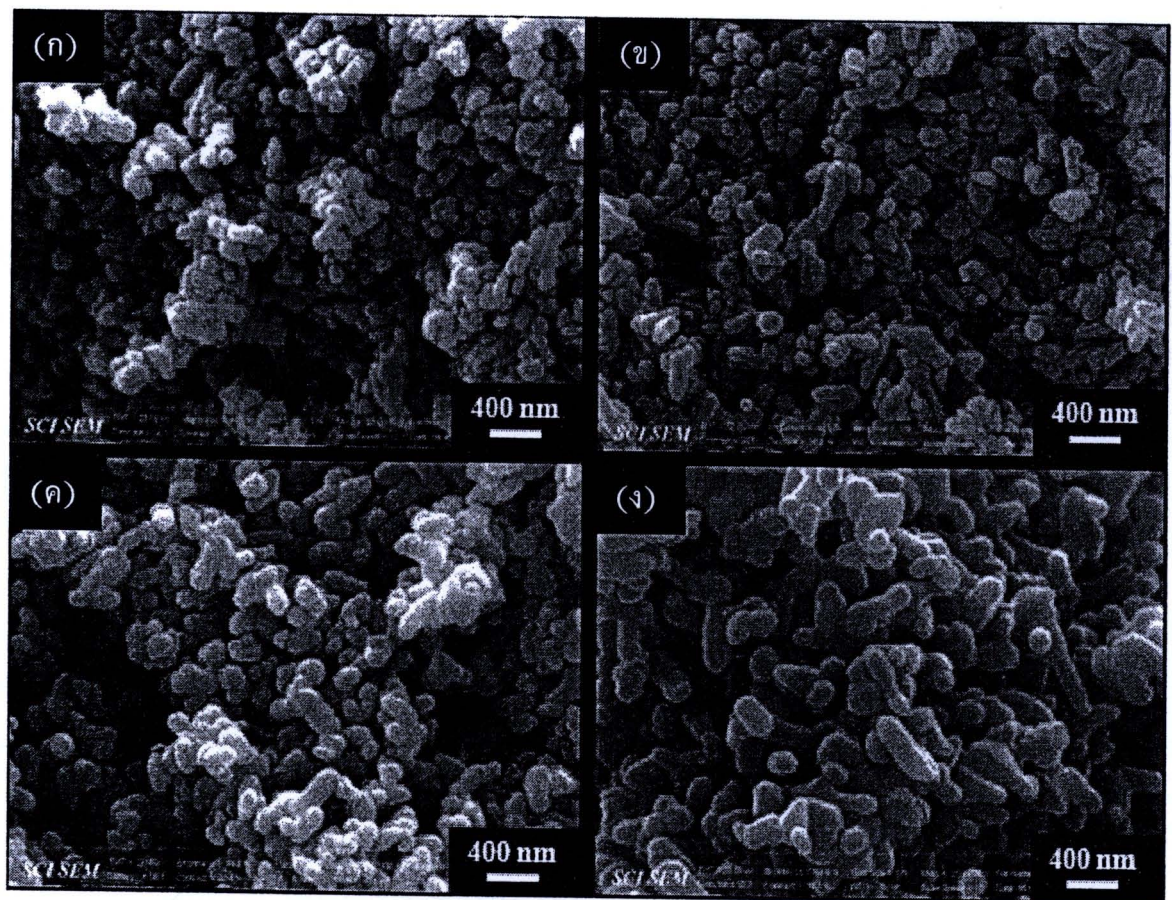


ภาพที่ 5.42 สเปกตรัม FT-IR ของวัสดุนาโน ZnO แคลไชน์ที่อุณหภูมิ 400, 500, 600 และ 700 °C เป็นเวลา 4 ชั่วโมง

5.1.3.5 ผลการศึกษาสัณฐานวิทยาของวัสดุนาโน ZnO โดยเทคนิค SEM

การศึกษาลักษณะสัณฐานวิทยาของวัสดุนาโน ZnO ผ่านการแคล

ไชน์ที่อุณหภูมิ ในช่วง 400-700 °C เป็นเวลา 4 ชั่วโมง ในอากาศ โดยเทคนิค SEM ด้วย กำลังขยาย 20000 เท่า แสดงดังภาพที่ 5.8 พบร่วมกันของวัสดุตัวอย่างทุกเงื่อนไขมีการเกาะตัวกันเป็น กลุ่มก้อนของอนุภาคจำนวนมาก นอกจานน้ำสัตุตัวอย่างยังมีลักษณะสัณฐานทั้ง 2 ลักษณะคือ อนุภาคนาโน และแท่งขนาดนาโน โดยขนาดของวัสดุทุกเงื่อนไขของการแคลไชน์ได้ พบร่วมกัน ของอนุภาคมีเส้นผ่านศูนย์กลาง ~50-200 nm ขณะที่แท่งขนาดนาโนมีขนาดเส้นผ่านศูนย์กลาง ~100-200 nm และมีความยาว ~250-500 nm จากการสังเกตขนาดอนุภาคนาโนจากการเดินทาง SEM พบร่วมกันของอนุภาคนาโนที่มีขนาดเพิ่มขึ้นเมื่อเพิ่มอุณหภูมิแคลไชน์ และแสดงให้เห็นถึงการเติบโตของ ผลึกในวัสดุ

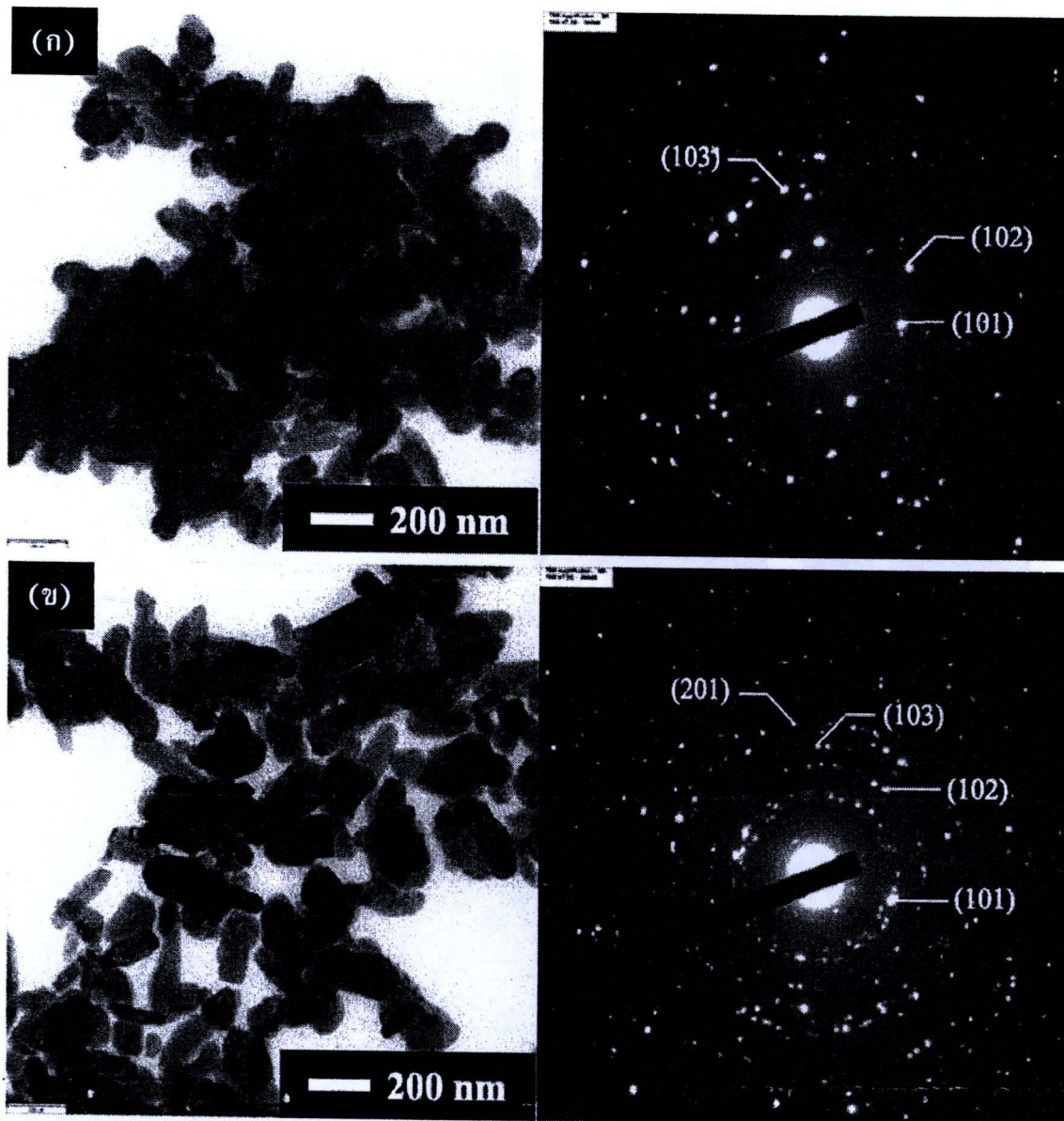


ภาพที่ 5.43 ภาพถ่าย SEM ของวัสดุนาโน ZnO แคลไซน์ที่อุณหภูมิ (ก) 400, (ข) 500
(ค) 600 และ (ง) 700 °C เป็นเวลา 4 ชั่วโมง

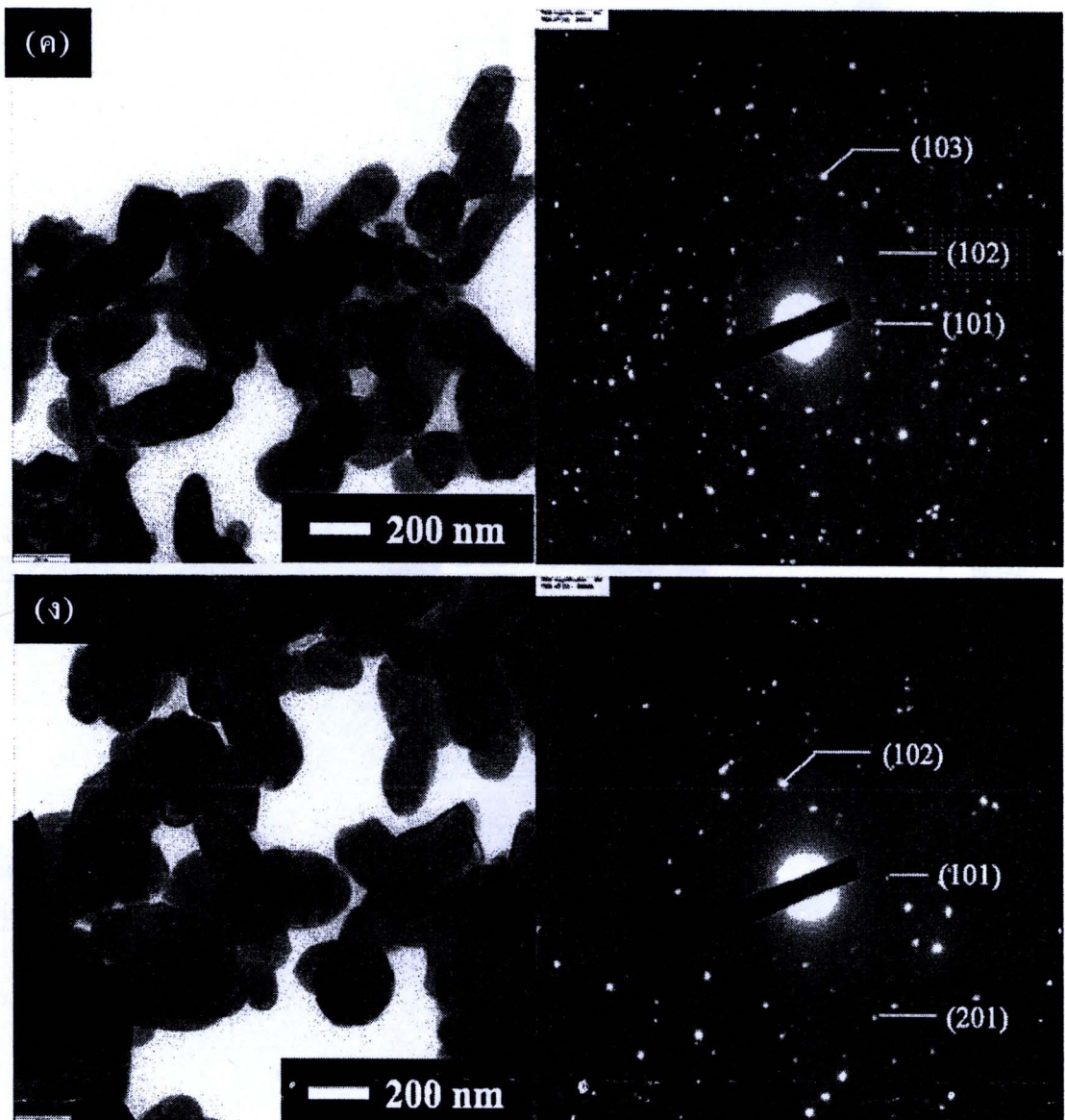


5.1.3.6 ผลการศึกษาโครงสร้างของนาโน ZnO โดยเทคนิค TEM

การถ่ายภาพวัสดุนาโน ZnO ด้วยกล้องจุลทรรศน์อิเล็กตรอนแบบส่องผ่านที่ความต่างศักย์ 200 KV และกำลังขยาย 200000 เท่าแสดงดังภาพที่ 5.47 ใน การศึกษาด้วยเทคนิค TEM นี้ มีจุดประสงค์คือ ต้องการหาโครงสร้างเฟลที่เกิดขึ้นในวัสดุนาโน ZnO ที่เตรียมโดยการพิจารณาจากรูปแบบการเลี้ยวเบนของอิเล็กตรอน เพื่อใช้ในการยืนยันผลที่ได้จากเทคนิค XRD และ FT-IR รวมทั้งศึกษาลักษณะสัมฐาน และขนาดของอนุภาคที่ได้ด้วย ซึ่ง จากการถ่ายที่ได้ และรูปแบบการเลี้ยวเบนอิเล็กตรอน พบว่าลักษณะของวัสดุนาโน ZnO ที่เตรียมได้ทั้งหมดมีลักษณะที่คล้ายคลึงกับผลที่ได้จากการถ่าย SEM คือวัสดุตัวอย่างยังมีลักษณะ สัมฐานทั้ง 2 ลักษณะคือ อนุภาคนาโน และแท่งนาโน โดยเมื่อ нагрев 400 °C มีการเกาะ กลุ่มกันของอนุภาคอย่างหนาแน่น และพบว่าขนาดอนุภาคมีเส้นผ่านศูนย์กลาง ~50-80 nm ขณะที่แท่งนาโนมีขนาดเส้นผ่านศูนย์กลาง ~25-100 nm และมีความยาว ~200-300 nm ใน เมื่อ нагрев 500 °C ขนาดอนุภาคมีเส้นผ่านศูนย์กลาง ~50-100 nm ขณะที่แท่งนาโนมี ขนาดเส้นผ่านศูนย์กลาง ~50-150 nm และมีความยาว ~200-300 nm ส่วนเมื่อ нагрев 600 °C ขนาดอนุภาคมีเส้นผ่านศูนย์กลาง ~150-200 nm ขณะที่แท่งนาโนมีขนาดเส้นผ่าน ศูนย์กลาง ~200 nm และมีความยาว ~200-400 nm สุดท้ายเมื่อ нагрев 700 °C ขนาด อนุภาคมีเส้นผ่านศูนย์กลาง ~350-400 nm ขณะที่แท่งนาโนมีขนาดเส้นผ่านศูนย์กลาง ~200 nm และมีความยาว ~200-500 nm จากผลที่ได้พบว่าเมื่อมีการแคลไชน์ที่อุณหภูมิสูงขึ้นขนาด ของอนุภาคจะมีขนาดเพิ่มขึ้นตาม จำนวนนี้เมื่อศึกษารูปแบบการเลี้ยวเบนของอิเล็กตรอนพบว่า มี ลักษณะการกระจายตัวเป็นจุดเกิดขึ้น ซึ่งจากการจะพบว่าเมื่อแคลไชน์ที่อุณหภูมิสูงขึ้นพบว่า ความเข้ม และการกระจายตัวของจุดจะเพิ่มสูงขึ้นตาม ซึ่งยืนยันถึงความเป็นผลึกของวัสดุตัวอย่าง ที่เพิ่มขึ้นนั้นเอง (Maensiri et al., 2006) จากรูปแบบการเลี้ยวเบนนี้ยังสามารถใช้ศึกษา โครงสร้างของผลึกโดยการคำนวณค่าระยะห่างระหว่างระนาบหรือค่า d จากรัศมีของแต่ละวง และ นำไปเปรียบเทียบกับฐานข้อมูลอ้างอิง พบว่าวัสดุนาโน ZnO ที่เตรียมได้มีโครงสร้างผลึกเป็น เอกราชโภนอลแบบเวอร์ตไซท์ของวัสดุ ZnO (JCPDS เลขไฟล์ที่ 36-1451) และไม่พบเฟล โครงสร้างของสารประกอบอื่นเกิดขึ้นแต่อย่างใด จากผลที่ได้ช่วยยืนยันข้อมูลที่วิเคราะห์เฟล โครงสร้างด้วยเทคนิค XRD และ FT-IR ว่าสามารถสังเคราะห์วัสดุนาโน ZnO ที่มีโครงสร้างเป็น เอกราชโภนอลแบบเวอร์ตไซท์



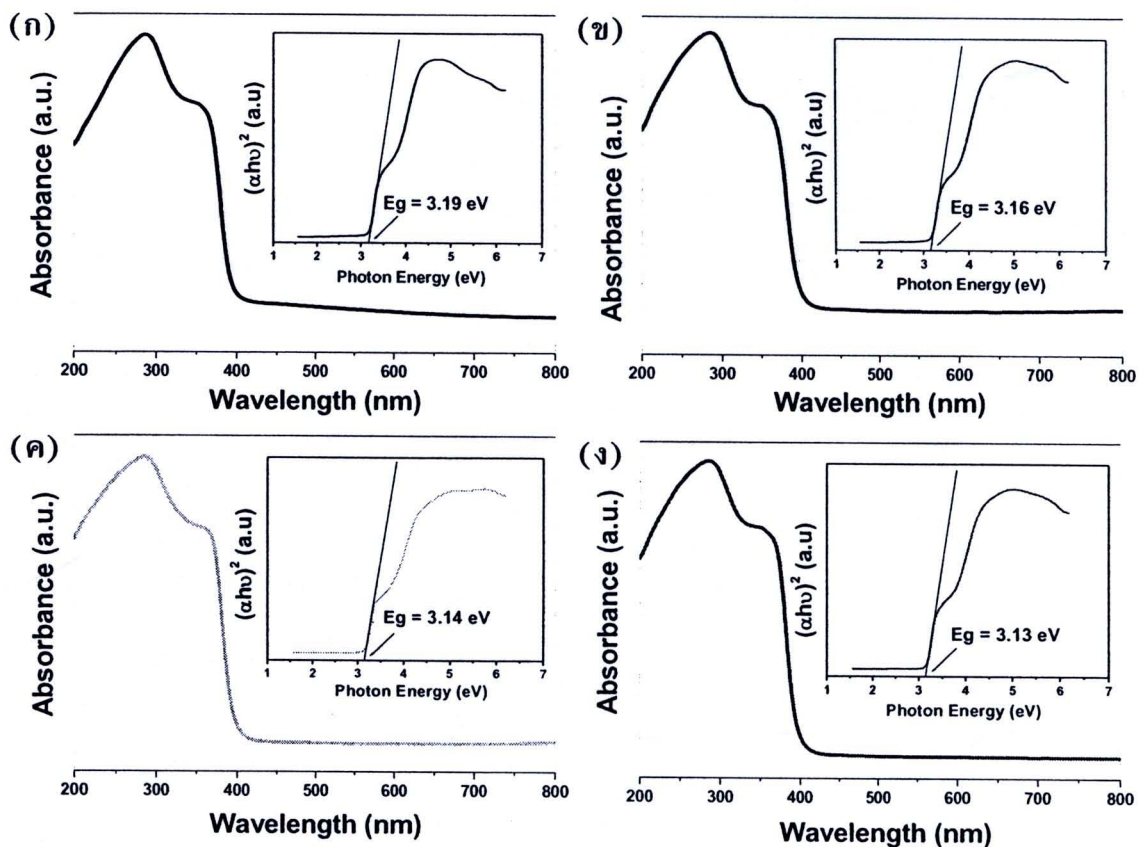
ภาพที่ 5.44 ภาพถ่าย TEM ของสัมบูรณ์ ZnO แคลไซน์ที่อุณหภูมิ (ก) 400, (ข) 500, (ค) 600 และ (ง) 700 °C เป็นเวลา 4 ชั่วโมง



ภาพที่ 5.44 ภาพถ่าย TEM ของส่วนหัว ZnO แคลเซนที่อุณหภูมิ (ก) 400, (ข) 500, (ค) 600 และ (ง) 700 °C เป็นเวลา 4 ชั่วโมง (ต่อ)

5.1.3.7 การศึกษาสมบัติทางแสงของวัสดุ nano ZnO โดยเทคนิค UV-vis

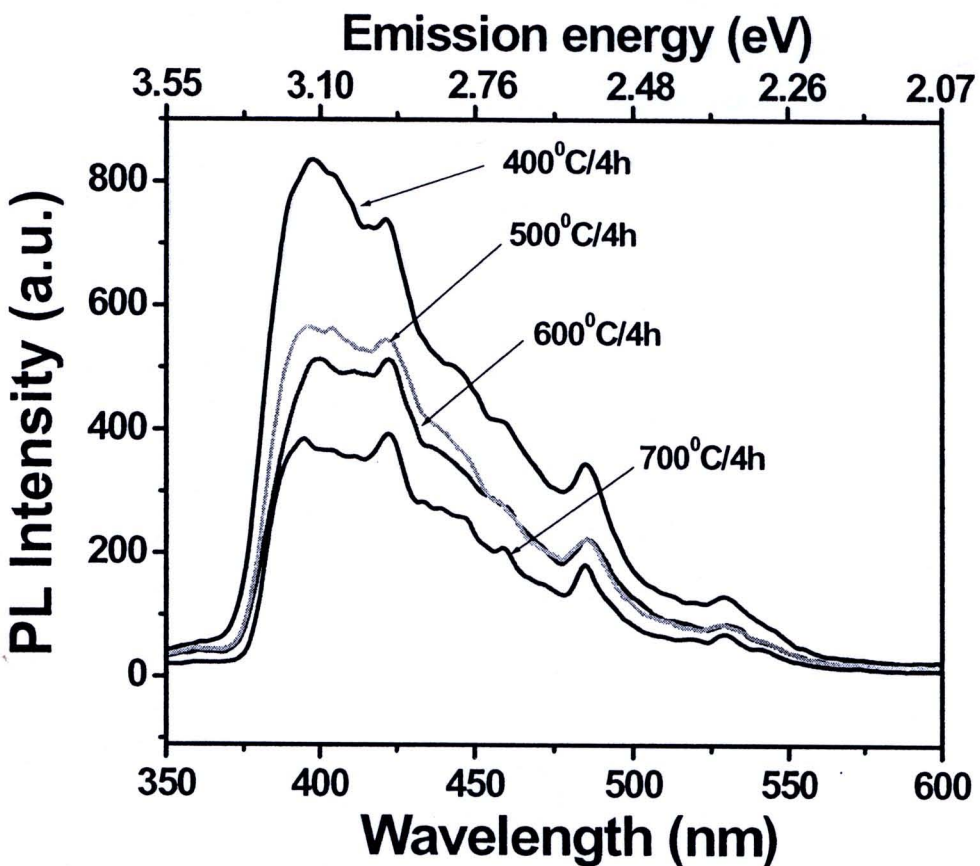
การศึกษาสมบัติการดูดกลืนแสงของวัสดุ nano ZnO ที่ผ่านการแคลไชน์ที่อุณหภูมิ ในช่วง 400-700 °C เป็นเวลา 4 ชั่วโมง โดยเทคนิค UV-Vis แสดงดังภาพที่ 5.45 การพิจารณาพบว่าลักษณะสเปกตรัมของการดูดกลืนแสงมีความคล้ายคลึงกัน โดยแสดงการดูดกลืนแสงได้ดีในย่านเห็นอย่าง คือที่ความยาวคลื่นต่ำกว่า 400 nm (3.10 eV) และมียอดกราฟของการดูดกลืนที่ความยาวคลื่นประมาณ 288 nm (4.31 eV) แสดงดังภาพที่ 5.45 จากจากการคำนวณหาค่าซึ่งของว่างแบบพลังงานเป็นแบบตรง ซึ่งผลจากการคำนวณหาค่าซึ่งของว่างแบบพลังงานของวัสดุตัวอย่าง โดยใช้สมการที่ 4.5 พบร่วมค่า E_g มีค่าเท่ากับ 3.19, 3.16, 3.14 และ 3.13 eV แคลไชน์ที่อุณหภูมิ 400, 500, 600 และ 700 °C ตามลำดับ แสดงดังภาพที่ 5.45(ภาพแทรก) จากการค่า E_g ที่คำนวณได้พบว่ามีค่าที่ต่ำกว่าค่าแบบพลังงานมาตรฐานของวัสดุ ZnO มีค่า ~3.37 eV (Pearson et al., 2003; Zu et al., 1997) ซึ่งสามารถนีองจากเป็นผลของ ตำแหน่งภายในโครงสร้างของวัสดุตัวอย่าง คือซึ่งของของออกซิเจน และการแทรกที่ของซิงค์ ซึ่งสามารถเขียนเป็นสมการในรูปสัญลักษณ์ของ ครอเกอร์-วิงค์ ที่อธิบายการเกิดตำแหน่งในโครงสร้างของวัสดุมีผลต่อการดูดกลืนแสงที่แบบพลังงานต่ำลง แสดงดังสมการที่ 5.2-5.6 จากนั้นนำผลของตำแหน่งมาอธิบายในรูปแบบระดับพลังงานของชั้นโดเนอร์เมื่อมีตำแหน่งในโครงสร้างแสดงดังภาพที่ 5.10 จึงเป็นการอธิบายสาเหตุของการเลื่อนระดับพลังงานในการดูดกลืนแสงในระดับพลังงานที่สั้นลง ซึ่งสอดคล้องกับรายงานของ Mende et al. (2007)



ภาพที่ 5.45 สเปกตรัมการดูดกลืนแสง และช่องว่างแอบพลังงาน (gap energy) จากเทคนิค UV-vis ของวัสดุ nano ZnO แคลไซน์ที่อุณหภูมิ (ก) 400, (ข) 500, (ค) 600 และ (ง) 700 °C เป็นเวลา 4 ชั่วโมง

5.1.3.8 การศึกษาสมบัติทางแสงโดยเทคนิค PL ของวัสดุนาโน ZnO

ผลการศึกษาสมบัติการเปล่งแสงของวัสดุนาโน ZnO ที่ผ่านการแคลเซน์ที่อุณหภูมิ ในช่วง 400-600 °C เป็นเวลา 2 ชั่วโมง โดยเทคนิค Photoluminescence (PL) แสดงดังภาพที่ 5.18 โดยสเปกตรัมที่ได้พบว่าในทุกเงื่อนไขการแคลเซน์พบว่าเกิดพีคที่มีความเข้มของยอดกราฟสูงสุดที่ความยาวคลื่นของรังสีที่เปล่งออกในช่วงเหนือม่วง คือ ~395 nm (2.95 eV) นอกจากนั้นยังพบการเกิดพีคที่ความยาวคลื่นของรังสีที่เปล่งออกพบว่ามี 3 ตำแหน่ง ด้วยกันคือ ในช่วงແຄบสีฟ้า-เขียว มีค่า ~420 nm (2.96 eV) ในช่วงແຄบสีฟ้า-เขียว มีค่า ~485 nm (2.56 eV) และในช่วงແຄบสีเขียว มีค่า ~529 nm (2.35 eV) โดยการสาเหตุของช่วงรังสีเปล่งออกมาเกิดขึ้นเนื่องจาก ในช่วงเหนือม่วงนั้นเป็นผลมาจากการเอกซิตรอน รีคอมบินेशัน ส่งผลให้เกิดการเปล่งแสงไกลั่นของวัสดุ ZnO (Lyu et al., 2002; Bergman et al., 2004) ແຄบสีฟ้า-เขียวอ่อน เป็นผลมาจากการเกิดตัวหนินบริเวณพื้นผิวของวัสดุ ZnO อย่างเช่น ช่องว่างของออกซิเจน (ν_o^X) (Liu et al., 2007) และอะตอมของซิงค์ที่แทรก (Zn_i^X) (Borseth et al., 2006) สุดท้ายແຄบแสงสีเขียว เป็นผลมาจากการไอออโนนเซชันของช่องว่างของออกซิเจน (ν_o^\bullet) ภายในโครงสร้างวัสดุนาโน ZnO แสดงดังสมการที่ 5.5 และ 5.6 แสดงลักษณะเดียวกับรายงานของ Monticone et al. (1998) Li et al. (2000) และ Vanheusden et al. (1996) จากผลของการเกิดยอดกราฟของແຄบสีฟ้า-เขียว ที่ชัดเจนน่าจะเป็นการบ่งชี้ถึงปริมาณตัวหนินช่องว่าง ของออกซิเจน และอะตอมของซิงค์ที่แทรกที่เกิดขึ้นในโครงสร้างที่น่าจะมีปริมาณมากกว่าเงื่อนไข การเตรียมนาโน ZnO โดยใช้สารละลายไข่ขาว, สารละลายว่านหางจระเข้และสารละลายใบตะไคร้ ตกัด ในขณะที่ความเข้มของยอดกราฟสูงสุดของรังสีที่เปล่งออกในช่วงเหนือม่วงในทุกเงื่อนไขการแคลเซน์บ่งบอกถึงวัสดุนาโน ZnO ที่เตรียมได้มีความบริสุทธิ์ค่อนข้างสูง (Maensiri et al. 2006) จากผลการศึกษาสมบัติทางแสงด้วยเทคนิค UV-vis และ PL สรุปได้ว่าวัสดุนาโน ZnO ที่เตรียมได้นั้นมีโครงสร้างเชกซ์โගนอลแบบเวอร์ตไซต์ นักจากนี้ยังยืนยันการเกิดตัวหนินภายในโครงสร้าง



ภาพที่ 5.46 สเปกตรัมจากเทคนิค Photoluminescence ของวัสดุนาโน ZnO แคลไซน์ที่ อุณหภูมิ 400, 500, 600 และ 700 °C เป็นเวลา 4 ชั่วโมง

5.2 การเปรียบเทียบถึงข้อดี และข้อด้อยในแต่ละวิธี ของการเตรียมวัสดุนาโน ZnO

หัวข้อนี้อภิปรายผลการเปรียบเทียบถึงข้อดี และข้อด้อยในแต่ละวิธีของการเตรียมนาโน ZnO โดยแบ่งวิธีการเตรียมออกเป็น 3 วิธีคือ 1) วิธีโซล-เจล โดยใช้สารสกัดจากธรรมชาติ เช่น ไข่ขาว ว่านหางจระเข้ และใบตะไคร้ 2) วิธีการทำปฏิกิริยาทางเคมีด้วยคลื่น อัลตราโซนิก และ 3) วิธีการสลายตัวทางความร้อนโดยตรง ซึ่งสาเหตุของการเปรียบเทียบถึงข้อดี และข้อด้อยของแต่ละวิธี เนื่องจากว่าต้องการเลือก และนำวิธีที่เหมาะสมมาใช้ในการสังเคราะห์ nano ZnO ที่มีการเจือสารมลพินเข้าไปในโครงสร้าง เพื่อที่ศึกษาถูกต้อง และการเกิดโครงสร้าง และสมบัติทางกายภาพ ต่างๆ ว่ามีการเปลี่ยนแปลงแตกต่างจาก nano ZnO ที่ไม่มีการเจือสารมลพินอย่างไร ซึ่งข้อมูลการเปรียบเทียบจะแสดงในตารางที่ 5.11

ตารางที่ 5.11 สรุปการเปรียบเทียบถึงข้อดี และข้อด้อยแต่ละวิธีในการเตรียมวัสดุนาโน ZnO

วิธีเตรียม หัวข้อ	วิธีโซล-เจล โดยใช้ สารสกัดจาก ธรรมชาติ	วิธีการทำปฏิกิริยา ทางเคมีด้วยคลื่น อัลตราโซนิก	วิธีการสลายตัว ทางความร้อน โดยตรง
1. ระยะเวลาที่ใช้ในการ เตรียมวัสดุนาโน ZnO	มาก	น้อย	น้อย
2. ความซับซ้อนในการวัสดุ นาโน ZnO	มาก	ปานกลาง	น้อย
3. ค่าใช้จ่ายในการเตรียม วัสดุนาโน ZnO	ปานกลาง	ปานกลาง	น้อย
4. ความบริสุทธิ์ของวัสดุนา โน ZnO ที่เตรียมได้	มาก	ปานกลาง	มาก
5. ปัจจัยอื่น ๆ ที่คาดว่ามีผล ต่อขั้นตอนการเตรียมวัสดุ นาโน ZnO บริสุทธิ์ เช่น ค่า pH และสารตั้งต้นที่นำมาใช้	มาก	มาก	ปานกลาง

จากการเปรียบเทียบถึงข้อดี และข้อด้อยแต่ละวิธีในการเตรียมนาโน ZnO พบร่วมกันว่า วิธีการสลายตัวทางความร้อนโดยตรง เป็นวิธีที่เหมาะสมที่สุดที่จะถูกนำมาใช้ในการสังเคราะห์ วัสดุนาโน ZnO ที่มีการเจือสารมลพิษเข้าไปในโครงสร้าง เนื่องจากในกระบวนการเตรียมโดยวิธีนี้ เป็นวิธีที่ใช้เวลาค่อนข้างน้อย มีการเตรียมที่ไม่ซับซ้อน อีกทั้งการเตรียมวิธีนี้ใช้สารตั้งต้นนำมาเพา แครลไซน์โดยตรง ไม่ได้ผสมสารเคมีตัวอื่น ที่ช่วยในการตกตะกอน หรือการไปสร้างโครงข่ายจับ กับประจุอิเล็กตรอนของสารตั้งต้นที่เกิดการแตกตัว เพื่อให้ได้วัสดุนาโน ZnO ดังนั้นจากเหตุผลข้างต้น จึงทำให้เลือกการเตรียมวิธีการสลายตัวทางความร้อนโดยตรงมาเตรียมวัสดุนาโน ZnO ที่มีการเจือสารมลพิษเข้าไปในโครงสร้าง ซึ่งในรายละเอียดของสารเคมีที่นำมาเจือ และพฤติกรรมทางกายภาพที่เกิดขึ้น ซึ่งจะอภิปรายผลในหัวข้อถัดไป

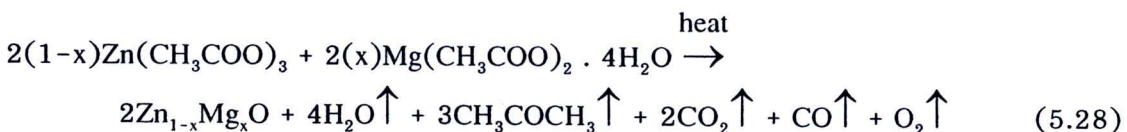
5.3 การสังเคราะห์วัสดุนาโน $Zn_{1-x}A_xO$ เมื่อ A คือ Mg, Co และ Mn ใช้วิธีการเตรียมด้วยการสลายตัวทางความร้อนโดยตรง

5.3.1 ผลการสังเคราะห์วัสดุนาโน $Zn_{1-x}Mg_xO$ ($x = 0.1, 0.2, 0.3$ และ 0.4)
ด้วยวิธีการสลายตัวทางความร้อนโดยตรง

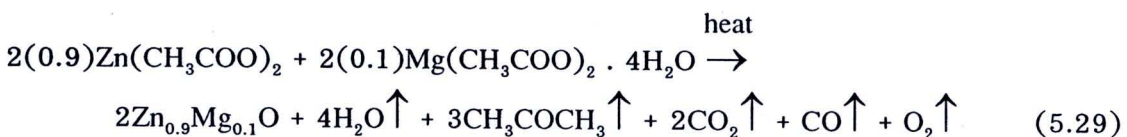
งานวิจัยนี้ได้ศึกษาการสังเคราะห์วัสดุนาโน $Zn_{1-x}Mg_xO$ ($x = 0, 0.1, 0.2, 0.3$ และ 0.4) ด้วยวิธีการสลายตัวทางความร้อนโดยตรง ซึ่งสารตั้งต้นที่ใช้คือ ชิงค์อะซิเทրต ($Zn(CH_3COO)_2$) และแมgnีเซียมอะซิเทรต ($C_4H_6MgO_4 \cdot 4H_2O$) โดยใช้อุณหภูมิแคลใจชน์ที่ $500^{\circ}C$ เป็นเวลา 4 ชั่วโมง ในอากาศ ระหว่างนี้วัสดุสารตั้งต้นจะมีการสลายตัวของวัสดุสารประกอบชนิดต่างๆ ด้วยความร้อน สุดท้ายจะได้ผงสีเทาของวัสดุนาโน $Zn_{1-x}Mg_xO$

5.3.1.1 การศึกษาກลไกการเกิดโครงสร้าง $Zn_{1-x}Mg_xO$

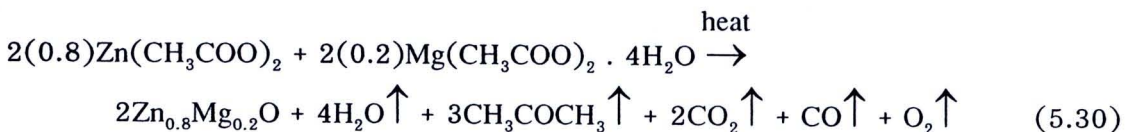
พิจารณาการเตรียมนาโน $Zn_{1-x}Mg_xO$ ($x = 0, 0.1, 0.2, 0.3$ และ 0.4) จากการสลายตัวทางความร้อนโดยตรง จากปฏิกิริยาพบว่าในขั้นตอนสุดท้ายจะได้สารประกอบ $Zn_{1-x}Mg_xO$ แสดงดังสมการที่ 5.28



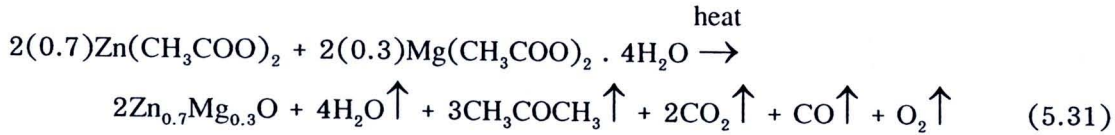
ในการทดลองนี้จะแบ่งเงื่อนไขในการเจืออกรเป็น 4 เงื่อนไขคือ $x = 0.1, 0.2, 0.3$ และ 0.4 เมื่อ $x = 0.1$ แสดงปฏิกิริยาดังสมการที่ 5.29



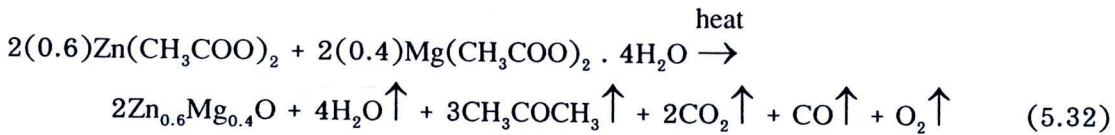
เมื่อ $x = 0.2$ แสดงปฏิกิริยาดังสมการที่ 5.30



เมื่อ $x = 0.3$ แสดงปฏิกิริยาดังสมการที่ 5.31



เมื่อ $x = 0.4$ แสดงปฏิกริยาดังสมการที่ 5.32



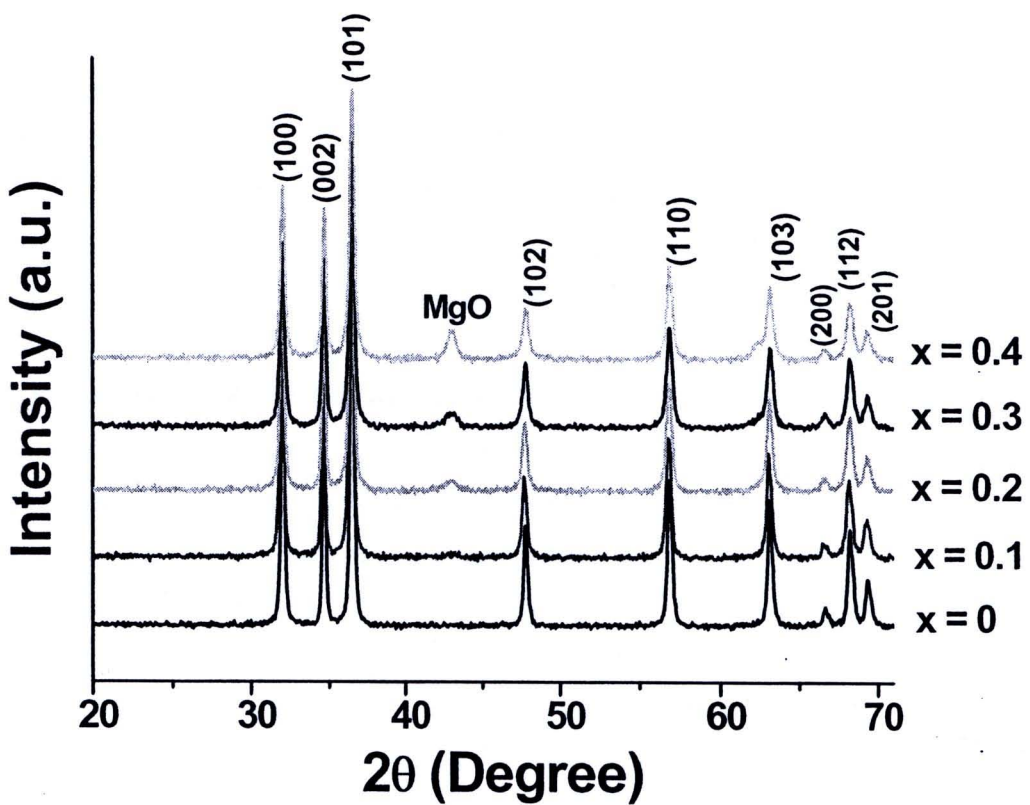
จากปฏิกริยาการสลายตัวทางความร้อนในกรณีที่มีการเจือสาร Mg เข้าไปในโครงสร้างของ ZnO พบว่าเมื่อให้ความร้อนแก่สารตั้งต้นจะมีการสลายตัวของ อะซิโนน, คาร์บอนไดออกไซด์, คาร์บอนอนออกไซด์ และออกซิเจน เกิดขึ้นมา ซึ่งกลไกการสลายตัวคล้ายปฏิกริยาการสลายตัวทางความร้อนโดยตรงของวัสดุนาโน ZnO

5.3.1.2 การศึกษาพฤติกรรมการเกิดเฟสโครงสร้างโดยเทคนิค XRD

การศึกษาเฟส และโครงสร้างของวัสดุนาโน $\text{Zn}_{1-x}\text{Mg}_x\text{O}$ ($x = 0.1, 0.2, 0.3$ และ 0.4) ด้วยวิธีการสลายตัวทางความร้อนโดยตรง ใช้อุณหภูมิแคลใจนที่ 500°C เป็นเวลา 4 ชั่วโมง ในอากาศ โดยเทคนิค XRD และดังภาพที่ 5.47 ผลการทดลองพบว่า รูปแบบการเลี้ยวเบนของรังสีเอกซ์ของวัสดุนาโนในทุกเงื่อนไขการเจือ Mg ในโครงสร้างของ ZnO สอดคล้องกับข้อมูลมาตรฐาน (JCPDS เลขไฟล์ที่ 36-1451) แต่อย่างไรก็ตามในเงื่อนไข $x > 0.2$ พบว่าเกิดเฟสปลอมปนของ MgO สอดคล้องกับข้อมูลมาตรฐาน (JCPDS เลขไฟล์ที่ 45-0946) และความเข้มของยอดกราฟมีค่าสูงขึ้นเมื่อเพิ่มปริมาณการเจือ Mg จากผลของเฟสปลอมปนที่ปรากฏขึ้นเป็นผลเนื่องจากปริมาณไอออนของ Mg^{2+} เข้าไปแทนที่ในตำแหน่งของ Zn^{2+} มีปริมาณมากเกินไป หรือมีการเข้าไปแทนที่ในโครงสร้างอย่างไม่สมบูรณ์จึงทำให้ Mg^{2+} เกิดการทำปฏิกริยากับออกซิเจนในอากาศในระหว่างการแคลใจน์ ดังนั้นจึงส่งผลทำให้เกิดเฟสของ MgO ขึ้นภายในโครงสร้างของวัสดุนาโน ZnO

จากรูปแบบการเลี้ยวเบนรังสีเอกซ์สามารถคำนวณขนาดอนุภาคของวัสดุผงได้ โดยวิธี X-ray line broadening โดยเลือกคำนวณจากการเลี้ยวเบนจากระนาบที่ $(100), (002), (101)$ และ (110) และดังในตารางที่ 5.12 และเขียนกราฟแสดงความสัมพันธ์แสดงดังภาพที่ 5.48 ซึ่งจากราฟนี้พบว่าขนาดของอนุภาคมีแนวโน้มลดลงเมื่อเพิ่มปริมาณของการเจือ Mg ซึ่งมีขนาดในช่วง $27.2 \pm 3.8 - 36.8 \pm 3.0 \text{ nm}$ กราฟแสดงความสัมพันธ์ระหว่างค่าคงที่แลตทิชกับปริมาณการเจือ Mg และดังภาพที่ 5.49 ซึ่งจากข้อมูลที่ได้มีค่าใกล้เคียงกับค่าคงที่ของแลตทิชของ ZnO ($a = 0.32488 \text{ nm}$ และ $c = 0.52066 \text{ nm}$) (JCPDS เลขไฟล์ที่ 36-1451) จากนั้นเมื่อพิจารณาค่าคงที่ของแลตทิช a และ c พบว่ามี

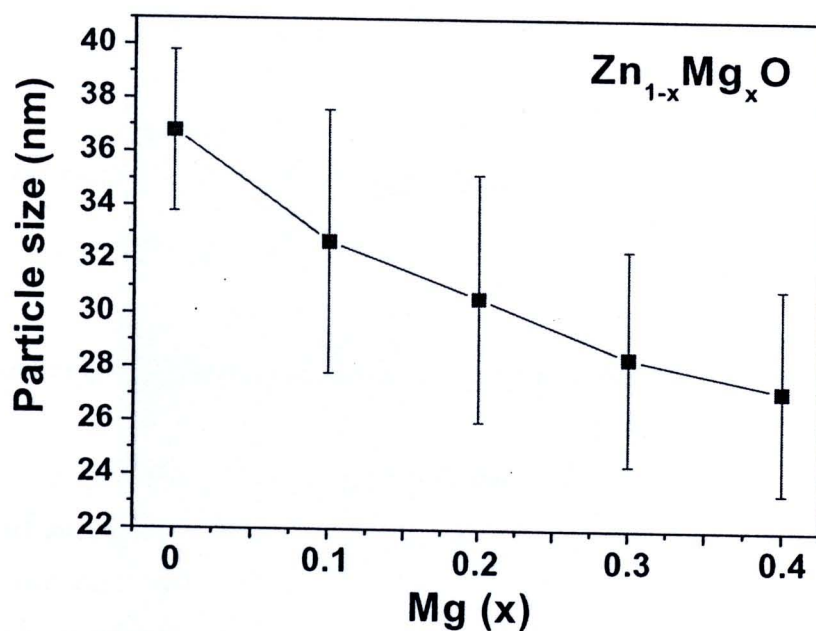
แนวโน้มลดลงเมื่อเพิ่มปริมาณของการเจือ Mg สอดคล้องกับรายงานของ Wang et al. 2007 และ Shan et al. 2004 ซึ่งเหตุผลเนื่องจากขนาดของรัศมีไอออนิก (ionic radius) ของ Mg^{2+} (0.57 Å) มีขนาดเล็กกว่ารัศมีไอออนิกของ Zn^{2+} (0.60 Å) จึงส่งผลทำให้ขนาดของค่าคงที่แลตทิช a และ c มีค่าที่ลดลงเมื่อเพิ่มปริมาณการเจือ Mg (Shannon et al., 1976)



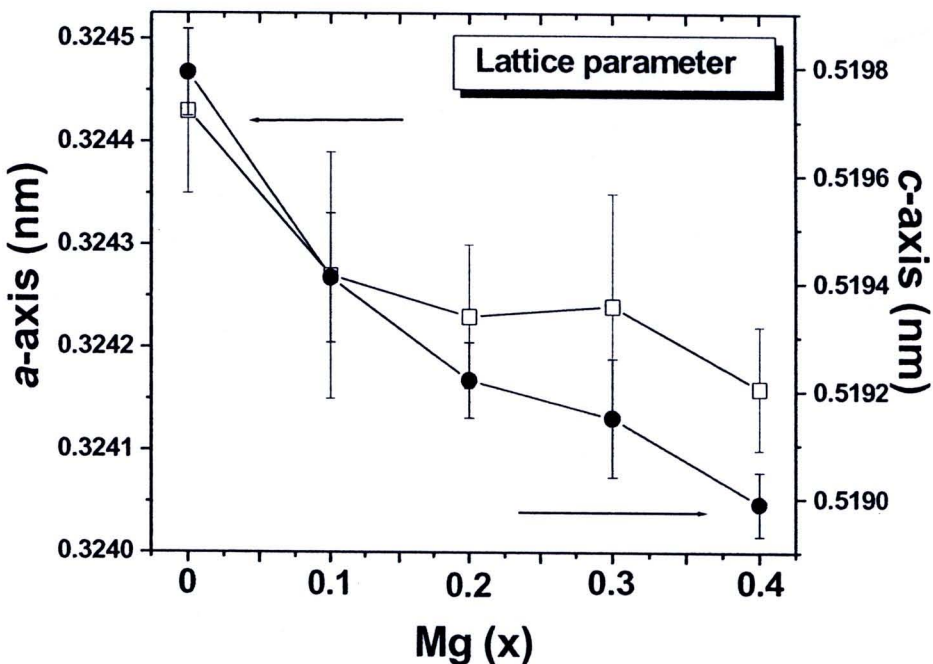
ภาพที่ 5.47 รูปแบบการเลี้ยงเบนรังสีเอกซ์ จากเทคนิค XRD ของวัสดุนาโน $Zn_{1-x}Mg_xO$ ($x = 0, 0.1, 0.2, 0.3$ และ 0.4) แคลเซนท์อุณหภูมิ $500^\circ C$ เป็นเวลา 4 ชั่วโมง

ตารางที่ 5.12 ขนาดอนุภาค และค่าคงที่แลตทิชของวัสดุ nano $Zn_{1-x}Mg_xO$ ($x = 0, 0.1, 0.2, 0.3$ และ 0.4) คำนวณโดยวิธี X-ray line broadening

$Zn_{1-x}Mg_xO$	ขนาดอนุภาค (nm)	ค่าคงที่แลตทิช (nm)	
		a	c
$x = 0$	36.8 ± 3.0	0.32443 ± 0.0008	0.51979 ± 0.0008
$x = 0.1$	32.7 ± 4.9	0.32427 ± 0.0012	0.51941 ± 0.0008
$x = 0.2$	30.6 ± 4.6	0.32423 ± 0.0007	0.51922 ± 0.0006
$x = 0.3$	28.4 ± 4.0	0.32424 ± 0.0011	0.51915 ± 0.0011
$x = 0.4$	27.2 ± 3.8	0.32416 ± 0.0006	0.51899 ± 0.0006



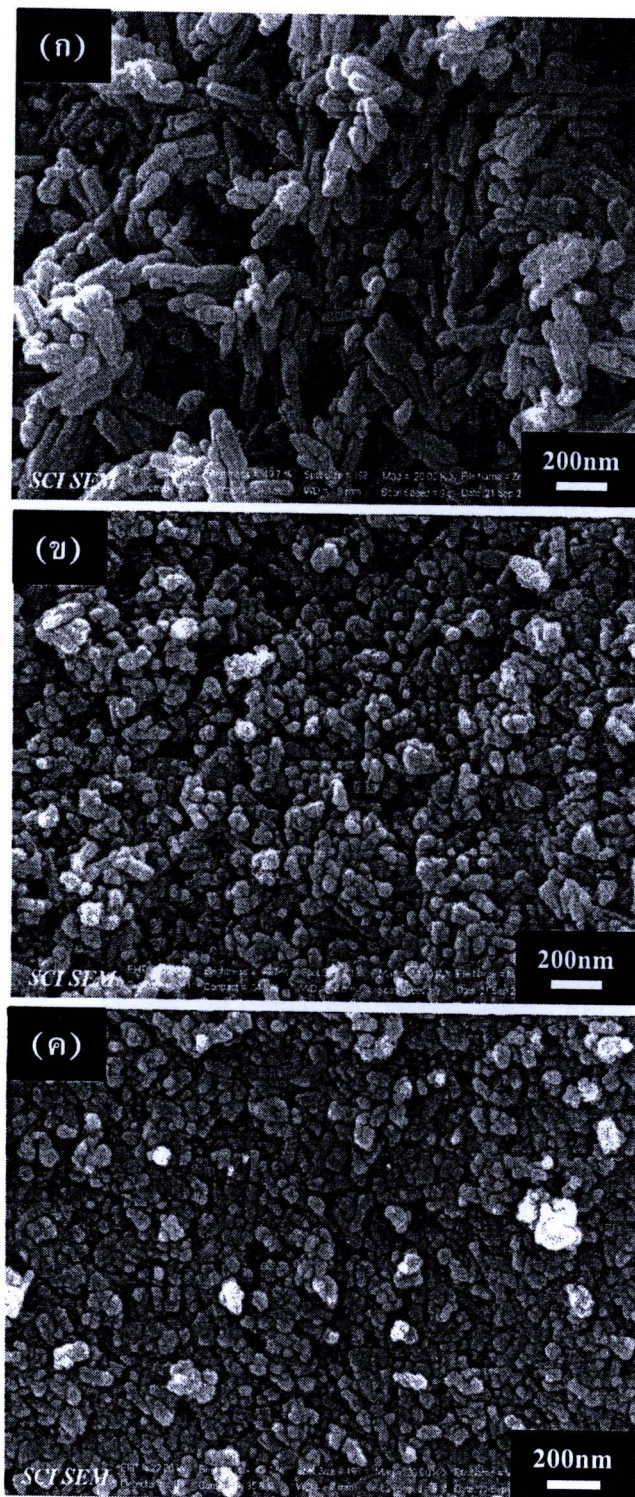
ภาพที่ 5.48 ความสัมพันธ์ระหว่างขนาดอนุภาคกับปริมาณการเจือ Mg ของวัสดุ nano $Zn_{1-x}Mg_xO$ ($x = 0, 0.1, 0.2, 0.3$ และ 0.4)



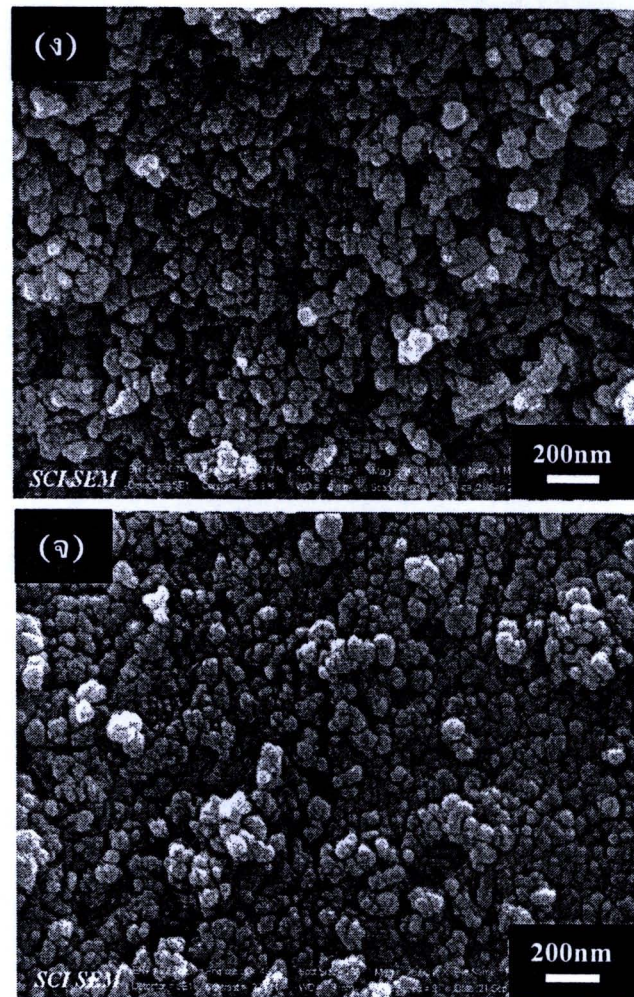
ภาพที่ 5.49 ความสัมพันธ์ระหว่างค่าคงที่แลตทิซกับปริมาณการเจือ Mg ของวัสดุนาโน $Zn_{1-x}Mg_xO$ ($x = 0, 0.1, 0.2, 0.3$ และ 0.4)

5.3.1.3 ผลการศึกษาสัณฐานวิทยาของวัสดุนาโน $Zn_{1-x}Mg_xO$ โดยเทคนิค SEM

การศึกษาลักษณะสัณฐานวิทยาของวัสดุนาโน $Zn_{1-x}Mg_xO$ ($x = 0, 0.1, 0.2, 0.3$ และ 0.4) ผ่านการแคลอิเซ่นที่อุณหภูมิ $500^{\circ}C$ เป็นเวลา 4 ชั่วโมง ในอากาศ โดยเทคนิคการถ่ายภาพ SEM ด้วยกำลังขยาย 20000 เท่า แสดงดังภาพที่ 5.50 พบว่าในเงื่อนไข $x = 0$ (ZnO) มีลักษณะสัณฐานทั้ง 2 ลักษณะคือ อนุภาคนาโน และแท่งขนาดนาโน โดยพบว่า อนุภาคมีขนาดเส้นผ่านศูนย์กลาง $\sim 50-80$ nm ขณะที่แท่งนาโนมีขนาดเส้นผ่านศูนย์กลาง ~ 60 nm และมีความยาว $\sim 200-400$ nm แต่ย่างไรก็ตามในเงื่อนไข $x > 0.1$ ลักษณะสัณฐานของวัสดุตัวอย่างมีลักษณะเป็นอนุภาคนาโนและไม่พบลักษณะสัณฐานของแท่งนาโน โดยทุกเงื่อนไขของการเจือ Mg ($x = 0.1, 0.2, 0.3$ และ 0.4) พบว่ามีขนาดเส้นผ่านศูนย์กลาง $\sim 30-100$ nm ส่วนเหตุผลที่ทำให้ลักษณะสัณฐานของวัสดุตัวอย่างเมื่อมีการเจือ Mg มีการลดลงของปริมาณแท่งนาโนเปลี่ยนเป็นอนุภาคนาโนเพียงอย่างเดียว เป็นเนื่องจากผลกระทบของเฟสปลอมปนของ MgO ซึ่งมีโครงสร้างผลึกกลุ่มอาศักแบบเฟชเช็นเตอร์ (face-centered cubic)



ภาพที่ 5.50 ภาพถ่าย SEM ของวัสดุ nano $Zn_{1-x}Mg_xO$ เมื่อ (ก) $x = 0$, (ข) $x = 0.1$, (ค) $x = 0.2$, (ง) $x = 0.3$ และ (จ) $x = 0.4$

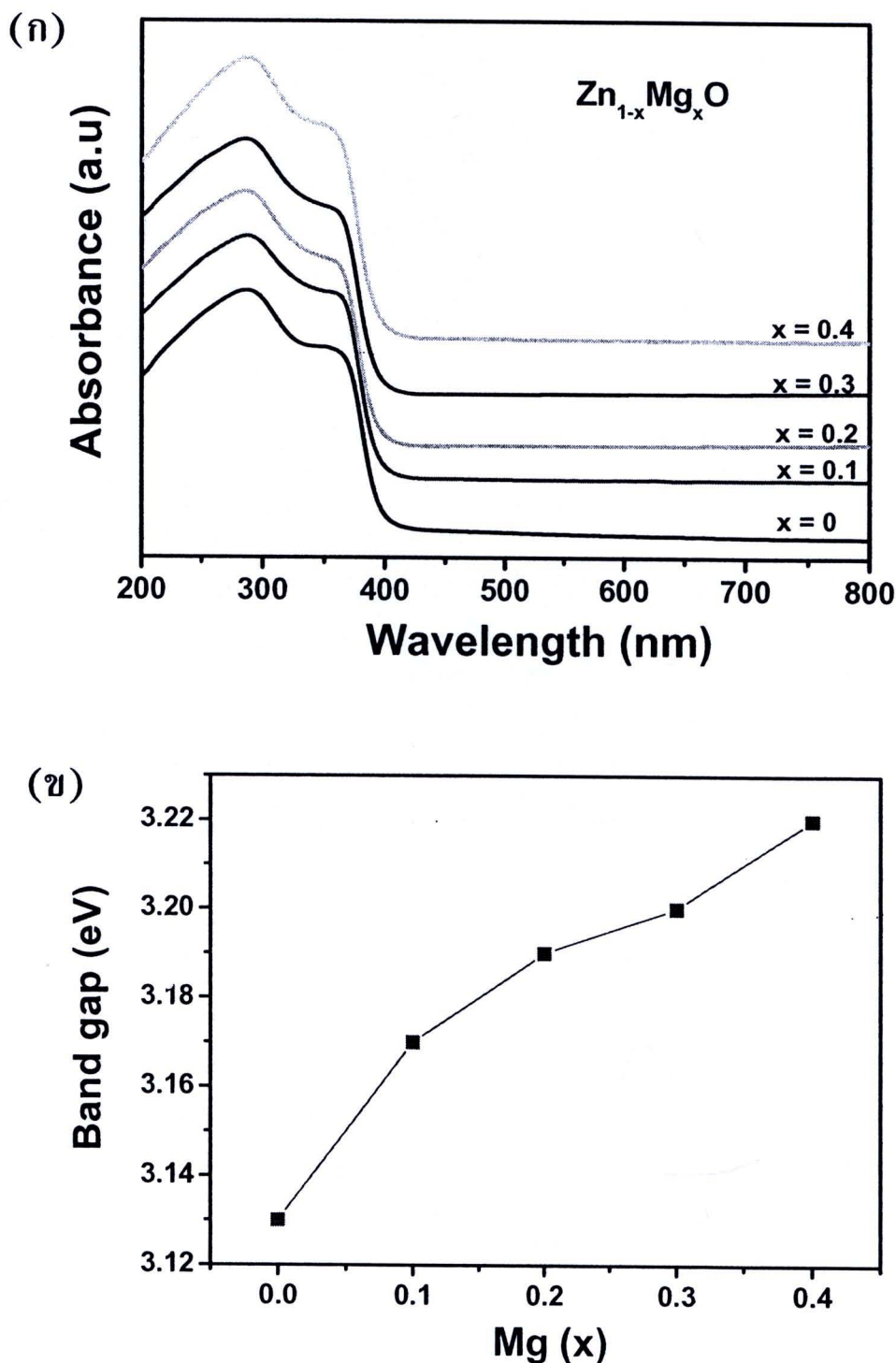


ภาพที่ 5.50 ภาพค่าย SEM ของวัสดุนาโน $Zn_{1-x}Mg_xO$ เมื่อ (ก) $x = 0$, (ข) $x = 0.1$,
(ค) $x = 0.2$, (ง) $x = 0.3$ และ (จ) $x = 0.4$ (ต่อ)

5.3.1.4 การศึกษาสมบัติทางแสงของวัสดุนานาใน $Zn_{1-x}Mg_xO$ โดยเทคนิค UV-vis

การศึกษาสมบัติการดูดกลืนแสงของวัสดุนานาใน $Zn_{1-x}Mg_xO$ ($x = 0, 0.1, 0.2, 0.3$ และ 0.4) ผ่านการแคลไชน์ที่อุณหภูมิ $500^{\circ}C$ เป็นเวลา 4 ชั่วโมง ในอากาศ โดยเทคนิค UV-Vis แสดงดังภาพที่ 5.51 การพิจารณาพบว่าลักษณะสเปกตรัมของการดูดกลืนแสง มีความคล้ายคลึงกัน โดยแสดงการดูดกลืนแสงได้ดีในย่านเห็นม่วง คือที่ความยาวคลื่นต่ำกว่า $400 nm$ ($3.10 eV$) และมียอดกราฟของการดูดกลืนที่ความยาวคลื่นประมาณ $288 nm$ ($4.31 eV$) แสดงดังภาพที่ 5.51(g) จากผลที่ได้สอดคล้องกับรายงานของ Maensiri et al. (2006)

จากการคำนวณหาค่าซ่องว่างແບพลังงานเป็นแบบตรง ซึ่งผลจาก การคำนวณหาค่าซ่องว่างແບพลังงานของวัสดุตัวอย่าง โดยใช้สมการที่ 4.5 จากการคำนวนพบว่า ค่า E_g มีค่าเท่ากับ $3.12, 3.17, 3.19, 3.20$ และ $3.22 eV$ เมื่อปริมาณการเจือ (x) คือ $0, 0.1, 0.2, 0.3$ และ 0.4 ตามลำดับ แสดงดังภาพที่ 5.51(x) จากการค่า E_g ที่คำนวณได้ เมื่อนำมาเขียนกราฟความสัมพันธ์ระหว่างซ่องว่างແບพลังงานกับปริมาณการเจือ Mg พบร่วมค่า E_g มีแนวโน้มที่สูงขึ้นเมื่อเพิ่มปริมาณการเจือ Mg เข้าไปในโครงสร้างของ ZnO จากผลการทดลอง สอดคล้องกับรายงานของ Shan et al. (2004) ได้รายงานการเตรียมฟิล์มบางของนาโนใน $Mg_xZn_{1-x}O$ ($x = 0, 0.5, 1.0, 1.5, 2.5, 3.0$ และ 5.0) ที่ปลูกบนแผ่นรองรับกระเจき โดยเทคนิค pulsed laser deposition (PLD) ใช้เงื่อนไขที่อุณหภูมิ $400^{\circ}C$ จากการศึกษาจากการ คำนวณซ่องว่างແບพลังงานพบว่าซ่องว่างແບพลังงานมีค่าเพิ่มขึ้นจาก $3.274-3.430 eV$ เมื่อ เพิ่มปริมาณการเจือ Mg ที่เงื่อนไข $x = 0-5.0$ ตามลำดับ และ Cho et al. (2009) รายงานการ เตรียมฟิล์มบาง $Mg_xZn_{1-x}O$ ($x = 0, 0.05, 0.1, \text{ และ } 0.15$) ที่ปลูกบนแผ่นรองรับของ $c-Al_2O_3$ โดยเทคนิค pulsed laser deposition (PLD) ใช้เงื่อนไขที่อุณหภูมิ $600^{\circ}C$ จากนั้นเมื่อคำนวณ แบบซ่องว่างพลังงาน พบร่วมค่าซ่องว่างพลังงานมีค่าเพิ่มขึ้นจาก $3.27 eV$ เงื่อนไข $x = 0$ เป็น $3.54 eV$ เงื่อนไข $x = 0.15$ จาก แต่อย่างไรก็ตามค่าແບพลังงานที่ได้จากการวิจัยยังมีค่าที่ น้อยกว่างานวิจัยในกลุ่มนี้ในเงื่อนไขการเจือ Mg ในโครงสร้าง ZnO โดยมีค่าซ่องว่างพลังงานอยู่ที่ $\sim 3.35-3.50 eV$ (Shannon et al., 1976) ส่วนสาเหตุที่ແບพลังงานจากการทดลองมีค่าน้อย อาจเป็นผลจากตำแหน่งภายในโครงสร้างของวัสดุตัวอย่าง เช่นซ่องว่างของออกซิเจน และการแทรก ที่ของซิงค์ หรือผลของการเข้าไปแทนที่ในโครงสร้างไม่สมบูรณ์ของ Mg^{2+} จากนั้นส่วนสาเหตุที่ทำให้ค่าແບพลังงานมีแนวโน้มสูงขึ้นเมื่อเพิ่มปริมาณการเจือ Mg เป็นผลของเฟสปลอมปนของ MgO ที่มีค่าແບพลังงานสูง $\sim 7.7 eV$ ดังนั้นจึงส่งผลต่อการค่าແບพลังงานของนาโนใน $Zn_{1-x}Mg_xO$ ที่สูงขึ้นด้วย



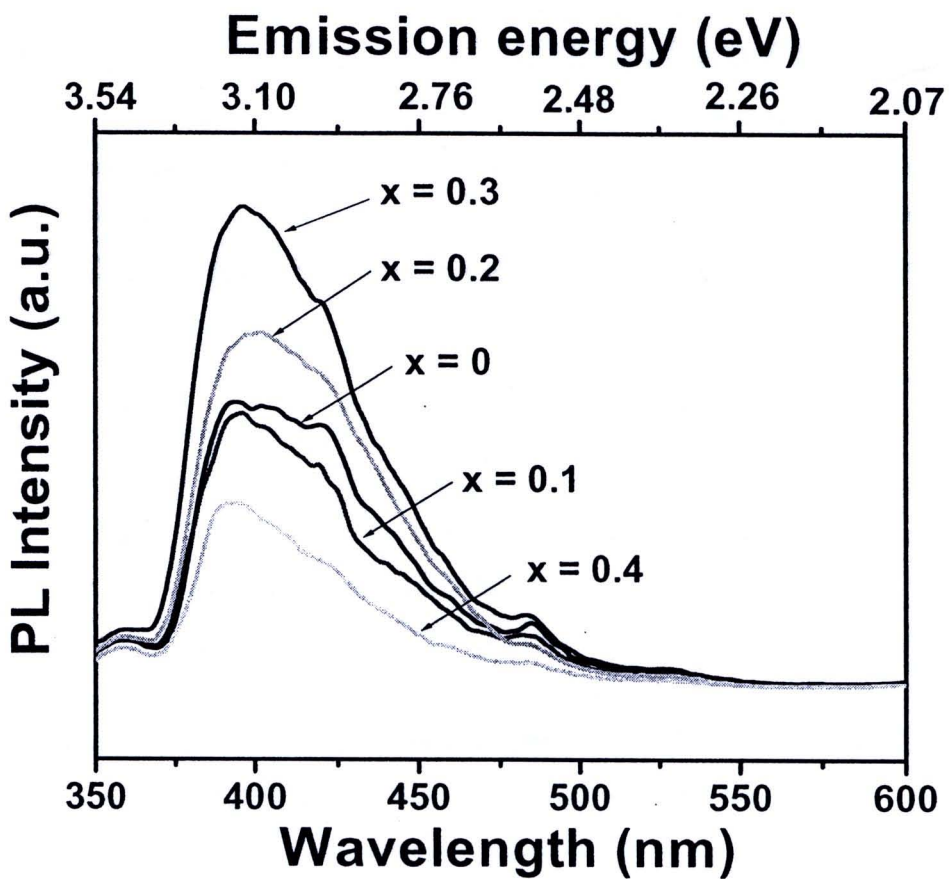
ภาพที่ 5.51 สมบัติการดูดกลืนแสงจากเทคนิค UV-vis ของส่วนใน ZnO

(ก) สเปกตรัมการดูดกลืนแสง

(ข) ความล้มพันธ์ระหว่างช่องว่างแอบพลังงานกับปริมาณการเจือ Mg

5.3.1.5 การศึกษาสมบัติทางแสงของวัสดุนาโน $Zn_{1-x}Mg_xO$ โดยเทคนิค PL

ผลการศึกษาสมบัติการเปล่งแสงของวัสดุนาโน $Zn_{1-x}Mg_xO$ ($x = 0, 0.1, 0.2, 0.3$ และ 0.4) ผ่านการแคลใจน์ที่อุณหภูมิ $500^{\circ}C$ เป็นเวลา 4 ชั่วโมง ในอากาศ โดยเทคนิค Photoluminescence (PL) ที่อุณหภูมิห้อง แสดงดังภาพที่ 5.52 โดยสเปกตรัมความเข้มของยอดกราฟสูงสุดพบในเงื่อนไข $x = 0, 0.1, 0.2, 0.3$ และ 0.4 อยู่ที่ตำแหน่ง 401 nm (3.09 eV), 397 nm (3.12 eV), 396 nm (3.13 eV), 395 nm (3.14 eV) และ 392 nm (3.17 eV) ตามลำดับ ซึ่งจากตำแหน่งยอดกราฟพบว่า มีการเลื่อนไปทางแสงสีฟ้า (Peng et al., 2006; Pan et al., 2007) จากผลที่เกิดขึ้นไม่สามารถใช้ทฤษฎี quantum confined effect มาอธิบายผลของการเลื่อนตำแหน่งพีคไปทางแสงสีฟ้าได้ เนื่องจากขนาดของวัสดุนาโนที่สั้นเคราะห์ได้มีขนาดใหญ่กว่ารัศมีบอร์ ($\sim 18\text{ nm}$) ของวัสดุ ZnO (Hur et al., 2005) แต่อย่างไรก็ตามจากรายงานของ Gopel et al. 1980 อธิบายผลของการเลื่อนตำแหน่งพีคไปทางแสงสีฟ้า เมื่อขนาดของอนุภาคมีขนาดใหญ่กว่ารัศมีบอร์ เนื่องจากเป็นผลของตำแหน่งบริเวณพื้นผิวของโครงสร้างนาโน นอกจากนั้นในทุกเงื่อนไขของการเจือ Mg ยังพบการเกิดพีคที่ความยาวคลื่นของรังสีที่เปล่งออกพบว่า มี 3 ตำแหน่งด้วยกันคือ ในช่วงแถบเหนือม่วงอ่อน มีค่า $\sim 420\text{ nm}$ (2.96 eV) ในช่วงแถบสีฟ้า-เขียว มีค่า $\sim 484\text{ nm}$ (2.57 eV) และในช่วงแถบสีเขียว มีค่า $\sim 530\text{ nm}$ (2.34 eV) โดยสาเหตุของช่วงรังสีเปล่งออกมาเกิดขึ้นเนื่องจากช่วงเหนือม่วงนั้นเป็นผลมาจากการเอกซิตอน รีคอมบินेशัน ส่งผลให้เกิดการเปล่งแสงใกล้ขอบแถบการนำ (near-band edge emission) ของวัสดุ ZnO (Lyu et al., 2002; Bergman et al., 2004) ในช่วงแถบสีฟ้า-เขียว เป็นผลมาจากการเกิดตำแหน่งบริเวณพื้นผิวของวัสดุ ZnO อย่างเช่น ช่องว่างของออกซิเจน (V_o^X) (Liu et al., 2007) และอะตอมของซิงค์ที่แทรก (Zn_i^X) (Borseth et al., 2006) สุดท้ายแถบแสงสีเขียว ซึ่งเป็นผลจากการไอออกในชั้นของช่องว่างของออกซิเจน (V_o^{\bullet}) ภายในโครงสร้างวัสดุนาโน ZnO แสดงดังสมการที่ 5.5 และ 5.6 สอดคล้องกับรายงานของ Monticone et al. (1998) Li et al. (2000) และ Vanheusden et al. (1996) ในขณะที่ความเข้มของยอดกราฟในช่วงแถบสีฟ้า-เขียว มีค่าที่ลดลงเมื่อเพิ่มปริมาณการเจือ Mg เป็นสิ่งที่ยืนยันถึงปริมาณของตำแหน่งในโครงสร้างของวัสดุมีปริมาณลดลง (Zhao et al., 2011) จากนั้นที่ความเข้มของยอดกราฟสูงสุดของรังสีที่เปล่งออกในช่วงเหนือม่วงในเงื่อนไข $x = 0.3$ บ่งบอกถึงวัสดุนาโน $Zn_{1-x}Mg_xO$ ที่เตรียมได้มีความบริสุทธิ์ค่อนข้างสูง (Maensiri et al. 2007)



ภาพที่ 5.52 สเปกตรัมจากเทคนิค Photoluminescence ของวัสดุนาโน $Zn_{1-x}Mg_xO$ ($x = 0, 0.1, 0.2, 0.3$ และ 0.4)

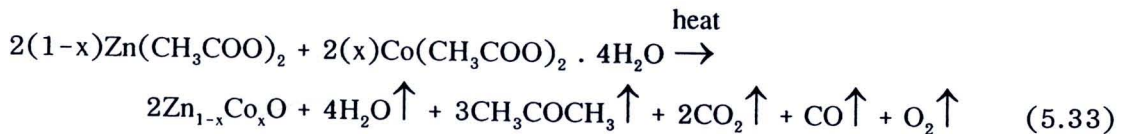
5.3.2 ผลการสังเคราะห์วัสดุนาโน $Zn_{1-x}Co_xO$ ($x = 0, 0.025, 0.05, 0.075$)

ด้วยวิธีการสลายตัวทางความร้อนโดยตรง

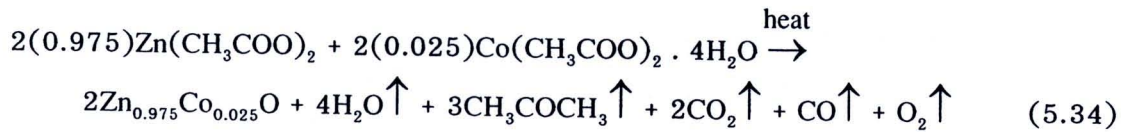
งานวิจัยนี้ได้ศึกษาการสังเคราะห์วัสดุนาโน $Zn_{1-x}Co_xO$ ($x = 0, 0.025, 0.05, 0.075$) ด้วยวิธีการสลายตัวทางความร้อนโดยตรง ซึ่งสารตั้งต้นที่ใช้คือชิงค์อะซิเทրต ($Zn(CH_3COO)_2$) และโคบอลต์อะซิเทրต ($C_4H_6CoO_4 \cdot 4H_2O$) โดยใช้อุณหภูมิแคลใจนที่ $300^{\circ}C$ เป็นเวลา 6 ชั่วโมง ในอากาศ ระหว่างนี้สารตั้งต้นจะมีการสลายตัวของวัสดุสารประกอบชนิดต่างๆ ด้วยความร้อน สุดท้ายจึงได้สารสีเขียวเข้มของวัสดุนาโน $Zn_{1-x}Co_xO$

5.3.2.1 การศึกษาผลของการเกิดโครงสร้าง $Zn_{1-x}Co_xO$

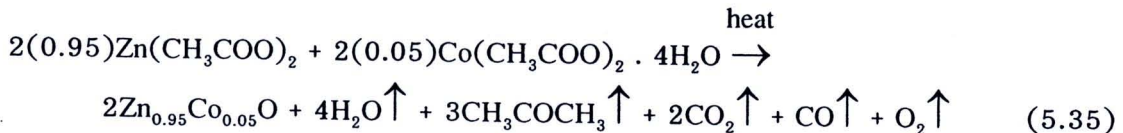
พิจารณาการเตรียมวัสดุดูนาโน $Zn_{1-x}Co_xO$ ($x = 0, 0.025, 0.05, 0.075$) จากการสลายตัวทางความร้อนระหว่างโดยตรง จากปฏิกิริยาพบว่าในขั้นตอนสุดท้ายได้สารประกอบ $Zn_{1-x}Co_xO$ แสดงดังสมการที่ 5.33



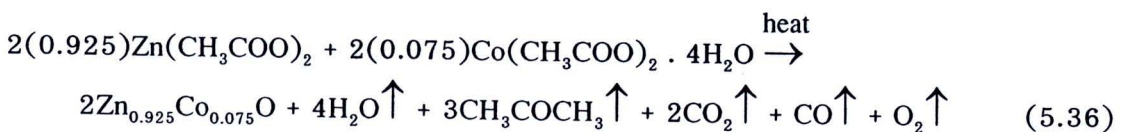
ในการทดลองนี้จะแบ่งเงื่อนไขในการเจือออกเป็น 3 เงื่อนไขคือ $x = 0.025, 0.05, 0.075$
เมื่อ $x = 0.025$ แสดงปฏิกิริยาดังสมการที่ 5.34



เมื่อ $x = 0.05$ แสดงปฏิกิริยาดังสมการที่ 5.35



เมื่อ $x = 0.075$ แสดงปฏิกิริยาดังสมการที่ 5.36

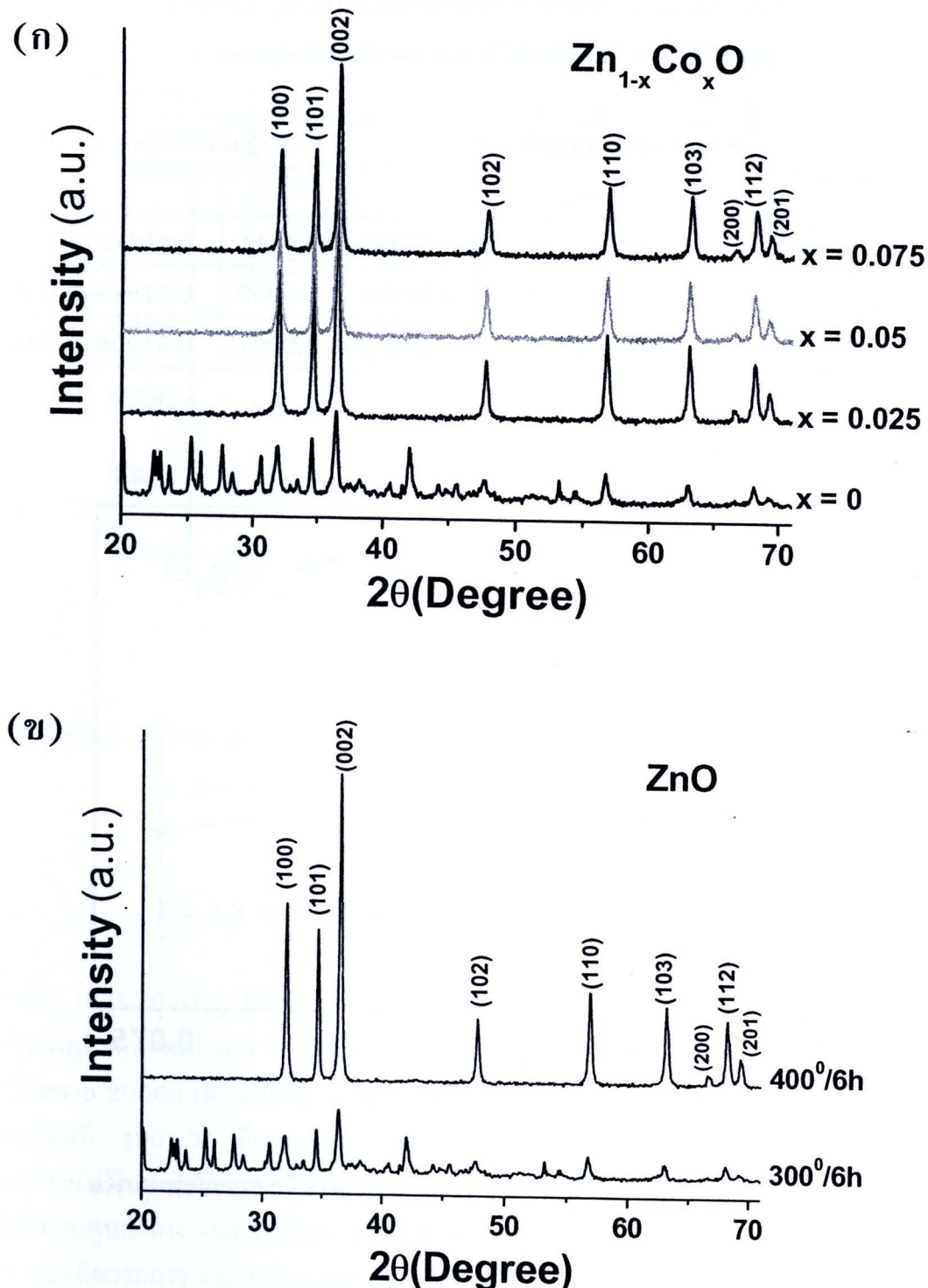


จากปฏิกิริยาการสลายตัวทางความร้อนในกรณีที่มีการเจือสาร Co เข้าไปในโครงสร้าง ZnO พบว่าเมื่อให้ความร้อนแก่สารตั้งต้นจะมีการสลายตัวของ อะซิโตน, คาร์บอนไดออกไซด์, คาร์บอนมอนออกไซด์ และออกซิเจน เกิดขึ้นมา ซึ่งลักษณะกลไกการสลายตัวมีลักษณะคล้ายกันกับในกรณีที่เตรียมโดยปฏิกิริยาการสลายตัวทางความร้อนโดยตรงของวัสดุดูนาโน ZnO

5.3.2.2 การศึกษาพฤติกรรมการเกิดเฟสโครงสร้างโดยเทคนิค XRD

การศึกษาเฟส และโครงสร้างของวัสดุนาโน $Zn_{1-x}Co_xO$ ($x = 0, 0.025, 0.05, 0.075$) ด้วยวิธีการถ่ายตัวทางความร้อนโดยตรง ใช้อุณหภูมิแคลไชน์ที่ 300°C เป็นเวลา 6 ชั่วโมง ในอากาศ โดยเทคนิค XRD แสดงดังภาพที่ 5.53(ก) ผลการทดลองพบว่า รูปแบบการเลี้ยวเบนรังสีเอกซ์ของวัสดุนาโนในทุกเงื่อนไขการเจือ Co ในโครงสร้างของ ZnO สอดคล้องกับข้อมูลมาตรฐาน (JCPDS เลขไฟล์ที่ 36-1451) และไม่พบเฟสปลอมปนของ Co, CoO และ Co_3O_4 แต่อย่างไรก็ตามในเงื่อนไขที่ $x = 0$ (ZnO) พบเฟสปลอมปนที่ตกค้างของการถ่ายตัวของชิงค์อะซิเทրที่ไม่สมบูรณ์เกิดขึ้น ซึ่งการเกิดเฟสของวัสดุนาโน ZnO จะมีเฟสโครงสร้างเป็นเอกซ์gonolแบบเวอร์ตไซต์ที่สมบูรณ์ต้องใช้อุณหภูมิแคลไชน์ที่ 400°C ขึ้นไป แสดงดังภาพที่ 5.53(ข) จากผลการทดลองที่เกิดขึ้นแสดงให้เห็นว่าการเจือ Co เข้าไปยังโครงสร้างของ ZnO สามารถช่วยลดอุณหภูมิแคลไชน์ ที่ช่วยในการเกิดเฟสโครงสร้างเอกซ์gonolแบบเวอร์ตไซต์ของวัสดุตัวอย่าง จากผลที่เกิดขึ้นยังไม่สามารถหาคำอธิบายได้ว่าเป็น เพราะสาเหตุใดเมื่อเจือ Co เข้าไปในโครงสร้างของ ZnO จึงไปช่วยในการลดอุณหภูมิแคลไชน์ของวัสดุตัวอย่าง

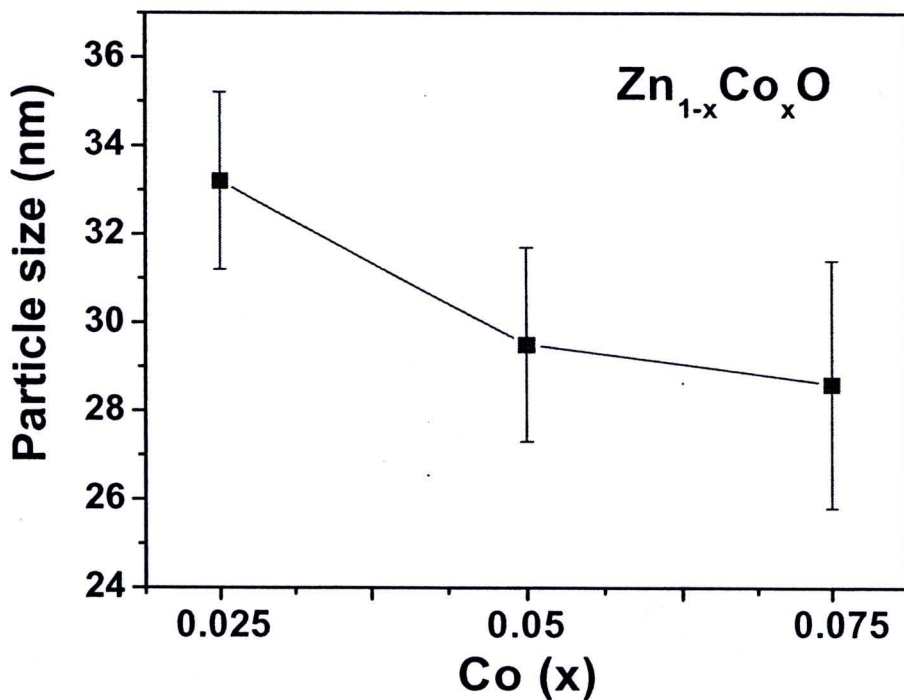
จากรูปแบบการเลี้ยวเบนรังสีเอกซ์สามารถคำนวณขนาดอนุภาคของวัสดุผงได้ โดยวิธี X-ray line broadening โดยเลือกคำนวณการเลี้ยวเบนจากระนาบ (100), (002), (101) และ (110) แสดงดังตารางที่ 5.12 และเขียนกราฟแสดงความสัมพันธ์ดังแสดงในภาพที่ 5.54 ซึ่งจากการนี้พบว่าขนาดของอนุภาคมีแนวโน้มลดลงเมื่อเพิ่มปริมาณของการเจือ Co ซึ่งมีขนาดในช่วง 28.6 ± 2.8 - 33.2 ± 2.0 nm กราฟแสดงความสัมพันธ์ค่าคงที่แลตทิชกับกับปริมาณการเจือ Co แสดงดังภาพที่ 5.55 ซึ่งจากข้อมูลที่ได้มีค่าใกล้เคียงกับค่าคงที่ของแลตทิชของ ZnO ($a = 0.32488$ nm และ $c = 0.52066$ nm) (JCPDS เลขไฟล์ที่ 36-1451) จากนั้นเมื่อพิจารณาค่าคงที่ของแลตทิช a และ c พบว่ามีแนวโน้มลดลงเมื่อเพิ่มปริมาณของการเจือ Mg ซึ่งเหตุผลเนื่องจากขนาดของรัศมีไอออนิก (ionic radius) ของ Co^{2+} (0.58 Å) มีขนาดเล็กกว่ารัศมีไอออนิกของ Zn^{2+} (0.60 Å) จึงส่งผลทำให้ขนาดของค่าคงที่ แลตทิช a และ c มีค่าที่ลดลงเมื่อเพิ่มปริมาณการเจือ Co (You et al., 2001)



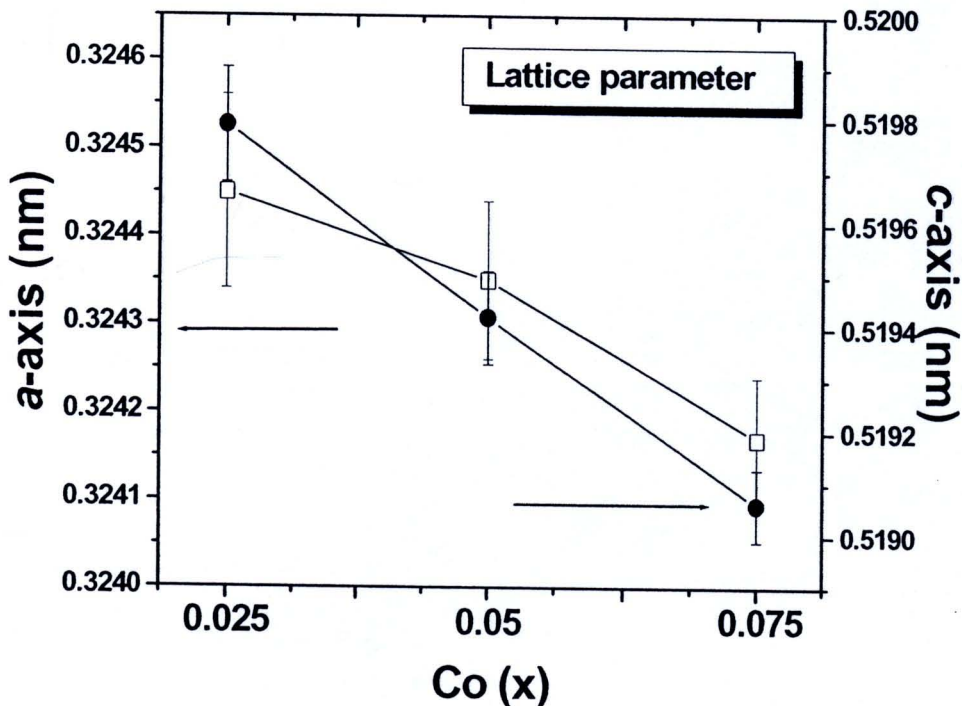
ภาพที่ 5.53 รูปแบบการเลี้ยงเบนรังสีเอกซ์ ที่เตรียมด้วยวิธีการสลายตัวทางความร้อนโดยตรง
 (ก) $\text{Zn}_{1-x}\text{Co}_x\text{O}$ ($x = 0, 0.025, 0.05, 0.075$) แคลไซน์ที่ 300°C เวลา 6 ชั่วโมง
 (ข) ZnO แคลไซน์ที่ 300 และ 400°C เวลา 6 ชั่วโมง

ตารางที่ 5.12 ขนาดอนุภาค และค่าคงที่แลตทิชของวัสดุ nano $Zn_{1-x}Co_xO$ ($x = 0.025, 0.05$ และ 0.075) คำนวณโดยวิธี X-ray line broadening

$Zn_{1-x}Co_xO$	ขนาดอนุภาค (nm)	ค่าคงที่แลตทิช (nm)	
		a	c
$x = 0.025$	33.2 ± 2.0	0.32445 ± 0.0011	0.51979 ± 0.0011
$x = 0.05$	29.5 ± 2.2	0.32435 ± 0.0009	0.51942 ± 0.0009
$x = 0.075$	28.6 ± 2.8	0.32417 ± 0.0007	0.51906 ± 0.0007



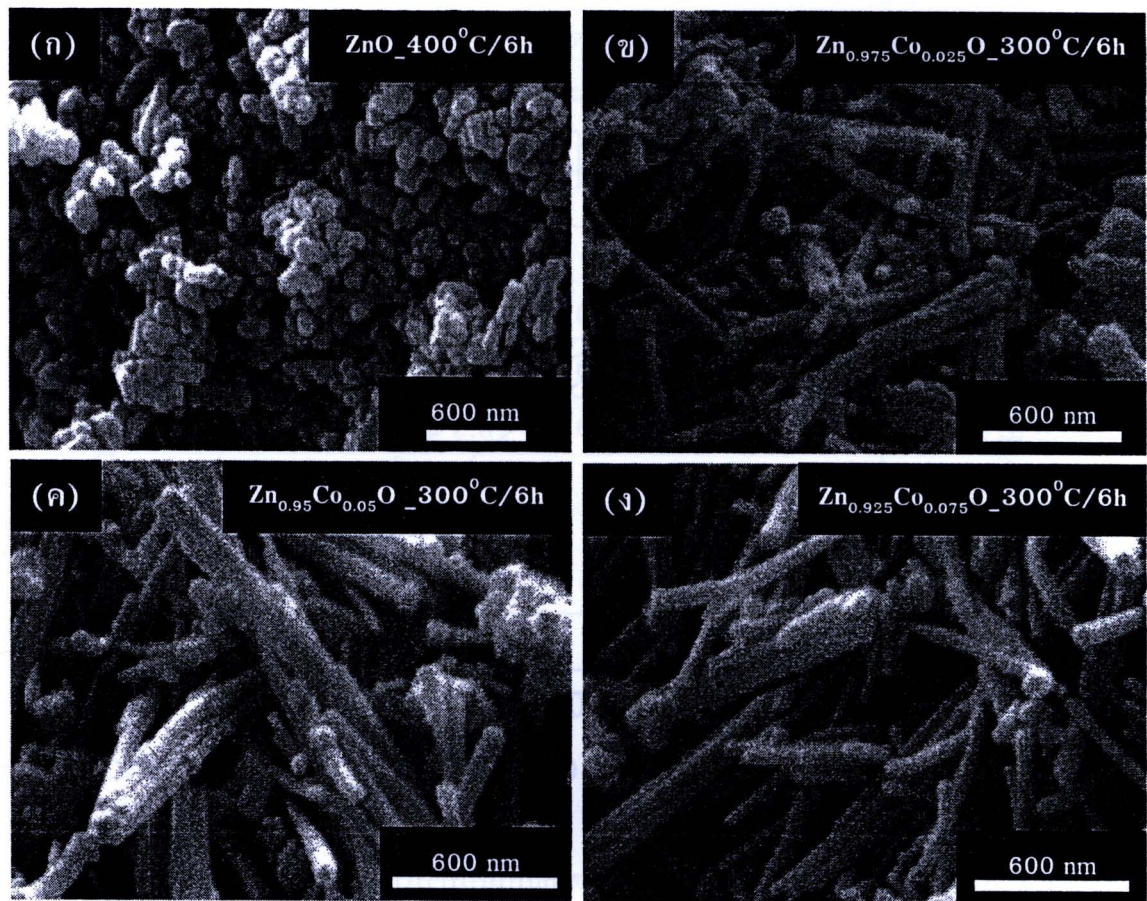
ภาพที่ 5.54 ความสัมพันธ์ระหว่างขนาดอนุภาคกับปริมาณการเจือ Co ของวัสดุ nano $Zn_{1-x}Co_xO$ ($x = 0.025, 0.05$ และ 0.075)



ภาพที่ 5.55 ความสัมพันธ์ระหว่างค่าคงที่แลตทิซกับปริมาณการเจือ Co ของวัสดุนาโน $Zn_{1-x}Co_xO$ ($x = 0.025, 0.05$ และ 0.075)

5.3.2.3 ผลการศึกษาสัณฐานวิทยาของนาโน $Zn_{1-x}Co_xO$ โดยเทคนิค SEM

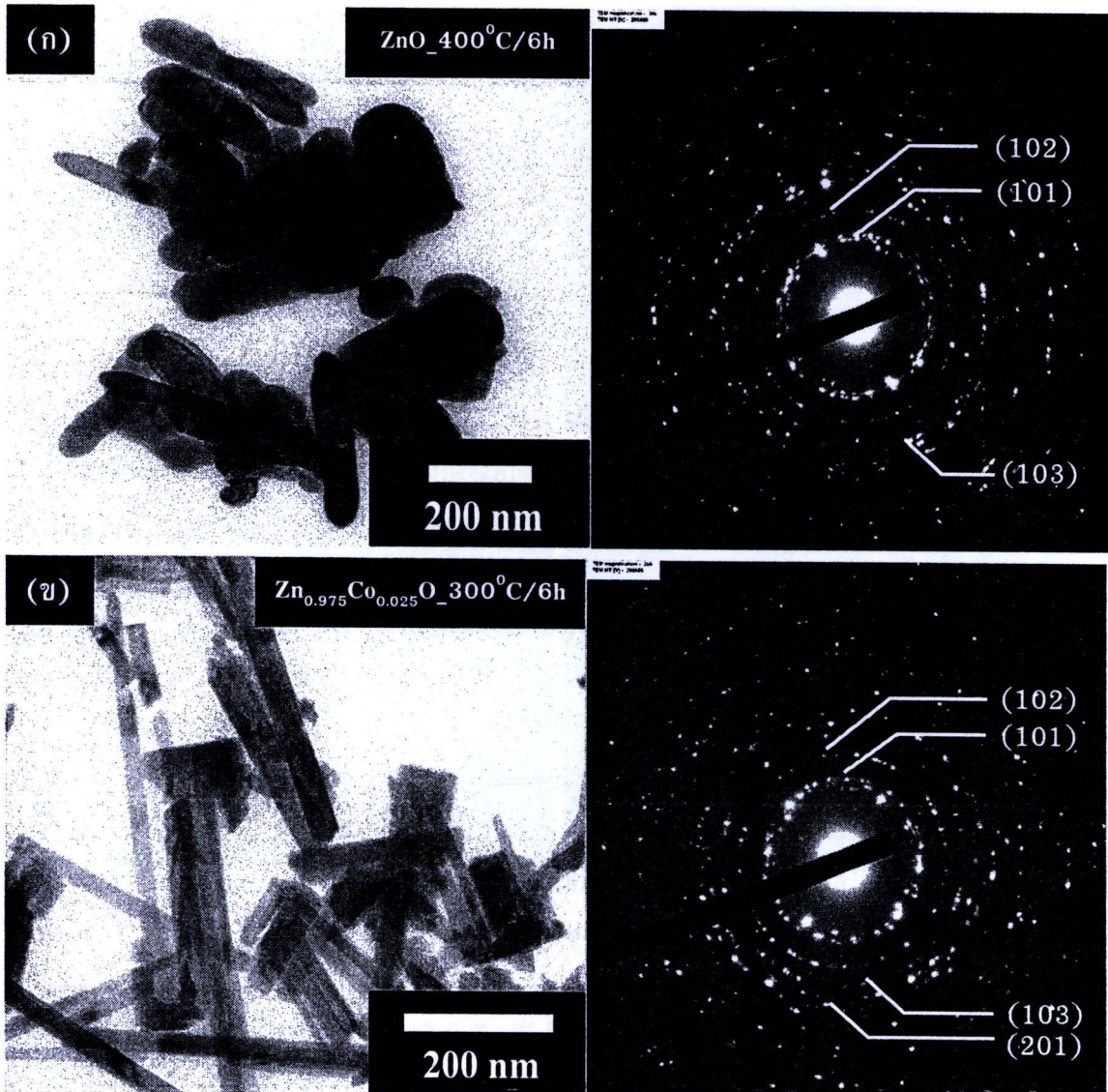
การศึกษาลักษณะสัณฐานวิทยาของวัสดุนาโน $Zr_{1-x}Co_xO$ ($x = 0.025, 0.05, 0.075$) ใช้อุณหภูมิแคลไซน์ที่ $300\text{ }^{\circ}\text{C}$ เป็นเวลา 6 ชั่วโมง และวัสดุนาโน ZnO ใช้อุณหภูมิแคลไซน์ที่ $400\text{ }^{\circ}\text{C}$ เป็นเวลา 6 ชั่วโมง ด้วยวิธีการสลายตัวทางความร้อนโดยตรง ด้วยกำลังขยาย 20000 เท่า แสดงดังภาพที่ 5.56 พบร่วมกับตัวอย่างในเงื่อนไข $x = 0$ (ZnO) แคลไซน์ที่ $400\text{ }^{\circ}\text{C}$ มีการเกะตัวกันเป็นกลุ่มก้อนของอนุภาคจำนวนมาก นอกจากนั้นวัสดุตัวอย่างยังมีลักษณะสัณฐานทั้ง 2 ลักษณะคือ อนุภาคนาโนและแท่งขนาดนาโน โดยขนาดอนุภาคมีเส้นผ่านศูนย์กลาง $\sim 50\text{--}200\text{ nm}$ ขณะที่แท่งขนาดนาโนมีขนาดเส้นผ่านศูนย์กลาง $\sim 100\text{--}200\text{ nm}$ และมีความยาว $\sim 250\text{--}500\text{ nm}$ แสดงดังภาพที่ 5.56(g) จากนั้นเมื่อพิจารณาการเจือ Co พบร่วมกับตัวอย่างมีลักษณะเป็นแท่งนาโน โดยมีขนาดเส้นผ่านศูนย์กลาง $\sim 50\text{--}100\text{ nm}$ และมีความยาว $\sim 1\text{--}2\text{ }\mu\text{m}$ แสดงดังภาพที่ 5.56(h)-(j)



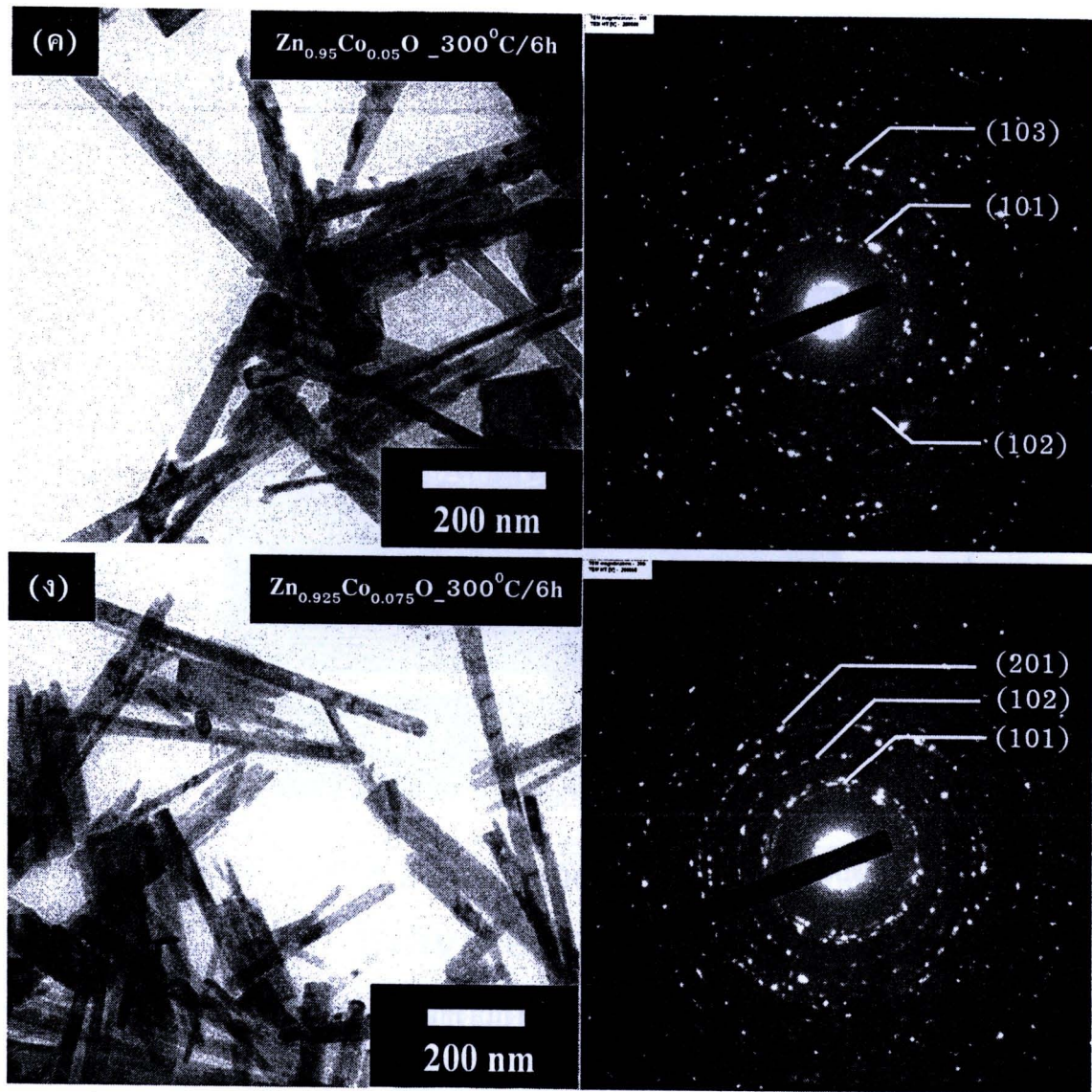
ภาพที่ 5.56 ภาพถ่าย SEM ของวัสดุนาโน $Zn_{1-x}Co_xO$ เมื่อ (ก) $x = 0$ (400°C), (ข) $x = 0.025$, (ค) $x = 0.05$ และ (จ) $x = 0.075$ แคลใจน์ที่ 300°C เป็นเวลา 6 ชั่วโมง

5.3.2.4 ผลการศึกษาลักษณะของวัสดุนาโน $Zn_{1-x}Co_xO$ โดยเทคนิค TEM

การถ่ายภาพวัสดุนาโน $Zn_{1-x}Co_xO$ ($x = 0.025, 0.05, 0.075$) ใช้อุณหภูมิแคลไชน์ที่ $300^{\circ}C$ เป็นเวลา 6 ชั่วโมง และวัสดุนาโน ZnO ใช้อุณหภูมิแคลไชน์ที่ $400^{\circ}C$ เป็นเวลา 6 ชั่วโมง ด้วยวิธีการสลายตัวทางความร้อนโดยตรง ด้วยกล้องจุลทรรศน์อิเล็กตรอนแบบส่องผ่านที่ความต่างศักย์ 200 KV และกำลังขยาย 200000 เท่าแสดงดังภาพที่ 5.47 ใน การศึกษาด้วยเทคนิค TEM นี้ มีจุดประสงค์คือ ต้องการหาโครงสร้างเฟสที่เกิดขึ้นในวัสดุนาโน ZnO ที่เตรียมได้ โดยการพิจารณาจากรูปแบบการเลี้ยวเบนอิเล็กตรอน เพื่อใช้ในการยืนยันผลที่ได้จากเทคนิค XRD รวมทั้งศึกษาลักษณะสัณฐานและขนาดของอนุภาคที่ได้ด้วย ซึ่งจากการถ่ายที่ได้ และรูปแบบการเลี้ยวเบนของอิเล็กตรอน พบร่วมกับลักษณะของวัสดุตัวอย่าง $x = 0$ (ZnO) แคลไชน์ที่ $400^{\circ}C$ มีการเกาะตัวกันเป็นกลุ่มก้อนของอนุภาค นอกจากนั้นวัสดุตัวอย่างยังมีลักษณะสัณฐานทั้ง 2 ลักษณะคือ อนุภาคนาโนและแท่งขนาดนาโน เมื่อแสดงกรณ์ที่ศึกษาด้วยเทคนิค SEM โดยประมาณขนาดของวัสดุนาโน พบร่วมกับลักษณะของอนุภาคมีเส้นผ่านศูนย์กลาง $\sim 50-80\text{ nm}$ ขณะที่แท่งนาโนมีขนาดเส้นผ่านศูนย์กลาง $\sim 25-100\text{ nm}$ และมีความยาว $\sim 200-300\text{ nm}$ แสดงดังภาพที่ 5.57(g) ส่วนในของการเจือ Co ในทุกเงื่อนไขพบว่าวัสดุตัวอย่างเป็นแท่งนาโนมีลักษณะไม่สม่ำเสมอ โดยมีขนาดเส้นผ่านศูนย์กลาง $\sim 50-100\text{ nm}$ และมีความยาว $\sim 0.7-1\text{ }\mu\text{m}$ จากนั้นเมื่อศึกษารูปแบบการเลี้ยวเบนของอิเล็กตรอนพบว่ามีลักษณะการกระจายตัวเป็นจุดเกิดขึ้น สอดคล้องกับรายงานของ Meansiri et al. 2009 ที่รายงานการเตรียมวัสดุนาโน $Zn_{0.9}Co_{0.1}O$ โดยวิธีโซล-เจล ทำการเผาแคลไชน์ที่อุณหภูมิ $873-1073\text{ K}$ จากการศึกษาลักษณะสัณฐานพบว่าวัสดุตัวอย่างทุกเงื่อนไข มีลักษณะเป็นแท่งนาโน โดยมีขนาดเส้นผ่านศูนย์กลาง $\sim 100-200\text{ nm}$ และมีความยาว $\sim 0.3-1\text{ }\mu\text{m}$ และมีรูปแบบการเลี้ยวเบนของอิเล็กตรอนในลักษณะการกระจายตัวเป็นจุดเกิดขึ้น จากผลที่ได้ยืนยันได้ว่าบริเวณที่ศึกษามีโครงสร้างแบบพหุผลิก (polycrystal) จากรูปแบบการเลี้ยวเบนนี้ยังสามารถใช้ศึกษาโครงสร้างของผลึกโดยการคำนวณค่าระยะห่างระหว่างระนาบหรือค่า d จากรัศมีของแต่ละวง และนำไปเปรียบเทียบกับฐานข้อมูลอ้างอิง พบร่วมกับ $Zn_{1-x}Co_xO$ ทุกเงื่อนไขในการเจือ Co ที่เตรียมได้มีโครงสร้างผลึกเป็นเอกซ์กอกโนลแบบเวอร์ตไซท์ของวัสดุ ZnO (JCPDS เลขไฟล์ที่ 36-1451) และไม่พบเฟสโครงสร้างของสารประกอบอื่นๆ เช่น Co , CoO และ Co_3O_4 (Deka et al., 2005) เกิดขึ้นแต่อย่างใด จากผลที่เกิดขึ้นยังไม่สามารถหาคำอธิบายได้ว่าเป็นเพราะสาเหตุใดเมื่อเจือ Co เข้าไปยังโครงสร้างของ ZnO จึงไปช่วยลดอุณหภูมิแคลไชน์ของวัสดุตัวอย่าง อีกทั้งยังไม่มีรายงานวิจัยกลุ่มใดที่รายงานพฤติกรรมการเจือธาตุทุกรายชื่นในโครงสร้าง ZnO และช่วยลดอุณหภูมิแคลไชน์ในการเกิดเฟสโครงสร้างเอกซ์กอกโนลแบบเวอร์ตไซท์ จึงทำให้ไม่สามารถหาข้อสรุปสาเหตุของผลการทดลองที่เกิดขึ้นได้



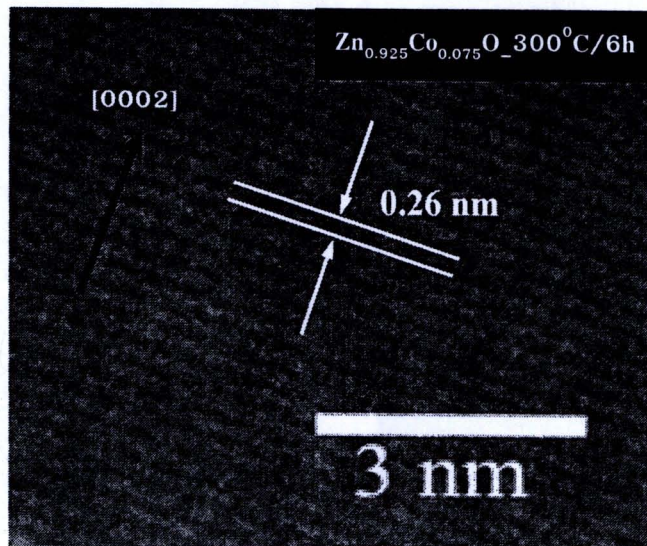
ภาพที่ 5.57 ภาพถ่าย TEM ของวัสดุนาโน $\text{Zn}_{1-x}\text{Co}_x\text{O}$ เมื่อ (ก) $x = 0$ (400°C), (ข) $x = 0.025$, (ค) $x = 0.05$ และ (ง) $x = 0.075$ แคลเซนท์ 300°C เป็นเวลา 6 ชั่วโมง



ภาพที่ 5.57 ภาพถ่าย TEM ของวัสดุนาโน $Zn_{1-x}Co_xO$ เมื่อ (ก) $x = 0$ (400°C), (ข) $x = 0.025$, (ค) $x = 0.05$ และ (ด) $x = 0.075$ แคลไชน์ที่ 300°C เป็นเวลา 6 ชั่วโมง (ต่อ)

ผลการถ่ายภาพความละเอียดสูงด้วยกล้องจุลทรรศน์อิเล็กตรอนแบบส่องผ่าน (high-resolution transmission electron microscopy : HRTEM) ของวัสดุนาโน $Zn_{0.925}Co_{0.075}O$ แสดงดังภาพที่ 5.58 ซึ่งแสดงภาพถ่ายของ lattice fringes โดยการพิจารณาระยะห่างระหว่าง lattice เพื่อใช้ในการยืนยันผลที่ได้จากรูปแบบการเลี้ยวเบนอิเล็กตรอน ทำโดยการวัดระยะห่างระหว่าง lattice ของวัสดุตัวอย่างแล้วนำไปเปรียบเทียบกับค่า d ของฐานข้อมูล อ้างอิง พนักงานวัสดุ $Zn_{0.925}Co_{0.075}O$ มีค่า d เท่ากับ 0.26 nm ซึ่งสอดคล้องกับระนาบ (0002) กับโครงสร้างเอกซ์กอนอลแบบเวอร์ตไซต์ของ ZnO ซึ่งมีทิศทางการเกิดผลึกที่ [0002] จากผลที่ได้

มีความสอดคล้องกับงานวิจัยของ Yang et al. 2006 ซึ่งแสดงการวัดระยะห่างระหว่าง lattice fringes ของวัสดุตัวอย่างในเงื่อนไข $Zn_{1-x}Co_xO$ ($x = 0.029$) เตรียมโดยวิธีไฮโดรเทอร์มอล ซึ่งมีลักษณะสัณฐานเป็นแท่งนาโน พบร่วมค่า ~ 0.261 nm จากนั้นเมื่อพิจารณาบริเวณผิวของวัสดุตัวอย่างไม่พบกลุ่มนูภาคเฟสปลอมปนของสารประกอบอื่น ๆ ปรากฏขึ้นแต่อย่างใด

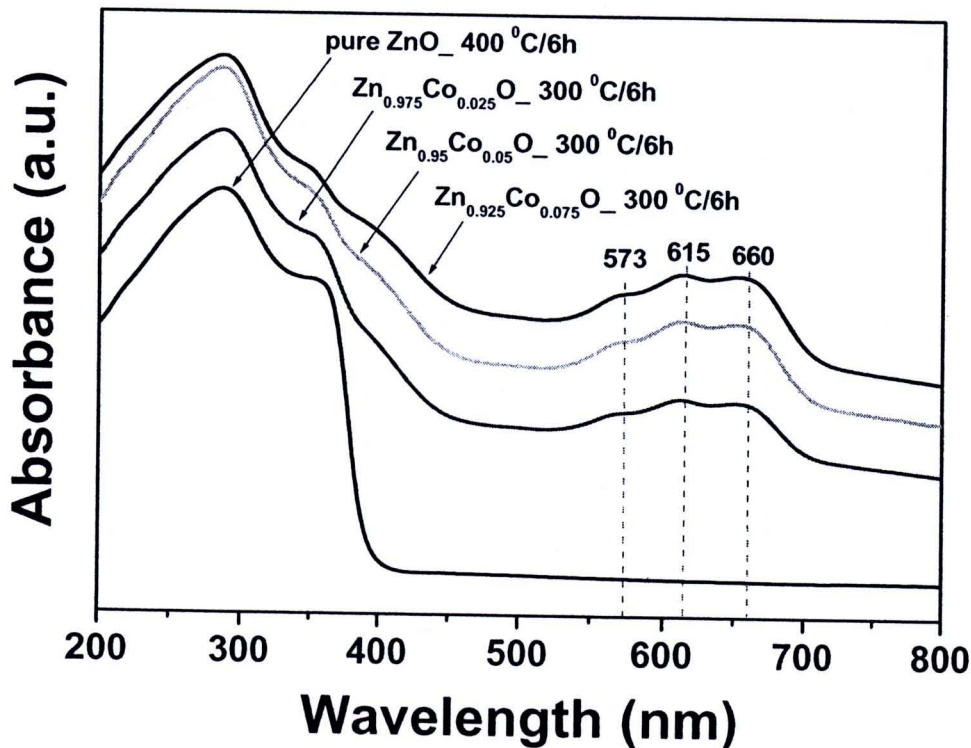


ภาพที่ 5.58 ภาพถ่าย HRTEM ของนาโน $Zn_{0.925}Co_{0.075}O$ แคลไชน์ที่ $300^{\circ}C$ เป็นเวลา 6 ชั่วโมง

5.2.2.5 การศึกษาสมบัติทางแสงของวัสดุนาโน $Zn_{1-x}Co_xO$ โดยเทคนิค UV-vis

การศึกษาสมบัติการดูดกลืนแสงของวัสดุนาโน $Zn_{1-x}Co_xO$ ($x = 0.025, 0.05, 0.075$) ใช้อุณหภูมิแคลไชน์ที่ $300^{\circ}C$ เป็นเวลา 6 ชั่วโมง และวัสดุนาโน ZnO ใช้อุณหภูมิแคลไชน์ที่ $400^{\circ}C$ เป็นเวลา 6 ชั่วโมง ด้วยเทคนิค UV-Vis แสดงดังภาพที่ 5.59 พบร่วมวัสดุตัวอย่าง แสดงการดูดกลืนแสงได้ดีในย่านเหนือกว่า 400 nm (3.10 eV) และโดยมียอดกราฟของการดูดกลืนที่ความยาวคลื่นประมาณ 286 nm (4.33 eV) และ 288 nm (4.31 eV) ในเงื่อนไขการเจือ Co และ วัสดุตัวอย่าง ZnO จากผลที่ได้ สอดคล้องกับรายงานของ Maensiri et al. (2009) ที่รายงานสมบัติทางแสงโดยเทคนิค UV-vis ของวัสดุแท่งนาโน $Zn_{0.9}Co_{0.1}O$ ที่เงื่อนไขแคลไชน์ $600, 700$ และ $800^{\circ}C$ เตรียมโดยวิธี โซล-เจล แสดงการดูดกลืนแสงได้ดีในย่านเหนือกว่า และโดยมียอดกราฟของการดูดกลืนที่ความยาวคลื่น ~ 287 nm (4.32 eV) นอกจากนี้ในเงื่อนไขการเจือ Co ยังพบยอดกราฟของการดูดกลืนที่ความยาวคลื่น $573, 615$, และ 660 nm ซึ่งสาเหตุเนื่องจากผลของ อิเล็กทรอนิก ทรานซิชัน ในส่วน crystal-field-split ที่อยู่ในขั้นการจัดเรียงอิเล็กตรอน $3d$ ของไอออนบวกของ Co^{2+} เข้าไป

แทนที่ Zn^{2+} ในตัวແහນ່ງເຕຕະຮີດຮອລກາຍໃນໂຄຮງສ້າງຂອງ ZnO (Bouloudenine et al., 2004; Maensiri et al., 2009) ເປັນຜລິຫານທີ່ມີຄວາມຍາວຄລືນທີ່ສູງຂຶ້ນ



ກາພທີ 5.59 ສເປັກຕົວກາຮູ້ດູດກລືນແສງ ຈາກເຖິງ $Zn_{1-x}Co_xO$

5.3.2.6 ກາຮູ້ດູດກລືນແມ່ເໜັກຂອງວັສດຸນາໂນກລຸ່ມ $Zn_{1-x}Co_xO$

ພລກາຮູ້ດູດກລືນແມ່ເໜັກຂອງວັສດຸນາໂນ ZnO ໃຊ້ອຸນຫກນີແຄລໃຫນທີ່ 300 ແລະ 400 °C ເປັນເວລາ 6 ຊົ່ວໂມງ ແລະ $Zn_{1-x}Co_xO$ ($x = 0.025, 0.05, 0.075$) ໃຊ້ອຸນຫກນີແຄລໃຫນທີ່ 300 °C ເປັນເວລາ 6 ຊົ່ວໂມງ ໂດຍເຖິງ VSM ໂດຍສຶກພາຜຸຕິກຣມກາຮູ້ດູດກລືນແປລັງກັບສນາມແມ່ເໜັກຂອງຄ່າແມກນີໄດ້ເຫັນທີ່ອຸນຫກນີທ່ອງ ແສດງດັ່ງກາພທີ 5.61 ຈາກກາຮູ້ດູດກລືນແມ່ເໜັກຂອງ ZnO ($x = 0$) ທີ່ແຄລໃຫນທີ່ 300 ແລະ 400 °C ເປັນເວລາ 6 ຊົ່ວໂມງ ແສດດັ່ງກາພທີ 5.60(g) ພບວ່າວັສດຸຕ້ວອຍ່າງແສດງພຸຕິກຣມແມ່ເໜັກແບບໄດ້ອາ ຈາກນັ້ນເມື່ອພິຈາລະນາໃນ ພລຂອງກາຮູ້ດູດກລືນແມ່ເໜັກຂອງ ZnO ($x = 0$) ພບວ່າວັສດຸຕ້ວອຍ່າງແສດງພຸຕິກຣມແມ່ເໜັກແບບໄດ້ອາ ຈາກນັ້ນເມື່ອພິຈາລະນາໃນ ເພື່ອກຳນົດວ່າ M_s ດີວ່າ 0.038, 0.042 ແລະ 0.048 emu/g ໃນເງື່ອນໄຂທີ່ $x = 0.025, 0.05$ ແລະ 0.075 ຕາມລຳດັບ ແສດດັ່ງກາພທີ 5.60(x) ທີ່ມີຄ່າແມກນີໄດ້ເຫັນອື່ນຕົວທີ່

ได้จากการทดลองข้างต้นจะมีค่าสูงขึ้นเมื่อเพิ่มปริมาณการเจือ Co สอดคล้องกับงานวิจัยของ Yang et al. 2006 ที่เตรียมวัสดุแห่งน้ำใน $Zn_{1-x}Co_xO$ ($x = 0, 0.029$ และ 0.056) โดยวิธี electrochemical ซึ่งจากค่าแมgnีติเดชันอิมตัวที่ได้จากการทดลองข้างต้นมีค่าสูงสุดที่ 0.048 emu/g ในเมื่อ $x = 0.075$ โดยเมื่อเปรียบเทียบกับงานวิจัยในกลุ่มนี้พบว่ามีค่าที่สูงกว่า งานวิจัยของ Yang et al. 2006 ($Zn_{1-x}Co_xO$; $x = 0.056$ มีค่า M_s คือ 0.0221 emu/g) และ Hays et al. 2007 ($Zn_{0.88}Co_{0.12}O$ มีค่า M_s คือ $\sim 0.04 \text{ emu/g}$) และมีค่าที่ต่ำกว่างานวิจัยของ Cheng et al. 2008 ($Zn_{0.95}Co_{0.05}O$ มีค่า M_s คือ $\sim 0.1 \text{ emu/g}$) และ Maensiri et al. 2009 ($Zn_{0.9}Co_{0.1}O$ มีค่า M_s คือ $\sim 0.13 \text{ emu/g}$)

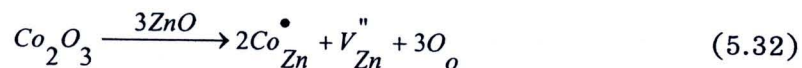
จากนั้นเมื่อพิจารณาถึงสาเหตุของการเกิดพฤติกรรมแม่เหล็กแบบเฟอร์โรในเมื่อของการเจือ Co ในการทดลองข้างต้น พบว่าพิจารณาได้เป็น 2 กรณีหลัก ๆ คือ กรณีแรกพฤติกรรมแม่เหล็กแบบเฟอร์โร อาจเป็นผลจากเฟสปลอมปนของสารประกอบจาก Co อย่างเช่น Co, CoO และ Co_3O_4 (Deka et al., 2005) ที่เกิดจาก Co^{2+} ไม่เข้าไปแทนที่ Zn^{2+} ในตำแหน่งเตตราระดีดรอลภายในโครงสร้างของ ZnO อย่างสมบูรณ์ ซึ่งจากการทดลองที่ได้จากเทคนิค XRD, UV-vis และ HRTEM พบว่าไม่ปรากฏเฟสปลอมปนของสารประกอบ Co เกิดขึ้น อีกทั้งเมื่อศึกษาสมบัติเฉพาะทางแม่เหล็กของสารประกอบ Co, CoO และ Co_3O_4 พบว่า Co มีพฤติกรรมทางแม่เหล็กแบบเฟอร์โร มีค่าแมgnีติเดชัน 162.5 emu/g และมีอุณหภูมิคูรี⁴ (T_c) ประมาณ 1373 K (Callister, 2005) จากนั้นเมื่อวิเคราะห์ความเป็นไปได้ที่เกิดเฟสปลอมปนของ Co พบว่ามีความเป็นไปได้ค่อนข้างมาก เนื่องจากในกระบวนการเตรียมวัสดุนานาใน $Zn_{1-x}Co_xO$ ($x = 0.025, 0.05, 0.075$) ใช้การแคลไชน์ในอากาศ ดังนั้นโอกาสของสารประกอบในรูปเฟสปลอมปนที่ได้มีแนวโน้มที่อยู่ในลักษณะของสารประกอบออกไซด์มากกว่า (Yang et al., 2006) จากนั้นในส่วนของสารประกอบ CoO มีพฤติกรรมทางแม่เหล็กแบบแอนติเฟอร์โร และมีอุณหภูมินีล⁵ (T_N) ประมาณ 292 K (Ueda et al., 2001) สุดท้ายสารประกอบ Co_3O_4 มีพฤติกรรมทางแม่เหล็กแบบแอนติเฟอร์โรและมีอุณหภูมินีล (T_N) ประมาณ 40 K (Roth et al., 2001) อีกทั้งได้มีรายงานวิจัยของ Deka et al., 2006 ที่รายงานพฤติกรรมทางแม่เหล็กแบบพาราของวัสดุนานาใน $Zn_{1-x}Co_xO$ ($x = 0, 0.05, 0.1$) เตรียมโดยวิธี combustion ซึ่งเหตุผลที่ทำให้วัสดุตัวอย่างแสดงสมบัติทางแม่เหล็กแบบพารานี้เป็นผลจากเฟสปลอมปนของ Co_3O_4 ที่สามารถวิเคราะห์ได้จากเทคนิค XRD และ TEM ดังนั้นโอกาสที่เฟสปลอมปนของสารประกอบ Co ไม่น่ามีส่วนทำให้วัสดุตัวอย่างที่ได้จากการทดลองแสดงพฤติกรรมทางแม่เหล็กแบบเฟอร์โร จึงตัดประเด็นของการเกิดเฟสปลอมปนที่มีผลต่อการเปลี่ยนแปลงพฤติกรรมทางแม่เหล็กในโครงสร้างวัสดุตัวอย่าง ออกไป จากนั้นพิจารณากรณีที่สอง ที่อิบายพฤติกรรมแม่เหล็กแบบเฟอร์โร เป็นผลเนื่องจาก Co^{2+} เข้าไปแทนที่ Zn^{2+} ในตำแหน่งเตตราระดีดรอลของ ZnO อย่างสมบูรณ์ ซึ่งการเข้าไปแทนที่ในที่นี่คาดว่าเป็นการเข้าไปแทนที่แบบสุ่ม (random) ส่งผลทำให้ภายในโครงสร้างเกิดอันตรกิริยาที่

⁴ อุณหภูมิคูรี (T_c) คืออุณหภูมิที่เปลี่ยนสมบัติพฤติกรรมทางแม่เหล็กแบบเฟอร์โรเป็นแม่เหล็กแบบพารา

⁵ อุณหภูมินีล (T_N) คืออุณหภูมิที่เปลี่ยนสมบัติพฤติกรรมทางแม่เหล็กแบบเฟอร์โรเป็นแม่เหล็กแบบพารา

ทำให้เกิดพฤติกรรมทางแม่เหล็กในแบบต่าง ๆ ขึ้น สามารถแสดงแบบจำลองได้ดังภาพที่ 5.61 ซึ่งสามารถแบ่งการพิจารณาได้ดังนี้

1) การเกิดอันตรกิริยาแบบ double exchange เป็นผลเกิดจาก Co^{2+} เข้าไปแทนที่ Zn^{2+} ส่งผลทำให้เกิดการเหนี่ยวนำให้เกิด Co^{3+} และเกิดตำแหน่งช่องว่างของชิงค์ (V_{Zn}) ซึ่งสามารถเขียนสมการในรูปสัญลักษณ์ของ ครอเกอร์-วิงค์ (Kroger-Vink Notation) แสดงดังสมการที่ 5.32



จาก Co^{3+} ที่เกิดขึ้นเมื่อทำอันตรกิริยากับ Co^{2+} โดยอยู่ระหว่างออกซิเจนในลักษณะ $\text{Co}^{3+}-\text{O}-\text{Co}^{2+}$ จากอันตรกิริยาที่เกิดขึ้นนี้ส่งผลให้เกิดพฤติกรรมทางแม่เหล็กแบบเฟอร์โร ซึ่งหลักการของอันตรกิริยานี้แสดงรายละเอียดดังหัวข้อที่ 2.6.1

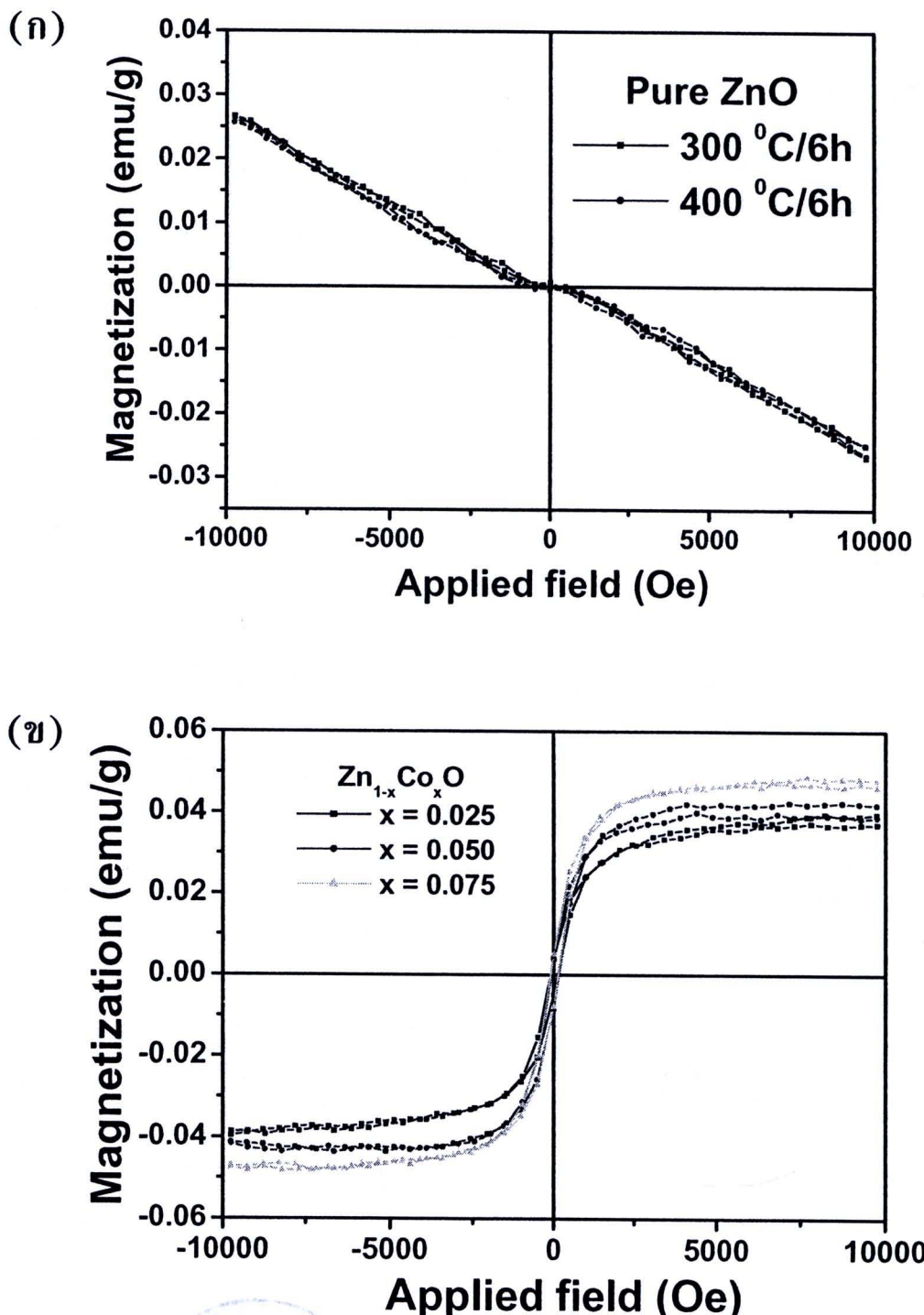
2) การเกิดอันตรกิริยาแบบ super exchange เป็นผลที่เกิดจาก Co^{2+} เข้าไปแทนที่ Zn^{2+} โดยอยู่ระหว่างออกซิเจนในลักษณะ $\text{Co}^{2+}-\text{O}-\text{Co}^{2+}$ ส่งผลทำให้สปินของ Co^{2+} มีทิศซึ่นทิศตรงกันข้ามส่งผลให้เกิดพฤติกรรมทางแม่เหล็กแบบแอนติเฟอร์โร ซึ่งหลักการของอันตรกิริยานี้แสดงรายละเอียดดังหัวข้อที่ 2.6.1

3) การเกิดอันตรกิริยาแบบ F-center exchange เป็นผลที่เกิดจากตำแหน่งช่องว่างของออกซิเจนเกิดขึ้นภายในโครงสร้าง ส่งผลทำให้เมื่อ Co^{2+} เข้าไปแทนที่ Zn^{2+} โดยอยู่ระหว่างช่องว่างของออกซิเจนในลักษณะ $\text{Co}^{2+}-\nabla-\text{Co}^{2+}$ จากอันตรกิริยาที่เกิดขึ้นนี้จะเกิดการคุ้วบกันแบบแม่เหล็กเฟอร์โรส่งผลให้เกิดพฤติกรรมทางแม่เหล็กแบบเฟอร์โร ซึ่งหลักการของอันตรกิริยานี้แสดงรายละเอียดดังหัวข้อที่ 2.6.2

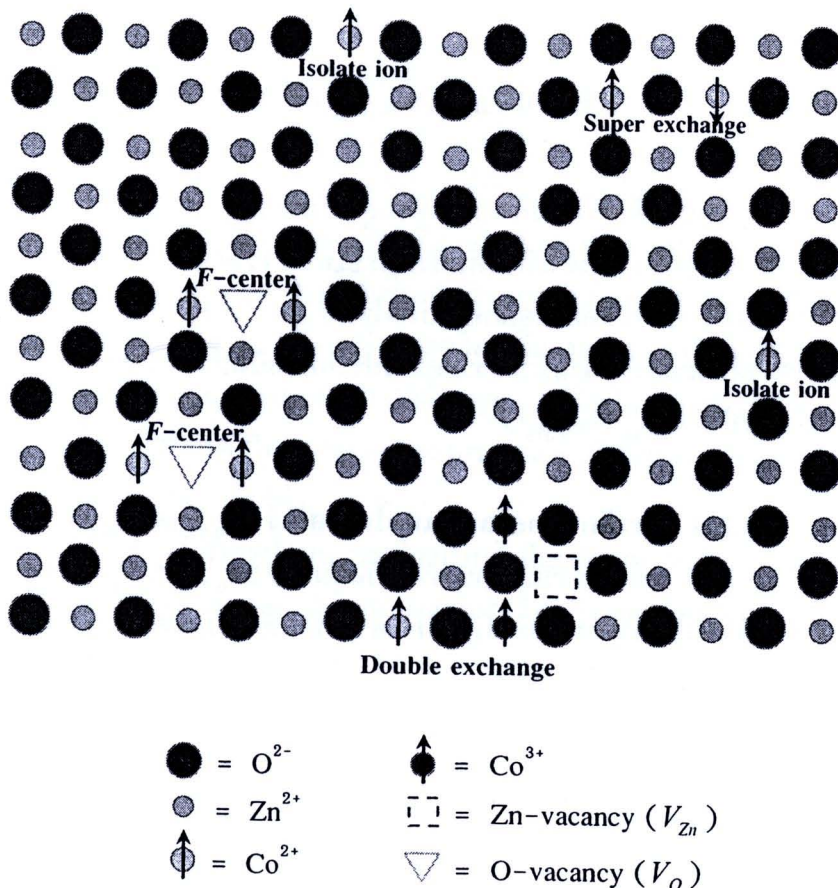
4) ไอออนของ Co^{2+} เข้าไปแทนที่ Zn^{2+} ในลักษณะแบบ isolate ion ซึ่งไม่ส่งผลทำให้เกิดอันตรกิริยาที่เหนี่ยวนำให้เกิดพฤติกรรมทางแม่เหล็กเกิดขึ้น

จากการเกิดอันตรกิริยาแบบต่าง ๆ ที่เป็นผลเนื่องจาก Co^{2+} เข้าไปแทนที่ Zn^{2+} อย่างสมบูรณ์ เชื่อว่าเป็นสาเหตุหลักที่ทำให้วัสดุนาโน $\text{Zn}_{1-x}\text{Co}_x\text{O}$ ($x = 0.025, 0.05, 0.075$) เตรียมด้วยวิธีการสลายตัวทางความร้อนโดยตรง แสดงพฤติกรรมทางแม่เหล็กแบบเฟอร์โร เกิดขึ้น





ภาพที่ 5.60 ความเป็นแม่เหล็กที่อุณหภูมิห้อง ที่ได้จากการวัดโดยเทคนิค VSM
 (ก) ZnO แคลไซน์ที่ 300 และ 400 °C เป็นเวลา 6 ชั่วโมง
 (ข) $Zn_{1-x}Co_xO$ ($x = 0.025, 0.05, 0.075$) แคลไซน์ที่ 300 °C
 เป็นเวลา 6 ชั่วโมง



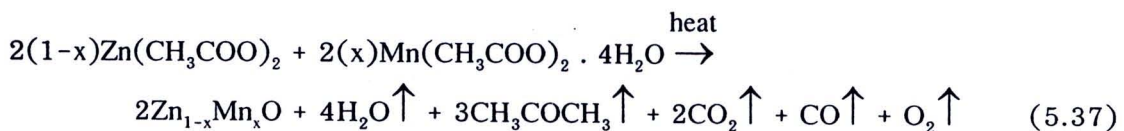
ภาพที่ 5.61 แบบจำลองการเกิดอันตรกิริยาแบบต่างๆ เมื่อมีการเจือ Co ในโครงสร้างของ ZnO

5.3.3 ผลการสังเคราะห์นาโน $Zn_{0.925}Mn_{0.075}O$ ด้วยวิธีการสลายตัวทางความร้อนโดยตรง

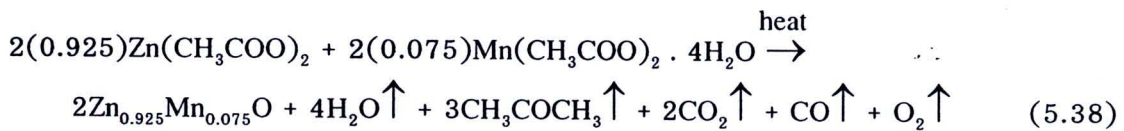
งานวิจัยนี้ได้ศึกษาการสังเคราะห์วัสดุนาโน $Zn_{0.925}Mn_{0.075}O$ ด้วยวิธีการสลายตัวทางความร้อนโดยตรง ซึ่งสารตั้งต้นที่ใช้คือชิ้นของอะซิเทրต ($Zn(CH_3COO)_2$) และแมงกานีสอะซิเทรต ($C_4H_6MnO_4 \cdot 4H_2O$) โดยใช้อุณหภูมิแคลไชน์ที่ $300^{\circ}C$ เป็นเวลา 6 ชั่วโมง ในอากาศระหว่างนี้วัสดุสารตั้งต้นจะมีการสลายตัวของวัสดุสารประกอบชนิดต่างๆ ด้วยความร้อน สุดท้ายจึงได้สารลีด้าของวัสดุนาโน $Zn_{0.925}Mn_{0.075}O$

5.3.3.1 การศึกษากลไกการเกิดโครงสร้าง $Zn_{0.925}Mn_{0.075}O$

เมื่อพิจารณาการเตรียมวัสดุนาโน $Zn_{0.925}Mn_{0.075}O$ จากการสลายตัวทางความร้อนระหว่างโดยตรง จากปฏิกริยาพบว่าในขั้นตอนสุดท้ายได้สารประกอบ $Zn_{0.925}Mn_{0.075}O$ แสดงดังสมการที่ 5.37



การทดลองนี้ใช้เงื่อนไขการเจือ $x = 0.075$ แสดงปฏิกริยาดังสมการที่ 5.38



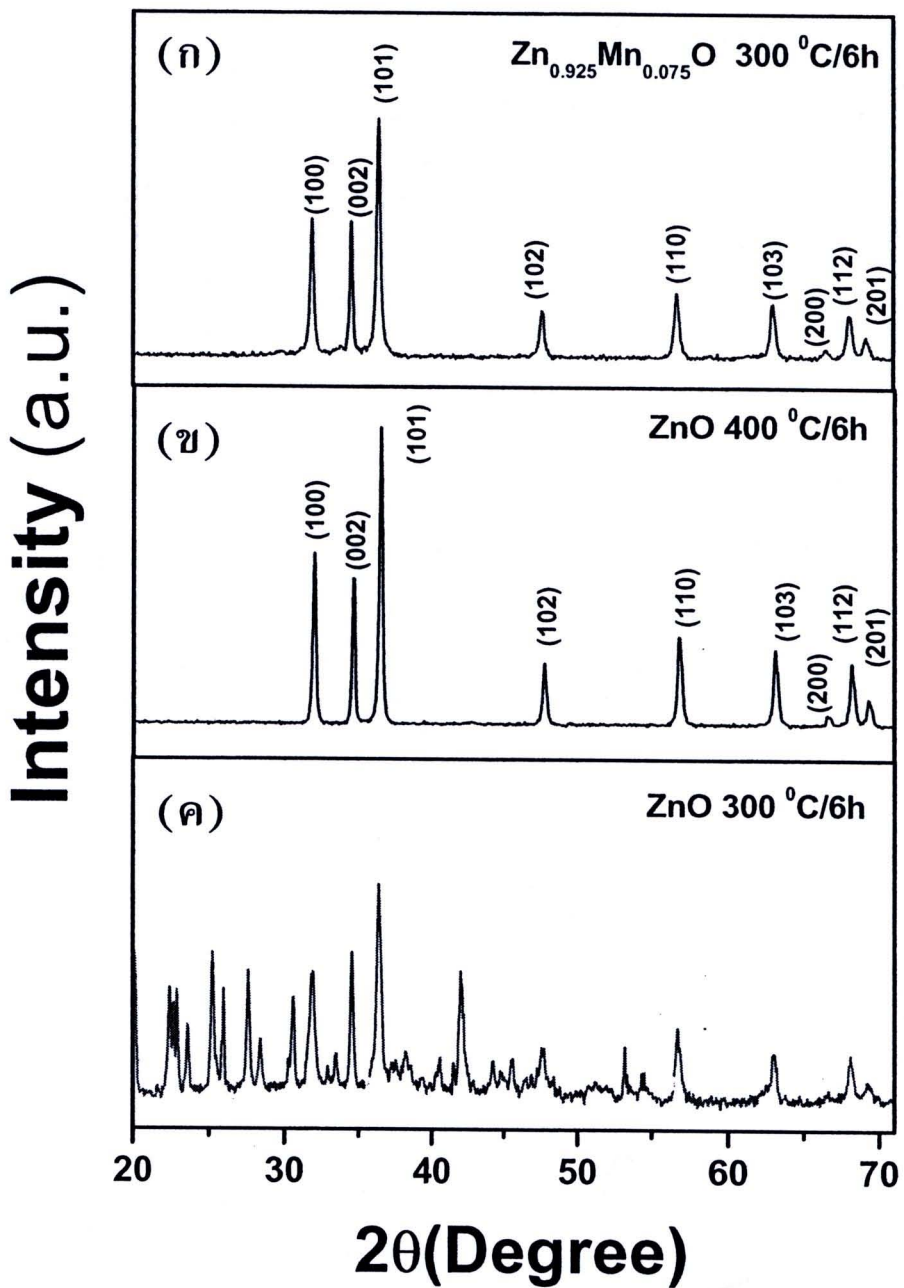
จากปฏิกริยาการสลายตัวทางความร้อนในกรณีที่มีการเจือสาร Mn เข้าไปในโครงสร้างของ ZnO พบร่วมกับ MnO ที่มีความร้อนแก่สารตั้งต้นจะมีการสลายตัวของอะซิโนน, คาร์บอนไดออกไซด์, คาร์บอนมอนอกไซด์ และออกซิเจน ซึ่งลักษณะกลไกการสลายตัวมีลักษณะคล้ายกรณีที่เตรียมโดยวิธีปฏิกริยาการสลายตัวทางความร้อนโดยตรงของวัสดุนาโน ZnO

5.3.3.2 การศึกษาพฤติกรรมการเกิดเฟสโครงสร้างโดยเทคนิค XRD

การศึกษาเฟสและโครงสร้างของนาโน $Zn_{0.925}Mn_{0.075}O$ ด้วยวิธีการสลายตัวทางความร้อนโดยตรง ใช้อุณหภูมิแคลไชน์ที่ $300^{\circ}C$ เป็นเวลา 6 ชั่วโมง ในอากาศ โดยเทคนิค XRD แสดงดังภาพที่ 5.62(ก) ผลการทดลองพบว่ารูปแบบการเลี้ยวเบนของรังสีเอกซ์ของวัสดุนาโนที่เจือ Mn ในโครงสร้างของ ZnO สอดคล้องกับข้อมูลมาตรฐาน (JCPDS เลขไฟล์ที่ 36-1451) และไม่พบเฟสปลอมปนของ Mn, MnO, MnO₂, Mn₂O₃ และ Mn₃O₄ แต่อย่างไร

ตามที่เงื่อนไข ZnO ($x = 0$) แคลไซน์ที่อุณหภูมิเดียวกันดังแสดงดังภาพที่ 5.62(ข) พนเฟส ปломปนที่ตอกค้างจากการสลายตัวของซิงค์อะซิเทรต ซึ่งการเกิดเฟสของวัสดุนาโน ZnO จะมีเฟส โครงสร้างเป็นเอกซ์โกลอลแบบเวอร์ตใช้ต์ที่สมบูรณ์ต้องใช้อุณหภูมิแคลไซน์ที่ $400^{\circ}C$ ขึ้นไป แสดงดังภาพที่ 5.62(ค) จากผลการทดลองที่เกิดขึ้นแสดงให้เห็นว่าการเจือ Mn ในโครงสร้างของ ZnO สามารถช่วยลดอุณหภูมิแคลไซน์ ที่ช่วยในการเกิดเฟสโครงสร้างเอกซ์โกลอลแบบ เวอร์ตของวัสดุตัวอย่าง จากผลที่เกิดขึ้นยังไม่สามารถหาค่าอธิบายได้ว่าเป็นเพาะสาเหตุใดเมื่อ เราเจือ Mn ในโครงสร้างของ ZnO จึงไปช่วยลดอุณหภูมิแคลไซน์ของวัสดุตัวอย่าง อีกทั้งยังไม่มี รายงานวิจัยกลุ่มใดที่รายงานพฤติกรรมการเจือธาตุทรานซิชันในโครงสร้าง ZnO แล้วช่วยลด อุณหภูมิแคลไซน์ในการเกิดเฟสโครงสร้างเอกซ์โกลอลแบบเวอร์ตใช้ต์ ดังนั้นจึงไม่สามารถสรุป สาเหตุของผลการทดลองที่เกิดขึ้นได้

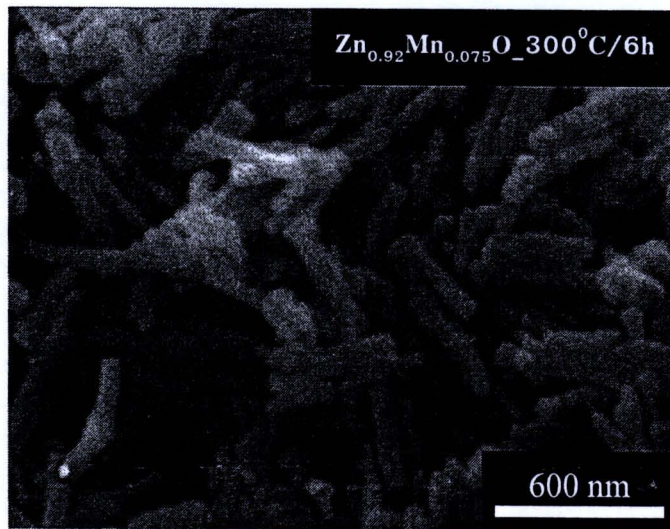
จากรูปแบบการเลี้ยวเบนรังสีเอกซ์สามารถคำนวณขนาดอนุภาคของ วัสดุตัวอย่างได้ โดยวิธี X-ray line broadening โดยเลือกคำนวณจากการเลี้ยวเบนผ่านระนาบ (100), (002), (101) และ (110) พนว่าอนุภาคมีขนาด 29.4 ± 2.4 nm สำหรับผลการ คำนวณหาค่าคงที่แลตทิช มีค่า $a = 0.32475$ nm และ $c = 0.51984$ nm ซึ่งจากข้อมูลที่ได้มีค่า ใกล้เคียงค่าคงที่ของแลตทิชของ ZnO ($a = 0.32488$ nm และ $c = 0.52066$ nm) (JCPDS เลข ไฟล์ที่ 36-1451)



ภาพที่ 5.62 รูปแบบการเลี้ยงเบนรังสีเอกซ์ (XRD) ด้วยวิธีการสลายตัวทางความร้อนโดยตรง
 (ก) $\text{Zn}_{0.925}\text{Mn}_{0.075}\text{O}$ แคลเซนที่ 300°C เวลา 6 ชั่วโมง
 (ข) ZnO แคลเซนที่ 400°C เวลา 6 ชั่วโมง
 (ค) ZnO แคลเซนที่ 300°C เวลา 6 ชั่วโมง

5.3.3.3 ผลการศึกษาสัณฐานวิทยาของนาโน $Zn_{0.925}Mn_{0.075}O$ โดย เทคนิค SEM

การศึกษาลักษณะสัณฐานวิทยาของวัสดุนาโน $Zn_{0.925}Mn_{0.075}O$ ใช้อุณหภูมิแคลไซน์ที่ $300^{\circ}C$ เป็นเวลา 6 ชั่วโมง ด้วยวิธีการสลายตัวทางความร้อนโดยตรง ด้วยกำลังขยาย 20000 เท่า แสดงดังภาพที่ 5.63 พบร่วมกันของอนุภาคนานาขนาดเส้นผ่านศูนย์กลาง $\sim 50-100\text{ nm}$ และมีความยาว $\sim 0.5-1.5\text{ }\mu\text{m}$ ส่วนในเงื่อนไข $x = 0$ (ZnO) แคลไซน์ที่ $400^{\circ}C$ พบร่วมกันของอนุภาคนานาขนาดเส้นผ่านศูนย์กลาง $\sim 50-200\text{ nm}$ ขณะที่แท่งขนาดนาโนมีขนาดเส้นผ่านศูนย์กลาง $\sim 100-200\text{ nm}$ และมีความยาว $\sim 250-500\text{ nm}$ แสดงดังภาพที่ 5.56(ก)

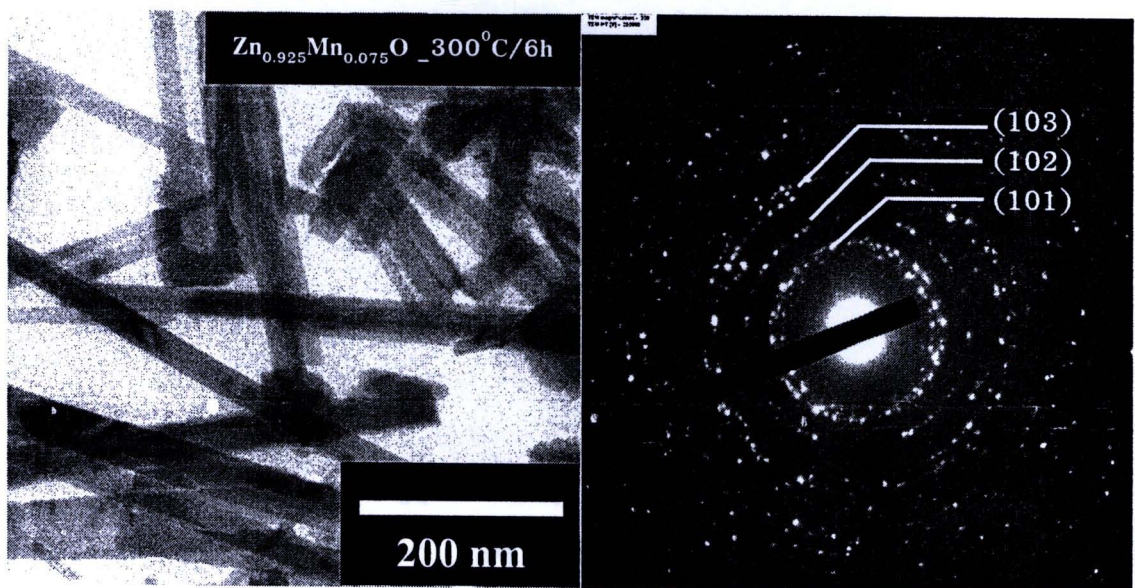


ภาพที่ 5.63 ภาพถ่าย SEM ของวัสดุนาโน $Zn_{0.925}Mn_{0.075}O$ แคลไซน์ที่ 300°C เป็นเวลา 6 ชั่วโมง

5.3.2.4 ผลการศึกษาโครงสร้างของวัสดุนาโน $Zn_{0.925}Mn_{0.075}O$ โดย เทคนิค TEM

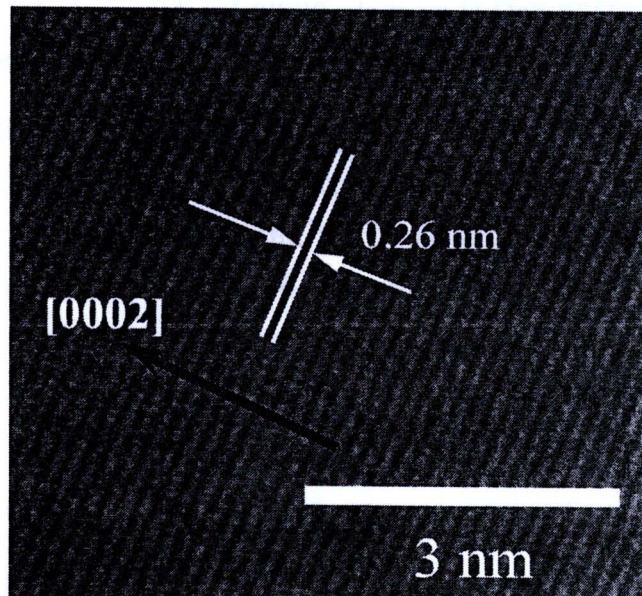
การถ่ายภาพวัสดุนาโน $Zn_{0.925}Mn_{0.075}O$ ใช้อุณหภูมิแคลไซน์ที่ 300°C เป็นเวลา 6 ชั่วโมง ด้วยวิธีการสลายตัวทางความร้อนโดยตรง ด้วยกล้องจุลทรรศน์อิเล็กตรอนแบบส่องผ่านที่ความดันศักย์ 200 KV และกำลังขยาย 200000 เท่าแสดงดังภาพที่ 5.64 ซึ่งจากภาพถ่ายที่ได้ และรูปแบบการเลี้ยวเบนของอิเล็กตรอนพบว่าวัสดุตัวอย่างมีลักษณะเป็น

แท่งนาโน โดยมีขนาดเส้นผ่านศูนย์กลาง ~50-100 nm และมีความยาว ~0.5-1 μm จากนั้น เมื่อศึกษารูปแบบการเลี้ยวเบนของอิเล็กตรอนพบว่ามีลักษณะการกระจายตัวเป็นจุดเกิดขึ้น จากผลที่ได้ช่วยยืนยันได้ว่าบริเวณที่ศึกษามีโครงสร้างแบบพหุผลิก (polycrystal) จากรูปแบบการเลี้ยวเบนนี้ยังสามารถใช้ศึกษาโครงสร้างของผลึกโดยการคำนวณค่าระยะห่างระหว่างระนาบ หรือค่า d จากรัศมีของแต่ละวง แล้วนำไปเปรียบเทียบกับฐานข้อมูลอ้างอิง พบว่าวัสดุ nano $Zn_{0.925}Mn_{0.075}O$ ที่เตรียมได้มีโครงสร้างผลึกเป็นเอกซ์gonolแบบเวิร์ตไซต์ของวัสดุ ZnO (JCPDS เลขไฟล์ที่ 36-1451) และไม่พบเฟลโครงสร้างของสารประกอบอื่น ๆ เช่น MnO , MnO_2 , Mn_2O_3 และ Mn_3O_4 เกิดขึ้นแต่อย่างใด จากผลที่เกิดขึ้นยังไม่สามารถหาคำอธิบายได้ว่า เป็นเพราะสาเหตุใดเมื่อเจือ Mn ในโครงสร้างของ ZnO จึงไปช่วยลดอุณหภูมิแคลไซน์ของวัสดุ ตัวอย่าง อีกทั้งยังไม่มีรายงานวิจัยกลุ่มใดที่รายงานพฤติกรรมการเจือธาตุทรานซิชันในโครงสร้าง ZnO และช่วยลดอุณหภูมิแคลไซน์ในการเกิดเฟลโครงสร้าง เอกซ์gonolแบบเวิร์ตไซต์ ดังนั้นจึง ยังไม่สามารถหาข้อสรุปสาเหตุของผลการทดลองที่เกิดขึ้นได้



ภาพที่ 5.64 ภาพถ่าย TEM ของวัสดุ nano $Zn_{0.925}Mn_{0.075}O$ แคลไซน์ที่ 300°C เป็นเวลา 6 ชั่วโมง

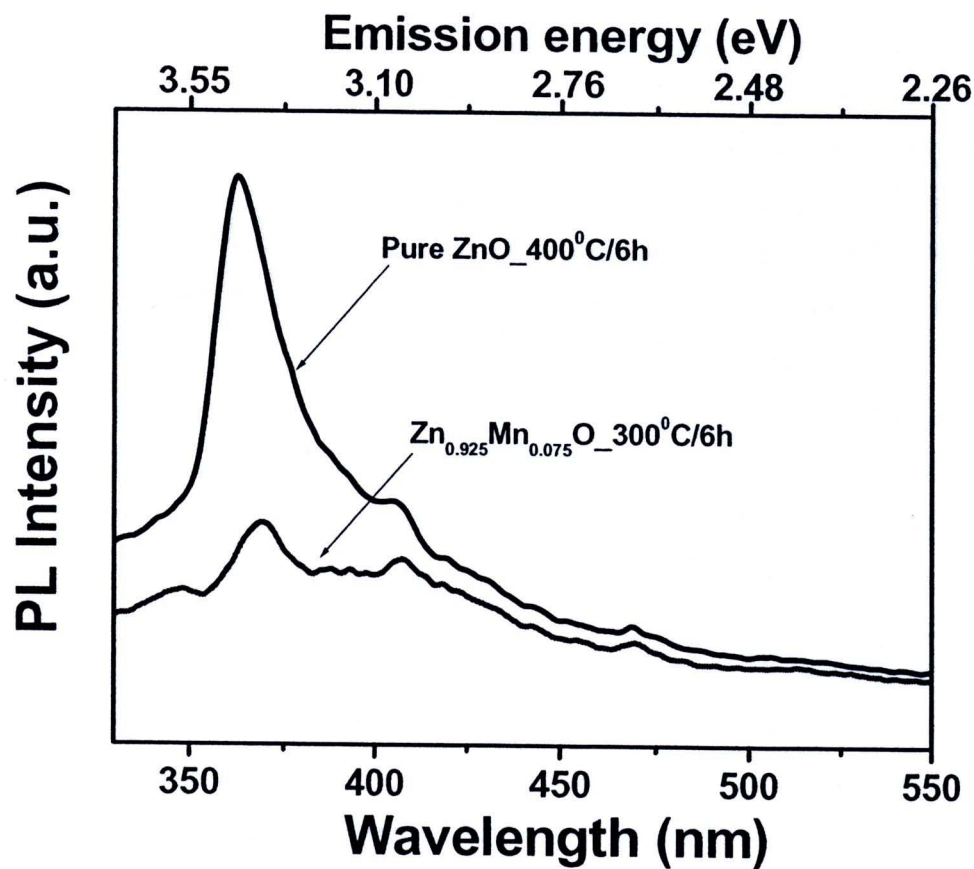
ผลการถ่ายภาพความละเอียดสูงด้วยกล้องจุลทรรศน์อิเล็กตรอนแบบส่องผ่านของวัสดุนาโน $Zn_{0.925}Mn_{0.075}O$ แสดงดังภาพที่ 5.65 ซึ่งแสดงภาพถ่ายของ lattice fringes โดยการพิจารณาระยะห่างระหว่าง lattice เพื่อใช้ในการยืนยันผลที่ได้จากการเปลี่ยนแปลงของอิเล็กตรอน ทำโดยการวัดระยะห่างระหว่าง lattice ของวัสดุตัวอย่างแล้วนำไปเรียนเทียบกับค่า d ของฐานข้อมูลอ้างอิง พบว่าวัสดุ $Zn_{0.925}Co_{0.075}O$ มีค่า d เท่ากับ 0.26 nm มีความสอดคล้องกับระนาบ (0002) กับโครงสร้างเอกซ์กอนอลแบบเวอร์ตไซต์ของ ZnO ซึ่งมีทิศทางการเกิดผลึกที่ [0002] จากนั้นเมื่อพิจารณาบริเวณผิวของวัสดุตัวอย่างไม่พบกลุ่มอนุภาคเพลสปลอมปนของสารประกอบอื่น ๆ



ภาพที่ 5.65 ภาพถ่าย HRTEM ของวัสดุนาโน $Zn_{0.925}Mn_{0.075}O$ แคลไซน์ที่ $300\text{ }^{\circ}\text{C}$ เป็นเวลา 6 ชั่วโมง

5.3.3.4 การศึกษาสมบัติทางแสงของวัสดุนาโน $Zn_{0.925}Mn_{0.075}O$ โดยเทคนิค PL

ผลการศึกษาสมบัติการเปล่งแสงของวัสดุนาโน $Zn_{0.925}Mn_{0.075}O$ ผ่านการแคลไชน์อุณหภูมิ ที่ $300^{\circ}C$ เป็นเวลา 6 ชั่วโมง ในอากาศ โดยเทคนิค Photoluminescence (PL) ที่อุณหภูมิห้อง แสดงดังภาพที่ 5.66 พบว่าวัสดุนาโน $Zn_{0.925}Mn_{0.075}O$ แคลไชน์ที่ $300^{\circ}C$ และวัสดุนาโน ZnO แคลไชน์ที่ $400^{\circ}C$ เป็นเวลา 6 ชั่วโมง แสดงสเปกตรัมความเข้มของยอดグラฟสูงสุด ที่ตำแหน่ง 362 nm (3.43 eV) นอกจากนั้นยังพบการเกิดพีค เนื่องจากรังสีที่เปล่งออกพบว่ามี 2 ตำแหน่งด้วยกันคือ ในช่วงแถบเนื้อม่วงอ่อน มีค่า $\sim 410\text{ nm}$ (3.03 eV) และในช่วงแถบสีฟ้า-เขียว มีค่า $\sim 484\text{ nm}$ (2.57 eV) โดยสาเหตุของช่วงรังสีเปล่งออกมาเกิดขึ้นเนื่องจาก ในช่วงเนื้อม่วงนั้นเป็นผลมาจากการเอกซิตรอน รีคอมบินेशัน ส่งผลให้เกิดการเปล่งแสง ใกล้ขอบแถบการนำของวัสดุ ZnO (Lyu et al., 2002; Bergman et al., 2004) ส่วนแถบสีฟ้า-เขียวอ่อน เป็นผลมาจากการเกิดตัวหนินบริเวณพื้นผิวของวัสดุ ZnO อย่างเช่น ช่องว่างของออกซิเจน (V_o^X) (Liu et al., 2007) และอะตอมของซิงค์ที่แทรก (Zn_i^X) (Borseth et al., 2006) จากนั้นเมื่อพิจารณาความเข้มของยอดグラฟพบว่าในนาโน $Zn_{0.925}Mn_{0.075}O$ มีความเข้มของยอดグラฟที่ต่ำกว่าวัสดุนาโน ZnO ส่วนสาเหตุนั้นยังไม่สามารถอธิบายได้แน่ชัดว่าเป็นเพราะสาเหตุอะไร แต่ข้อสันนิฐานเบื้องต้นเป็นผลของตัวหนินที่เกิดจาก Mn^{2+} เข้าไปแทนที่ Zn^{2+} ในตำแหน่งเดตระฮีดรอลภายในโครงสร้างของ ZnO



ภาพที่ 5.66 สเปกตรัมจากเทคนิค Photoluminescence ของวัสดุ nano $Zn_{0.925}Mn_{0.075}O$

5.3.3.5 การศึกษาสมบัติทางแม่เหล็กของวัสดุนาโนกลุ่ม $Zn_{0.925}Mn_{0.075}O$

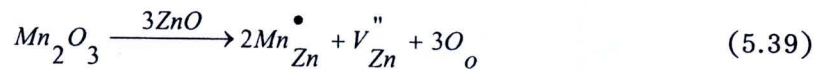
ผลการศึกษาสมบัติทางแม่เหล็กของวัสดุนาโน $Zn_{0.925}Mn_{0.075}O$ ใช้

อุณหภูมิแคลไชน์ที่ $300^{\circ}C$ เป็นเวลา 6 ชั่วโมง โดยเทคนิค VSM ซึ่งศึกษาพฤติกรรมการเปลี่ยนแปลงกับสถานะแม่เหล็กของค่าแมgnีติเซชันที่อุณหภูมิห้อง และดังภาพที่ 5.67 จากการพิจารณาในเงื่อนไขวัสดุนาโน ZnO ($x = 0$) ที่แคลไชน์ที่ 300 และ $400^{\circ}C$ เป็นเวลา 6 ชั่วโมง แสดงดังภาพที่ 5.67 พบว่าวัสดุตัวอย่างแสดงพฤติกรรมแม่เหล็กแบบไดอา จากนั้นเมื่อพิจารณา วัสดุนาโน $Zn_{0.925}Mn_{0.075}O$ พบว่าวัสดุตัวอย่างแสดงพฤติกรรมแม่เหล็กแบบเฟอร์โรเกิดขึ้น โดยมีค่าแมgnีติเซชันอิ้มตัว (M_s) คือ 0.089 emu/g ซึ่งจากค่าแมgnีติเซชันอิ้มตัวที่ได้จากการทดลอง เมื่อเปรียบเทียบกับงานวิจัยในกลุ่มอื่น ๆ พบว่ามีค่าที่สูงกว่างานวิจัยของ Chen et al. 2005 ($Zn_{0.98}Mn_{0.02}O$ มีค่า M_s คือ ~ 0.02 emu/g) และมีค่าที่ต่ำกว่างานวิจัยของ Cong et al. 2005 ($Zn_{0.95}Mn_{0.05}O$ มีค่า M_s คือ ~ 0.28 emu/g)

สาเหตุของการเกิดพฤติกรรมแม่เหล็กแบบเฟอร์โรใน $Zn_{0.925}Mn_{0.075}O$ อาจพิจารณาได้เป็น 2 กรณีหลัก ๆ เหมือนในกรณีการเจือ Co ในโครงสร้าง ZnO แสดงดังหัวข้อที่ 5.7.6 กรณีแรกรถติกรรมแม่เหล็กแบบเฟอร์โร อาจเป็นผลจากเฟสปломปนของสารประกอบออกไซด์ของแมgnีส อย่างเช่น MnO , MnO_2 , Mn_2O_3 และ Mn_3O_4 ที่เกิดจาก Mn^{2+} ไม่เข้าไปแทนที่ Zn^{2+} ในตำแหน่งเตตราэดรอยลภัยในโครงสร้างของ ZnO อย่างสมบูรณ์ ซึ่งผลการทดลองที่ได้จากเทคนิค XRD และ HRTEM พบว่าไม่ปรากฏเฟสปломปนของสารประกอบ Mn อีกทั้งเมื่อศึกษาสมบัติเฉพาะทางแม่เหล็กในสารประกอบออกไซน์ของแมgnีส พบร่วมกับ MnO , MnO_2 , Mn_2O_3 มีพฤติกรรมทางแม่เหล็กแบบแอนติเฟอร์โร และมีอุณหภูมินิล (T_N) ประมาณ 116 , 92 และ 76 K ตามลำดับ (Theodoropoulou et al., 2003) ส่วน Mn_3O_4 มีพฤติกรรมทางแม่เหล็กแบบเฟอร์โร และมีอุณหภูมิกิวเร (T_c) ประมาณ 43 K (Liu et al., 2005) จากสมบัติเฉพาะทางแม่เหล็กในสารประกอบออกไซน์ของแมgnีส พบร่วมกับไม่วัสดุสารตัวไหนที่แสดงพฤติกรรมแม่เหล็กแบบเฟอร์โรที่อุณหภูมิห้อง ดังนั้นโอกาสที่เฟสปломปนไม่นำมีส่วนทำให้วัสดุตัวอย่างที่ได้จากการทดลองแสดงพฤติกรรมทางแม่เหล็กแบบเฟอร์โร จึงตัดประเด็นของการเกิดเฟสปломปนที่มีผลต่อการเปลี่ยนแปลงพฤติกรรมทางแม่เหล็กในโครงสร้างวัสดุตัวอย่างออกไป จากนั้นพิจารณากรณีที่สอง ที่อธิบายพฤติกรรมแม่เหล็กแบบเฟอร์โร เป็นผลเนื่องจากไอออนบวกของ Mn^{2+} เข้าไปแทนที่ Zn^{2+} ในตำแหน่งเตตราэдรอยลภัยในโครงสร้างของ ZnO อย่างสมบูรณ์ ซึ่งการเข้าไปแทนที่ในที่นี้คาดว่าเป็นการเข้าไปแทนที่แบบสุ่ม (random) ส่งผลทำให้ภายในโครงสร้างเกิดอันตรกิริยาที่ทำให้เกิดพฤติกรรมทางแม่เหล็กในแบบต่าง ๆ ขึ้น สามารถแสดงแบบจำลองได้ดังภาพที่ 5.68 ซึ่งสามารถแบ่งการพิจารณาได้ดังนี้

- 1) การเกิดอันตรกิริยาแบบ double exchange เป็นผลที่เกิด Mn^{2+} เข้าไปแทนที่ Zn^{2+} ส่งผลทำให้เกิดการเหนี่ยวนำให้เกิด Mn^{3+} และเกิดตัวหนิช่องว่างของชิงค์

(V_{Zn}) ชั้งสามารถเขียนสมการในรูปสัญลักษณ์ของ ครอเกอร์-วิงค์ (Kroger-Vink Notation) แสดงดังสมการที่ 5.39



Mn^{3+} ที่เกิดขึ้นเมื่อทำอันตรกิริยากับ Mn^{2+} โดยอยู่ระหว่างออกซิเจนในลักษณะ $Mn^{3+} - O - Mn^{2+}$ จากอันตรกิริยาที่เกิดขึ้นนี้ส่งผลให้เกิดพฤติกรรมทางแม่เหล็กแบบเฟอร์โร ชั้งหลักการของอันตรกิริยานี้แสดงรายละเอียดดังหัวข้อที่ 2.6.1

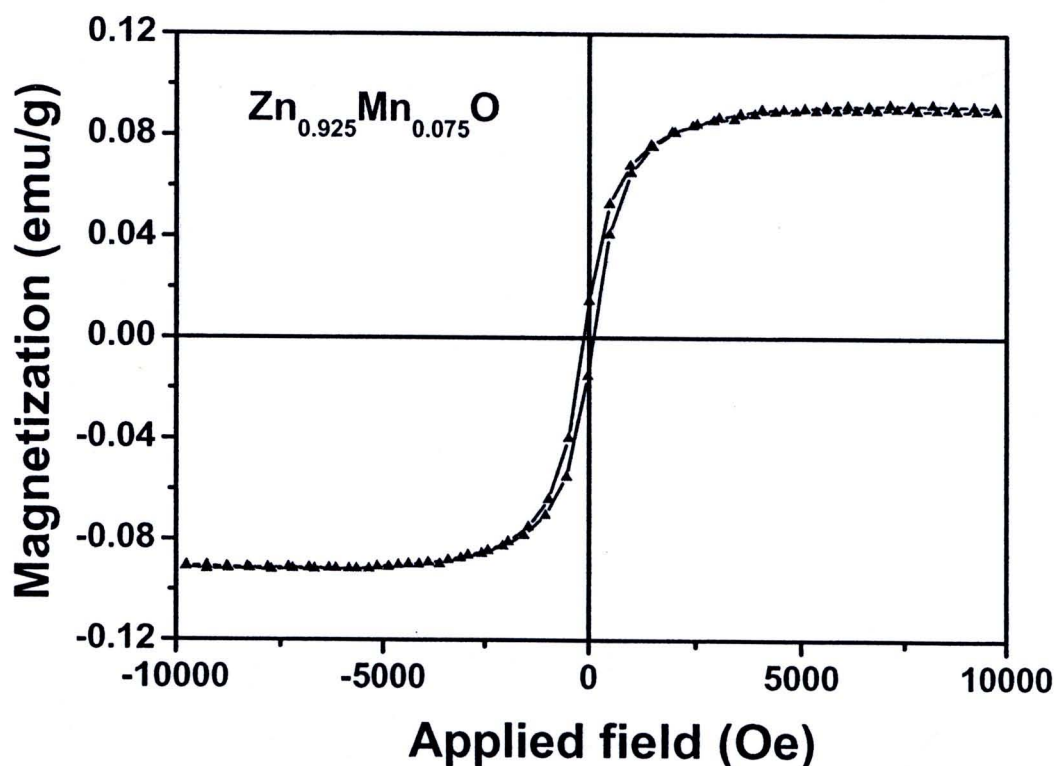
2) การเกิดอันตรกิริยาแบบ super exchange เป็นผลที่เกิด Mn^{2+}

เข้าไปแทนที่ Zn^{2+} โดยอยู่ระหว่างออกซิเจนในลักษณะ $Mn^{2+} - O - Mn^{2+}$ ส่งผลทำให้สปินของ Co^{2+} มีพิศษ์ในพิศตรงกันข้ามส่งผลให้เกิดพฤติกรรมทางแม่เหล็กแบบแอนติเฟอร์โร ชั้งหลักการของอันตรกิริยานี้แสดงรายละเอียดดังหัวข้อที่ 2.6.1

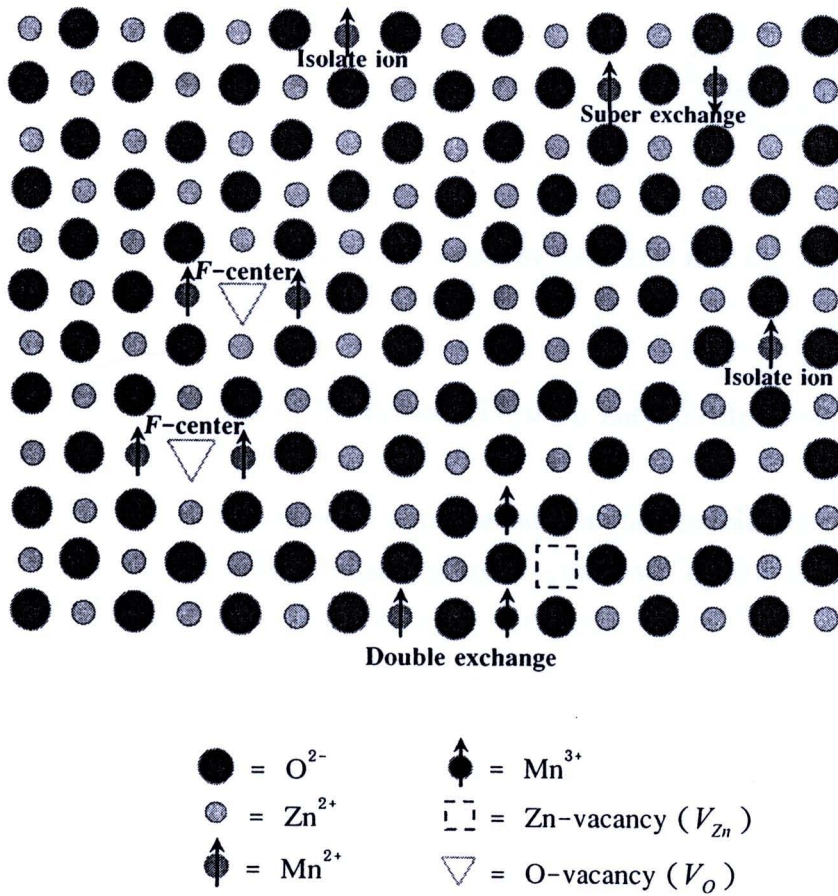
3) การเกิดอันตรกิริยาแบบ F-center exchange เป็นผลที่เกิดจาก ตumnix ของช่องว่างออกซิเจนเกิดขึ้นภายในโครงสร้าง ส่งผลทำให้มี Mn^{2+} เข้าไปแทนที่ Zn^{2+} โดย อยู่ระหว่างช่องว่างออกซิเจนในลักษณะ $Mn^{2+} - \nabla - Mn^{2+}$ จากอันตรกิริยาที่เกิดขึ้นนี้จะเกิดการ คู่คบกันแบบแม่เหล็กเฟอร์โรส่งผลให้เกิดพฤติกรรมทางแม่เหล็กแบบเฟอร์โร ชั้งหลักการของ อันตรกิริยานี้แสดงรายละเอียดดังหัวข้อที่ 2.6.2

4) ไอออนของ Mn^{2+} เข้าไปแทนที่ Zn^{2+} ในลักษณะแบบ isolate ion ชั้นไม่ส่งผลทำให้เกิดอันตรกิริยาที่เหนี่ยวนำให้เกิดพฤติกรรมทางแม่เหล็กเกิดขึ้น

จากการเกิดอันตรกิริยาแบบต่างๆ ที่เป็นผลเนื่องจาก Mn^{2+} เข้าไป แทนที่ Zn^{2+} อย่างสมบูรณ์ เชื่อว่าเป็นสาเหตุหลักที่ทำให้วัสดุนาโน $Zn_{0.925}Mn_{0.075}O$ เตรียมด้วย วิธีการสลายตัวทางความร้อนโดยตรง แสดงพฤติกรรมทางแม่เหล็กแบบเฟอร์โรเกิดขึ้น เมื่อนอนใน กรณี $Zn_{1-x}Co_xO$ ($x = 0.025, 0.05, 0.075$) แสดงดังหัวข้อที่ 5.7.6



ภาพที่ 5.67 ความเป็นแม่เหล็กที่อุณหภูมิห้อง ที่ได้จากการวัดโดยเทคนิค VSM ของวัสดุนาโน $Zn_{0.925}Mn_{0.075}O$ ใช้อุณหภูมิแคลไชน์ที่ $300\text{ }^{\circ}\text{C}$ เป็นเวลา 6 ชั่วโมง



ภาพที่ 5.68 แบบจำลองการเกิดอันตรกิริยาแบบต่าง ๆ เมื่อมีการเจือ Mn ในโครงสร้างของ ZnO

